

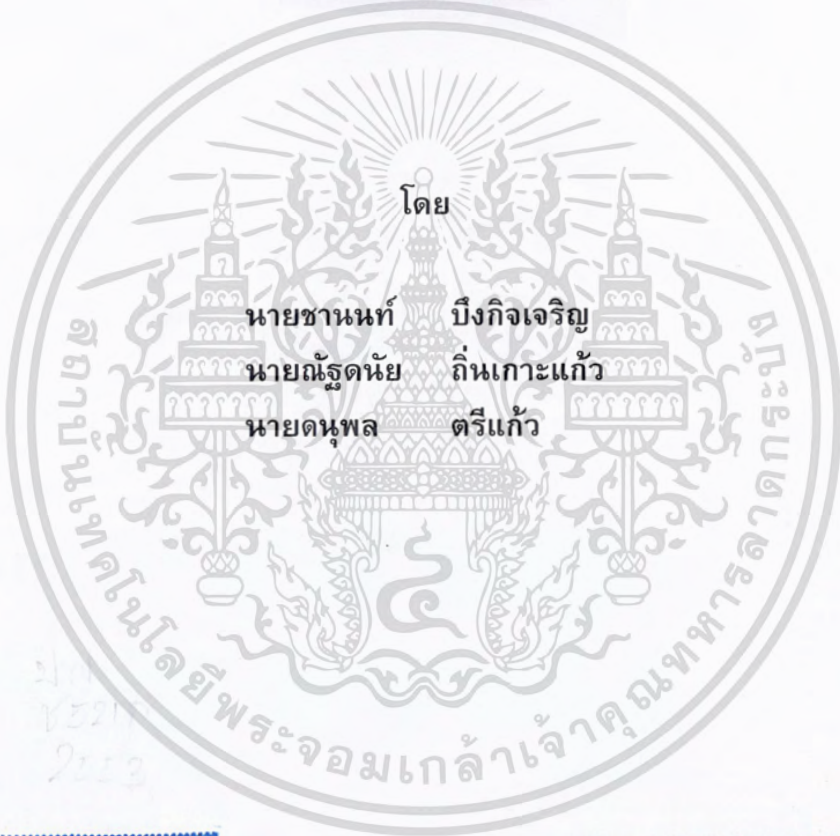
**สำนักหอสมุดกลาง พระจอมเกล้าลาดกระบัง**

การตรวจจับความผิดปกติของชนิดสวิตช์เปิดวงจรสำหรับคอนเวอร์เตอร์  
ชนิดปรับความกว้างพัลส์

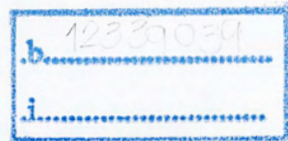
**OPEN SWITCH FAULT DETECTION FOR A PWM CONVERTER**



T117550



เลขหมู่.....  
เลขทะเบียน **117500**  
วัน,เดือน,ปี **5 ต.ค. 2554**



ปริญญานิพนธ์นี้เป็นส่วนหนึ่งของการศึกษาตามหลักสูตรปริญญาวิศวกรรมศาสตรบัณฑิต  
สาขาวิชาวิศวกรรมไฟฟ้า  
คณะวิศวกรรมศาสตร์  
สถาบันเทคโนโลยีพระจอมเกล้าเจ้าคุณทหารลาดกระบัง  
ปีการศึกษา 2553

เอกสารนี้เป็นเอกสารที่สงวนไว้สำหรับการใช้งานเพื่อการศึกษาเท่านั้น ไม่อนุญาตให้นำไปใช้ประโยชน์ด้านการค้า  
ไม่ว่ากรณีใดๆ ทั้งสิ้น อีกทั้งห้ามมิให้ตัดแปลงเนื้อหา และต้องอ้างอิงถึงเจ้าของเอกสารทุกครั้งที่มีการนำไปใช้

# OPEN SWITCH FAULT DETECTION FOR A PWM CONVERTER



**A THESIS SUBMITTED IN PARTIAL FULFILLMENT  
OF THE REQUIREMENT FOR THE DEGREE OF  
BACHELOR OF ENGINEERING IN ELECTRICAL ENGINEERING  
FACULTY OF ENGINEERING  
KING MONGKUT'S INSTITUTE OF TECHNOLOGY LADKRABANG**

**2010**

เอกสารนี้เป็นเอกสารที่สงวนไว้สำหรับการใช้งานเพื่อการศึกษาเท่านั้น ไม่อนุญาตให้นำไปใช้ประโยชน์ด้านการค้า  
ไม่ว่ากรณีใดๆ ทั้งสิ้น อีกทั้งห้ามมิให้ตัดแปลงเนื้อหา และต้องอ้างอิงถึงเจ้าของเอกสารทุกครั้งที่มีการนำไปใช้

ปีการศึกษา 2553

การตรวจจับความผิดปกติของชนิดสวิตช์เปิดวงจรสำหรับคอนเวอร์เตอร์  
ชนิดปรับความกว้างพัลส์

OPEN SWITCH FAULT DETECTION FOR A PWM CONVERTER



อาจารย์ที่ปรึกษา

ดร. วรชาติ แซ่ก๊ก

เอกสารนี้เป็นเอกสารที่สงวนไว้สำหรับการใช้งานเพื่อการศึกษาเท่านั้น ไม่อนุญาตให้นำไปใช้ประโยชน์ด้านการค้า  
ไม่ว่ากรณีใดๆ ทั้งสิ้น อีกทั้งห้ามมิให้ตัดแปลงเนื้อหา และต้องอ้างอิงถึงเจ้าของเอกสารทุกครั้งที่มีการนำไปใช้

ปริญญาโทปีการศึกษา 2553

สาขาวิชาวิศวกรรมไฟฟ้า

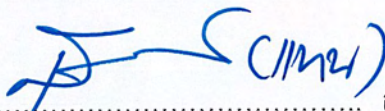
คณะวิศวกรรมศาสตร์ สถาบันเทคโนโลยีพระจอมเกล้าเจ้าคุณทหารลาดกระบัง

เรื่อง การตรวจจับความผิดพร้อมชนิดสวิตช์เปิดวงจรสำหรับคอนเวอเตอร์  
ชนิดปรับความกว้างพัลส์

ผู้จัดทำ

1. นายชานนท์ บึงกิจเจริญ
2. นายณัฐดนัย ถิ่นเกาะแก้ว
3. นายดนูพล ตริแก้ว





อาจารย์ที่ปรึกษา

(ดร.วรชาติ แซ่ก๊ก)

เอกสารนี้เป็นเอกสารที่สงวนไว้สำหรับการใช้งานเพื่อการศึกษาเท่านั้น ไม่อนุญาตให้นำไปใช้ประโยชน์ด้านการค้า  
ไม่ว่ากรณีใดๆ ทั้งสิ้น อีกทั้งห้ามมิให้ตัดแปลงเนื้อหา และต้องอ้างอิงถึงเจ้าของเอกสารทุกครั้งที่มีการนำไปใช้

# การตรวจจับความผิดพร้อมชนิดสวิตช์เปิดวงจรสำหรับคอนเวอร์เตอร์ ชนิดปรับความกว้างพัลส์

นายชานนท์ บึงกิจเจริญ  
นายณัฐดนัย ถิ่นเกาะแก้ว  
นายदनุพล ตรีแก้ว  
ดร. วรชาติ แซ่กก อาจารย์ที่ปรึกษา  
ปีการศึกษา 2553

## บทคัดย่อ

ปริญญาโทฉบับนี้นำเสนอการวินิจฉัยและตรวจจับความผิดพร้อมชนิดสวิตช์เปิดวงจรในคอนเวอร์เตอร์สามเฟสที่ถูกควบคุมโดยสัญญาณพัลส์ชนิดปรับความกว้าง โดยวิธีการที่นำเสนอ จะใช้วิธีการเปรียบเทียบค่าเฉลี่ยกับค่าสัมบูรณ์ของสัญญาณกระแสที่ไหลผ่านคอนเวอร์เตอร์ บทความฉบับนี้จะเน้นไปที่การประยุกต์ใช้วิธีการดังกล่าวในการวินิจฉัยและตรวจจับความผิดพร้อมกรณีที่มีความผิดพร้อมเกิดขึ้นใน 1 สวิตช์เท่านั้น ในบทความฉบับนี้ได้มีการใช้โปรแกรมMATLAB/Simulink มาใช้ในการจำลองการทำงานของคอนเวอร์เตอร์และระบบการวินิจฉัย และตรวจจับความผิดพร้อมและใช้ไมโครคอนโทรลเลอร์ชนิดTMS320F28335 เป็นตัวประมวลผลสัญญาณดิจิทัล ในการสร้างสัญญาณที่ใช้ในการทำงานของคอนเวอร์เตอร์และใช้ในการประมวลผลสัญญาณของกระแสจากคอนเวอร์เตอร์ในการตรวจจับความผิดพร้อม โดยใช้ขั้นตอนจากการจำลองการทำงานของโปรแกรมMATLAB/Simulink เป็นต้นแบบ

# OPEN SWITCH FAULT DETECTION FOR A PWM CONVERTER

Chanon Bounkitcharoen

Natdanai Tinkohkaew

Danupol Treekaew

Dr. Warachart Sae-Kok Supervisor

2010

## ABSTRACT

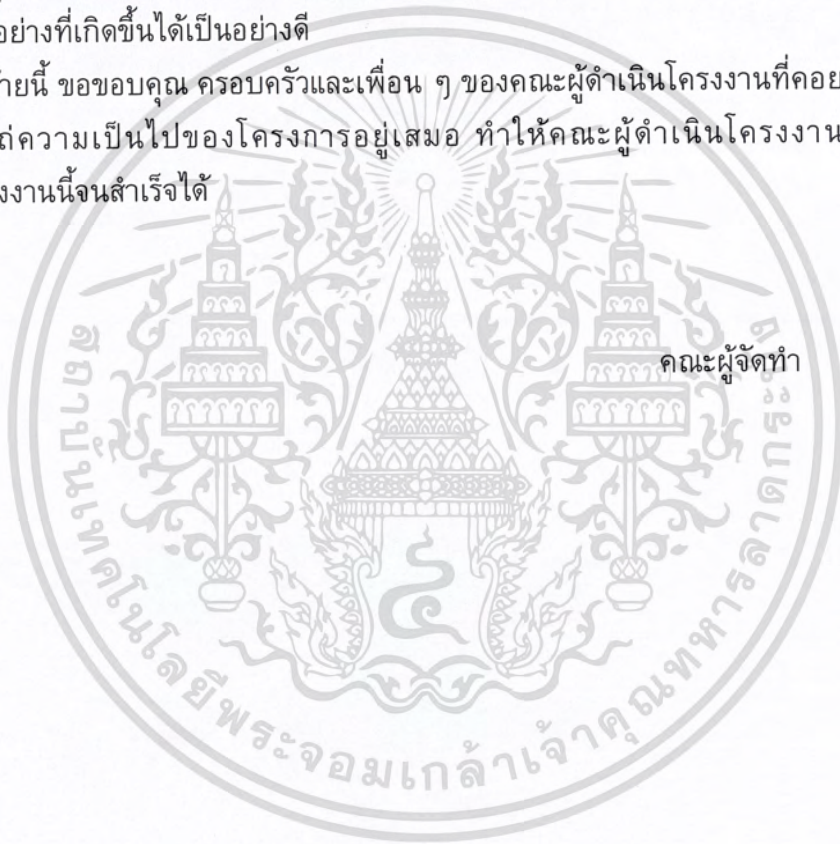
This thesis presents an open-switch fault diagnosis method for a three-phase PWM converter. The method proposed in this paper is called the Absolute Normalized DC Current Method. In this paper only a single-switch fault is considered. MATLAB/Simulink program is used to simulate the converter operation and open-switch fault diagnostic scheme. The TMS320F28335 DSP is applied to implement the converter operation and the proposed diagnostic scheme simulated by MATLAB/Simulink program.

## กิตติกรรมประกาศ

โครงการนี้สำเร็จลุล่วงไปได้ด้วยความช่วยเหลือเป็นอย่างดียิ่งของ ดร. วรชาติ แซ่ก๊ก อาจารย์ที่ปรึกษาโครงการ ที่ได้ให้คำแนะนำ และข้อคิดเห็นต่าง ๆ ตลอดจนคำปรึกษาในการแก้ปัญหา อันเป็นประโยชน์ต่องานวิจัยนี้มาโดยตลอด คณะผู้ดำเนินโครงการขอกราบขอบพระคุณมา ณ ที่นี้

ขอขอบคุณรุ่นพี่นักศึกษาปริญญาโทห้องปฏิบัติการประยุกต์ใช้พลังงานทดแทน ที่ให้ความรู้ เทคนิค ตลอดจนคำแนะนำที่ดีแก่คณะผู้ดำเนินโครงการวิจัยทำให้สามารถแก้ไขปัญหาบางอย่างที่เกิดขึ้นได้เป็นอย่างดี

สุดท้ายนี้ ขอขอบคุณ ครอบครัวและเพื่อน ๆ ของคณะผู้ดำเนินโครงการที่คอยให้กำลังใจ และถามไถ่ความเป็นไปของโครงการอยู่เสมอ ทำให้คณะผู้ดำเนินโครงการมีกำลังใจที่จะทำโครงการนี้จนสำเร็จได้



# สารบัญ

หน้า

บทคัดย่อ.....	I
ABSTRACT.....	II
กิตติกรรมประกาศ.....	III
สารบัญ.....	IV
สารบัญภาพ.....	VII
สารบัญตาราง.....	XI
บทที่ 1 บทนำ.....	1
1.1 ความสำคัญและที่มาของปัญหา.....	1
1.2 วัตถุประสงค์ของโครงการ.....	2
1.3 ขอบเขตและข้อกำหนดของโครงการ.....	2
1.4 วิธีการดำเนินโครงการ.....	2
1.5 แผนการดำเนินโครงการ.....	3
1.6 ประโยชน์ที่ได้รับจากโครงการ.....	4
1.7 การจัดโครงสร้างของเนื้อหาภายในปฏิญญาพันธ.....	4
บทที่ 2 ทฤษฎีและงานวิจัยที่เกี่ยวข้อง.....	5
2.1 บทนำ.....	5
2.2 อินเวอร์เตอร์.....	5
2.2.1 อินเวอร์เตอร์แบบแหล่งจ่ายกระแส.....	6
2.2.2 อินเวอร์เตอร์แบบแหล่งจ่ายแรงดัน.....	7
2.2.3 อินเวอร์เตอร์แบบมอดูเลตความกว้างพัลส์.....	7
2.2.4 อินเวอร์เตอร์สามเฟส.....	9
2.2.5 อินเวอร์เตอร์แหล่งจ่ายแรงดันไฟฟ้าสามเฟส แบบปรับความกว้างพัลส์.....	10
2.3 วิธีวินิจฉัยเมื่อเกิดความผิดปกติของชนิดเปิดวงจรในคอนเวอร์เตอร์.....	11

## สารบัญ (ต่อ)

	หน้า
2.3.1 Park's Vector Method.....	13
2.3.2 The Slope Method.....	13
2.3.3 Control Deviation Method.....	13
2.3.4 Normalized DC Current Method.....	14
2.3.5 Modified Normalized DC Current Method.....	15
2.3.6 Simple Direct Current Method.....	16
2.3.7 Absolute Normalized DC Current Method.....	17
2.4 บทสรุป.....	18
บทที่ 3 การออกแบบและการสร้างเครื่องต้นแบบ.....	19
3.1 บทนำ.....	19
3.2 การจำลองระบบด้วยโปรแกรมคอมพิวเตอร์.....	19
3.2.1 การจำลองวงจรคอนเวอร์เตอร์สามเฟส และระบบตรวจจับความผิดปกติของชนิดสวิตช์เปิดวงจร.....	19
3.2.1.1 ภาควงจรกำลัง.....	20
3.2.1.2 ภาควงจรควบคุม.....	21
3.3 การสร้างเครื่องต้นแบบคอนเวอร์เตอร์สามเฟส.....	26
3.3.1 ภาควงจรกำลัง.....	26
3.3.1.1 คอนเวอร์เตอร์สามเฟส.....	26
3.3.1.2 อุปกรณ์ป้องกัน.....	27
3.3.1.3 อุปกรณ์เรียงกระแสสามเฟส.....	27
3.3.2 ภาควงจรควบคุม.....	28
3.3.2.1 ไมโครคอนโทรลเลอร์.....	28
3.3.2.2 วงจรยกระดับแรงดัน และวงจรแยกกราวนด์.....	29
3.3.2.3 อุปกรณ์แปลงสัญญาณจากดิจิตอล เป็นสัญญาณอนาล็อก.....	30
3.3.2.4 อุปกรณ์ขับเคลื่อน.....	31
3.3.2.5 อุปกรณ์วัดกระแส.....	35
3.3.2.6 แหล่งจ่ายไฟฟ้ากระแสตรง.....	36

## สารบัญ (ต่อ)

	หน้า
3.3.2.7 อุปกรณ์จำลองการเกิดความผิดพลาด ชนิดสวิตช์เปิดวงจร.....	37
3.4 บทสรุป.....	38
บทที่ 4 ผลการทดลองด้วยโปรแกรมคอมพิวเตอร์และผลการทดลอง.....	39
4.1 บทนำ.....	39
4.2 ผลของกระแส.....	39
4.2.1 กระแสขณะคอนเวอร์เตอร์ทำงานปกติ.....	39
4.2.2 การเกิดความผิดพลาดชนิดเปิดวงจรที่สวิตช์กำลัง เกิดขึ้นที่สวิตช์ T1, T2 และ T3.....	42
4.2.3 การเกิดความผิดพลาดชนิดเปิดวงจรที่สวิตช์กำลัง เกิดขึ้น ที่สวิตช์ T4, T5 และ T6.....	45
4.3 การวินิจฉัยการตรวจจับความผิดพลาด.....	48
4.4 การตรวจจับความผิดพลาดที่กระแสนาตต่าง ๆ.....	55
4.5 บทสรุป.....	56
บทที่ 5 บทสรุป ข้อเสนอแนะและแนวทางการพัฒนา.....	57
5.1 บทสรุป.....	57
5.2 ข้อเสนอแนะ.....	58
บรรณานุกรม.....	59
ภาคผนวก.....	60
ภาคผนวก ก. เครื่องต้นแบบที่จัดสร้างขึ้นจริงในปริญญาานิพนธ์.....	61
ภาคผนวก ข. รายการอุปกรณ์ที่ใช้ทดสอบ.....	65
ภาคผนวก ค. ข้อมูลอุปกรณ์ที่ใช้ในปริญญาานิพนธ์.....	68
ภาคผนวก ง. บทความทางวิชาการ.....	105
ภาคผนวก จ. โปสเตอร์นำเสนอผลงาน.....	110
ประวัติผู้เขียน.....	112

## สารบัญญภาพ

ภาพที่	หน้า
2.1	แผนผังของระบบอินเวอร์เตอร์
	เพื่อการขับเคลื่อนมอเตอร์เหนี่ยวนำ..... 5
2.2	วงจรกำลังของอินเวอร์เตอร์แบบแหล่งจ่ายกระแส..... 6
2.3	วงจรกำลังของ PWM อินเวอร์เตอร์..... 8
2.4	วงจรอินเวอร์เตอร์ 3 เฟส..... 9
3.1	ภาพรวมของวงจร..... 20
3.2	วงจรกำลัง..... 20
3.3	แหล่งกำเนิดสัญญาณปรับความกว้างพัลส์และสวิตช์ที่ใช้ในการจำลองการ เกิดความผิดพลาด..... 21
3.4	วงจรที่ใช้ในการวินิจฉัยและการตรวจจับความผิดพลาดชนิดสวิตช์เปิดวงจร ในคอนเวอร์เตอร์..... 22
3.5	รูปส่วนของเฟสล็อกคูล (Phase Lock Loop)..... 23
3.6	ระบบที่ใช้ในการตรวจจับความผิดพลาดชนิดสวิตช์เปิดวงจร ในคอนเวอร์เตอร์สามเฟส..... 24
3.7	แผนผังขั้นตอนการทำงานของโปรแกรมตรวจจับความผิดพลาด ผิดพลาดชนิดสวิตช์เปิดวงจร..... 25
3.8	คอนเวอร์เตอร์สามเฟส..... 26
3.9	อุปกรณ์ป้องกัน..... 27
3.10	อุปกรณ์เรียงกระแสสามเฟส..... 28
3.11	อุปกรณ์ควบคุม TMS320F28335..... 29
3.12	วงจรยกกระดับแรงดัน และวงจรแยกกราวนด์..... 30
3.13	วงจรแปลงสัญญาณจากดิจิตอลเป็นสัญญาณอนาล็อก..... 31
3.14	อุปกรณ์ขับเคลื่อน..... 32
3.15	ไดอะแกรมการทำงานของวงจรขับเคลื่อน..... 33

## สารบัญญภาพ (ต่อ)

ภาพที่	หน้า
3.16 วงจรของอุปกรณ์ขับเคลื่อน.....	34
3.17 วงจรของอุปกรณ์วัดกระแส.....	35
3.18 แหล่งจ่ายไฟฟ้ากระแสตรง.....	36
3.19 อุปกรณ์จำลองการเกิดความผิดพลาดชนิดสวิตช์เปิดวงจร.....	37
4.1 ผลการจำลองทางคอมพิวเตอร์แสดงรูปคลื่นกระแสสามเฟส ในขณะที่มอเตอร์ขับเคลื่อนภาระเต็มพิกัด.....	40
4.2 ผลการทดลองแสดงรูปคลื่นกระแสสามเฟสในขณะที่มอเตอร์ขับเคลื่อนภาระเต็มพิกัด.....	40
4.3 ผลการจำลองทางคอมพิวเตอร์แสดงรูปคลื่นกระแสสามเฟส ในขณะที่มอเตอร์ไม่มีภาระทางไฟฟ้า.....	41
4.4 ผลการทดลองแสดงรูปคลื่นกระแสสามเฟสในขณะที่มอเตอร์ไม่มีภาระทางไฟฟ้า.....	41
4.5 ผลการจำลองทางคอมพิวเตอร์แสดงรูปคลื่นกระแสสามเฟส เมื่อเกิดความผิดพลาดชนิดสวิตช์เปิดวงจรที่สวิตช์ T1.....	42
4.6 ผลการทดลองแสดงรูปคลื่นกระแสสามเฟสเมื่อเกิดความผิดพลาด ชนิดสวิตช์เปิดวงจรที่สวิตช์ T1.....	42
4.7 ผลการจำลองทางคอมพิวเตอร์แสดงรูปคลื่นกระแสสามเฟส เมื่อเกิดความผิดพลาดชนิดสวิตช์เปิดวงจรที่สวิตช์ T2.....	43
4.8 ผลการทดลองแสดงรูปคลื่นกระแสสามเฟสเมื่อเกิดความผิดพลาด ชนิดสวิตช์เปิดวงจรที่สวิตช์ T2.....	43
4.9 ผลการจำลองทางคอมพิวเตอร์แสดงรูปคลื่นกระแสสามเฟส เมื่อเกิดความผิดพลาดชนิด สวิตช์เปิดวงจรที่สวิตช์ T3.....	44
4.10 ผลการทดลองแสดงรูปคลื่นกระแสสามเฟสเมื่อเกิดความผิดพลาด ชนิดสวิตช์เปิดวงจรที่สวิตช์ T3.....	44
4.11 ผลการจำลองทางคอมพิวเตอร์แสดงรูปคลื่นกระแสสามเฟส เมื่อเกิดความผิดพลาดชนิดสวิตช์เปิดวงจรที่สวิตช์ T4.....	45
4.12 ผลการทดลองแสดงรูปคลื่นกระแสสามเฟสเมื่อเกิดความผิดพลาด ชนิดสวิตช์เปิดวงจรที่สวิตช์ T4.....	45

## สารบัญภาพ (ต่อ)

ภาพที่	หน้า
4.13 ผลการจำลองทางคอมพิวเตอร์แสดงรูปคลื่นกระแสสามเฟส เมื่อเกิดความผิดปกติของชนิดสวิตช์เปิดวงจรที่สวิตช์ T5.....	46
4.14 ผลการทดลองแสดงรูปคลื่นกระแสสามเฟสเมื่อเกิดความผิดปกติ ชนิดสวิตช์เปิดวงจรที่สวิตช์ T5.....	46
4.15 ผลการจำลองทางคอมพิวเตอร์แสดงรูปคลื่นกระแสสามเฟส เมื่อเกิดความผิดปกติของชนิดสวิตช์เปิดวงจรที่สวิตช์ T6.....	47
4.16 ผลการทดลองแสดงรูปคลื่นกระแสสามเฟสเมื่อเกิดความผิดปกติ ชนิดสวิตช์เปิดวงจรที่สวิตช์ T6.....	47
4.17 ผลการจำลองทางคอมพิวเตอร์แสดงค่าตัวแปรวินิจัยในสภาวะปกติ.....	48
4.18 ผลการทดลองแสดงค่าตัวแปรวินิจัยในสภาวะปกติ.....	48
4.19 ผลการจำลองทางคอมพิวเตอร์แสดงค่าตัวแปรวินิจัย ในสภาวะที่เกิดความผิดปกติที่สวิตช์ T1.....	49
4.20 ผลการทดลองแสดงค่าตัวแปรวินิจัยในสภาวะที่เกิดความผิดปกติที่สวิตช์ T1.....	49
4.21 ผลการจำลองทางคอมพิวเตอร์แสดงค่าตัวแปรวินิจัย ในสภาวะที่เกิดความผิดปกติที่สวิตช์ T2.....	50
4.22 ผลการทดลองแสดงค่าตัวแปรวินิจัยในสภาวะที่เกิดความผิดปกติที่สวิตช์ T2.....	50
4.23 ผลการจำลองทางคอมพิวเตอร์แสดงค่าตัวแปรวินิจัย ในสภาวะที่เกิดความผิดปกติที่สวิตช์ T3.....	51
4.24 ผลการทดลองแสดงค่าตัวแปรวินิจัยในสภาวะที่เกิดความผิดปกติที่สวิตช์ T3.....	51
4.25 ผลการจำลองทางคอมพิวเตอร์แสดงค่าตัวแปรวินิจัย ในสภาวะที่เกิดความผิดปกติที่สวิตช์ T4.....	52
4.26 ผลการทดลองแสดงค่าตัวแปรวินิจัยในสภาวะที่เกิดความผิดปกติที่สวิตช์ T4.....	52
4.27 ผลการจำลองทางคอมพิวเตอร์แสดงค่าตัวแปรวินิจัย ในสภาวะที่เกิดความผิดปกติที่สวิตช์ T5.....	53
4.28 ผลการทดลองแสดงค่าตัวแปรวินิจัยในสภาวะที่เกิดความผิดปกติที่สวิตช์ T5.....	53
4.29 ผลการจำลองทางคอมพิวเตอร์แสดงค่าตัวแปรวินิจัย ในสภาวะที่เกิดความผิดปกติที่สวิตช์ T6.....	54

## สารบัญญภาพ (ต่อ)

ภาพที่	หน้า
4.30 ผลการทดลองแสดงค่าตัวแปรวิจจัยในสภาวะที่เกิดความผิดพลาดที่สวิตซ์ T6.....	54
4.31 ผลการทดลองแสดงการตรวจจับความผิดพลาดในสวิตซ์ T4 ที่ขนาดกระแส 0.44 p.u. ....	55
4.32 ผลการทดลองแสดงการตรวจจับความผิดพลาดในสวิตซ์ T5 ที่ขนาดกระแส 0.75 p.u. ....	55
4.33 ผลการทดลองแสดงการตรวจจับความผิดพลาดในสวิตซ์ T6 ที่ขนาดกระแส 0.85 p.u. ....	56



## สารบัญตาราง

ตารางที่	หน้า
1.1 แผนการดำเนินโครงการ.....	3
2.1 ตารางระบุตำแหน่งสวิตช์ที่เกิดความผิดพลาดโดยวิธี Park's Vector Method.....	13
2.2 ตารางระบุตำแหน่งสวิตช์ที่เกิดความผิดพลาดโดยวิธี Control Deviation Method.....	14
2.3 ตารางระบุตำแหน่งสวิตช์ที่เกิดความผิดพลาดโดยวิธี Normalized DC Current Method.....	15
2.4 ตารางระบุตำแหน่งสวิตช์ที่เกิดความผิดพลาดโดยวิธี Modified Normalized DC Current Method.....	16
2.5 ตารางระบุตำแหน่งสวิตช์ที่เกิดความผิดพลาดโดยวิธี Simple Direct Current Method.....	16

# บทที่ 1

## บทนำ

### 1.1 ความสำคัญและที่มาของปัญหา

ในปัจจุบันคอนเวอร์เตอร์ได้เข้ามามีบทบาทในภาคอุตสาหกรรมรวมไปถึงในชีวิตประจำวันมากขึ้น ตัวอย่างเช่น ระบบขับเคลื่อนมอเตอร์ขอเครื่องจักรในโรงงานอุตสาหกรรมต่าง ๆ หรือในชีวิตประจำวัน เช่น เครื่องปรับอากาศที่มีคอนเวอร์เตอร์ หรือรถยนต์ที่มีระบบไฮบริดจ์ นอกจากนี้ปัญหาการขาดแคลนเชื้อเพลิงในการผลิตพลังงานไฟฟ้าอันสืบเนื่องมาจากการเติบโตทางสังคม และทางเศรษฐกิจส่งผลให้มีความต้องการพลังงานไฟฟ้าเพิ่มมากขึ้นในปัจจุบัน แต่ในขณะนี้ปริมาณของเชื้อเพลิงซึ่งส่วนใหญ่จะเป็นเชื้อเพลิงฟอสซิลนั้นได้ลดจำนวนลง ด้วยเหตุที่เชื้อเพลิงที่ใช้ผลิตพลังงานไฟฟ้ากับความต้องการไฟฟ้าฟ้านั้นสวนทางกัน จึงเกิดความจำเป็นที่จะต้องหาแหล่งของการผลิตพลังงานไฟฟ้าเพิ่มขึ้นเพื่อให้เพียงพอต่อความต้องการพลังงานไฟฟ้าที่เพิ่มขึ้น พลังงานทดแทนจึงกลายมาเป็นทางเลือกที่สำคัญที่จะเข้ามาแก้ปัญหาดังกล่าว โดยจะเห็นได้จากแผนพัฒนาพลังงานทดแทน 15 ปี (พ.ศ. 2551-2565) ของกระทรวงพลังงานที่ได้กำหนดเป้าหมายในการเพิ่มสัดส่วนการใช้พลังงานทดแทนให้เป็นร้อยละ 20 ของการใช้พลังงานทั้งประเทศ และด้วยการประยุกต์ใช้คอนเวอร์เตอร์เข้ากับระบบของการผลิตไฟฟ้าด้วยพลังงานทดแทนที่มีอยู่อย่างแพร่หลายในปัจจุบัน ทำให้เราไม่สามารถที่จะปฏิเสธได้เลยว่าในอนาคต คอนเวอร์เตอร์จะเข้ามามีบทบาทและได้รับการพัฒนาให้มีประสิทธิภาพ และเสถียรภาพมากยิ่งขึ้น

เหตุผลที่คอนเวอร์เตอร์เข้ามามีบทบาทในหลายๆ ด้านดังที่ได้กล่าวไว้ข้างต้นแล้วนั้น เพราะ คอนเวอร์เตอร์ทำให้การใช้พลังงานเป็นไปอย่างมีประสิทธิภาพและคุ้มค่า แต่ปัญหาที่เกิดขึ้นในการนำคอนเวอร์เตอร์มาใช้ก็คือ เมื่อเกิดการผิดพลาด (fault) ขึ้นในคอนเวอร์เตอร์จะทำให้เกิดปัญหากับระบบดังเช่นในกรณีที่เกิดความผิดพลาดชนิดสวิทช์เปิดวงจร (open-switch fault) หรืออาจจะต้องหยุดการทำงานของระบบดังเช่น กรณีที่เกิดความผิดพลาดชนิดสวิทช์ลัดวงจร (short-circuit switch fault) โครงการนี้จะพิจารณาเฉพาะความผิดพลาดชนิดสวิทช์เปิดวงจรเท่านั้น เนื่องจากว่าความผิดพลาดชนิดนี้ไม่ทำให้ระบบต้องหยุดทำงานเพราะระดับกระแสภายใต้สภาวะที่เกิดความผิดพลาดนั้นไม่ได้สูงถึงขนาดที่ทำให้อุปกรณ์ป้องกันทำงาน หากเพียงแต่ทำให้เกิดความเสียหายระยะยาวต่ออุปกรณ์ทางกล และความเครียดในสวิทช์อื่น ๆ เท่านั้น ซึ่งหากสามารถวินิจฉัยและตรวจจับความผิดพลาดสวิทช์ที่มีปัญหาได้แล้ว สามารถแก้ปัญหาได้ก่อนที่จะเกิดปัญหาในระยะยาวต่อไป

ด้วยเหตุนี้ทางคณะผู้ดำเนินโครงการจึงได้เล็งเห็นถึงความสำคัญของปัญหาดังกล่าว จึงนำเสนอโครงการนี้ขึ้นโดยการสร้างระบบที่มีความสามารถในการวินิจฉัยความผิดพลาดชนิดเปิดวงจรสวิทช์ที่สวิทช์กำลัง โดยระบบวินิจฉัยความผิดพลาดดังกล่าวจะช่วยให้ผู้ใช้งานสามารถวินิจฉัยหาสวิทช์ที่ก่อให้เกิดปัญหาในคอนเวอร์เตอร์เพื่อที่จะทำการซ่อมแซมหรือทำการเปลี่ยน

เอกสารนี้เป็นเอกสารที่สงวนไว้สำหรับการใช้งานเพื่อการศึกษาเท่านั้น ไม่อนุญาตให้นำไปใช้ประโยชน์ด้านการค้า ไม่ว่าจะกรณีใดๆ ทั้งสิ้น อีกทั้งห้ามมิให้ตัดแปลงเนื้อหา และต้องอ้างอิงถึงเจ้าของเอกสารทุกครั้งที่มีการนำไปใช้

สวิตช์ใหม่เพื่อให้ระบบทำงานเป็นไปได้อย่างมีประสิทธิภาพ และรวดเร็ว นอกจากนี้ระบบวินิจฉัยความผิดปกติดังกล่าวยังช่วยผู้ใช้งานในการตัดสินใจทำการดำเนินการต่อ โดยอาศัยกระบวนการที่เหมาะสมเช่นการติดตั้งระบบใหม่หรือการทำการหยุดการทำงานของระบบ เพื่อป้องกันการเกิดปัญหาในระยะยาว

## 1.2 วัตถุประสงค์ของโครงการ

1. ศึกษาการเกิดความผิดปกติของชนิดสวิตช์เปิดวงจรในคอนเวอร์เตอร์ 3 เฟส
2. ศึกษาและเปรียบเทียบการทำงานของคอนเวอร์เตอร์ภายใต้สภาวะปกติและสภาวะผิดปกติของชนิดสวิตช์เปิดวงจร
3. ทำการศึกษาและวิเคราะห์ผลกระทบของการเกิดความผิดปกติของชนิดสวิตช์เปิดวงจรในคอนเวอร์เตอร์ 3 เฟส
4. สร้างแบบจำลองทางคอมพิวเตอร์เพื่อใช้ในการวินิจฉัยและวิเคราะห์การเกิดความผิดปกติของชนิดสวิตช์เปิดวงจรในคอนเวอร์เตอร์ 3 เฟส
5. ทำการสร้างระบบต้นแบบเพื่อใช้ในการศึกษาการเกิดความผิดปกติของชนิดสวิตช์เปิดวงจรและวิเคราะห์การเกิดความผิดปกติของชนิดสวิตช์เปิดวงจรในคอนเวอร์เตอร์ 3 เฟส

## 1.3 ขอบเขตและข้อกำหนดของโครงการ

โครงการนี้เป็นการศึกษาการเกิดความผิดปกติของชนิดสวิตช์เปิดวงจรในคอนเวอร์เตอร์ 3 เฟส โดยทำการจำลองการทำงานทางคอมพิวเตอร์ โดยใช้โปรแกรม MATLAB/Simulink และทำการสร้างเครื่องต้นแบบใช้ไมโครคอนโทรลเลอร์ในการควบคุมเพื่อศึกษาการทำงานของระบบโดยจะพิจารณาทั้งในสภาวะที่คอนเวอร์เตอร์ทำงานเป็นปกติ และในสภาวะที่คอนเวอร์เตอร์การเกิดความผิดปกติของชนิดสวิตช์เปิดวงจร ในส่วนของการทดสอบเครื่องต้นแบบนั้นขอบเขตของการทดสอบเครื่องต้นแบบจะถูกกำหนดให้เกิดความผิดปกติของชนิดสวิตช์เปิดวงจรได้ครั้งละ 1 สวิตช์เท่านั้น

## 1.4 วิธีการดำเนินโครงการ

1. ศึกษาและรวบรวมข้อมูลเกี่ยวกับการเกิดความผิดปกติของชนิดสวิตช์เปิดวงจรในคอนเวอร์เตอร์ 3 เฟส ที่ใช้ในระบบขับเคลื่อนเครื่องกำเนิดไฟฟ้าและในการผลิตไฟฟ้า
2. ทำการจำลองการทำงานของคอนเวอร์เตอร์และการเกิดความผิดปกติของชนิดสวิตช์เปิดวงจรชนิดเปิดวงจรที่สวิตช์กำลังในคอนเวอร์เตอร์ 3 เฟส โดยอาศัยโปรแกรม MATLAB/Simulink
3. จัดเตรียมเครื่องมือ และอุปกรณ์ที่เกี่ยวข้องกับงานวิจัย ตลอดจนศึกษาการใช้เครื่องมือและอุปกรณ์ต่าง ๆ

เอกสารนี้เป็นเอกสารที่สงวนไว้สำหรับการใช้งานเพื่อการศึกษาเท่านั้น ไม่อนุญาตให้นำไปใช้ประโยชน์ด้านการค้าไม่ว่ากรณีใดๆ ทั้งสิ้น อีกทั้งห้ามมิให้ตัดแปลงเนื้อหา และต้องอ้างอิงถึงเจ้าของเอกสารทุกครั้งที่มีการนำไปใช้

4. ทำการสร้างเครื่องต้นแบบเพื่อรองรับการทดสอบอัลกอริทึมที่ใช้ในการวินิจฉัยความผิดปกติพร่องชนิดสวิตช์เปิดวงจรที่ได้จากการจำลองทางคอมพิวเตอร์

5. ทำการทดสอบระบบต้นแบบที่สร้างขึ้น ทั้งในสภาวะการทำงานปกติและในสภาวะที่เกิดความผิดปกติพร่องชนิดสวิตช์เปิดวงจร

6. บันทึกข้อมูลจากผลการทดสอบ

7. สรุปผลการทดลอง

8. รวบรวมข้อมูลการทดลอง และจัดทำรูปเล่มปริญญานิพนธ์

## 1.5 แผนการดำเนินโครงการ

ตารางที่ 1.1 แผนการดำเนินโครงการ

การดำเนินงาน	ภาคเรียนที่ 1				ภาคเรียนที่ 2				
	มิ.ย	ก.ค	ส.ค.	ก.ย	ต.ค	พ.ย	ธ.ค.	ม.ค	ก.พ
1.ศึกษาและรวบรวมข้อมูลเกี่ยวกับการเกิด ความผิดปกติพร่องชนิดสวิตช์เปิดวงจร ในคอนเวอร์เตอร์ 3 เฟส									
2.ทำการจำลองการทำงานของคอนเวอร์เตอร์และการเกิดความผิดปกติพร่องชนิดสวิตช์เปิดวงจรชนิดเปิดวงจรที่สวิตช์กำลังในคอนเวอร์เตอร์ 3 เฟส โดยอาศัยโปรแกรม MATLAB/Simulink									
3.ทำการสร้างฮาร์ดแวร์เพื่อรองรับการทดสอบอัลกอริทึมที่ใช้ในการวินิจฉัยความผิดปกติพร่องชนิดสวิตช์เปิดวงจรชนิดเปิดวงจร ที่ได้จากการจำลองทางคอมพิวเตอร์									
4.ทำการทดสอบระบบต้นแบบที่สร้าง									
5.ทำการวิเคราะห์ และเปรียบเทียบผลการทดลองที่ได้จากการจำลองทางคอมพิวเตอร์และการทดสอบจริงในระบบต้นแบบ									
6.สรุปผลการวิจัย นำเสนอโครงการ									

เอกสารนี้เป็นเอกสารที่สงวนไว้สำหรับการใช้งานเพื่อการศึกษาเท่านั้น ไม่อนุญาตให้นำไปใช้ประโยชน์ด้านการค้า ไม่ว่าจะกรณีใดๆ ทั้งสิ้น อีกทั้งห้ามมิให้ตัดแปลงเนื้อหา และต้องอ้างอิงถึงเจ้าของเอกสารทุกครั้งที่มีการนำไปใช้

## 1.6 ประโยชน์ที่ได้รับจากโครงการ

1. โครงการนี้ก่อให้เกิดองค์ความรู้ที่จะนำการตรวจจับความผิดพร้อมชนิดสวิตช์เปิดวงจรชนิดเปิดวงจรในคอนเวอร์เตอร์ชนิดปรับความกว้างพัลส์ไปประยุกต์ใช้กับระบบต่างๆ ที่ใช้ในโรงงานอุตสาหกรรม และระบบพลังงานทดแทนเพื่อให้เกิดประโยชน์สูงสุด
2. เกิดความปลอดภัยและเกิดเสถียรภาพแก่ระบบที่นำโครงการนี้ไปประยุกต์ใช้
3. โครงการนี้สามารถนำไปวิจัยต่อในระดับปริญญาโท และปริญญาเอก เพื่อให้เกิดการพัฒนาปรับปรุงให้สามารถใช้งานได้มีประสิทธิภาพ และหลากหลายมากขึ้น
4. ข้อมูลที่ได้จากการวิจัยนี้จะนำไปสู่การสร้างมาตรฐานให้ประเทศเพื่อรองรับเทคโนโลยีที่จะเข้ามาในอนาคต
5. โครงการวิจัยนี้เป็นการบูรณาการของวิทยาการด้านต่าง ๆ คือ อิเล็กทรอนิกส์กำลัง และ ทฤษฎีทางระบบควบคุม ก่อให้เกิดการประยุกต์แขนงวิชาต่าง ๆ เข้าด้วยกัน ซึ่งสามารถนำองค์ความรู้ไปต่อยอดเสริมสร้างเทคโนโลยีที่สูงขึ้นไปอีกได้

## 1.7 การจัดโครงสร้างของเนื้อหาภายในปฏิญานิพนธ์

เนื้อหาภายในปฏิญานิพนธ์ฉบับนี้สามารถจำแนกได้ดังนี้

**บทที่ 1 บทนำ** กล่าวถึงความสำคัญและที่มาของปัญหา, วัตถุประสงค์ของโครงการ, ขอบเขตและข้อกำหนดของโครงการ, วิธีการที่ใช้ในโครงการ, แผนการดำเนินงาน และประโยชน์ที่ได้รับจากโครงการนี้

**บทที่ 2 ทฤษฎีที่เกี่ยวข้อง** กล่าวถึงทฤษฎีที่เกี่ยวข้องกับคอนเวอร์เตอร์ 3 เฟสและทฤษฎีที่เกี่ยวข้องกับการเกิดความผิดพร้อมชนิดสวิตช์เปิดวงจรและ วิธีวินิจฉัยเมื่อเกิดความผิดพร้อมชนิดสวิตช์เปิดวงจรในคอนเวอร์เตอร์

**บทที่ 3 การออกแบบและสร้างเครื่องต้นแบบ** กล่าวถึงวิธีการจำลองทางคอมพิวเตอร์ และการสร้างเครื่องต้นแบบสำหรับยืนยันผลทางคอมพิวเตอร์ ซึ่งประกอบไปด้วยคอนเวอร์เตอร์สามเฟส วงจรยกระดับแรงดัน และวงจรแยกกราวด์ วงจรตรวจจับกระแส อุปกรณ์จำลองการเกิดความผิดพร้อมชนิดสวิตช์เปิดวงจร แหล่งจ่ายไฟฟ้ากระแสตรง

**บทที่ 4 ผลการจำลองด้วยโปรแกรมคอมพิวเตอร์และผลการทดลอง** กล่าวถึงผลการจำลองทางคอมพิวเตอร์ และผลการทดลอง

**บทที่ 5 บทสรุป ข้อเสนอแนะและแนวทางการพัฒนา** กล่าวถึงบทสรุปที่ได้จากการศึกษาค้นคว้า และการดำเนินจัดทำโครงการ สรุปผลการทดลองที่ได้ รวมไปถึงข้อเสนอแนะที่เกี่ยวข้องกับโครงการนี้

**ภาคผนวก** ประกอบไปด้วย เครื่องต้นแบบที่จัดสร้างขึ้นจริงในปฏิญานิพนธ์ รายการอุปกรณ์ที่ใช้ทดสอบ ข้อมูลอุปกรณ์ที่ใช้ในปฏิญานิพนธ์ บทความทางวิชาการและโปสเตอร์ นำเสนอผลงาน

เอกสารนี้เป็นเอกสารที่สงวนไว้สำหรับการใช้งานเพื่อการศึกษาเท่านั้น ไม่อนุญาตให้นำไปใช้ประโยชน์ด้านการค้า ไม่ว่าจะกรณีใดๆ ทั้งสิ้น อีกทั้งห้ามมิให้ตัดแปลงเนื้อหา และต้องอ้างอิงถึงเจ้าของเอกสารทุกครั้งที่มีการนำไปใช้

## บทที่ 2

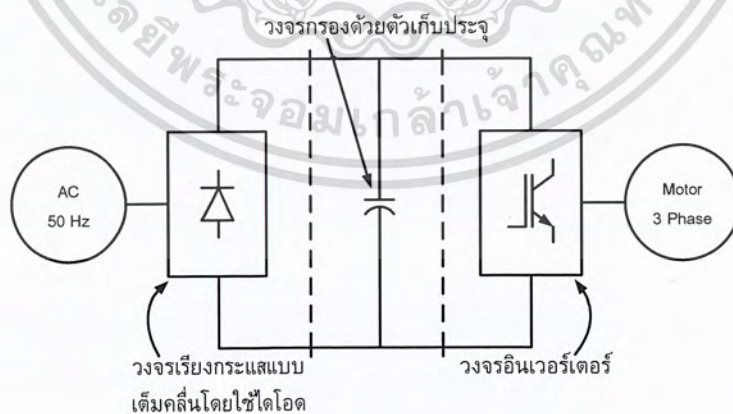
### ทฤษฎีและงานวิจัยที่เกี่ยวข้อง

#### 2.1 บทนำ

เนื้อหาในบทนี้จะนำเสนอเกี่ยวกับทฤษฎีและหลักการพื้นฐาน โดยเนื้อหาหลัก ๆ จะแบ่งออกเป็น 2 ส่วน คือ ส่วนที่เกี่ยวข้องกับอินเวอร์เตอร์ เนื้อหาในส่วนนี้จะเน้นให้ผู้อ่านเข้าใจหลักการการทำงานของอินเวอร์เตอร์ในรูปแบบต่าง ๆ โดยจะเน้นเป็นพิเศษในส่วนของอินเวอร์เตอร์ชนิดปรับความกว้างพัลส์ จากนั้นจะเข้าสู่เนื้อหาในส่วนที่สอง ในส่วนนี้จะนำเสนอเกี่ยวกับทฤษฎีในการวินิจฉัยความผิดปกติแบบต่าง ๆ โดยจะเน้นในส่วนของวิธีวินิจฉัยความผิดปกติโดยใช้เทคนิค Absolute Normalized DC Current Method ซึ่งเป็นวิธีที่ถูกนำไปใช้ในการสร้างเครื่องต้นแบบต่อไป

#### 2.2 อินเวอร์เตอร์

อินเวอร์เตอร์ คือ อุปกรณ์อิเล็กทรอนิกส์ที่ทำหน้าที่แปลงกลับสัญญาณจากไฟฟ้ากระแสตรง (DC) เป็นไฟฟ้ากระแสสลับ (AC) ที่สามารถปรับเปลี่ยนความถี่หรือคาบวัฏจักรของสัญญาณ (ดีวตีไซเคิล) ได้ โดยมีแผนผังการทำงานดังแสดงในภาพที่ 2.1 กล่าวคือแหล่งจ่ายไฟกระแสสลับจ่ายไฟฟ้ากระแสสลับไปยังวงจรเรียงกระแสซึ่งทำหน้าที่เปลี่ยนไฟฟ้ากระแสสลับให้เป็นไฟฟ้ากระแสตรง แล้วนำไฟฟ้ากระแสตรงที่ได้ต่อเป็นแรงดันขาเข้าเข้าไปในวงจรอินเวอร์เตอร์ซึ่งทำหน้าที่เปลี่ยนไฟฟ้ากระแสตรงนี้เป็นไฟฟ้ากระแสสลับที่สามารถเลือกความถี่ได้ เพื่อไปควบคุมมอเตอร์ให้มีความเร็วตามต้องการ วงจรอินเวอร์เตอร์จะประกอบด้วยมอสเฟตกำลัง 6 ชุด โดยทั่วไประบบอินเวอร์เตอร์สามารถแยกออกตามชนิดของอินเวอร์เตอร์ได้ 2 ประเภทคือ



ภาพที่ 2.1 แผนผังของระบบอินเวอร์เตอร์เพื่อการขับเคลื่อนมอเตอร์เหนี่ยวนำ

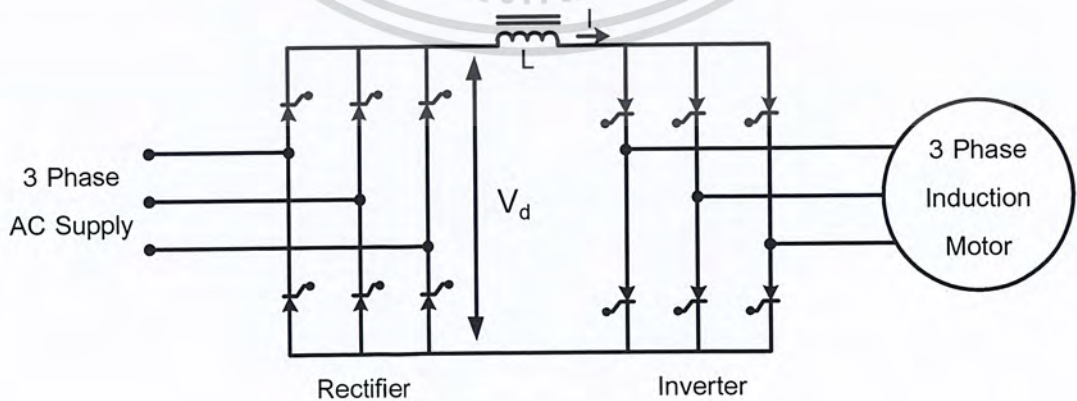
เอกสารนี้เป็นเอกสารที่สงวนไว้สำหรับการใช้งานเพื่อการศึกษาเท่านั้น ไม่อนุญาตให้นำไปใช้ประโยชน์ด้านการค้าไม่ว่ากรณีใดๆ ทั้งสิ้น อีกทั้งห้ามมิให้ตัดแปลงเนื้อหา และต้องอ้างอิงถึงเจ้าของเอกสารทุกครั้งที่มีการนำไปใช้

- อินเวอร์เตอร์แบบแหล่งจ่ายกระแส (current – source inverter : CSI)
- อินเวอร์เตอร์แบบแหล่งจ่ายกระแส (voltage – source inverter : VSI)

โดยอินเวอร์เตอร์ทั้งสองแบบนี้จะให้คุณสมบัติและลักษณะของรูปคลื่นกระแสและแรงดันที่แตกต่างกันและเหมาะสมกับการใช้งานที่แตกต่างกันออกไปด้วย

### 2.2.1 อินเวอร์เตอร์แบบแหล่งจ่ายกระแส

วงจรกำลังของแหล่งจ่ายกระแส (current – source inverter) อินเวอร์เตอร์แสดงในภาพที่ 2.2 จะประกอบด้วยไทรสเตอร์ที่สามารถควบคุมได้ โดยการควบคุมเฟสของไฟฟ้ากระแสสลับและยังมีตัวเหนี่ยวนำขนาดใหญ่ต่ออนุกรมอยู่ แต่ไม่มีตัวเก็บประจุต่อขนานอยู่ด้วยเพื่อสร้างแหล่งจ่ายกระแสให้อินเวอร์เตอร์ ซึ่งเป็นข้อแตกต่างของโครงสร้างวงจรอินเวอร์เตอร์แบบแรงดัน (voltage – source inverter) และในส่วนของอินเวอร์เตอร์จะมีไทรสเตอร์เพื่อทำหน้าที่ควบคุมกระแสที่สามารถเปลี่ยนความถี่ได้เพื่อจ่ายให้กับมอเตอร์รูปร่างของกระแสที่จ่ายออกทางขาออก จะขึ้นอยู่กับรูปแบบ (pattern) ของการควบคุมที่อินเวอร์เตอร์ ซึ่งอาจจะเป็น Six Step หรือ PWM ก็ได้ แต่ลักษณะของแรงดันขาออกจะมีรูปร่างเข้าใกล้รูปคลื่นไซน์ ซึ่งเป็นข้อแตกต่างจากแบบจ่ายแรงดันในเรื่องของรูปคลื่น นอกจากนี้แรงดันทางด้านขาออกจะยังเกิดสไปค์ เนื่องจากการคอมมิวเตทด้วยซึ่งอินเวอร์เตอร์แบบแหล่งจ่ายกระแสจะเหมาะสำหรับงานที่ต้องการกำลังไฟฟ้าสูง ถึงแม้ว่าจะมีข้อดีมากมายดังที่ได้กล่าวมาแล้วสำหรับอินเวอร์เตอร์จ่ายกระแส (current – source inverter) แต่ก็ยังมีข้อจำกัดอีกมากคือ ช่วงความถี่ของอินเวอร์เตอร์ที่สามารถปรับค่าได้ค่อนข้างต่ำและไม่สามารถทำงานได้ในสภาวะไร้โหลด ซึ่งต้องมีกระแสไหลอย่างน้อยที่สุดที่จะทำให้มีการคอมมิวเตทในอินเวอร์เตอร์ได้ นอกจากนี้ขนาดของวงจรเชื่อมโยงทางไฟตรง



ภาพที่ 2.2 วงจรกำลังของอินเวอร์เตอร์แบบแหล่งจ่ายกระแส

เอกสารนี้เป็นเอกสารที่สงวนไว้สำหรับการใช้งานเพื่อการศึกษาเท่านั้น ไม่อนุญาตให้นำไปใช้ประโยชน์ด้านการค้า ไม่ว่าจะกรณีใดๆ ทั้งสิ้น อีกทั้งห้ามมิให้ตัดแปลงเนื้อหา และต้องอ้างอิงถึงเจ้าของเอกสารทุกครั้งที่มีการนำไปใช้

ตัวเหนี่ยวนำ และตัวเก็บประจุของการคอมมิวเตทจะมีขนาดใหญ่ ทำให้อินเวอร์เตอร์แบบนี้ค่อนข้างมีราคาแพง การตอบสนองของการขับเคลื่อน (drive) นี้ค่อนข้างช้าและมีแนวโน้มจะมีปัญหาของการมีเสถียรภาพที่โหลดต่ำ

เนื่องจากโครงงานนี้จะกล่าวถึงรายละเอียดเกี่ยวกับอินเวอร์เตอร์แหล่งจ่ายแรงดัน (voltage – source inverter) ที่เกี่ยวข้องกับโครงงานเป็นส่วนใหญ่ จึงขอกล่าวรายละเอียดอินเวอร์เตอร์แบบแหล่งจ่ายกระแสเพียงส่วนหนึ่งเท่านั้น

## 2.2.2 อินเวอร์เตอร์แบบแหล่งจ่ายแรงดัน

โครงสร้างแรงดันเชื่อมโยงไฟตรงมีขนาดตัวเก็บประจุที่มีค่ามาก อาจจะสามารถกล่าวได้ว่าแรงดันขาเข้าของอินเวอร์เตอร์มีค่าคงที่ ทำให้แรงดันขาออกของอินเวอร์เตอร์คงที่ไม่ขึ้นขึ้นอยู่กับโหลดและโดยทั่วไปอินเวอร์เตอร์แบบแหล่งจ่ายแรงดันนั้นเป็นอินเวอร์เตอร์ที่ใช้กันอย่างแพร่หลาย ซึ่งสามารถที่จะแบ่งออกเป็น 2 ลักษณะ คือ

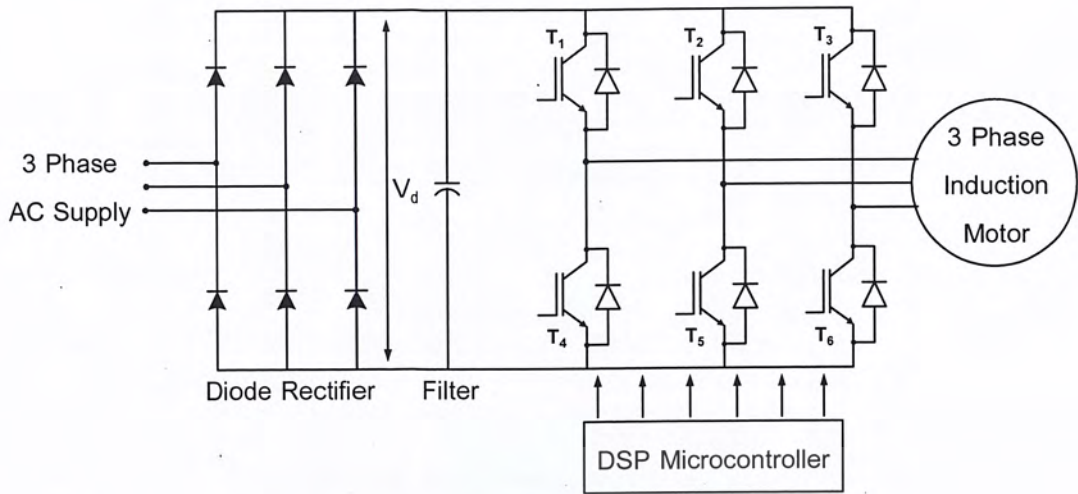
1. อินเวอร์เตอร์รูปคลื่นสี่เหลี่ยม หรืออินเวอร์เตอร์รูปคลื่นขั้นบันได
2. อินเวอร์เตอร์แบบมอดูเลตความกว้างพัลส์

เนื้อหานี้จะกล่าวในส่วนที่เกี่ยวข้องกับโครงงานเท่านั้น ก็คืออินเวอร์เตอร์แบบมอดูเลตความกว้างพัลส์ (pulse width modulation inverter) จะมีข้อดีคือสามารถควบคุมแรงดันและความถี่ได้ง่าย ปรับความถี่ได้ในย่านกว้าง

## 2.2.3 อินเวอร์เตอร์แบบมอดูเลตความกว้างพัลส์

โครงสร้างของอินเวอร์เตอร์ชนิดปรับความกว้างพัลส์ในส่วนของแรงดันเชื่อมโยงทางไฟตรง โดยทั่วไปจะใช้เรกติไฟเออร์ที่เป็นไดโอด ทั้ง 1 เฟส และ 3 เฟส แรงดันเชื่อมโยงทางไฟตรงขึ้นอยู่กับแรงดันไฟสลับที่ป้อนเข้า ซึ่งไม่สามารถควบคุมแรงดันไฟตรงได้ ส่วนความถี่และแรงดันขาออกแรงดันมูลฐาน สามารถควบคุมโดยใช้เทคนิคและความสัมพันธ์ของตัวแปรของ PWM แต่ละชนิด ซึ่งจะกล่าวรายละเอียดในส่วนต่อไป สำหรับเทคนิค PWM นี้จะทำให้แรงดันด้านออกที่มีองค์ประกอบฮาร์มอนิกอันดับต่ำน้อยลง แต่จำนวนครั้งของการสวิตช์สูงขึ้น ดังนั้นจึงมีปัญหาการสวิตช์ซิง แต่จะใช้งานได้ดีในย่านความถี่ต่ำทำให้แรงบิดเริ่มต้นมีค่าสูงและลดปัญหาการกระเพื่อมของแรงบิด

จากภาพที่ 2.3 เป็นการแสดงลักษณะโครงสร้างของ PWM อินเวอร์เตอร์แบบแหล่งจ่ายแรงดัน โดยรับแรงดัน 3 เฟส จากแหล่งจ่ายของระบบไฟฟ้าผ่านวงจรเรียงกระแสแบบไดโอด



ภาพที่ 2.3 วงจรกำลังของ PWM อินเวอร์เตอร์

ซึ่งเป็นวงจรสร้างแรงดันไฟตรงป้อนให้กับอินเวอร์เตอร์ และในส่วนของ PWM อินเวอร์เตอร์แบบแหล่งจ่ายแรงดันนี้จะเป็นส่วนที่ทำหน้าที่ควบคุมความถี่ และแรงดันที่ป้อนให้กับมอเตอร์ หลักการหนึ่งที่ใช้ในการกำเนิดสัญญาณควบคุมสวิตช์ของอินเวอร์เตอร์ก็คือจะใช้เปรียบเทียบระหว่างแรงดันควบคุมที่เป็นรูปไซน์ 3 เฟส ( $V_{\text{control}}$ ) ที่มีเฟสต่างกัน 120 องศาทางไฟฟ้า และมีคุณสมบัติที่สามารถปรับขนาดให้แปรผันไปตามความถี่ได้ด้วย โดยการนำสัญญาณควบคุมนี้ไปเปรียบเทียบกับสัญญาณสามเหลี่ยม (triangle waveform) ที่มีความถี่เท่ากับความถี่ของสวิตช์ จากนั้นนำสัญญาณที่ได้จากการเปรียบเทียบที่เป็นสัญญาณพัลส์ไปควบคุมลำดับของการสวิตช์อีกที ซึ่งการนำคลื่นไซน์  $V_{\text{control}}$  กับคลื่นสามเหลี่ยม  $V_{\text{tri}}$  มาเปรียบเทียบกับกัน หรือเรียกว่าการมอดูเลต จะมีอัตราการมอดูเลตโดยแบ่งออกเป็นอัตราการมอดูเลตด้านขนาด และอัตราการมอดูเลตด้านความถี่ซึ่งจะเขียนเป็นสมการได้ดังนี้

อัตราการมอดูเลตด้านขนาด

$$m_a = \frac{V_{\text{control}}}{V_{\text{tri}}} \quad (2.1)$$

เมื่อ  $V_{\text{control}}$  คือ ค่ายอดของรูปคลื่นไซน์  
 $V_{\text{tri}}$  คือ ค่ายอดของรูปของรูปคลื่นสามเหลี่ยม

อัตราการมอดูเลตด้านความถี่

$$m_f = \frac{f_s}{f_l} \quad (2.2)$$

เมื่อ  $f_l$  คือ ค่าความถี่มูลฐานทางขาออกของอินเวอร์เตอร์  
 $f_s$  คือ ความถี่ของการสวิตช์ซิงของอินเวอร์เตอร์

เอกสารนี้เป็นเอกสารที่สงวนไว้สำหรับการใช้งานเพื่อการศึกษาเท่านั้น ไม่อนุญาตให้นำไปใช้ประโยชน์ด้านการค้า ไม่ว่าจะกรณีใดๆ ทั้งสิ้น อีกทั้งห้ามมิให้ตัดแปลงเนื้อหา และต้องอ้างอิงถึงเจ้าของเอกสารทุกครั้งที่มีการนำไปใช้

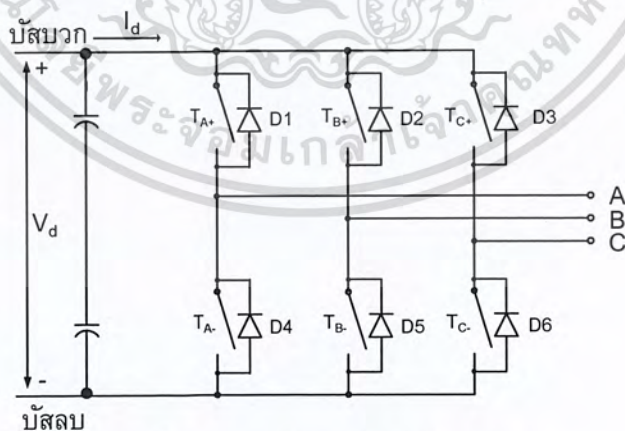
ถ้าค่า  $m_a$  อยู่ในช่วง  $0 \leq m_a \leq 1$  จะเป็นช่วงการมอดูเลตเชิงเส้น ซึ่งหมายถึง องค์ประกอบมูลฐานของแรงดันไฟฟ้าขาออก (fundamental – frequency component of the output voltage) โดยจะแปรผันเชิงเส้นกับค่า  $m_a$

ถ้าค่า  $m_a$  อยู่ในช่วงที่มีค่ามากกว่า 1 ( $m_a > 1$ ) จะเป็นช่วงการควบคุมแบบมอดูเลตเกิน ซึ่งผลของแรงดันไฟฟ้าด้านออกจะมีองค์ประกอบฮาร์มอนิกสูงกว่าช่วงการมอดูเลตเชิงเส้น

อย่างไรก็ตามข้อเสียกรณีมอดูเลตเกินก็คือ ทำให้เกิดฮาร์มอนิกลำดับต่ำ ๆ ที่อยู่ใกล้กับฮาร์มอนิกลำดับที่ 1 หรือความถี่มูลฐาน เช่น ฮาร์มอนิกลำดับที่ 3, 5, 7 เป็นต้น ซึ่งถ้านำไปใช้งานจะเกิดผลเสียมาก โดยเฉพาะอย่างยิ่งการขับเคลื่อนมอเตอร์เหนี่ยวนำเพราะฮาร์มอนิกลำดับที่ 3, 5, 7 จะทำให้เกิดกำลังไฟฟ้าสูญเสียและทำให้เกิดความเร็วหลายความเร็วในเวลาเดียวกันทำให้มอเตอร์ไฟฟ้าหมุนไม่สม่ำเสมออาจเกิดผลเสียต่อสมรรถนะของมอเตอร์ได้

#### 2.2.4 อินเวอร์เตอร์สามเฟส

การแปลงผันกำลังไฟฟ้าจากแรงดันไฟฟ้ากระแสตรงเป็นไฟฟ้ากระแสสลับให้กับโหลด 3 เฟส นิยมแปลงผันกำลังไฟฟ้าผ่านอินเวอร์เตอร์สามเฟสซึ่งจะเหมาะกับงานที่ต้องการกำลังไฟฟ้าแรงสูง เพราะถ้าหากใช้อินเวอร์เตอร์เฟสเดียวแบบฟูลบริดจ์จำนวนสามชุดก็ได้ แต่ต้องใช้สวิตช์จำนวนถึง 12 ตัว นอกจากนั้นยังต้องอาศัยวงจรควบคุมที่ทำให้แต่ละเฟสต่างกัน 120 องศาของความถี่มูลฐาน จึงไม่เหมาะสมที่จะใช้อินเวอร์เตอร์เฟสเดียวแบบฟูลบริดจ์จำนวน 3 ตัว จึงมีการพัฒนาอินเวอร์เตอร์สามเฟสขึ้นมาใช้ที่ควบคุมแรงดันไฟฟ้าขาออกได้ทั้งขนาดและความถี่ ซึ่งมีลักษณะวงจรดังภาพที่ 2.4 จะเห็นว่ามีจำนวนสวิตช์และไดโอดจำนวนอย่างละ 6 ตัว และประกอบด้วย 3 กิ่งหรือ 3 เฟส



ภาพที่ 2.4 วงจรอินเวอร์เตอร์ 3 เฟส

เอกสารนี้เป็นเอกสารที่สงวนไว้สำหรับการใช้งานเพื่อการศึกษาเท่านั้น ไม่อนุญาตให้นำไปใช้ประโยชน์ด้านการค้า ไม่ว่าจะกรณีใดๆ ทั้งสิ้น อีกทั้งห้ามมิให้ตัดแปลงเนื้อหา และต้องอ้างอิงถึงเจ้าของเอกสารทุกครั้งที่มีการนำไปใช้

## 2.2.5 อินเวอร์เตอร์แหล่งจ่ายแรงดันไฟฟ้าสามเฟสแบบปรับความกว้างพัลส์

อินเวอร์เตอร์สามเฟสจะคล้ายกับอินเวอร์เตอร์เฟสเดียว แรงดันไฟฟ้าขาออกที่สามารถควบคุมได้ทั้งขนาดและความถี่ เพื่อที่จะให้ได้แรงดันขาออกที่สมดุลและมีเฟสต่างกัน 120 องศาของความถี่มูลฐาน จึงต้องใช้รูปคลื่นสามเหลี่ยมเปรียบเทียบกับแรงดันควบคุมรูปไซน์ที่แตกต่างกัน 120 องศา ในอินเวอร์เตอร์ 3 เฟสจะพิจารณาฮาร์มอนิกเน้นเฉพาะค่าแรงดันระหว่างไลน์ (line - to - line voltage) เริ่มจากฮาร์มอนิกของแรงดันเฟส ( $V_{AN}$ ) ซึ่งจะมีค่าฮาร์มอนิกเลขคี่เกิดขึ้นที่ค่าไซน์แบนด์ของ  $m_f$  และที่จำนวนเท่าของ  $m_f$  โดยค่าแรงดัน  $V_{AN}, V_{BN}$  จะมีเฟสต่างกัน 120 องศา ทำให้แรงดันไฟฟ้าจะไม่มีฮาร์มอนิกลำดับที่ 3 หารลงตัวที่เป็นเลขคี่ เช่น ฮาร์มอนิกที่ 3, 9, 15, 21 เป็นต้น นอกจากนี้ในกรณีแรงดันเฟสที่มีโหลดสมดุล ค่าแรงดันไลน์จะไม่มีฮาร์มอนิกเลขคู่ เช่น ฮาร์มอนิกลำดับที่ 2, 4, 6, 8 เป็นต้น

สามารถสรุปส่วนสำคัญของอินเวอร์เตอร์สามเฟสได้ดังนี้

1. ที่ค่า  $m_f \leq 21$  หากต้องการกำจัดฮาร์มอนิกเลขคู่จะต้องใช้การสวิตซ์ซึ่งแบบ PWM ที่ซิงโครไนส์ หมายถึง  $m_f$  ต้องเป็นจำนวนเต็มและความถี่หลักมูลจะเริ่มจนจบคาบ พร้อมกับการสวิตซ์ซิงของรูปคลื่นสามเหลี่ยม และค่า  $m_f$  เป็นจำนวนเลขคี่

2. ที่ค่า  $m_f \geq 21$  ฮาร์มอนิกย่อยที่เกิดจากการสวิตซ์ซึ่งแบบ PWM ที่ไม่ซิงโครไนส์  $m_f$  ต้องไม่เป็นจำนวนเต็ม จะมีค่าน้อย แต่ต้องตระหนักถึงว่าควรหลีกเลี่ยงการสวิตซ์ซึ่งแบบ PWM ที่ไม่ซิงโครไนส์เพราะจะทำให้เกิดฮาร์มอนิกย่อยที่ใกล้ความถี่มูลฐาน

3. ที่ค่า  $m_a > 1$  หากไม่พิจารณาค่าของ  $m_f$  จะมีผลเช่นเดียวกับกรณีที่ 1

### 3.1 อินเวอร์เตอร์สามเฟสทำงานในย่านมอดูเลตเชิงเส้น ( $m_a \leq 1$ )

ในย่าน  $m_a \leq 1$  ค่าแรงดันไฟฟ้าที่ความถี่หลักมูลในหนึ่งกึ่งหรือหนึ่งเฟส จะเท่ากับสมการดังต่อไปนี้

$$\hat{V}_{AN} = m_a \cdot \frac{V_d}{2} \quad (2.3)$$

เมื่อ  $m_a \leq 1$

ดังนั้นแรงดันไลน์ที่ความถี่หลักมูลซึ่งต่างเฟสกัน 120 องศา สามารถเขียนความสัมพันธ์เป็นสมการได้ดังนี้

$$V_{LL1} = \frac{\sqrt{3}}{\sqrt{2}} \hat{V}_{AN1} \quad (2.4)$$

$$= \frac{\sqrt{3}}{2\sqrt{2}} m_a V_d$$

$$\approx 0.612 m_a V_d$$

เมื่อ  $m_a \leq 1$

เอกสารนี้เป็นเอกสารที่สงวนไว้สำหรับการใช้งานเพื่อการศึกษาเท่านั้น ไม่อนุญาตให้นำไปใช้ประโยชน์ด้านการค้าไม่ว่ากรณีใดๆ ทั้งสิ้น อีกทั้งห้ามมิให้ตัดแปลงเนื้อหา และต้องอ้างอิงถึงเจ้าของเอกสารทุกครั้งที่มีการนำไปใช้

ความหมายของการทำงานย่านมอดูเลต หากมีแหล่งจ่ายแรงดันเชื่อมโยงมีค่า 311 โวลต์ เมื่อปรับ  $m_a = 0.5$  จะได้แรงดันระหว่างสายของระบบไฟฟ้าเฟสเดียว คือ  $0.612 \times 0.5 \times 311 = 65.17$  โวลต์ หมายถึงแรงดันที่ความถี่หลักมูล = 95.17 โวลต์ เมื่อปรับเป็น 1 หรือจำนวน 2 เท่า แรงดันก็จะเพิ่มเป็น 2 เท่าด้วยเช่นกัน

### 3.2 อินเวอร์เตอร์สามเฟสเมื่อทำงานในย่านโอเวอร์มอดูเลต ( $m_a > 1$ )

ในย่าน ( $m_a > 1$ ) อธิบายการทำงานเหมือนกับอินเวอร์เตอร์เฟสเดียวอัตราส่วนแรงดันไฟฟ้าระหว่างสายที่ความถี่หลักมูลหารกับแรงดันไฟฟ้ากระแสตรง ( $V_{LL1}/V_d$ ) จะมีค่าอยู่ระหว่าง 0.612 ถึง 0.78 สำหรับการทำงานในย่านโอเวอร์มอดูเลตมีข้อดีคือ ขนาดแรงดันไฟฟ้าที่ความถี่หลักมูลจะมีค่าสูงกว่าในกรณีย่านเชิงเส้น ( $m_a \leq 1$ ) แต่การเพิ่มขึ้นของแรงดันไฟฟ้าจะไม่เป็นเชิงเส้นจนถึงค่าค่าหนึ่ง ข้อเสียของการทำงานในย่านโอเวอร์มอดูเลตคือ ทำให้เกิดฮาร์โมนิกส์ลำดับต่างๆ ที่อยู่ใกล้ฮาร์โมนิกส์ลำดับที่หนึ่ง

### 2.3 วิธีวินิจฉัยเมื่อเกิดความผิดปกติพร้อมชนิดสวิตช์เปิดวงจรในคอนเวอร์เตอร์

เมื่อเกิดความผิดปกติพร้อมชนิดสวิตช์เปิดวงจรขึ้นกับคอนเวอร์เตอร์ กระแสเฟสที่เกิดความผิดปกติพร้อมนั้นจะหายไปครึ่งคาบ ซึ่งจะเป็นครึ่งบวกหรือครึ่งลบนั้น ก็ขึ้นอยู่กับว่าสวิตช์ในแถวบนหรือแถวล่างหายไป โดยลักษณะของรูปคลื่นกระแสจะคล้ายกับรูปคลื่นที่ได้จากวงจรเรียงกระแสครึ่งคลื่น ซึ่งการหายไปครึ่งไซเคิลของกระแสจะไปเพิ่ม offset ของกระแสทั้งสามเฟสทำให้มีฮาร์โมนิกเพิ่มขึ้น ซึ่งฮาร์โมนิกดังกล่าวอาจทำให้การอิมิตัวของหม้อแปลงได้ถึงแม้ว่าการเกิดความผิดปกติพร้อมชนิดสวิตช์เปิดวงจรนั้นจะไม่ได้ก่อความเสียหายอย่างทันทีทันใดกับตัวคอนเวอร์เตอร์ แต่ความผิดปกติพร้อมชนิดสวิตช์เปิดวงจรที่เกิดขึ้นก็สามารถที่จะสร้างความเสียหายอย่างรุนแรงต่อตัวเครื่องจักรกลไฟฟ้าได้ โดยทั่วไป การเกิดความผิดปกติพร้อมชนิดสวิตช์เปิดวงจรในคอนเวอร์เตอร์นั้นจะทำให้เกิดการแกว่งของแรงบิดแม่เหล็กไฟฟ้า ( $T_e$ ) ซึ่งผลดังกล่าวอาจจะทำให้เกิดการแกว่งของความเร็วที่ความถี่ต่ำตามมา นอกจากนี้ การเกิดความผิดปกติพร้อมชนิดสวิตช์เปิดวงจรยังทำให้เกิดการแกว่งของกำลังไฟฟ้าจริง (P) และกำลังไฟฟ้าเสมือน (Q) ของด้านสเตเตอร์ด้วย ในกรณีของการเกิดความผิดปกติพร้อมชนิดเปิดวงจรกระแสของเฟสที่เกิดความผิดปกติพร้อมจะเป็นได้เพียงค่าบวก หรือค่าลบเท่านั้น

ด้วยลักษณะเฉพาะของกระแสเมื่อเกิดความผิดปกติพร้อมที่สัมพันธ์กับสวิตช์แต่ละตัว ทำให้เราสามารถนำค่ากระแสเมื่อเกิดความผิดปกติพร้อมมาวิเคราะห์เพื่อหาตำแหน่งที่เกิดความผิดปกติพร้อมวิธีการในการวินิจฉัยความผิดปกติพร้อมชนิดเปิดวงจร ในปัจจุบันนั้นมีด้วยกันหลายวิธี ซึ่งแต่ละวิธีนั้นก็จะมีขั้นตอนวิธีการ ข้อดีและข้อเสียแตกต่างกันออกไป วิธีการในการตรวจวินิจฉัยความผิดปกติพร้อมชนิดสวิตช์เปิดวงจรจะมีอยู่ด้วยกันดังนี้

- Park's Vector Method [3]
- The Slope Method [3]
- Control Deviation Method [3]
- Normalized DC Current Method [1]

เอกสารนี้เป็นเอกสารที่สงวนไว้สำหรับการใช้งานเพื่อการศึกษาเท่านั้น ไม่อนุญาตให้นำไปใช้ประโยชน์ด้านการค้าไม่ว่ากรณีใดๆ ทั้งสิ้น อีกทั้งห้ามมิให้ตัดแปลงเนื้อหา และต้องอ้างอิงถึงเจ้าของเอกสารทุกครั้งที่มีการนำไปใช้

- Modified Normalized DC Current Method [3], [4]
- Simple Direct Current Method [3]
- Absolute Normalized DC Current Method [5]

จากวิธีหาความผิดพร่องที่กล่าวมานั้นวิธี Slope Method เป็นวิธีที่มีประสิทธิภาพน้อยสุด เนื่องจากใช้เวลาในการหาความผิดพร่องนานเพราะภายใต้สภาวะที่กระแสปกติ The Slope Method มีค่าบางค่าอยู่ในช่วงของการแจ้งเตือนความผิดพร่อง ส่วนวิธี Modified Normalized DC Current Method นั้นจะเป็นวิธีที่มีประสิทธิภาพมากกว่าวิธี Slope Method เนื่องจากใช้เวลาน้อยกว่า และผลที่ได้นั้นชัดเจน ไม่คลุมเครือเหมือนกับวิธี Slope Method แต่หากเปรียบเทียบกันระหว่างวิธี Absolute Normalized DC Current Method กับวิธี Modified Normalized DC Current Method แล้ว วิธี Absolute Normalized DC Current Method จะตรวจจับความผิดพร่องได้เร็วกว่า เพราะว่าวิธีนี้นั้นสามารถตรวจจับได้เร็วกว่าวิธี Modified Normalized DC Current Method ในสภาวะที่กระแสเป็นปกติ และเมื่อกระแส นั้นหายไปครึ่งคาบ วิธี Absolute Normalized DC Current Method จะสามารถตรวจจับความผิดปกติได้เร็วกว่าส่วนข้อเสียของวิธี Absolute Normalized DC Current Method นี้มีการทำงานที่ดีอยู่ในช่วงทุกความถี่ แต่ข้อเสียก็คือเมื่ออยู่ในช่วงของความถี่ที่เข้าใกล้ศูนย์เมื่อนำไปประยุกต์ใช้กับการตรวจจับความผิดพร่องชนิดเปิดวงจรแล้วนั้น ถ้าความเร็วของโรเตอร์ของเครื่องจักรไฟฟ้าเข้าสู่ความเร็วซิงโครนัสค่าของ Normalized DC current นั้นจะมีค่าเกินช่วงของ 0.45 และ -0.45 และวิธีนี้ยังมีความล่าช้าของการคำนวณค่าของ Normalized DC current และเวลาของการหน่วงเวลานี้จะเพิ่มเวลาของการตรวจจับการเกิดความผิดพร่องชนิดเปิดวงจรที่ความถี่อื่น

### 2.3.1 Park's Vector Method

วิธี Park's Vector Method เป็นวิธีวินิจฉัยความผิดพร่องโดยใช้ค่าเฉลี่ยมากกว่า 1 คาบในองค์ประกอบ  $\alpha\beta$  คำนวณได้โดยใช้สมการที่ 2.5 เพื่อหาค่าตัวแปรในการวินิจฉัย ( $\mu_v$ ) สำหรับระบบที่ไม่มี ความผิดพร่องชนิดเปิดวงจร ค่าสเปซเวกเตอร์ของกระแสจะวิ่งเป็นวงกลมและค่าเฉลี่ยของกระแสจะมีค่าเป็นศูนย์ โดยที่ค่าเฉลี่ยจำเป็นต้องได้รับค่ามากกว่า 1 คาบ ดังแสดงในสมการที่ 2.6 ผลลัพธ์ของค่าสเปซเวกเตอร์สามารถอธิบายได้โดยขนาดและมุมดังสมการที่ 2.7 และ 2.8 ถ้าขนาดมีค่ามากกว่าค่าที่ตั้งไว้ ความผิดพร่องจะถูกตรวจจับ สวิตซ์ที่เกิดความผิดพร่องสามารถระบุได้โดยเปรียบเทียบค่ามุมในตารางที่ 1

$$\mu_v = \frac{1}{N} \sum_{i=1}^N I_v(k\tau) \quad (2.5)$$

$$\mu = |\bar{\mu}| = \sqrt{\mu_\alpha^2 + \mu_\beta^2} \quad (2.6)$$

เอกสารนี้เป็นเอกสารที่สงวนไว้สำหรับการใช้งานเพื่อการศึกษาเท่านั้น ไม่อนุญาตให้นำไปใช้ประโยชน์ด้านการค้า ไม่ว่าจะกรณีใดๆ ทั้งสิ้น อีกทั้งห้ามมิให้ตัดแปลงเนื้อหา และต้องอ้างอิงถึงเจ้าของเอกสารทุกครั้งที่มีการนำไปใช้

$$\arg \{ \underline{\mu} \} = \arctan \left( \frac{\mu_\beta}{\mu_\alpha} \right) \quad (2.7)$$

$$\frac{1}{f_{\text{mains}}} = N\tau \quad (2.8)$$

$$v \in [\alpha, \beta] \quad (2.9)$$

ตารางที่ 2.1 ตารางระบุตำแหน่งสวิตช์ที่เกิดความผิดพลาดโดยวิธี Park's Vector Method

Transistor	Magnitude	Argument (deg)
T1	Exceed Threshold	150 to 210
T2		210 to 270
T3		270 to 330
T4		330 to 30
T5		30 to 90
T6		90 to 150

### 2.3.2 The Slope Method

เมื่อพิจารณาแนวทางเดิน (Trajectory) ของกระแสหลังจากแปลงแกนด้วยวิธีการแปลงพาร์ก ค่าแนวทางเดินของกระแสสามารถแสดงได้ถึงสาเหตุที่ทำให้เกิดความผิดพลาด นั่นคือใน ส่วนเส้นตรงในแนวทางเดินของกระแสจะมีค่าความชันอยู่ ซึ่งค่าความชันจะขึ้นอยู่กับเฟสที่เกิด ความผิดพลาดของสวิตช์ ค่าความชัน ( $\sigma$ ) สามารถนำมาคำนวณเพื่อใช้ในการวินิจฉัย โดยถ้ามี ค่าเท่ากับศูนย์แสดงว่าเกิดความผิดพลาดที่เฟส A ถ้ามีค่าเท่ากับ  $\sqrt{3}$  แสดงว่าเกิดความผิดพลาดที่เฟส B และถ้ามีค่าเท่ากับ  $-\sqrt{3}$  แสดงว่าเกิดความผิดพลาดขึ้นที่เฟส C การวินิจฉัย ความผิดพลาดด้วยวิธีนี้จะสามารถระบุตำแหน่งการเกิดความผิดพลาดได้ใน  $1/4$  คาบ

$$\sigma = \frac{\Delta i_\alpha}{\Delta i_\beta} \quad (2.10)$$

### 2.3.3 Control Deviation Method

การควบคุมส่วนเบี่ยงเบนซึ่งก็คือค่ากระแสที่ได้รับเมื่อค่าไม่เป็นไปตามค่าที่อ้างอิง ในกรณีที่เกิดความผิดพลาดชนิดสวิตช์เปิดวงจร ในการควบคุมส่วนเบี่ยงเบนสามารถคำนวณ ค่าได้ในองค์ประกอบ dq ค่าส่วนเบี่ยงเบนที่มากที่สุดจะบอกข้อมูลตำแหน่งสวิตช์ที่เกิดความผิดพลาดได้ สำหรับการตรวจจับ ใน 1 คาบของความถี่มูลฐานนั้นจะสามารถแบ่งออกได้เป็น 32

เอกสารนี้เป็นเอกสารที่สงวนไว้สำหรับการใช้งานเพื่อการศึกษาเท่านั้น ไม่อนุญาตให้นำไปใช้ประโยชน์ด้านการค้า ไม่ว่ากรณีใดๆ ทั้งสิ้น อีกทั้งห้ามมิให้ตัดแปลงเนื้อหา และต้องอ้างอิงถึงเจ้าของเอกสารทุกครั้งที่มีการนำไปใช้

ส่วนการประมวลผล ค่าความผิดพร่องของสวิตช์นั้นสามารถสรุปได้โดยค่าตัวแปรวินิจัย  $\kappa$  ซึ่งเมื่อค่า  $\kappa$  มีค่ามากกว่า 0.5 แสดงมีความผิดพร่องเกิดขึ้นที่สวิตช์

ตารางที่ 2.2 ตารางระบุสวิตช์ที่เกิดความผิดพร่องโดยวิธี Control Deviation Method

Transistor	Magnitude	Argument (deg)
T1	> 0.5	330 to 30
T2		210 to 270
T3		90 to 150
T4		150 to 210
T5		30 to 90
T6		270 to 330

$$\Delta I = \sqrt{(I_{d,ref} - I_d)^2 + (I_{q,ref} - I_q)^2} \quad (2.11)$$

$$c_v = \frac{1}{N} \sum_{k=0}^{N-1} |\Delta I(k\tau)| e^{j\frac{2\pi vk}{N}} \quad (2.12)$$

$$\kappa = \left| \frac{c_1}{c_0} \right| \quad (2.13)$$

$$\arg\{c_1\} = \arctan\left(\frac{I\{c_1\}}{R\{c_1\}}\right) \quad (2.14)$$

### 2.3.4 Normalized DC Current Method

วิธีนี้ถูกพัฒนาขึ้นโดย Abramik [4] ด้วยการใช้ค่าองค์ประกอบตรงของกระแส ( $\mu$ ) ซึ่งเป็นค่าที่ใช้ค่าเฉลี่ยในการคำนวณมากกว่า 1 คาบ ในการจะหาค่าตัวแปรวินิจัย ต้องทราบค่าสัมประสิทธิ์ของกระแส ซึ่งสามารถคำนวณได้จากสมการที่ 2.16 และ 2.17 แล้วนำไปคำนวณหาค่าตัวแปรวินิจัยได้ในสมการที่ 2.15

$$\gamma_v = \frac{\mu_v}{\sqrt{a_{1,v}^2 + b_{1,v}^2}} \quad (2.15)$$

$$a_{1,v} = \frac{2}{N} \sum_{k=i-N+1}^i I_v(k\tau) \cos\left(\frac{2\pi k}{N}\right) \quad (2.16)$$

เอกสารนี้เป็นเอกสารที่สงวนไว้สำหรับการใช้งานเพื่อการศึกษาเท่านั้น ไม่อนุญาตให้นำไปใช้ประโยชน์ด้านการค้า ไม่ว่าจะกรณีใดๆ ทั้งสิ้น อีกทั้งห้ามมิให้ตัดแปลงเนื้อหา และต้องอ้างอิงถึงเจ้าของเอกสารทุกครั้งที่มีการนำไปใช้

$$b_{1,v} = \frac{2}{N} \sum_{k=i-N+1}^i I_v(k\tau) \sin\left(\frac{2\pi k}{N}\right) \quad (2.17)$$

$$d_{1,i} = \begin{cases} 1: \gamma_i > 0 \\ 0: \gamma_i \leq 0 \end{cases} \quad (2.18)$$

$$d_{2,i} = \begin{cases} 1: |\gamma_i| > 0.45 \\ 0: |\gamma_i| \leq 0.45 \end{cases} \quad (2.19)$$

$$v \in [a, b, c] \quad (2.20)$$

ในการตัดสินใจว่าความผิดพร่องที่เกิดขึ้นเกิดที่สวิตช์ตำแหน่งใดจะใช้ตารางที่ 2.3 และสมการที่ 2.18 กับ 2.19 ในการหาค่า วิธีในการวินิจฉัยความผิดพร่องวิธีนี้เป็นวิธีต้นฉบับในการควบคุมแบบวงเปิด

**ตารางที่ 2.3** ตารางระบุตำแหน่งสวิตช์ที่เกิดความผิดพร่องโดยวิธี Normalized DC Current Method

Transistor	$d_{1,a}$	$d_{1,b}$	$d_{1,c}$	$d_{2,a}$	$d_{2,b}$	$d_{2,c}$
T1	1	0	0	1	0	0
T2	0	1	0	0	1	0
T3	0	0	1	0	0	1
T4	0	1	1	1	0	0
T5	1	0	1	0	1	0
T6	1	1	0	0	0	1

### 2.3.5 Modified Normalized DC Current Method

วิธีการ Modified Normalized DC Current Method จะใช้หลักการเช่นเดียวกับวิธี Normalized DC Current Method แต่จะมีวิธีที่จะระบุตำแหน่งสวิตช์ที่เกิดความผิดพร่องได้โดยใช้ค่าตัวแปรที่น้อยกว่าดังที่แสดงในตารางที่ 2.4 ช่องในตารางที่ว่างเปล่าหมายถึงสถานะของทั้งคู่นั้นไม่มีความสัมพันธ์กัน

ตารางที่ 2.4 ตารางระบุตำแหน่งสวิตช์ที่เกิดความผิดพร่องโดยวิธี Modified Normalized DC Current Method

Transistor	$d_{1,a}$	$d_{1,b}$	$d_{1,c}$	$d_{2,a}$	$d_{2,b}$	$d_{2,c}$
T1	1			1		
T2		1			1	
T3			1			1
T4	0			1		
T5		0			1	
T6			0			1

### 2.3.6 Simple Direct Current Method

สำหรับวิธีปกติที่ใช้ค่าองศาประกอบโดยตรงในการคำนวณหาความผิดพร่องที่เกิดขึ้น โดยไม่ใช้วิธีการแปลงแกนของ Park's Vector Transformation หรือวิธี Normalization ค่าองศาประกอบโดยตรงที่ได้จะถูกนำไปเปรียบเทียบกับค่า  $\delta$  ซึ่งจะสามารถระบุตำแหน่งได้ดังตารางที่ 2.5 ในกรณีที่ค่าองศาประกอบโดยตรงมีค่าน้อยกว่าค่า  $\delta$  ค่าสัมบูรณ์ที่มีค่ามากที่สุดจะถูกนำมาพิจารณา

ตารางที่ 2.5 ตารางระบุตำแหน่งสวิตช์ที่เกิดความผิดพร่องโดยวิธี Simple Direct Current Method

Transistor	$\mu_a$	$\mu_b$	$\mu_c$
T1	$> \delta$		
T2		$> \delta$	
T3			$> \delta$
T4	$< -\delta$		
T5		$< -\delta$	
T6			$< -\delta$

เอกสารนี้เป็นเอกสารที่สงวนไว้สำหรับการใช้งานเพื่อการศึกษาเท่านั้น ไม่อนุญาตให้นำไปใช้ประโยชน์ด้านการค้า ไม่ว่าจะกรณีใดๆ ทั้งสิ้น อีกทั้งห้ามมิให้ตัดแปลงเนื้อหา และต้องอ้างอิงถึงเจ้าของเอกสารทุกครั้งที่มีการนำไปใช้

### 2.3.7 Absolute Normalized DC Current Method

วิธี Absolute Normalized DC Current Method เป็นวิธีที่วินิจฉัยความผิดปกติที่ใช้ค่าเฉลี่ยของค่าสัมบูรณ์ของค่ากระแสแต่ละเฟส แทนที่จะใช้แค่ส่วนของความถี่หลักมูลของกระแสเท่านั้น เมื่อเกิดความผิดปกติขึ้น กระแสของเฟสที่เกิดความผิดปกติจะหายไปครึ่งรูปคลื่น แต่จะเป็นครึ่งบวกที่หายไป หรือครึ่งลบที่หายไปก็ขึ้นอยู่กับว่าสวิตช์ไหนของเฟสนั้นที่เกิดความผิดปกติ โดยปกติหากไม่ได้เกิดความผิดปกติค่าเฉลี่ยของกระแสที่ได้จะเท่ากับศูนย์ แต่เมื่อมีความผิดปกติเกิดขึ้นค่าเฉลี่ยของกระแสที่เกิดความผิดปกติจะมีค่าเท่ากับหนึ่ง

สมการที่ใช้หาค่าตัวแปรที่จะนำมาวินิจฉัยความผิดปกติสำหรับวิธี Absolute Normalized DC Current Method มีดังนี้

$$\lambda_v = \frac{1}{N} \sum_{k=1}^N |I_v|(k\tau) \quad (2.21)$$

โดยที่ I คือ กระแส  
 $v \in (a, b, c)$   
 $k = 1, 2, 3, \dots, 64$   
 $\tau$  คือ คาบของการสุ่ม

$$\zeta_v = \frac{\mu_v}{\lambda_v} \quad (2.22)$$

ค่าของ  $\zeta_v$  จะเป็นตัวแปรที่จะใช้พิจารณาการเกิดความผิดปกติว่าเกิดความผิดปกติที่เฟสใดและเกิดขึ้นที่สวิตช์ตัวไหน ส่วนค่าของ  $\mu_v$  นั้นได้จากสมการ

$$\mu_v = \frac{1}{N} \sum_{k=1}^N I_v(k\tau) \quad (2.23)$$

โดยที่ I คือ กระแส  
 $v \in (a, b, c)$   
 $k = 1, 2, 3, \dots, 64$   
 $\tau$  คือ คาบของการสุ่ม

117500

## 2.4 บทสรุป

ในบทนี้ได้นำเสนอถึงทฤษฎีพื้นฐานต่างๆ ทั้งในเรื่องประเภทของอินเวอร์เตอร์ การทำงานของอินเวอร์เตอร์ และรวมถึงการวินิจฉัยความผิดปกติที่เกิดขึ้นในอินเวอร์เตอร์ เพื่อที่จะสามารถนำทฤษฎีที่กล่าวไปใช้ในการสร้างเครื่องต้นแบบตรวจจับความผิดปกติ ชนิดสวิตช์เปิดวงจรสำหรับคอนเวอร์เตอร์ชนิดปรับความกว้างพัลส์ ในส่วนของรายละเอียดในการออกแบบและสร้างเครื่องต้นแบบจะได้กล่าวถึงในบทที่ 3



เอกสารนี้เป็นเอกสารที่สงวนไว้สำหรับการใช้งานเพื่อการศึกษาเท่านั้น ไม่อนุญาตให้นำไปใช้ประโยชน์ด้านการค้า ไม่ว่าจะกรณีใดๆ ทั้งสิ้น อีกทั้งห้ามมิให้ดัดแปลงเนื้อหา และต้องอ้างอิงถึงเจ้าของเอกสารทุกครั้งที่มีการนำไปใช้

## บทที่ 3

### การออกแบบและการสร้างเครื่องต้นแบบ

#### 3.1 บทนำ

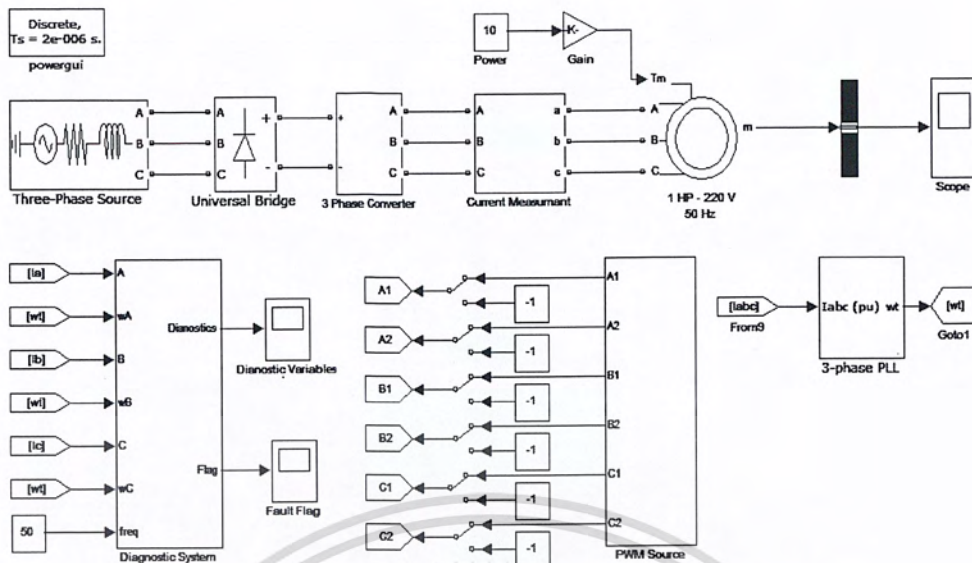
ในบทนี้จะกล่าวถึงการออกแบบการทดลองการตรวจวัดการเกิดความผิดพร่องชนิดสวิตช์เปิดวงจร ซึ่งการออกแบบการทดลองในคอมพิวเตอร์ทำโดยใช้โปรแกรม MATLAB/Simulink ในการสร้างแบบจำลองของคอนเวอร์เตอร์ชนิดปรับความกว้างพัลส์แบบสามเฟสและจำลองระบบที่ใช้ในการวินิจฉัยความผิดพร่องชนิดสวิตช์เปิดวงจร และการสร้างชิ้นงานต้นแบบที่ใช้ในการทดลองการตรวจวัดความผิดพร่องชนิดสวิตช์เปิดวงจร โดยใช้ทฤษฎีที่กล่าวถึงในบทที่ 2 เป็นแนวทางในการสร้างแบบจำลองทางคอมพิวเตอร์และการสร้างชิ้นงานต้นแบบ

#### 3.2 การจำลองระบบด้วยโปรแกรมคอมพิวเตอร์

การจำลองการทดลองโดยใช้โปรแกรมคอมพิวเตอร์นั้นทำการจำลองโดยการสร้างแบบจำลองของคอนเวอร์เตอร์สามเฟสและระบบตรวจวัดความผิดพร่องเพื่อใช้ในการศึกษารูปคลื่นกระแสขณะเกิดความผิดพร่องในแต่ละสวิตช์และใช้ในการศึกษาส่วนของโปรแกรมที่ใช้ในการวินิจฉัยความผิดพร่องก่อนที่จะนำไปสร้างชิ้นงานจริง

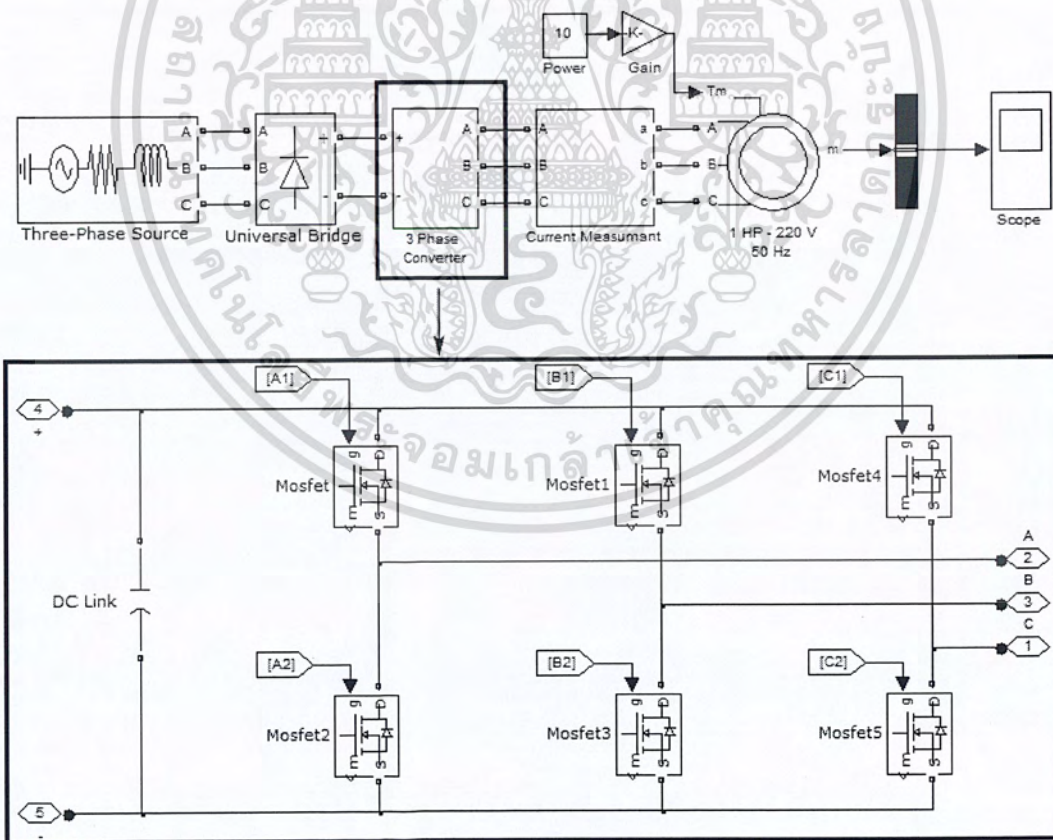
##### 3.2.1 การจำลองวงจรคอนเวอร์เตอร์สามเฟสและระบบตรวจวัดความผิดพร่องชนิดสวิตช์เปิดวงจร

ในการจำลองวงจรคอนเวอร์เตอร์สามเฟสโดยใช้โปรแกรม MATLAB/Simulink นั้นภาพรวมของวงจรจะแสดงได้ดังภาพที่ 3.1 โดยวงจรจะสามารถแบ่งได้เป็น 2 ภาค ซึ่งประกอบไปด้วยภาคของวงจรกำลัง ดังภาพที่ 3.2 และภาคของวงจรควบคุมดังภาพที่ 3.3 และภาพที่ 3.4



ภาพที่ 3.1 ภาพรวมของวงจร

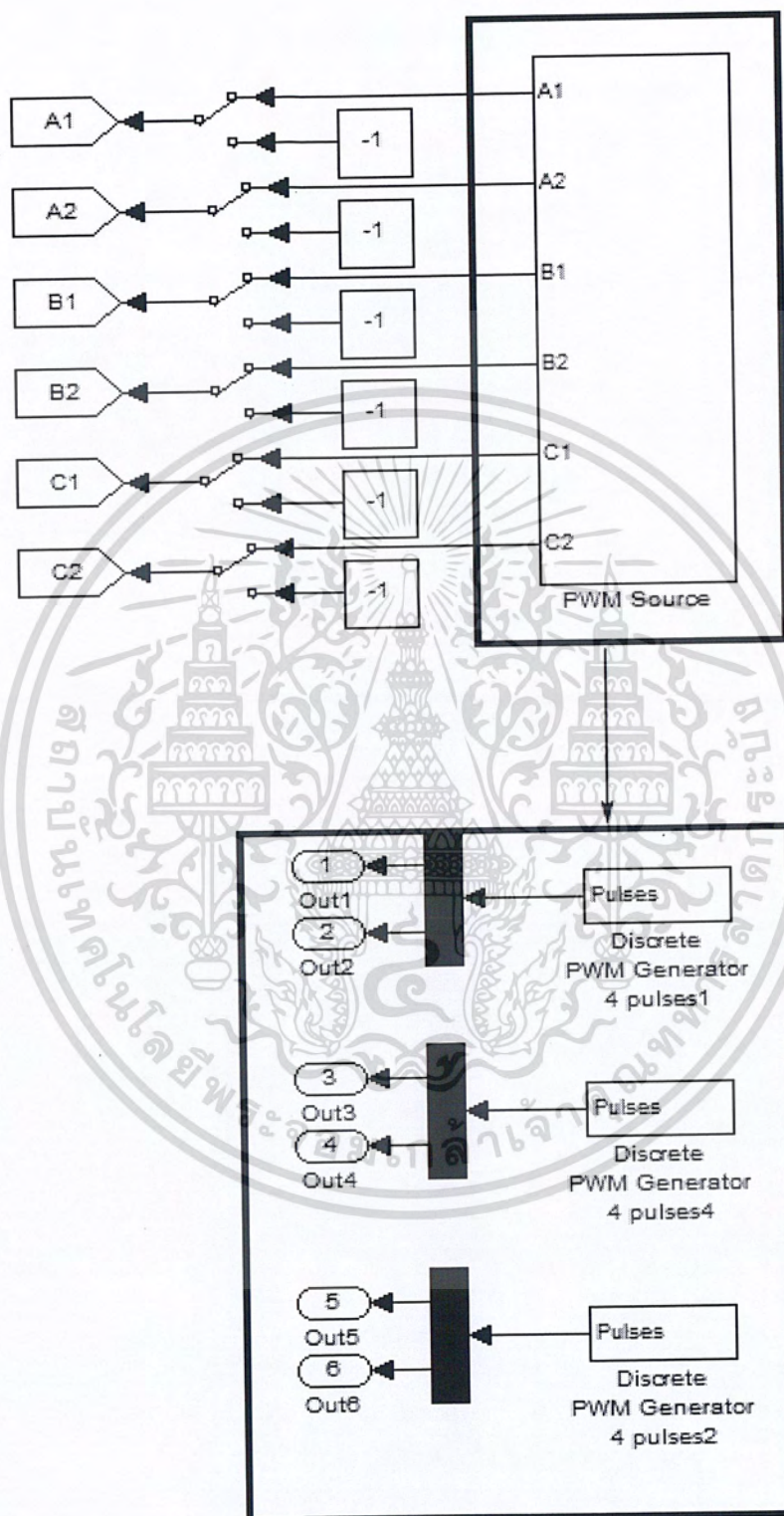
3.2.1.1 ภาคของวงจรกำลัง



ภาพที่ 3.2 วงจรกำลัง

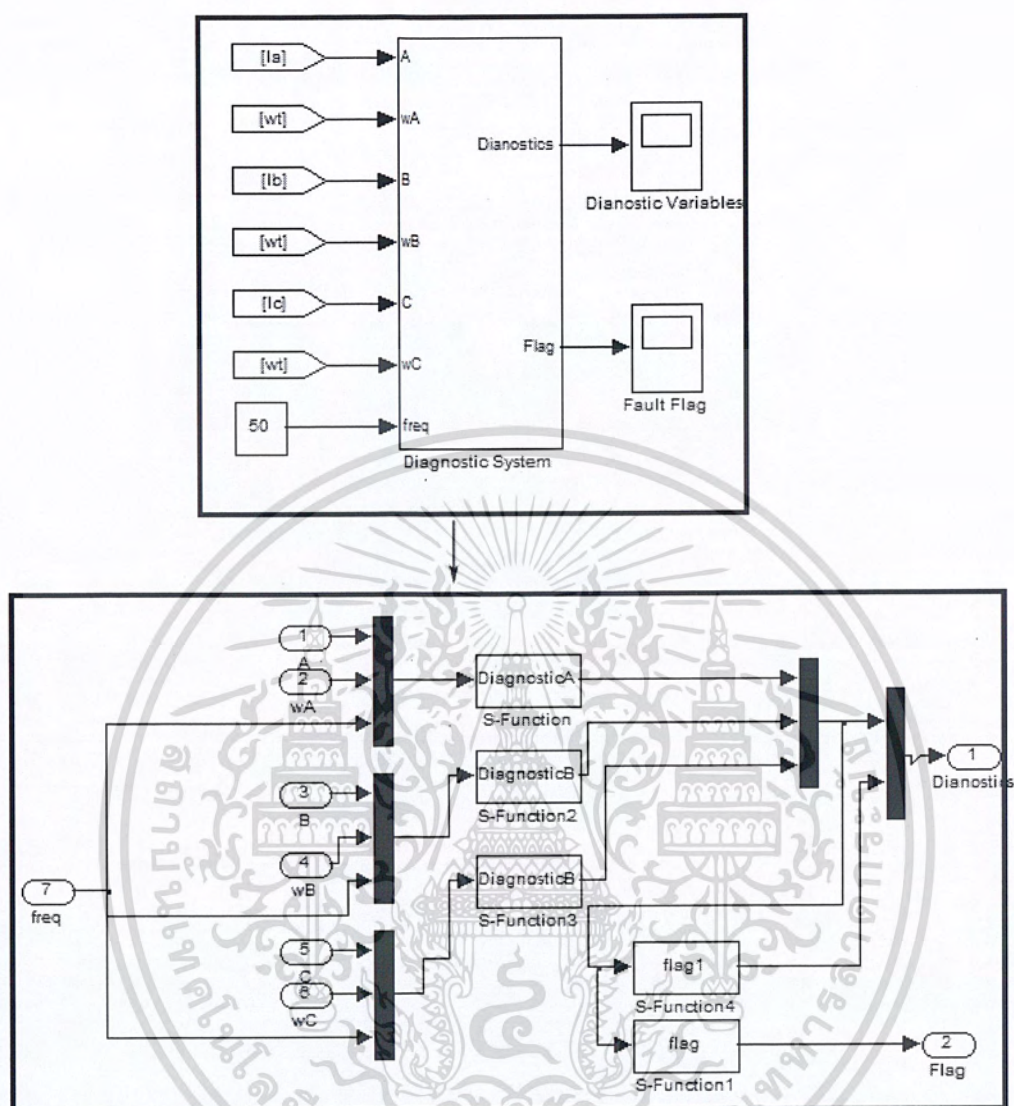
เอกสารนี้เป็นเอกสารที่สงวนไว้สำหรับการใช้งานเพื่อการศึกษาเท่านั้น ไม่อนุญาตให้นำไปใช้ประโยชน์ด้านการค้า ไม่ว่าจะกรณีใดๆ ทั้งสิ้น อีกทั้งห้ามมิให้ตัดแปลงเนื้อหา และต้องอ้างอิงถึงเจ้าของเอกสารทุกครั้งที่มีการนำไปใช้

### 3.2.1.2 ภาคของวงจรควบคุม



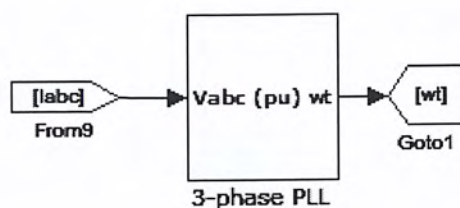
ภาพที่ 3.3 แหล่งกำเนิดสัญญาณปรับความกว้างพัลส์และสวิตช์ที่ใช้ในการจำลองการเกิด  
ความผิดพร่อง

เอกสารนี้เป็นเอกสารที่สงวนไว้สำหรับการใช้งานเพื่อการศึกษาเท่านั้น ไม่อนุญาตให้นำไปใช้ประโยชน์ด้านการค้า  
ไม่ว่ากรณีใดๆ ทั้งสิ้น อีกทั้งห้ามมิให้ตัดแปลงเนื้อหา และต้องอ้างอิงถึงเจ้าของเอกสารทุกครั้งที่มีการนำไปใช้



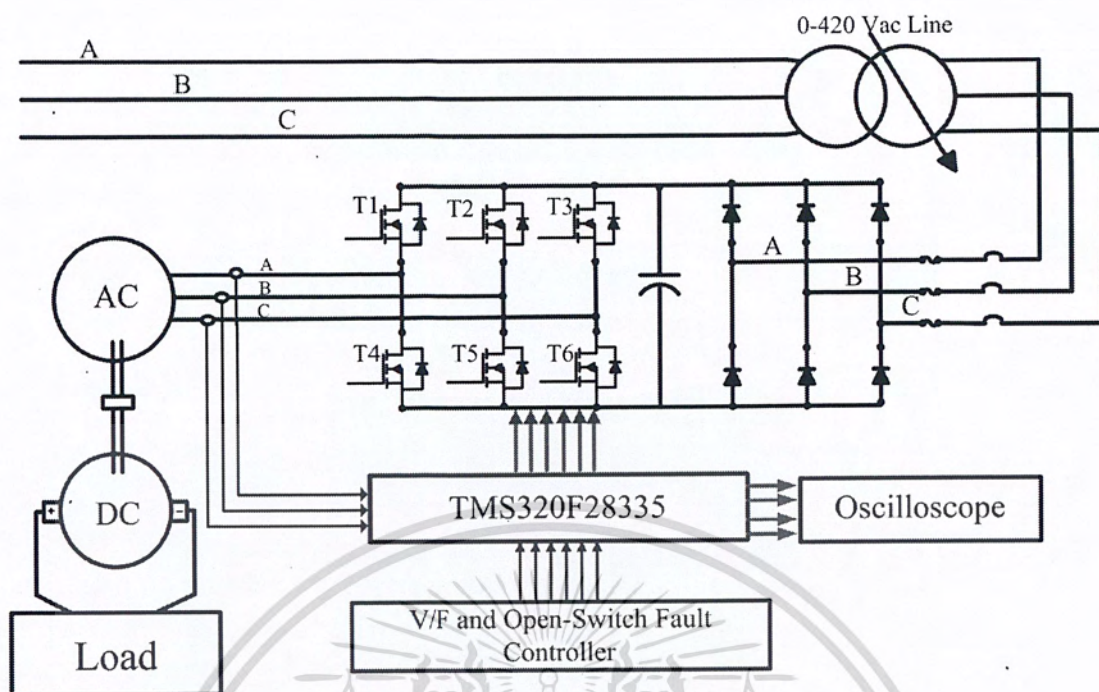
ภาพที่ 3.4 วงจรที่ใช้ในการวินิจฉัยและการตรวจจับความผิดปกติของชนิดสวิตช์เปิดวงจร  
ในคอนเวอร์เตอร์

เอกสารนี้เป็นเอกสารที่สงวนไว้สำหรับการใช้งานเพื่อการศึกษาเท่านั้น ไม่อนุญาตให้นำไปใช้ประโยชน์ด้านการค้า  
ไม่ว่ากรณีใดๆ ทั้งสิ้น อีกทั้งห้ามมิให้ตัดแปลงเนื้อหา และต้องอ้างอิงถึงเจ้าของเอกสารทุกครั้งที่มีการนำไปใช้



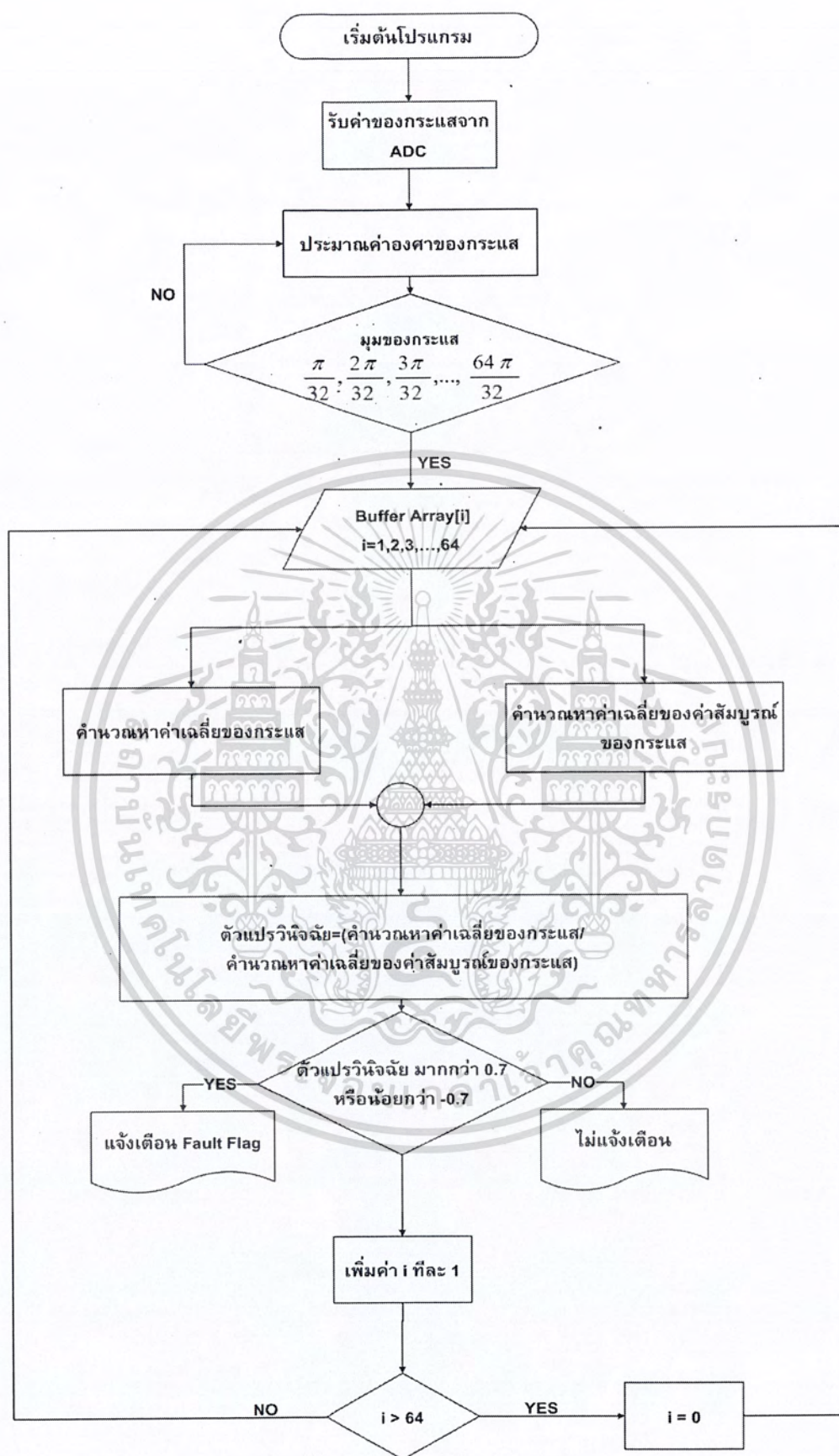
ภาพที่ 3.5 รูปส่วนของเฟสล็อกคัลป์ (Phase Lock Loop)

จากภาพที่ 3.4 ในส่วนของระบบวินิจฉัยและตรวจจับความผิดปกตินั้นได้ทำการเขียนโปรแกรมลงบน m-file s function เพื่อทำการคำนวณหาค่าเฉลี่ยและค่าเฉลี่ยสัมบูรณ์โดยใช้สมการดังที่กล่าวไปแล้วในบทที่ 2 โดยการตั้งค่าที่ m-file s function ให้ทำการคำนวณแบบดิครีตโดยที่คาบของการสุ่มเท่ากับ  $200 \mu s$  โดยเท่ากับคาบเวลาการสวิตช์ของคอนเวอร์เตอร์เมื่อใช้วิธีการหาค่าเฉลี่ยแบบเคลื่อนที่แล้วเมื่อความถี่ของกระแสที่นำมาคำนวณเปลี่ยนไปจะทำให้ค่าของการสุ่มต่อคาบนั้นคงที่ ซึ่งในโครงการนี้ได้กำหนดค่าของการสุ่มต่อคาบไว้ที่ 64 จุดและใช้เฟสล็อกคัลป์ (Phase Lock Loop) โดยที่เฟสล็อกคัลป์นี้เป็นโปรแกรมสำเร็จรูปจากโปรแกรม Matlab/Simulink ดังภาพที่ 3.5 ในการประมาณค่าตำแหน่งขององศาของกระแสที่ไหลผ่านคอนเวอร์เตอร์ที่องศานั้นจะมีค่าตั้งแต่  $0-2\pi$  และค่าองศานั้นจะเป็นตัวกำหนดว่าจะให้ทำการสุ่มที่ตำแหน่งใดของกระแส และจะทำการสุ่มที่เดิมตลอดช่วงของคาบเวลาในทุกความถี่เมื่อได้ค่าเฉลี่ยและค่าเฉลี่ยสัมบูรณ์ของแต่ละการสุ่มออกมานำมาคำนวณในสมการที่ 2.21 และ สมการที่ 2.23 จะได้ค่าตัวแปรวินิจฉัย (Diagnostic Variables) ซึ่งจะใช้ในการตรวจจับความผิดปกติชนิดสวิตช์เปิดวงจร เมื่อค่า Diagnostic Variables มีค่ามากกว่า 0.7 หรือ -0.7 จะทำให้เกิดการแจ้งเตือนการเกิดความผิดปกติของคอนเวอร์เตอร์ หลังจากนั้นจะนำระบบที่ได้ออกแบบไว้ในคอมพิวเตอร์มาใช้ในการสร้างเครื่องต้นแบบขึ้นมาเพื่อใช้ในการทดลองจริง ซึ่งได้แสดงระบบที่ใช้ในการทดลองไว้ในภาพที่ 3.6



ภาพที่ 3.6 ระบบที่ใช้ในการตรวจจับความผิดปกติของชนิดสวิตช์เปิดวงจร  
ในคอนเวอร์เตอร์สามเฟส

เอกสารนี้เป็นเอกสารที่สงวนไว้สำหรับการใช้งานเพื่อการศึกษาเท่านั้น ไม่อนุญาตให้นำไปใช้ประโยชน์ด้านการค้า  
ไม่ว่ากรณีใดๆ ทั้งสิ้น อีกทั้งห้ามมิให้ตัดแปลงเนื้อหา และต้องอ้างอิงถึงเจ้าของเอกสารทุกครั้งที่มีการนำไปใช้



ภาพที่ 3.7 แผนผังขั้นตอนการทำงานของโปรแกรมตรวจจับความผิดปกติของชนิดสวิตช์เปิดวงจร เอกสารนี้เป็นเอกสารที่สงวนไว้สำหรับการใช้งานเพื่อการศึกษาเท่านั้น ไม่อนุญาตให้นำไปใช้ประโยชน์ด้านการค้า ไม่ว่าจะกรณีใดๆ ทั้งสิ้น อีกทั้งห้ามมิให้ตัดแปลงเนื้อหา และต้องอ้างอิงถึงเจ้าของเอกสารทุกครั้งที่มีการนำไปใช้

### 3.3 การสร้างเครื่องต้นแบบคอนเวอร์เตอร์สามเฟส

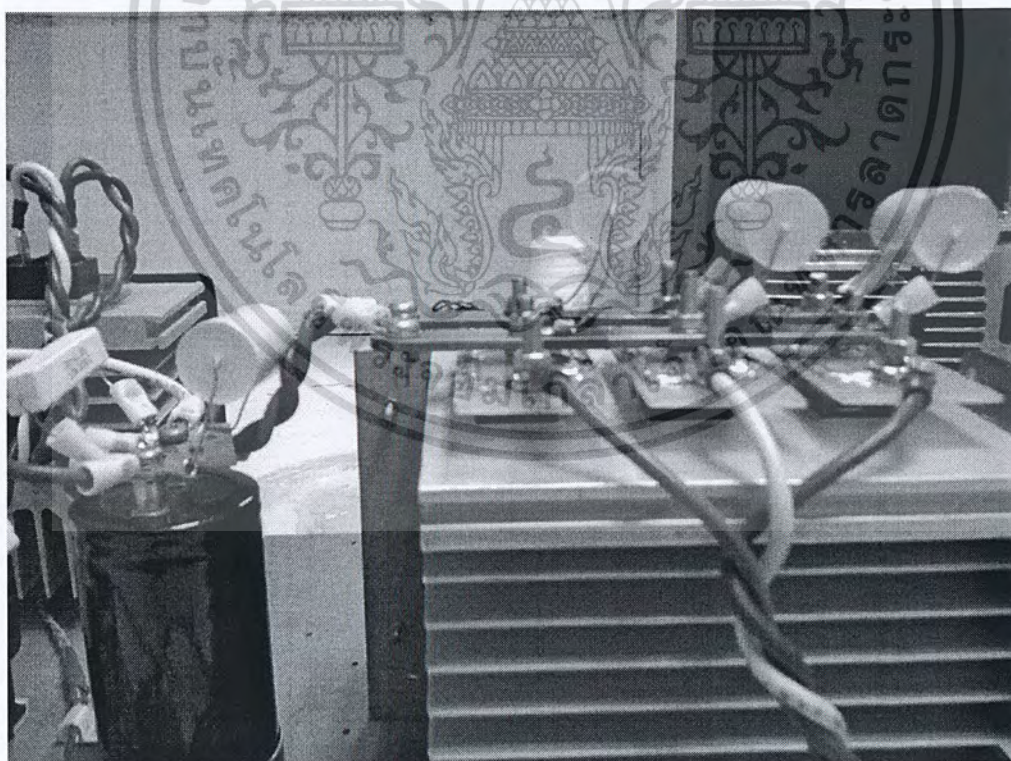
การสร้างเครื่องต้นแบบคอนเวอร์เตอร์สามเฟสที่มีพิกัด 1.5 kVA, 380 V, 50 Hz จะแบ่งออกเป็น 2 ภาคคือ ภาคกำลัง และภาคควบคุม

#### 3.3.1 ภาคกำลัง

วงจรกำลังของคอนเวอร์เตอร์สามเฟส จะประกอบไปด้วย คอนเวอร์เตอร์สามเฟส, อุปกรณ์ป้องกัน, อุปกรณ์เรียงกระแสสามเฟส

##### 3.3.1.1 คอนเวอร์เตอร์สามเฟส

วงจรของคอนเวอร์เตอร์สามเฟสจะประกอบไปด้วยมอสเฟตเบอร์ IRFP460 พิกัดแรงดัน 500 V พิกัดกระแส 20 A จำนวน 6 ตัวและตัวเก็บประจุขนาด 2200  $\mu\text{F}$  โดยมอสเฟตจะได้รับสัญญาณขับจากวงจรขับเกตเข้าที่ขาเกต (Gate) ของมอสเฟต ขาซอร์ส (Source) ของมอสเฟตจะต่อเข้ากับบัสไฟฟ้ากระแสตรงและเชื่อมต่อเข้ากับตัวเก็บประจุขนาด 2200  $\mu\text{F}$  ซึ่งที่ตัวเก็บประจุนี้จะมีตัวเก็บประจุขนาด 224 nF และตัวต้านทาน 100 k $\Omega$  10 วัตต์ต่อคร่อมอยู่ และในส่วนของขาเดรน (Drain) ของมอสเฟตจะต่อเข้ากับมอเตอร์ 3 เฟส ซึ่งลักษณะของการต่อของคอนเวอร์เตอร์สามเฟส แสดงในภาพที่ 3.8



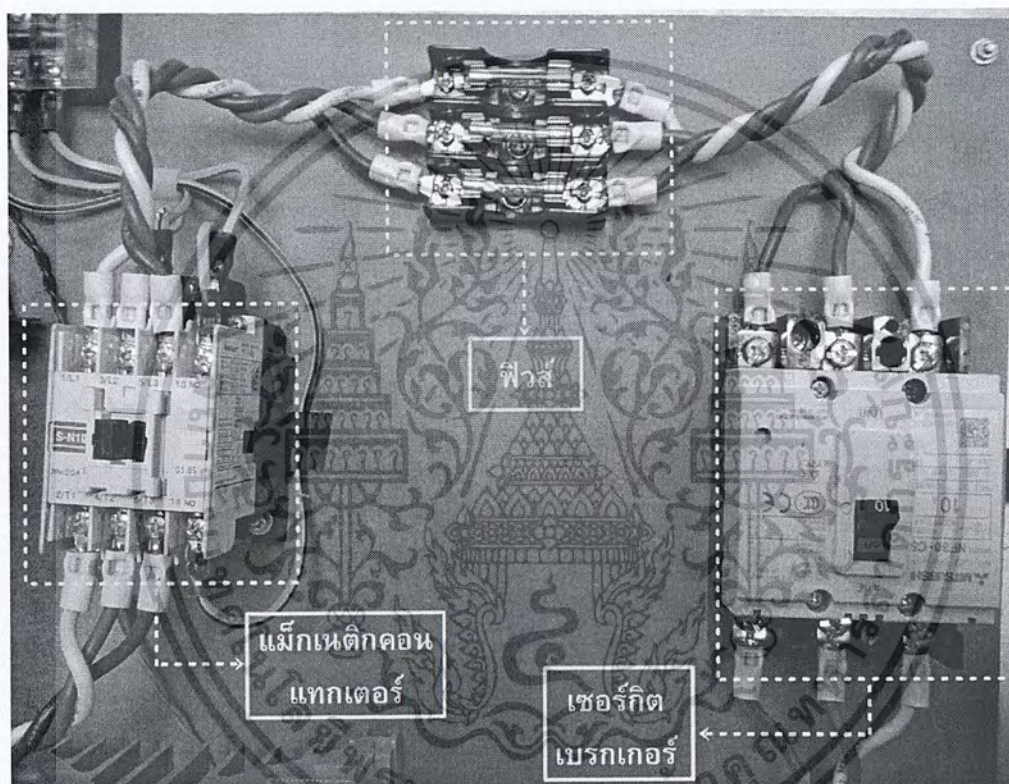
ภาพที่ 3.8 คอนเวอร์เตอร์สามเฟส

เอกสารนี้เป็นเอกสารที่สงวนไว้สำหรับการใช้งานเพื่อการศึกษาเท่านั้น ไม่อนุญาตให้นำไปใช้ประโยชน์ด้านการค้า ไม่ว่าจะกรณีใดๆ ทั้งสิ้น อีกทั้งห้ามมิให้ตัดแปลงเนื้อหา และต้องอ้างอิงถึงเจ้าของเอกสารทุกครั้งที่มีการนำไปใช้

### 3.3.1.2 อุปกรณ์ป้องกัน

การติดตั้งอุปกรณ์ป้องกันเข้าไปในระบบมีจุดประสงค์เพื่อป้องกันความเสียหายที่อาจจะเกิดจากความผิดพลาดของผู้วิจัยหรือ เกิดจากอุปกรณ์ต่างๆภายในระบบ อุปกรณ์ป้องกันดังภาพที่ 3.9 จะประกอบไปด้วยอุปกรณ์ต่าง ๆ ดังนี้

- แม็กเนติกคอนแทกเตอร์ ขนาด 380 V, 50 Hz, 20 A ทำหน้าที่ป้องกันโหลดเกิน
- เซอร์คิตเบรกเกอร์ ขนาด 380 V, 50 Hz, 10 A ทำหน้าที่ป้องกันโหลดเกิน และการลัดวงจร
- ฟิวส์ขนาด 10 A ทำหน้าที่ป้องกันการลัดวงจร



ภาพที่ 3.9 อุปกรณ์ป้องกัน

### 3.3.1.3 อุปกรณ์เรียงกระแสสามเฟส

อุปกรณ์เรียงกระแสสามเฟสที่ติดตั้งเข้าไปนั้น จะทำหน้าที่แปลงสัญญาณแรงดันไฟฟ้ากระแสสลับสามเฟสให้เป็นสัญญาณแรงดันไฟฟ้ากระแสตรง โดยอุปกรณ์เรียงกระแสสามเฟสดังที่เห็นในภาพที่ 3.10 จะมี พิกัดแรงดัน 1200 V พิกัดกระแส 30 A

เอกสารนี้เป็นเอกสารที่สงวนไว้สำหรับการใช้งานเพื่อการศึกษาเท่านั้น ไม่อนุญาตให้นำไปใช้ประโยชน์ด้านการค้า ไม่ว่าจะกรณีใดๆ ทั้งสิ้น อีกทั้งห้ามมิให้ตัดแปลงเนื้อหา และต้องอ้างอิงถึงเจ้าของเอกสารทุกครั้งที่มีการนำไปใช้



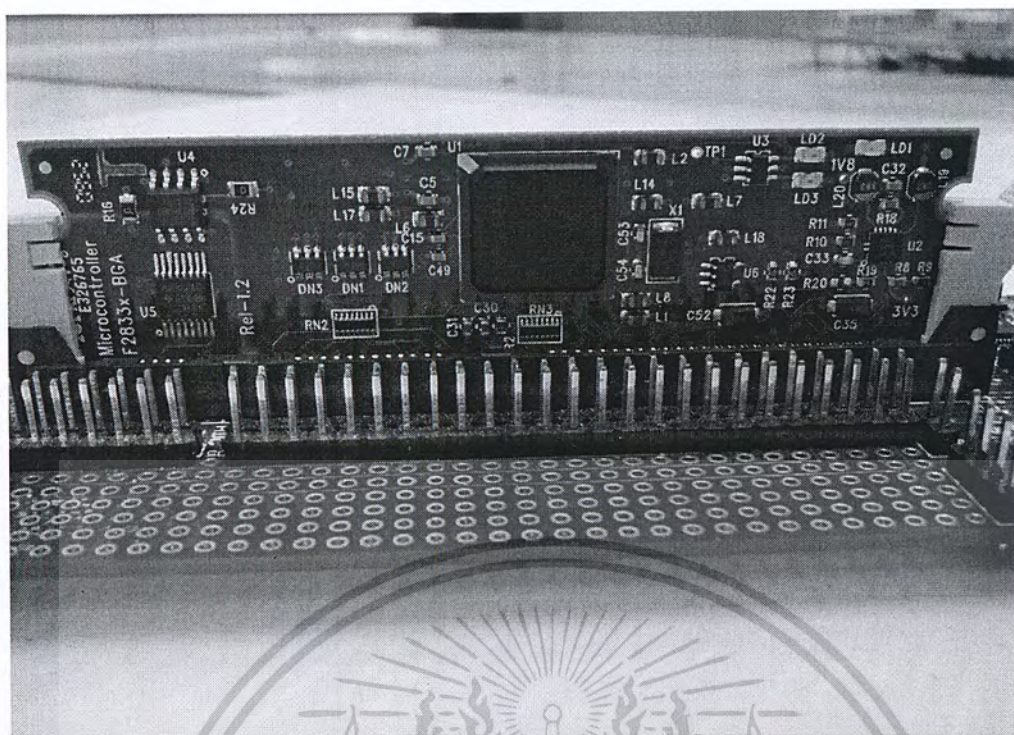
ภาพที่ 3.10 อุปกรณ์เรียงกระแสสามเฟส

### 3.3.2 ภาคควบคุม

ในการออกแบบสร้างวงจรควบคุมมีวัตถุประสงค์เพื่อกำหนดสัญญาณชนิดปรับความกว้างพัลส์ (PWM) เพื่อควบคุมสถานะเปิด ปิดของมอสเฟตในคอนเวอร์เตอร์สามเฟส อีกทั้งในส่วนของภาคควบคุมยังมีวงจรตรวจจับกระแสไฟฟ้า วงจรขั้วเกิด วงจรแหล่งจ่ายไฟฟ้า กระแสตรง และวงจรเชื่อมต่่อื่น ๆ ซึ่งมีหน้าที่และความสำคัญ ดังจะกล่าวต่อไปนี้

#### 3.3.2.1 ไมโครคอนโทรลเลอร์

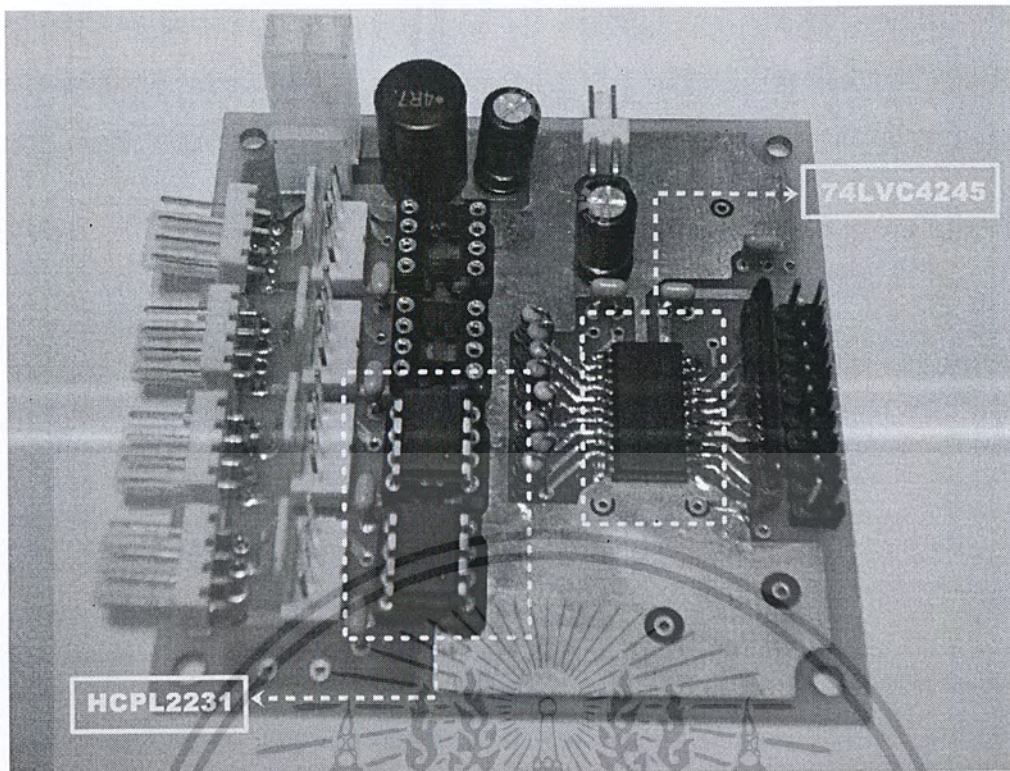
ในการควบคุมระบบนั้นเลือกใช้อุปกรณ์ควบคุม TMS320F28335 เป็นตัวควบคุมระบบ โดยใช้ภาษาซี (C language) ในการเขียนโปรแกรมควบคุม เพื่อสร้างสัญญาณปรับความกว้างพัลส์ (PWM) ที่ใช้ในการขับขาเกิดของมอสเฟตในคอนเวอร์เตอร์สามเฟส และตัวควบคุมดังกล่าวยังทำหน้าที่คำนวณหาความผิดพร่องชนิดสวิตช์เปิดวงจรของคอนเวอร์เตอร์สามเฟส โดยรับค่าสัญญาณจากอุปกรณ์ตรวจจับกระแส ภาพที่ 3.11 คืออุปกรณ์ควบคุม TMS320F28335



ภาพที่ 3.11 อุปกรณ์ควบคุม TMS320F28335

### 3.3.2.2 วงจรยกระดับแรงดัน และวงจรแยกกราวนด์

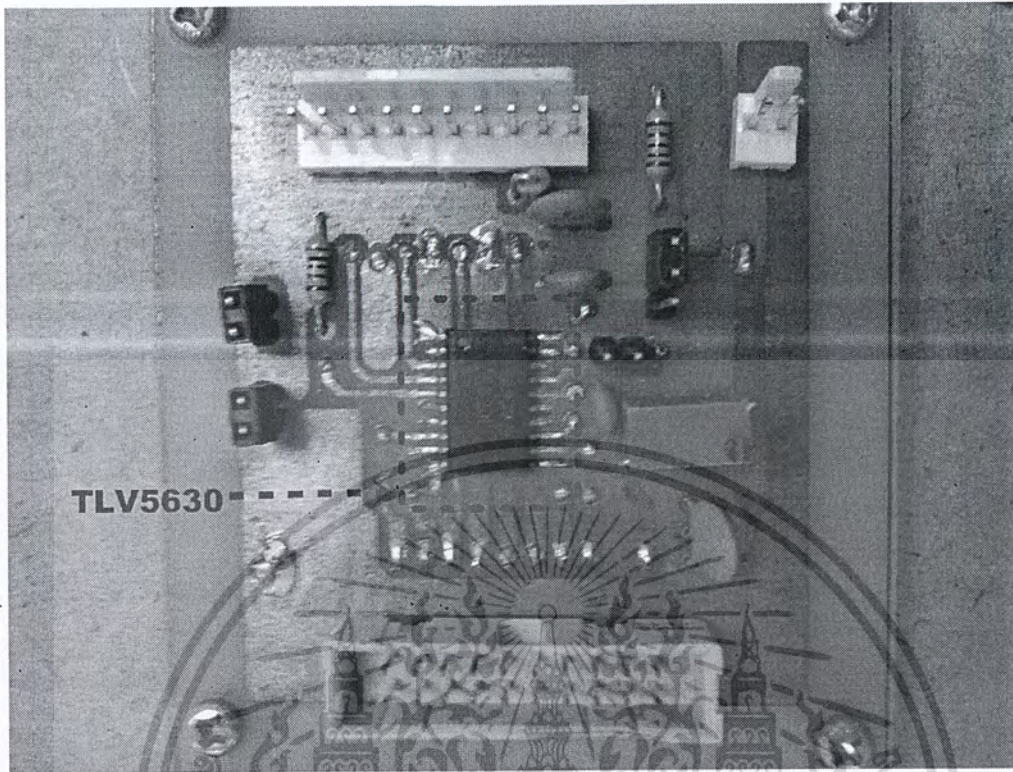
สัญญาณปรับความกว้างพัลส์ (PWM) ที่สร้างขึ้นจากอุปกรณ์ควบคุม TMS320F28335 นั้นจะมีค่าแรงดันอยู่ที่ 3.3 V แต่ระดับสัญญาณขาเข้าที่ต้องการของวงจรชบเกต คือ 5 V ดังนั้นจึงต้องมีอุปกรณ์ยกระดับแรงดันของสัญญาณ เพื่อยกระดับสัญญาณปรับความกว้างพัลส์ (PWM) ที่สร้างขึ้นจากอุปกรณ์ควบคุม TMS320F28335 จาก 3.3 V ให้เป็น 5 V โดยไอซีที่ใช้ในการยกระดับแรงดันคือ 74LVC4245 หลังจากที่ได้สัญญาณออกจากตัวยกระดับแรงดันแล้วจะเข้าสู่อุปกรณ์แยกกราวนด์ซึ่งจะแยกระหว่างอุปกรณ์ชบเกตกับอุปกรณ์ควบคุมออกจากกัน เพื่อป้องกันไม่ให้เกิดความเสียหายกับทางด้านอุปกรณ์ควบคุมในกรณีที่เกิดเหตุผิดปกติของระบบ ไอซีที่ใช้ในการแยกกราวนด์คือ HCPL2231 โดยวงจรทั้งสองถูกแสดงไว้ในภาพที่ 3.12



ภาพที่ 3.12 วงจรยกระดับแรงดัน และวงจรแยกกราวด์

### 3.3.2.3 อุปกรณ์แปลงสัญญาณจากดิจิทัลเป็นสัญญาณอะนาล็อก

เนื่องจากสัญญาณออกจากอุปกรณ์ควบคุมนั้นเป็นสัญญาณดิจิทัลที่จะมีค่าได้เพียง 0 กับ 1 เมื่อต้องการดูสัญญาณที่มีค่ามากกว่า 1 บิตจะไม่สามารถดูได้ จึงต้องใช้อุปกรณ์แปลงสัญญาณจากดิจิทัลเป็นอะนาล็อก เช่น สัญญาณตัวแปรการวินิจฉัยการเกิดความผิดปกติ เป็นต้น ไอซีที่ใช้ในการแปลงสัญญาณจากดิจิทัลเป็นอะนาล็อกคือ TLV5630 ซึ่งมีอุปกรณ์ตามภาพที่ 3.13

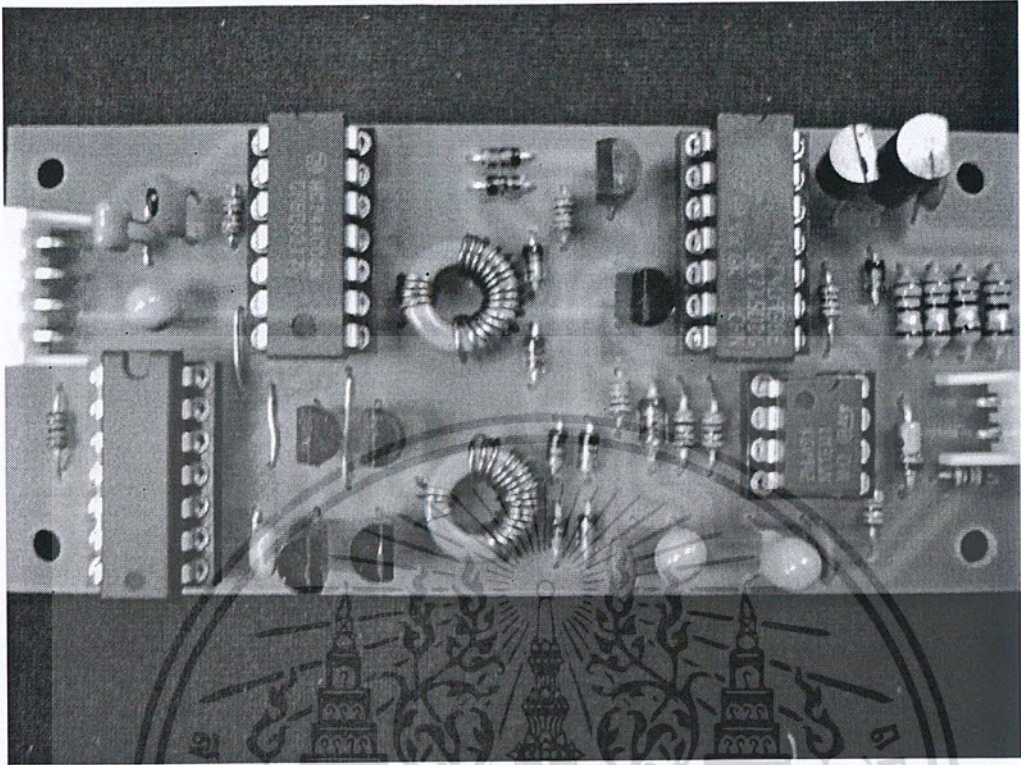


ภาพที่ 3.13 วงจรแปลงสัญญาณจากดิจิทัลเป็นสัญญาณอะนาล็อก

#### 3.3.2.4 อุปกรณ์ขับเคลื่อน

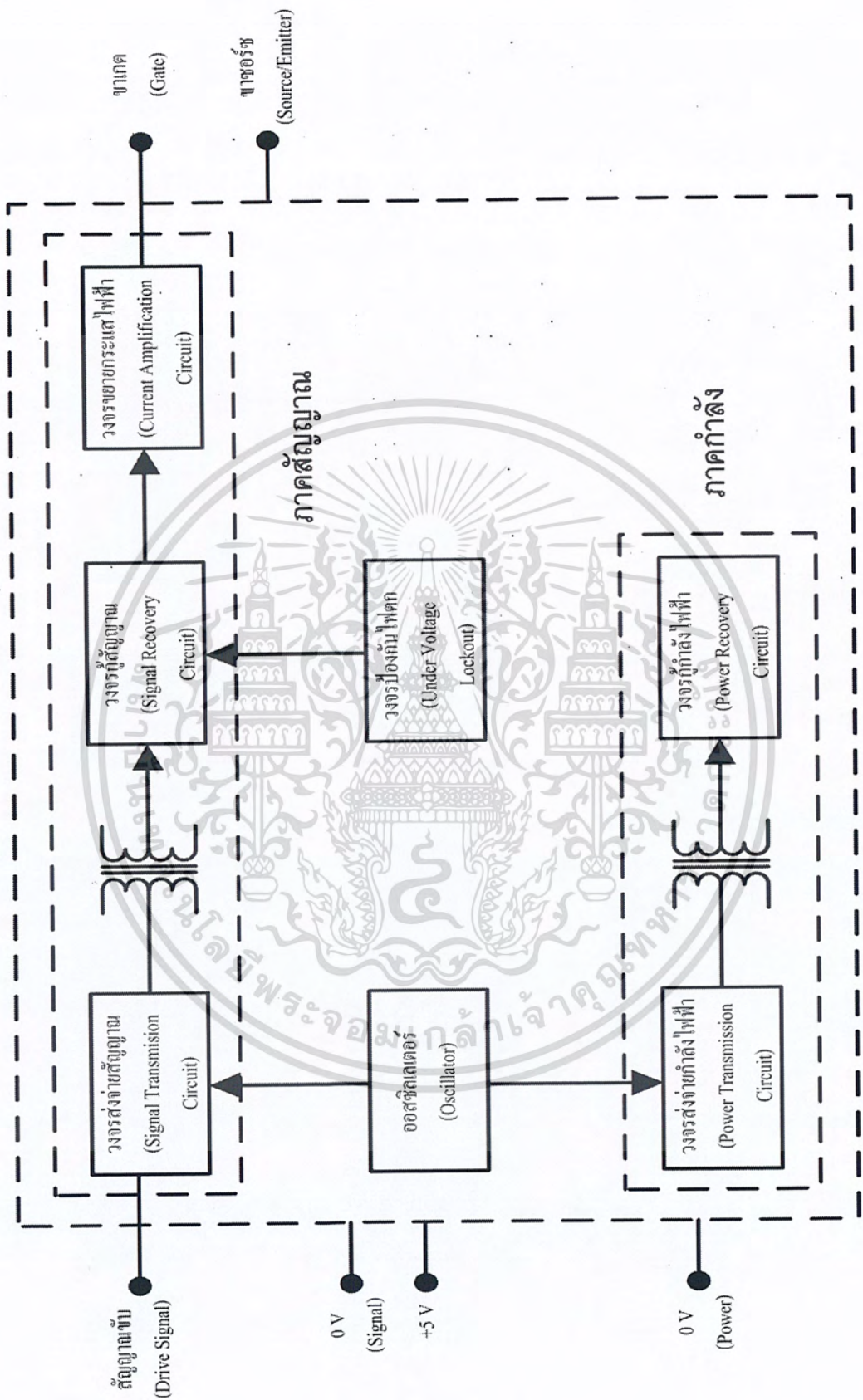
อุปกรณ์ขับเคลื่อนของคอนเวอร์เตอร์สามเฟสจะมีทั้งหมด 6 ชุดโดย 1 ชุดของอุปกรณ์ขับเคลื่อนแสดงตามภาพที่ 3.14 อุปกรณ์ขับเคลื่อนจะมีหน้าที่ในการยกระดับแรงดันสัญญาณขับเคลื่อนเพื่อให้สามารถขับมอเตอร์ได้ โดยจะยกระดับแรงดันขับเคลื่อนที่ออกจากอุปกรณ์ควบคุมซึ่งผ่านวงจรระดับมาแล้ว ซึ่งก่อนเข้าวงจรขับเคลื่อนนั้นสัญญาณขับเคลื่อนจะมีระดับของสัญญาณอยู่ที่ 5 V สัญญาณขับเคลื่อนที่ระดับดังกล่าวจะถูกป้อนเข้าไปในอุปกรณ์ขับเคลื่อน เมื่อออกมาจากอุปกรณ์ขับเคลื่อนระดับของสัญญาณขับเคลื่อนจะเพิ่มขึ้นเป็น 15 โวลต์ ซึ่งระดับของสัญญาณขนาด 15 V นี้เพียงพอที่จะทำให้มอเตอร์ทำงานได้ ไดอะแกรมการทำงานของวงจรขับเคลื่อนแสดงได้ในภาพที่ 3.15 นอกจากนี้อุปกรณ์ขับเคลื่อนยังมีการแยกกราวด์ระหว่างฝั่งอุปกรณ์ควบคุมและฝั่งคอนเวอร์เตอร์ดังแสดงในภาพที่ 3.16 ประโยชน์ของการแยกกราวด์ดังกล่าวก็คือป้องกันไม่ให้เกิดความเสียหายกับทางด้านอุปกรณ์ควบคุมในกรณีที่เกิดเหตุผิดปกติทางด้านวงจรกำลัง

เอกสารนี้เป็นเอกสารที่สงวนไว้สำหรับการใช้งานเพื่อการศึกษาเท่านั้น ไม่อนุญาตให้นำไปใช้ประโยชน์ด้านการค้า ไม่ว่าจะกรณีใดๆ ทั้งสิ้น อีกทั้งห้ามมิให้ตัดแปลงเนื้อหา และต้องอ้างอิงถึงเจ้าของเอกสารทุกครั้งที่มีการนำไปใช้



ภาพที่ 3.14 อุปกรณ์ขับเคลื่อน

เอกสารนี้เป็นเอกสารที่สงวนไว้สำหรับการใช้งานเพื่อการศึกษาเท่านั้น ไม่อนุญาตให้นำไปใช้ประโยชน์ด้านการค้า  
ไม่ว่ากรณีใดๆ ทั้งสิ้น อีกทั้งห้ามมิให้ตัดแปลงเนื้อหา และต้องอ้างอิงถึงเจ้าของเอกสารทุกครั้งที่มีการนำไปใช้



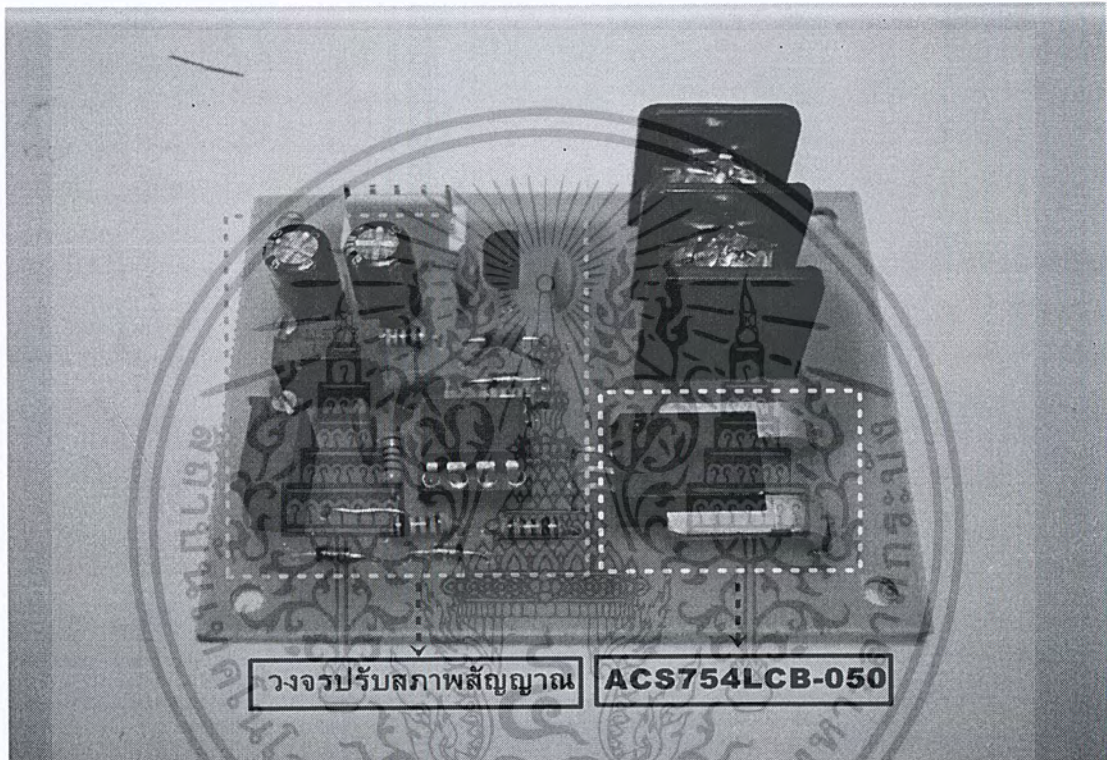
ภาพที่ 3.15 ไตอะแกรมการทำงานของวงจรขับเกต

เอกสารนี้เป็นเอกสารที่สงวนไว้สำหรับการใช้งานเพื่อการศึกษาเท่านั้น ไม่อนุญาตให้นำไปใช้ประโยชน์ด้านการค้า ไม่ว่าจะกรณีใดๆ ทั้งสิ้น อีกทั้งห้ามมิให้ตัดแปลงเนื้อหา และต้องอ้างอิงถึงเจ้าของเอกสารทุกครั้งที่มีการนำไปใช้



### 3.3.2.5 อุปกรณ์วัดกระแส

ในการวัดกระแสนั้น จะใช้เซนเซอร์วัดกระแส ACS754LCB-050-PSF ดังภาพที่ 3.17 มีหน้าที่วัดขนาดของกระแสและเปลี่ยนเป็นสัญญาณอะนาล็อกเพื่อส่งไปยังอุปกรณ์ควบคุม โดยใช้อุปกรณ์ TL082 เป็นตัวขยายสัญญาณ และใช้ตัวต้านทานปรับค่าได้เป็นตัวปรับระดับของสัญญาณให้ได้ตามที่ต้องการ สัญญาณอะนาล็อกที่ได้จะเป็นรูปคลื่นไซน์ที่มีแกน  $x$  อยู่ที่ 1.5 V และแกน  $y$  มีค่าตั้งแต่ 0 – 3 ซึ่งจะเปลี่ยนไปตามกระแสที่วัดได้

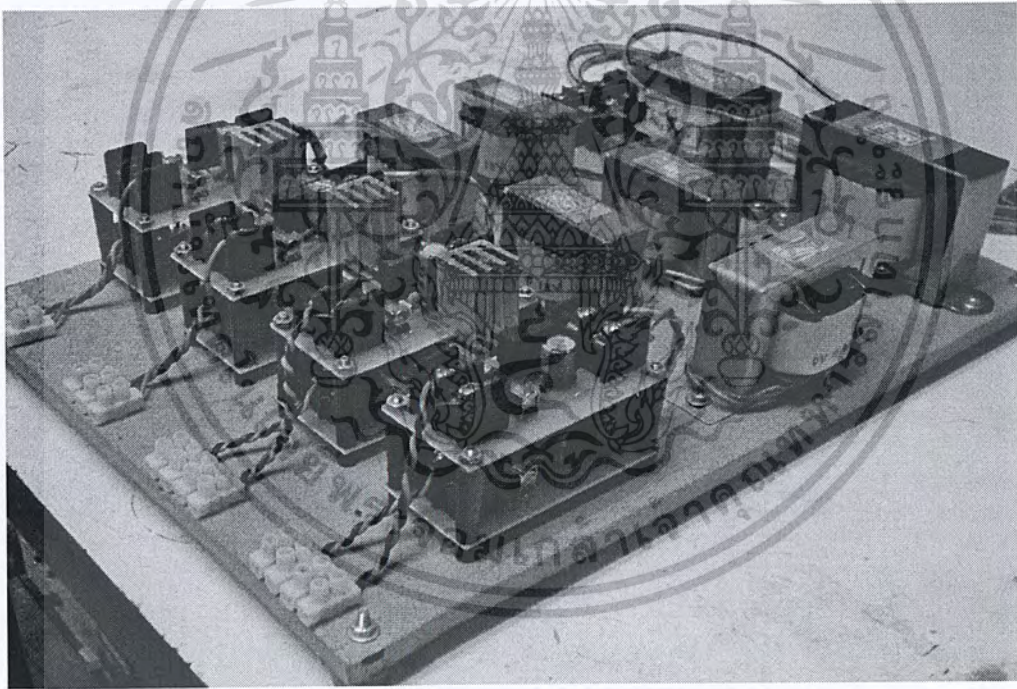


ภาพที่ 3.17 วงจรของอุปกรณ์วัดกระแส

เอกสารนี้เป็นเอกสารที่สงวนไว้สำหรับการใช้งานเพื่อการศึกษาเท่านั้น ไม่อนุญาตให้นำไปใช้ประโยชน์ด้านการค้า ไม่ว่าจะกรณีใดๆ ทั้งสิ้น อีกทั้งห้ามมิให้ตัดแปลงเนื้อหา และต้องอ้างอิงถึงเจ้าของเอกสารทุกครั้งที่มีการนำไปใช้

### 3.3.2.6 แหล่งจ่ายไฟฟ้ากระแสตรง

การออกแบบแหล่งจ่ายไฟฟ้ากระแสตรงจะแบ่งออกเป็น 3 ระดับคือ ระดับแรงดัน 5 โวลต์ จำนวน 2 ชุด และระดับแรงดัน  $\pm 15$  V จำนวน 3 ชุด โดยที่แหล่งจ่ายไฟฟ้ากระแสตรงขนาด 5 โวลต์ จะถูกนำไปจ่ายให้กับชุดวงจรควบคุมและอุปกรณ์ขับเคลื่อน ในขณะที่แหล่งจ่ายไฟฟ้ากระแสตรงขนาด  $\pm 15$  V จะถูกนำไปจ่ายให้กับวงจรวัดกระแส ซึ่งแหล่งจ่ายไฟฟ้ากระแสตรงที่ผู้ดำเนินการวิจัยได้ทำการสร้างได้ใช้หม้อแปลงลดระดับแรงดันไฟฟ้าจาก 220 V ไปเป็นระดับที่จะใช้งานโดยหม้อแปลงสำหรับจ่ายไฟฟ้ากระแสตรงขนาด 5 V ใช้หม้อแปลง 220:9 พิกัดกระแส 0.5 A และหม้อแปลงสำหรับจ่ายไฟฟ้ากระแสตรงขนาด 15 V และ -15 V ใช้หม้อแปลง 220:18 พิกัดกระแส 0.5 A เมื่อได้ค่าแรงดันไฟฟ้าด้านทุติยภูมิตามที่ต้องการแล้วก็จะนำไปผ่านวงจรเรียงกระแส ต่อด้วยไอซีรักษาระดับแรงดัน โดยไอซีรักษาระดับแรงดันของวงจรแหล่งจ่ายไฟฟ้ากระแสตรงขนาด 5 V จะใช้ไอซีเบอร์ 7805 และไอซีรักษาระดับแรงดันของวงจรแหล่งจ่ายไฟฟ้ากระแสตรงขนาด 15 V จะใช้ไอซีเบอร์ 7815 รูปของแหล่งจ่ายไฟฟ้ากระแสตรงแสดงได้ดังภาพที่ 3.18

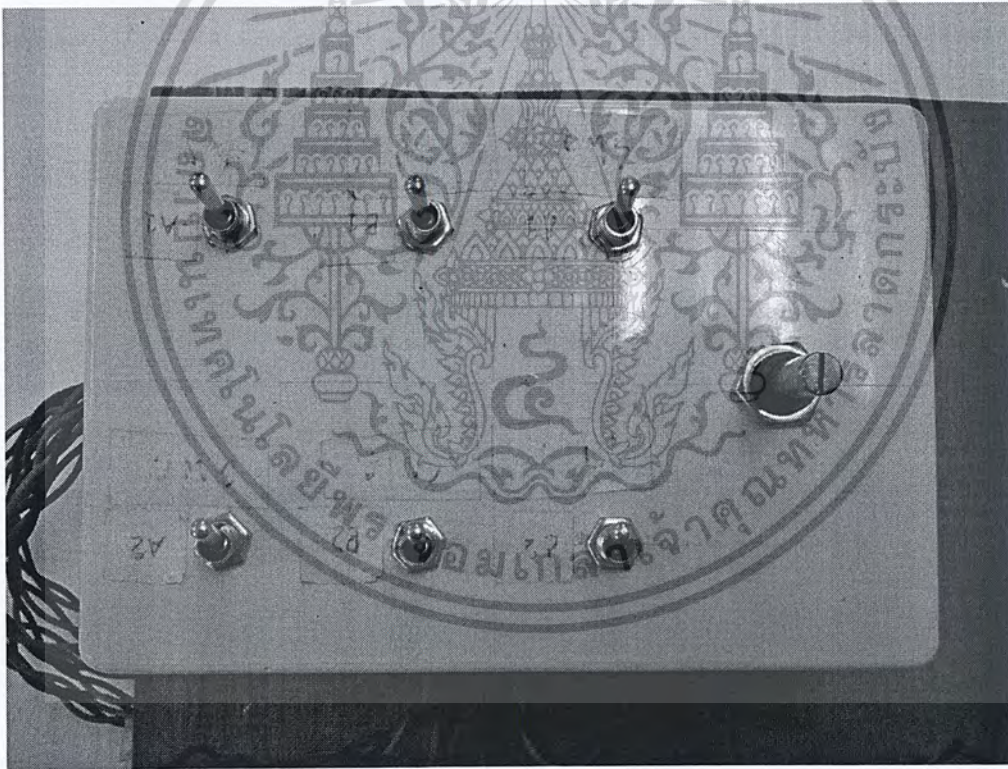


ภาพที่ 3.18 แหล่งจ่ายไฟฟ้ากระแสตรง

เอกสารนี้เป็นเอกสารที่สงวนไว้สำหรับการใช้งานเพื่อการศึกษาเท่านั้น ไม่อนุญาตให้นำไปใช้ประโยชน์ด้านการค้า ไม่ว่าจะกรณีใดๆ ทั้งสิ้น อีกทั้งห้ามมิให้ตัดแปลงเนื้อหา และต้องอ้างอิงถึงเจ้าของเอกสารทุกครั้งที่มีการนำไปใช้

### 3.3.2.7 อุปกรณ์จำลองการเกิดความผิดพลาดชนิดสวิตช์เปิดวงจร

อุปกรณ์จำลองการเกิดความผิดพลาดชนิดสวิตช์เปิดวงจรจะประกอบไปด้วยสวิตช์เปิดปิดจำนวน 6 สวิตช์ตามภาพที่ 3.20 ซึ่งสวิตช์ดังกล่าวจะทำหน้าที่ตัดต่อการส่งสัญญาณขั้วเกิดของมอสเฟตในคอนเวอร์เตอร์ทั้ง 6 ตัว โดยสวิตช์แต่ละตัวจะทำกาตัดต่อสัญญาณขั้วเกิดของมอสเฟตได้หนึ่งตัว การตัดต่อสัญญาณขั้วเกิดนั้นทำได้โดยเมื่อทำการเปิดสวิตช์จะมีแรงดันไฟฟ้ากระแสตรง 2 โวลต์ออกจากสวิตช์ แรงดันไฟฟ้ากระแสตรงดังกล่าวจะถูกส่งเข้าสู่อุปกรณ์ควบคุม เมื่ออุปกรณ์ควบคุมได้รับสัญญาณไฟฟ้ากระแสตรง อุปกรณ์ควบคุมก็จะทำการตัดการส่งสัญญาณขั้วเกิดให้กับมอสเฟต เมื่อมอสเฟตไม่ได้รับสัญญาณขั้วเกิดพฤติกรรมของคอนเวอร์เตอร์ก็จะเหมือนกับเกิดความผิดพลาดชนิดสวิตช์เปิดวงจร และเมื่อทำการปิดสวิตช์ก็จะมีสัญญาณไฟฟ้ากระแสตรงถูกส่งเข้าไปสู่อุปกรณ์ควบคุม อุปกรณ์ควบคุมก็จะทำการส่งสัญญาณขั้วเกิดไปยังมอสเฟตอีกครั้ง คอนเวอร์เตอร์ก็จะกลับสู่การทำงานในสภาพปกติ



ภาพที่ 3.19 อุปกรณ์จำลองการเกิดความผิดพลาดชนิดสวิตช์เปิดวงจร

เอกสารนี้เป็นเอกสารที่สงวนไว้สำหรับการใช้งานเพื่อการศึกษาเท่านั้น ไม่อนุญาตให้นำไปใช้ประโยชน์ด้านการค้า ไม่ว่าจะกรณีใดๆ ทั้งสิ้น อีกทั้งห้ามมิให้ตัดแปลงเนื้อหา และต้องอ้างอิงถึงเจ้าของเอกสารทุกครั้งที่มีการนำไปใช้

### 3.4 บทสรุป

เนื้อหาบทนี้เป็นการใช้หลักการพื้นฐานจากบทที่ 2 มาประยุกต์ใช้กับโปรแกรม MATLAB/Simulink เพื่อสร้างแบบจำลองทางคอมพิวเตอร์ โดยที่การจำลองที่สภาวะต่าง ๆ เพื่อให้ได้ค่าพารามิเตอร์ที่ใช้ในระบบมีความเหมาะสมที่สุดที่จะนำไปใช้ในการสร้างอุปกรณ์จริง และนำไปใช้เขียนโปรแกรมลงบนไมโครคอนโทรลเลอร์เพื่อควบคุมระบบซึ่งผลจากการจำลองทางคอมพิวเตอร์และผลจากการทดสอบจริงจากเครื่องต้นแบบมีรายละเอียดในบทต่อไป



เอกสารนี้เป็นเอกสารที่สงวนไว้สำหรับการใช้งานเพื่อการศึกษาเท่านั้น ไม่อนุญาตให้นำไปใช้ประโยชน์ด้านการค้า ไม่ว่าจะกรณีใดๆ ทั้งสิ้น อีกทั้งห้ามมิให้ดัดแปลงเนื้อหา และต้องอ้างอิงถึงเจ้าของเอกสารทุกครั้งที่มีการนำไปใช้

## บทที่ 4

### ผลการจำลองด้วยโปรแกรมคอมพิวเตอร์และผลการทดลอง

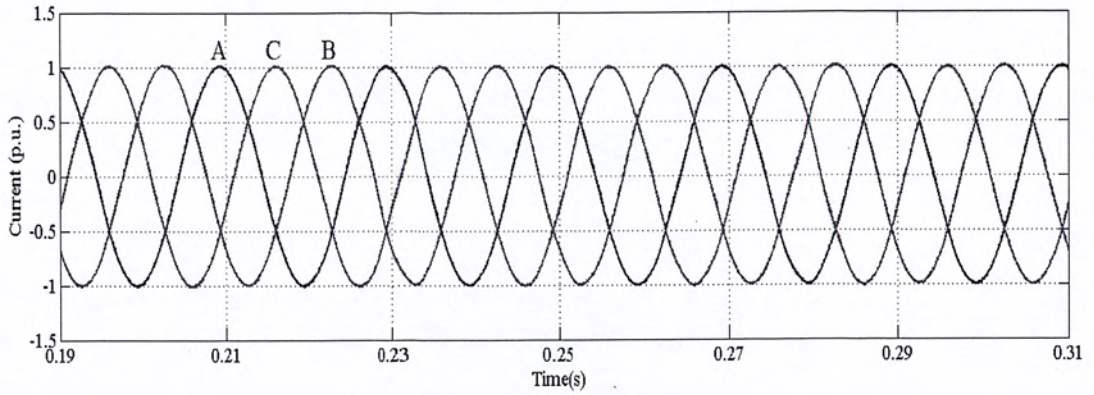
#### 4.1 บทนำ

ในบทนี้จะกล่าวถึงผลของการทดลองการตรวจจับความผิดพร้อมชนิดสวิตช์เปิดวงจรในคอนเวอร์เตอร์สามเฟสซึ่งจะแสดงรูปคลื่นของกระแสสามเฟสขณะไร้ภาระทางไฟฟ้าและแสดงรูปคลื่นของกระแสสามเฟสขณะมีภาระทางไฟฟ้า นอกจากนี้จะแสดงผลการทดลองของรูปคลื่นของกระแสสามเฟสขณะที่เกิดความผิดพร้อมชนิดสวิตช์เปิดวงจรและการตรวจจับความผิดพร้อมชนิดสวิตช์เปิดวงจรในแต่ละเฟส ซึ่งจะเป็นการเปรียบเทียบผลการทดลองจริงและผลการจำลองทางคอมพิวเตอร์

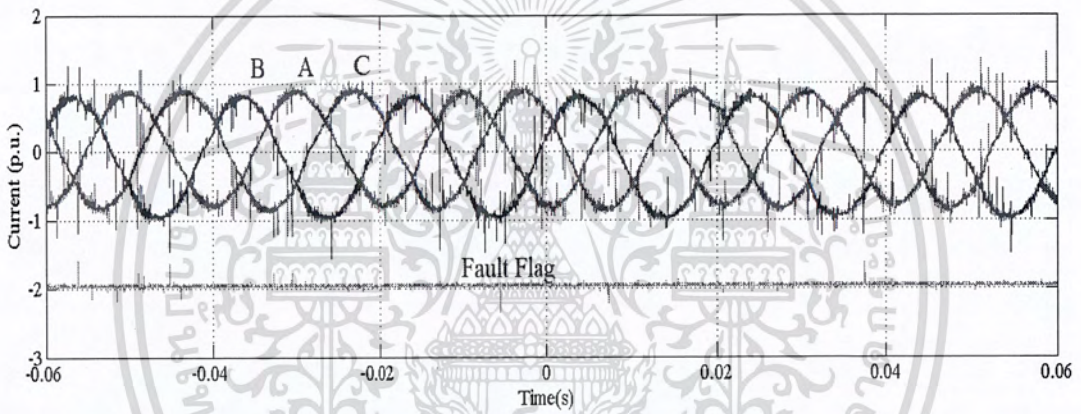
#### 4.2 ผลของกระแส

##### 4.2.1 กระแสขณะคอนเวอร์เตอร์ทำงานปกติ

ในหัวข้อนี้จะนำเสนอรูปคลื่นของกระแสที่ไหลผ่านคอนเวอร์เตอร์สามเฟสขณะอยู่ในสภาวะปกติจากผลการจำลองด้วยโปรแกรมคอมพิวเตอร์และผลการทดลองจริง ซึ่งกระแสดังกล่าวที่จะนำเสนอ นั้น จะเป็นกระแสขณะมีภาระทางไฟฟ้าเต็มพิกัดและไร้ภาระทางไฟฟ้า โดยที่จะแสดงในภาพที่ 4.1 เป็นภาพของการจำลองด้วยโปรแกรมคอมพิวเตอร์ ภาพที่ 4.2 เป็นภาพของกระแสสามเฟสขณะมีภาระทางไฟฟ้าเต็มพิกัด และภาพที่ 4.3 เป็นภาพของกระแสสามเฟสขณะไร้ภาระทางไฟฟ้า

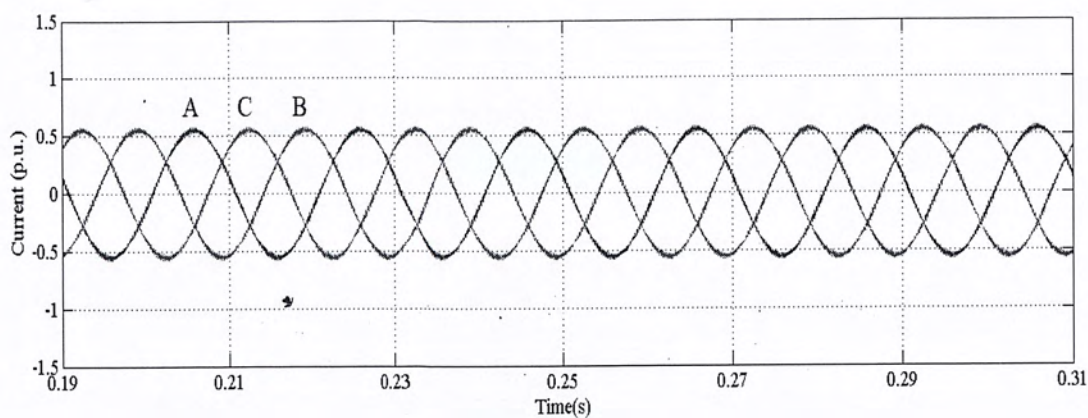


ภาพที่ 4.1 ผลการจำลองทางคอมพิวเตอร์แสดงรูปคลื่นกระแสสามเฟส  
ในขณะที่มอเตอร์ขั้วภาระเต็มพิกัด

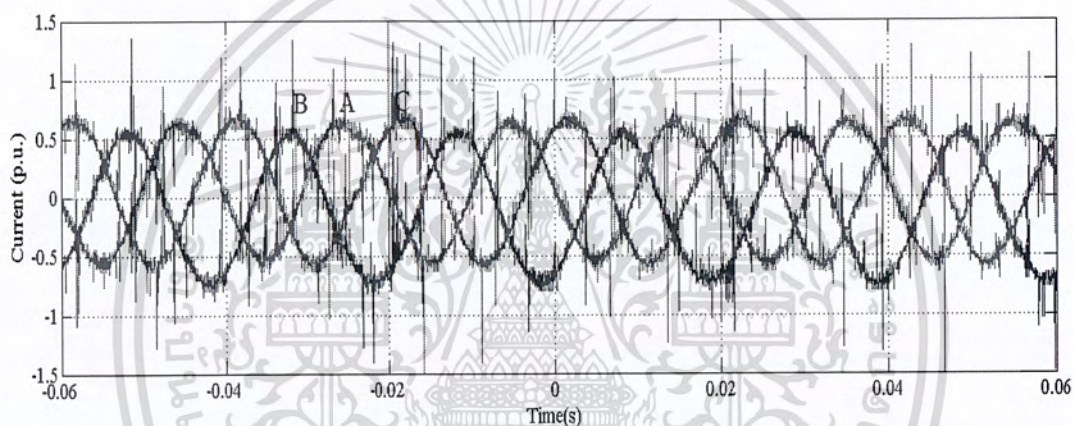


ภาพที่ 4.2 ผลการทดลองแสดงรูปคลื่นกระแสสามเฟสในขณะที่มอเตอร์ขั้วภาระเต็มพิกัด

เอกสารนี้เป็นเอกสารที่สงวนไว้สำหรับการใช้งานเพื่อการศึกษาเท่านั้น ไม่อนุญาตให้นำไปใช้ประโยชน์ด้านการค้า  
ไม่ว่ากรณีใดๆ ทั้งสิ้น อีกทั้งห้ามมิให้ตัดแปลงเนื้อหา และต้องอ้างอิงถึงเจ้าของเอกสารทุกครั้งที่มีการนำไปใช้



ภาพที่ 4.3 ผลการจำลองทางคอมพิวเตอร์แสดงรูปคลื่นกระแสสามเฟส  
ในขณะที่มอเตอร์ไม่มีภาระทางไฟฟ้า

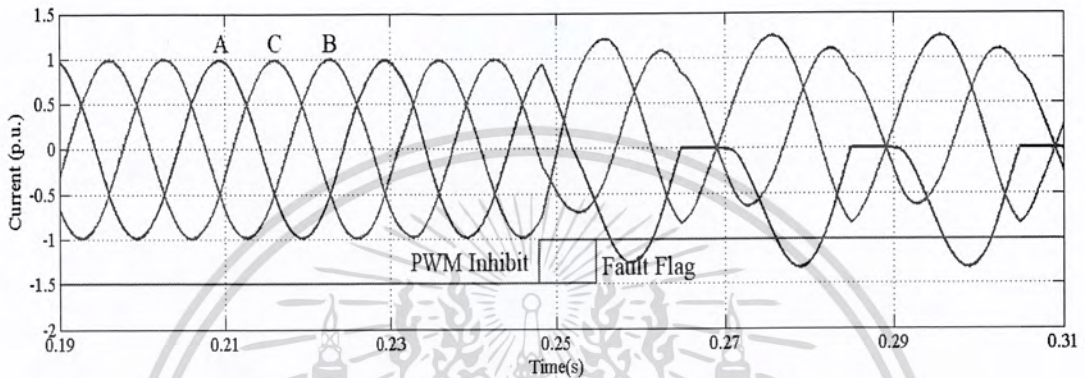


ภาพที่ 4.4 ผลการทดลองแสดงรูปคลื่นกระแสสามเฟสในขณะที่มอเตอร์ไม่มีภาระทางไฟฟ้า

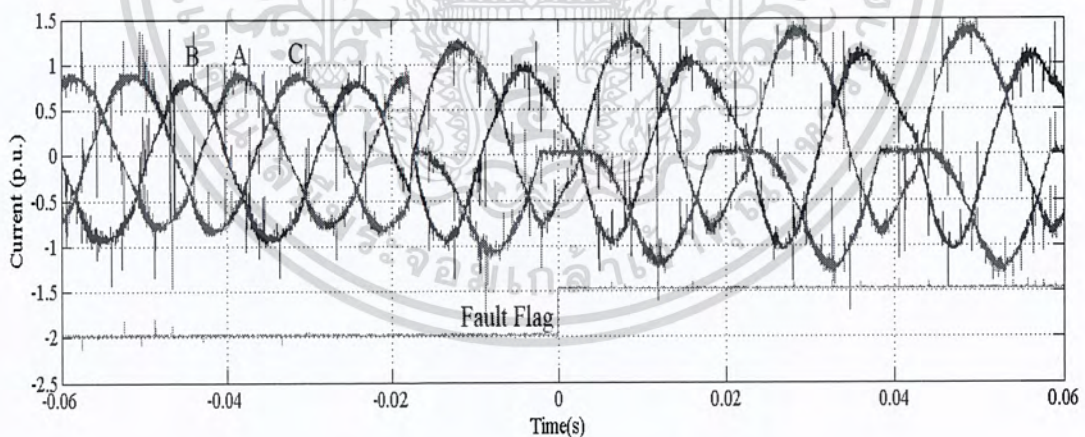
เอกสารนี้เป็นเอกสารที่สงวนไว้สำหรับการใช้งานเพื่อการศึกษาเท่านั้น ไม่อนุญาตให้นำไปใช้ประโยชน์ด้านการค้า  
ไม่ว่ากรณีใดๆ ทั้งสิ้น อีกทั้งห้ามมิให้ตัดแปลงเนื้อหา และต้องอ้างอิงถึงเจ้าของเอกสารทุกครั้งที่มีการนำไปใช้

#### 4.2.2 การเกิดความผิดปกติของชนิดเปิดวงจรที่สวิตช์กำลังเกิดขึ้นที่สวิตช์ T1, T2 และ T3

ในหัวข้อนี้จะนำเสนอรูปคลื่นของกระแสที่ไหลผ่านคอนเวอร์เตอร์สามเฟสขณะเกิดความผิดปกติของชนิดเปิดวงจรที่สวิตช์กำลัง ที่ตำแหน่ง T1, T2 และ T3 โดยที่แสดงการเปรียบเทียบผลการจำลองด้วยโปรแกรมคอมพิวเตอร์และผลการทดลองจริง เพื่อแสดงถึงการเปลี่ยนแปลงของรูปคลื่นกระแสขณะเกิดความผิดปกติของสวิตช์ในคอนเวอร์เตอร์สามเฟส

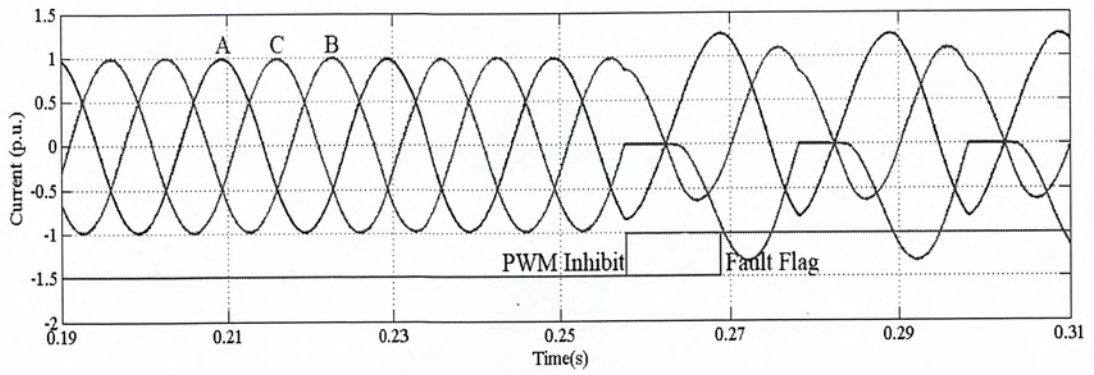


ภาพที่ 4.5 ผลการจำลองทางคอมพิวเตอร์แสดงรูปคลื่นกระแสสามเฟส เมื่อเกิดความผิดปกติชนิดสวิตช์เปิดวงจรที่สวิตช์ T1

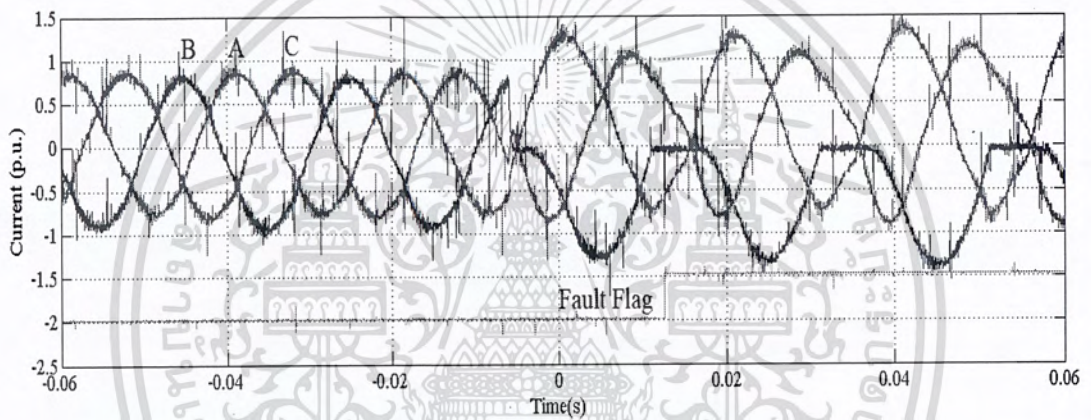


ภาพที่ 4.6 ผลการทดลองแสดงรูปคลื่นกระแสสามเฟส เมื่อเกิดความผิดปกติชนิดสวิตช์เปิดวงจรที่สวิตช์ T1

เอกสารนี้เป็นเอกสารที่สงวนไว้สำหรับการใช้งานเพื่อการศึกษาเท่านั้น ไม่อนุญาตให้นำไปใช้ประโยชน์ด้านการค้า ไม่ว่าจะกรณีใดๆ ทั้งสิ้น อีกทั้งห้ามมิให้ตัดแปลงเนื้อหา และต้องอ้างอิงถึงเจ้าของเอกสารทุกครั้งที่มีการนำไปใช้

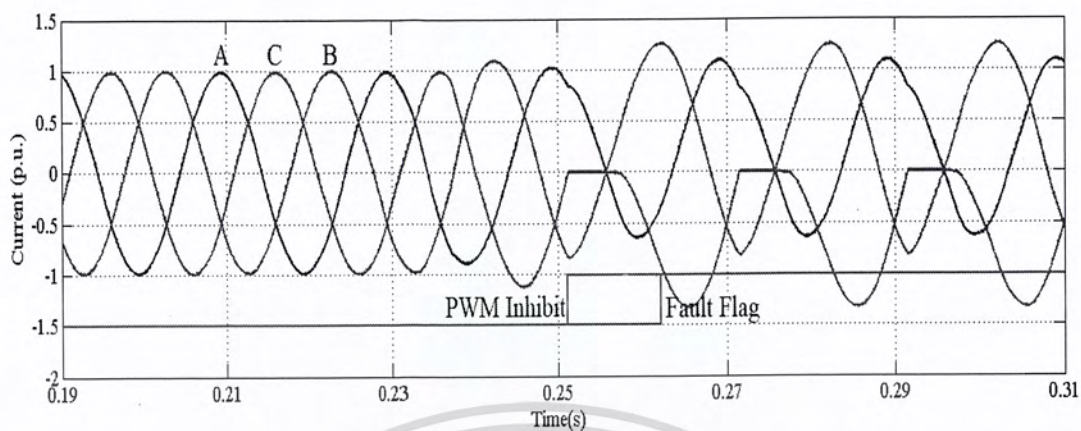


ภาพที่ 4.7 ผลการจำลองทางคอมพิวเตอร์แสดงรูปคลื่นกระแสสามเฟส  
เมื่อเกิดความผิดปกติของชนิดสวิตช์เปิดวงจรที่สวิตช์ T2

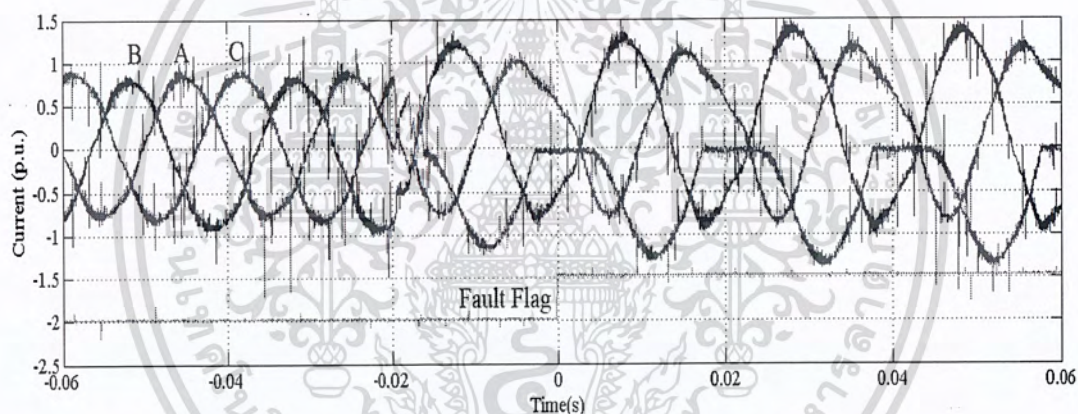


ภาพที่ 4.8 ผลการทดลองแสดงรูปคลื่นกระแสสามเฟส  
เมื่อเกิดความผิดปกติของชนิดสวิตช์เปิดวงจรที่สวิตช์ T2

เอกสารนี้เป็นเอกสารที่สงวนไว้สำหรับการใช้งานเพื่อการศึกษาเท่านั้น ไม่อนุญาตให้นำไปใช้ประโยชน์ด้านการค้า  
ไม่ว่ากรณีใดๆ ทั้งสิ้น อีกทั้งห้ามมิให้ตัดแปลงเนื้อหา และต้องอ้างอิงถึงเจ้าของเอกสารทุกครั้งที่มีการนำไปใช้



ภาพที่ 4.9 ผลการจำลองทางคอมพิวเตอร์แสดงรูปคลื่นกระแสสามเฟส  
เมื่อเกิดความผิดปกติของชนิดสวิตช์เปิดวงจรที่สวิตช์ T3

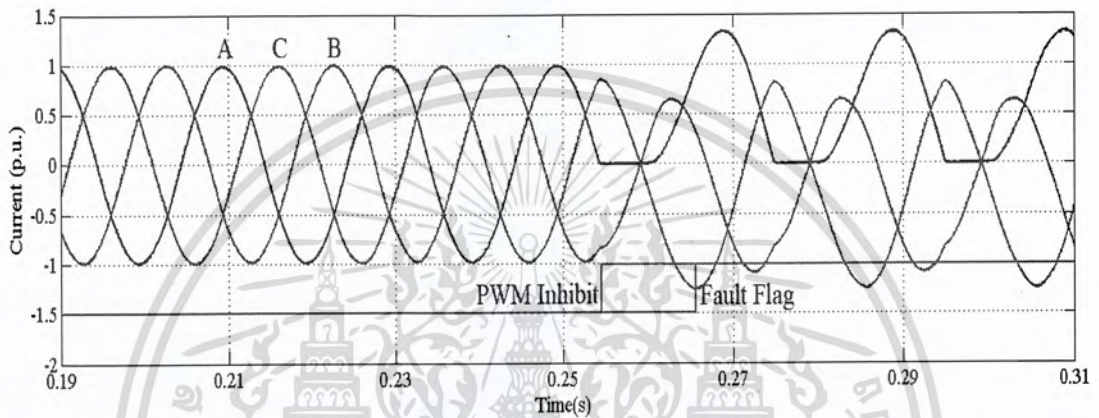


ภาพที่ 4.10 ผลการทดลองแสดงรูปคลื่นกระแสสามเฟส  
เมื่อเกิดความผิดปกติของชนิดสวิตช์เปิดวงจรที่สวิตช์ T3

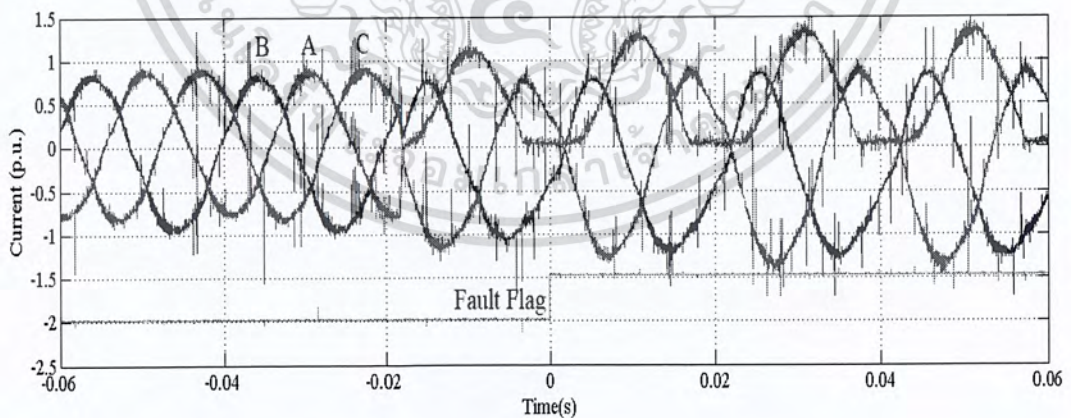
เอกสารนี้เป็นเอกสารที่สงวนไว้สำหรับการใช้งานเพื่อการศึกษาเท่านั้น ไม่อนุญาตให้นำไปใช้ประโยชน์ด้านการค้า  
ไม่ว่ากรณีใดๆ ทั้งสิ้น อีกทั้งห้ามมิให้ตัดแปลงเนื้อหา และต้องอ้างอิงถึงเจ้าของเอกสารทุกครั้งที่มีการนำไปใช้

### 4.2.3 การเกิดความผิดปกติของชนิดเปิดวงจรที่สวิตช์กำลังเกิดขึ้น ที่สวิตช์ T4, T5 และ T6

ในหัวข้อนี้จะนำเสนอรูปคลื่นของกระแสที่ไหลผ่านคอนเวอร์เตอร์สามเฟสขณะเกิดความผิดปกติของชนิดเปิดวงจรที่สวิตช์กำลัง ที่ตำแหน่ง T4, T5 และ T6 โดยที่แสดงการเปรียบเทียบผลของการจำลองด้วยโปรแกรมคอมพิวเตอร์และผลการทดลองจริง เพื่อแสดงถึงการเปลี่ยนแปลงของรูปคลื่นของกระแสขณะเกิดความผิดปกติที่เกิดขึ้นในคอนเวอร์เตอร์สามเฟส

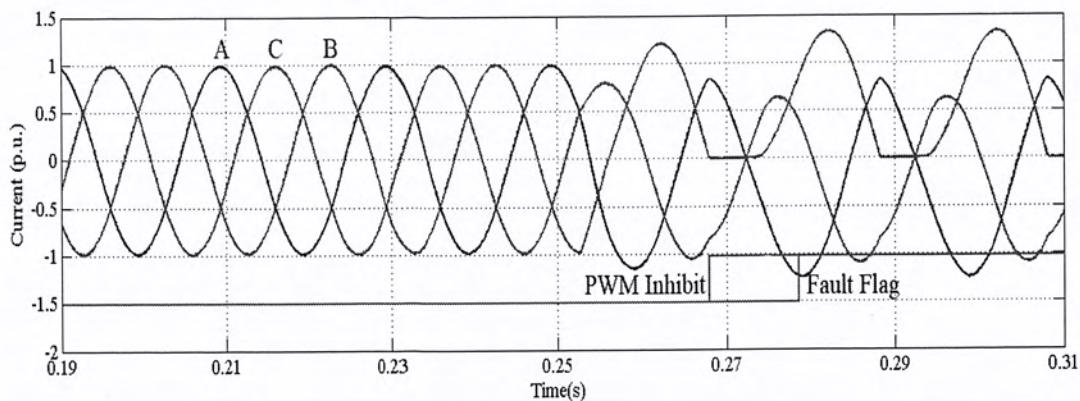


ภาพที่ 4.11 ผลการจำลองทางคอมพิวเตอร์แสดงรูปคลื่นกระแสสามเฟส เมื่อเกิดความผิดปกติชนิดสวิตช์เปิดวงจรที่สวิตช์ T4

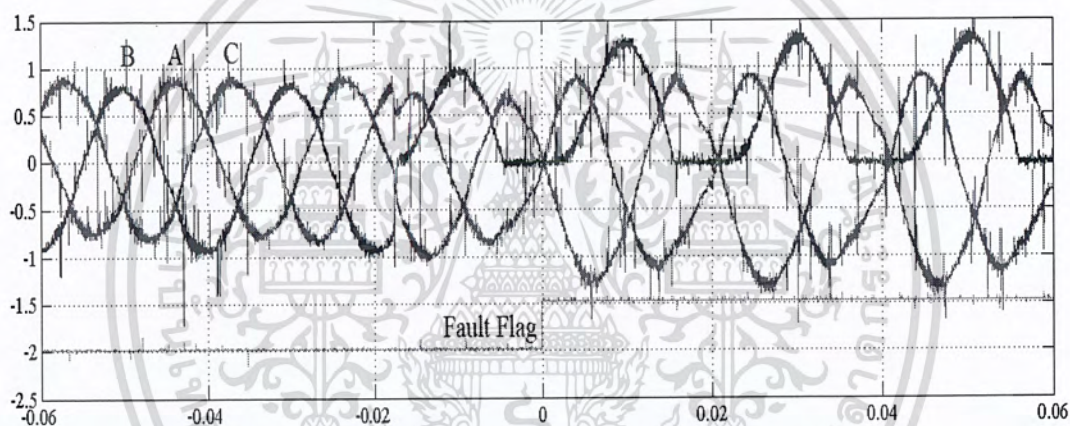


ภาพที่ 4.12 ผลการทดลองแสดงรูปคลื่นกระแสสามเฟส เมื่อเกิดความผิดปกติชนิดสวิตช์เปิดวงจรที่สวิตช์ T4

เอกสารนี้เป็นเอกสารที่สงวนไว้สำหรับการใช้งานเพื่อการศึกษาเท่านั้น ไม่อนุญาตให้นำไปใช้ประโยชน์ด้านการค้า ไม่ว่าจะกรณีใดๆ ทั้งสิ้น อีกทั้งห้ามมิให้ตัดแปลงเนื้อหา และต้องอ้างอิงถึงเจ้าของเอกสารทุกครั้งที่มีการนำไปใช้

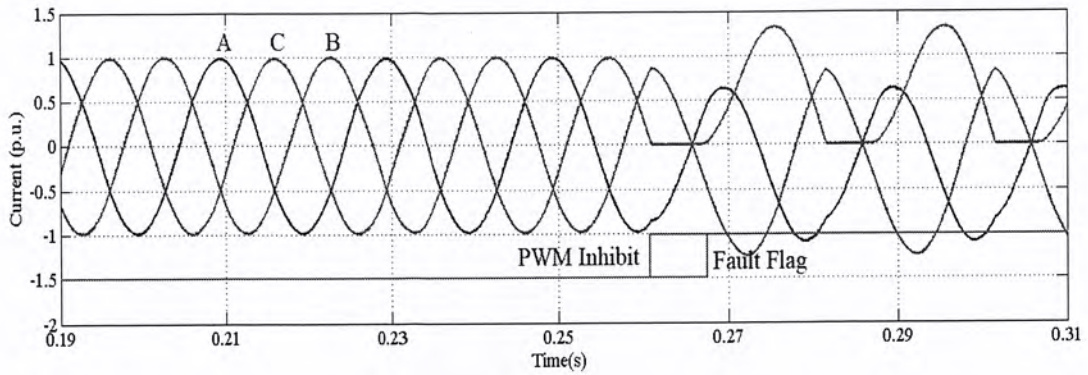


ภาพที่ 4.13 ผลการจำลองทางคอมพิวเตอร์แสดงรูปคลื่นกระแสสามเฟส  
เมื่อเกิดความผิดปกติของชนิดสวิตช์เปิดวงจรที่สวิตช์ T5

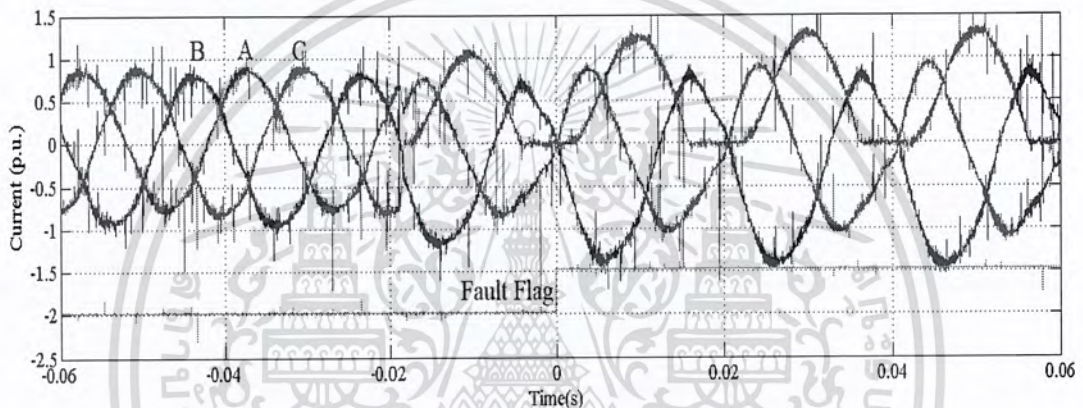


ภาพที่ 4.14 ผลการทดลองแสดงรูปคลื่นกระแสสามเฟส  
เมื่อเกิดความผิดปกติของชนิดสวิตช์เปิดวงจรที่สวิตช์ T5

เอกสารนี้เป็นเอกสารที่สงวนไว้สำหรับการใช้งานเพื่อการศึกษาเท่านั้น ไม่อนุญาตให้นำไปใช้ประโยชน์ด้านการค้า  
ไม่ว่ากรณีใดๆ ทั้งสิ้น อีกทั้งห้ามมิให้ตัดแปลงเนื้อหา และต้องอ้างอิงถึงเจ้าของเอกสารทุกครั้งที่มีการนำไปใช้



ภาพที่ 4.15 ผลการจำลองทางคอมพิวเตอร์แสดงรูปคลื่นกระแสสามเฟส  
เมื่อเกิดความผิดปกติของชนิดสวิตช์เปิดวงจรที่สวิตช์ T6



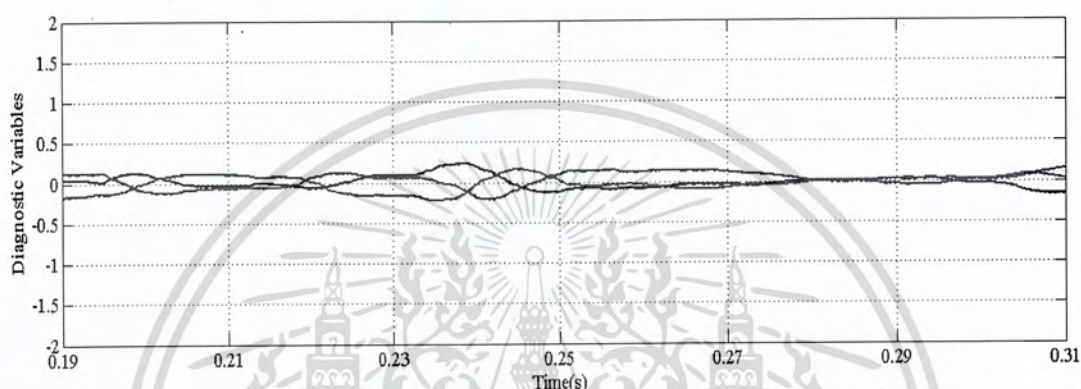
ภาพที่ 4.16 ผลการทดลองแสดงรูปคลื่นกระแสสามเฟส  
เมื่อเกิดความผิดปกติของชนิดสวิตช์เปิดวงจรที่สวิตช์ T6

จากผลการทดลองดังแสดงในภาพที่ 4.5, ภาพที่ 4.7 และภาพที่ 4.9 จะเห็นว่า เมื่อสวิตช์วงจรกำลังเกิดความผิดปกติในตำแหน่งที่ T1, T2 และ T3 จะทำให้ลูกคลื่นครึ่งบวกของกระแสเฟส A, B และ C หายไปครึ่งลูกตามลำดับเหลือแต่ลูกคลื่นครึ่งลบและยังทำให้กระแสของเฟสที่เหลือที่ไม่ได้เกิดความผิดปกติเกิดองค์ประกอบของกระแสตรงขึ้น ดังแสดงในภาพที่ 4.5 กระแสของเฟส B และเฟส C เกิดองค์ประกอบของกระแสตรงขึ้นทำให้กระแสยกตัวขึ้นจากเดิม ในภาพที่ 4.7 กระแสของเฟส A และเฟส C เกิดองค์ประกอบของกระแสตรงขึ้น และในภาพที่ 4.9 กระแสของเฟส A และเฟส B เกิดองค์ประกอบของกระแสตรงขึ้น และผลการทดลองดังแสดงในภาพที่ 4.11 ภาพที่ 4.13 และภาพที่ 4.15 จะเห็นว่า เมื่อสวิตช์วงจรกำลังเกิดความผิดปกติในตำแหน่งที่ T4, T5 และ T6 จะทำให้ลูกคลื่นครึ่งลบของกระแสเฟส A, B และ C หายไปครึ่งลูกตามลำดับเหลือแต่ลูกคลื่นครึ่งบวกและยังทำให้กระแสของเฟสที่เหลือที่ไม่ได้เกิดความผิดปกติเกิดองค์ประกอบของกระแสตรงขึ้น ดังแสดงในภาพที่ 4.11 กระแสของเฟส B และเฟส C เกิดองค์ประกอบของกระแสตรงขึ้นทำให้กระแสยกตัวลงจากเดิม เอกสารนี้เป็นเอกสารที่สงวนไว้สำหรับการใช้งานเพื่อการศึกษาเท่านั้น ไม่อนุญาตให้นำไปใช้ประโยชน์ด้านการค้า ไม่ว่าจะกรณีใดๆ ทั้งสิ้น อีกทั้งห้ามมิให้ตัดแปลงเนื้อหา และต้องอ้างอิงถึงเจ้าของเอกสารทุกครั้งที่มีการนำไปใช้

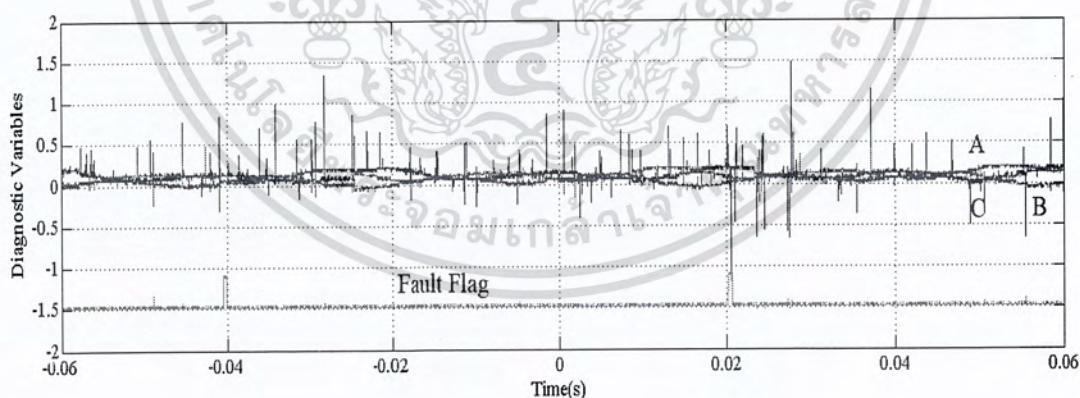
ในภาพที่ 4.13 กระแสของเฟส A และเฟส C เกิดองค์ประกอบของกระแสตรงขึ้นและ  
ในภาพที่ 4.15 กระแสของเฟส A และเฟส B เกิดองค์ประกอบของกระแสตรงขึ้น

#### 4.3 การวินิจฉัยการตรวจจับความผิดปกติ

ค่าของตัวแปรวินิจฉัยความผิดปกติ (Diagnostic index) ชนิดสวิตช์เปิดวงจรนั้นได้  
แสดงผลออกมาทาง Analog-to-Digital Converter (ADC) ซึ่งแสดงผลของตัวแปรการวินิจฉัย  
ของกระแสทั้งสามเฟสขณะกระแสปกติและกระแสมีความผิดปกติเกิดขึ้น แสดงดังรูปต่อไปนี้

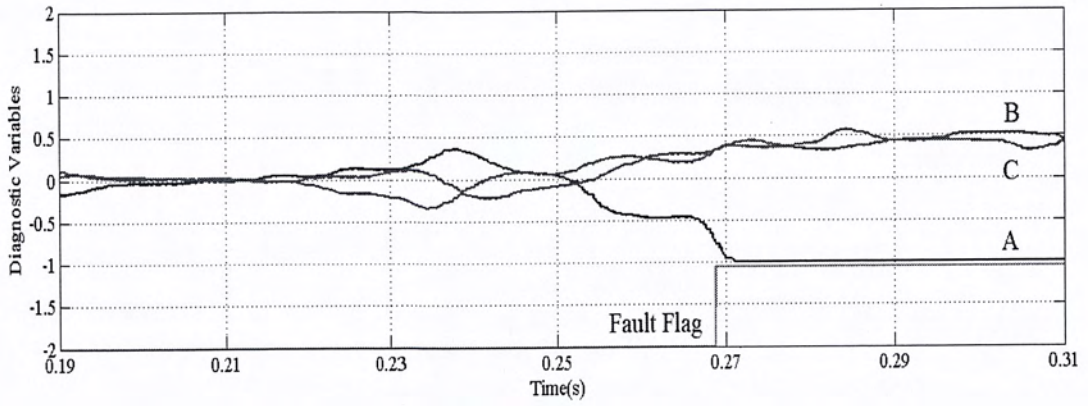


ภาพที่ 4.17 ผลการจำลองทางคอมพิวเตอร์แสดงค่าตัวแปรวินิจฉัยในสภาวะปกติ

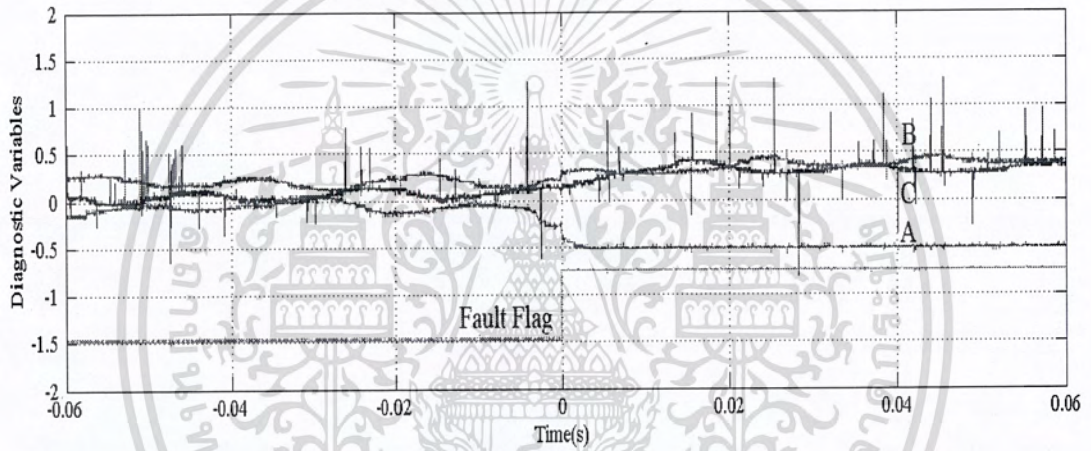


ภาพที่ 4.18 ผลการทดลองแสดงค่าตัวแปรวินิจฉัยในสภาวะปกติ

เอกสารนี้เป็นเอกสารที่สงวนไว้สำหรับการใช้งานเพื่อการศึกษาเท่านั้น ไม่อนุญาตให้นำไปใช้ประโยชน์ด้านการค้า  
ไม่ว่ากรณีใดๆ ทั้งสิ้น อีกทั้งห้ามมิให้ตัดแปลงเนื้อหา และต้องอ้างอิงถึงเจ้าของเอกสารทุกครั้งที่มีการนำไปใช้

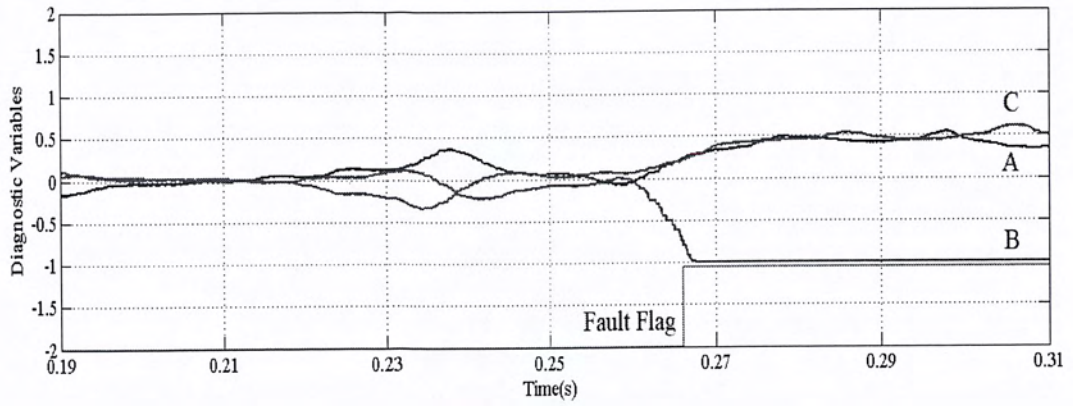


ภาพที่ 4.19 ผลการจำลองทางคอมพิวเตอร์แสดงค่าตัวแปรวินิจฉัย  
ในสภาวะที่เกิดความผิดพลาดที่สวิตช์ T1

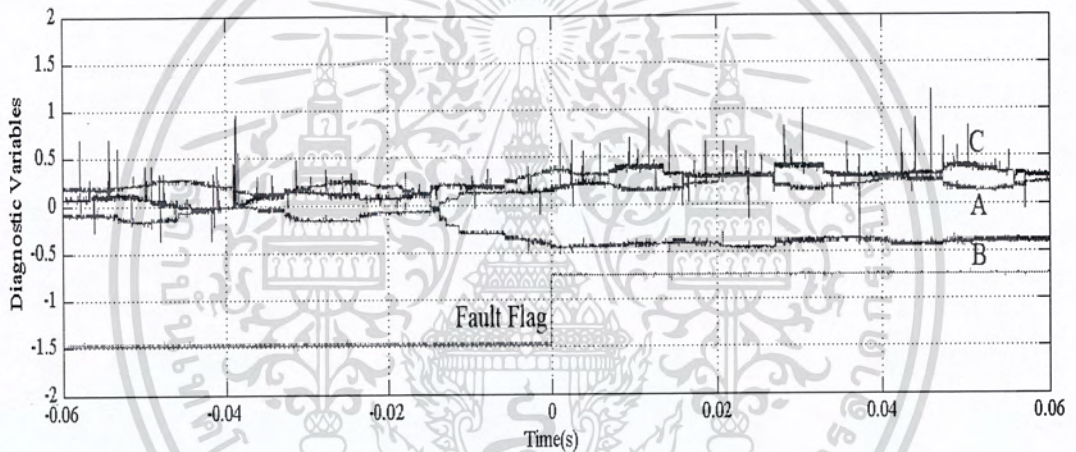


ภาพที่ 4.20 ผลการทดลองแสดงค่าตัวแปรวินิจฉัยในสภาวะที่เกิดความผิดพลาดที่สวิตช์ T1

เอกสารนี้เป็นเอกสารที่สงวนไว้สำหรับการใช้งานเพื่อการศึกษาเท่านั้น ไม่อนุญาตให้นำไปใช้ประโยชน์ด้านการค้า  
ไม่ว่ากรณีใดๆ ทั้งสิ้น อีกทั้งห้ามมิให้ตัดแปลงเนื้อหา และต้องอ้างอิงถึงเจ้าของเอกสารทุกครั้งที่มีการนำไปใช้

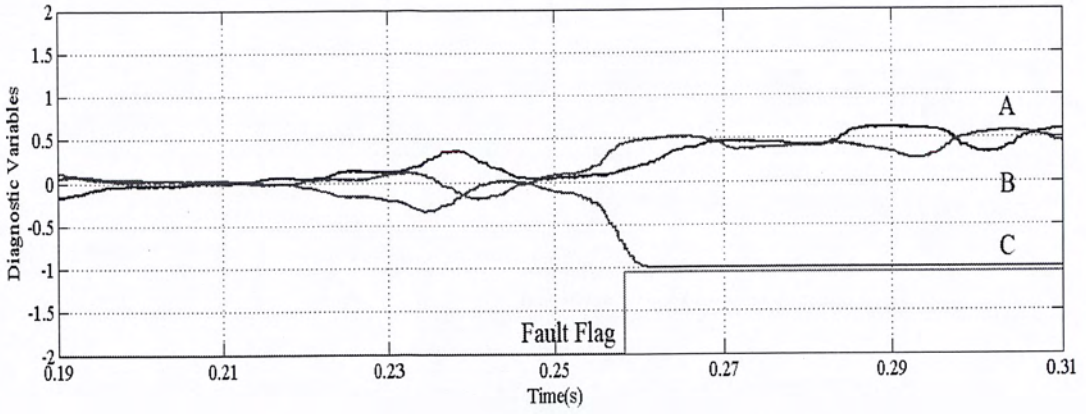


ภาพที่ 4.21 ผลการจำลองทางคอมพิวเตอร์แสดงค่าตัวแปรวินิจฉัย  
ในสภาวะที่เกิดความผิดปกติที่สวิตช์ T2

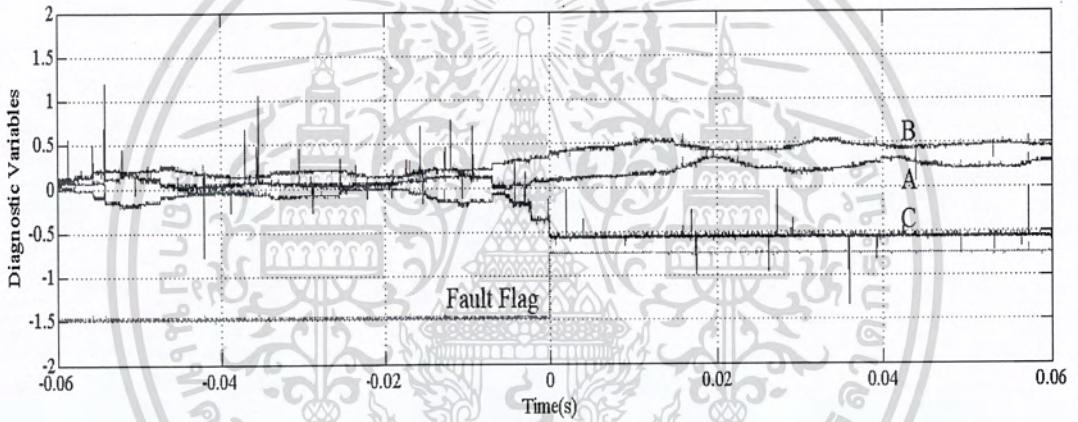


ภาพที่ 4.22 ผลการทดลองแสดงค่าตัวแปรวินิจฉัยในสภาวะที่เกิดความผิดปกติที่สวิตช์ T2

เอกสารนี้เป็นเอกสารที่สงวนไว้สำหรับการใช้งานเพื่อการศึกษาเท่านั้น ไม่อนุญาตให้นำไปใช้ประโยชน์ด้านการค้า  
ไม่ว่ากรณีใดๆ ทั้งสิ้น อีกทั้งห้ามมิให้ตัดแปลงเนื้อหา และต้องอ้างอิงถึงเจ้าของเอกสารทุกครั้งที่มีการนำไปใช้

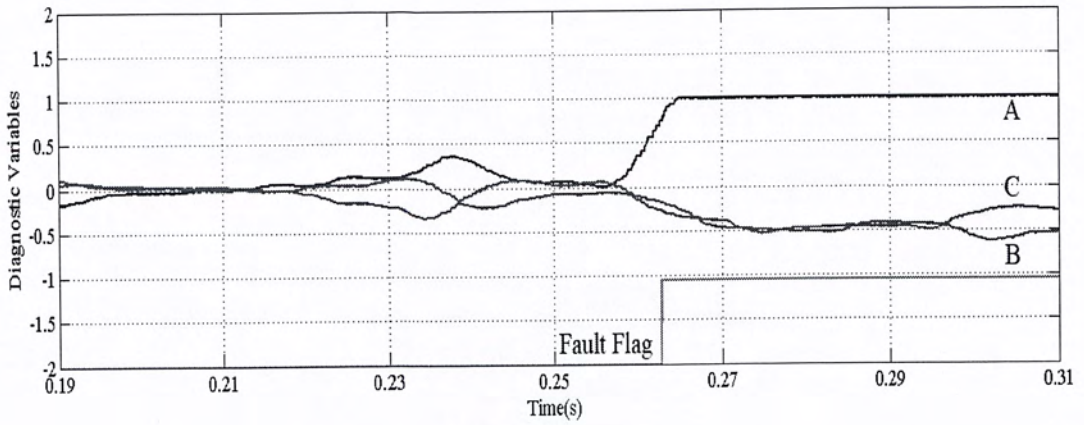


ภาพที่ 4.23 ผลการจำลองทางคอมพิวเตอร์แสดงค่าตัวแปรวินิจฉัย  
ในสภาวะที่เกิดความผิดปกติที่สวิตช์ T3

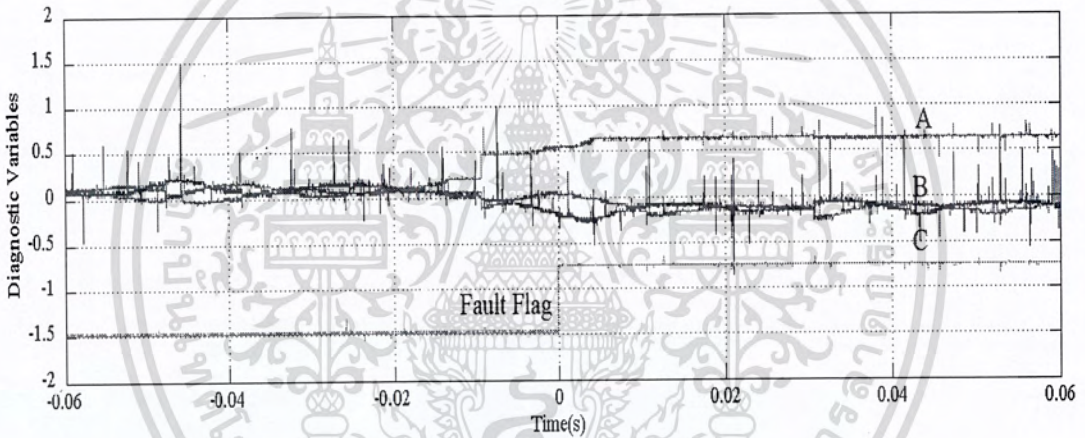


ภาพที่ 4.24 ผลการทดลองแสดงค่าตัวแปรวินิจฉัยในสภาวะที่เกิดความผิดปกติที่สวิตช์ T3

เอกสารนี้เป็นเอกสารที่สงวนไว้สำหรับการใช้งานเพื่อการศึกษาเท่านั้น ไม่อนุญาตให้นำไปใช้ประโยชน์ด้านการค้า  
ไม่ว่ากรณีใดๆ ทั้งสิ้น อีกทั้งห้ามมิให้ตัดแปลงเนื้อหา และต้องอ้างอิงถึงเจ้าของเอกสารทุกครั้งที่มีการนำไปใช้

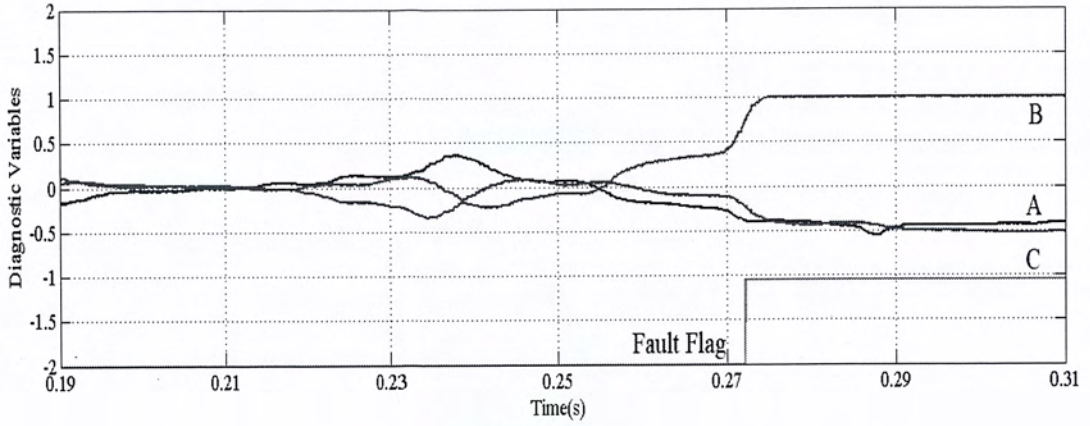


ภาพที่ 4.25 ผลการจำลองทางคอมพิวเตอร์แสดงค่าตัวแปรวินิจฉัย  
ในสภาวะที่เกิดความผิดปกติที่สวิตช์ T4

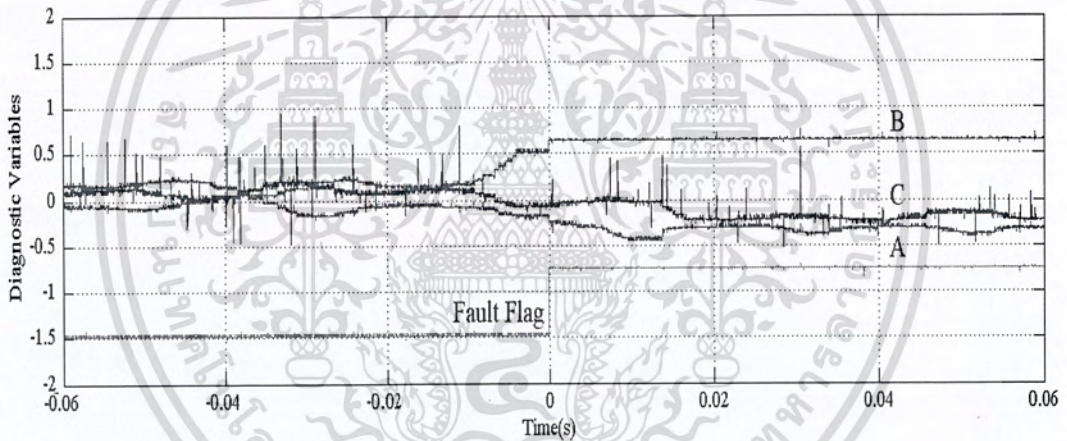


ภาพที่ 4.26 ผลการทดลองแสดงค่าตัวแปรวินิจฉัยในสภาวะที่เกิดความผิดปกติที่สวิตช์ T4

เอกสารนี้เป็นเอกสารที่สงวนไว้สำหรับการใช้งานเพื่อการศึกษาเท่านั้น ไม่อนุญาตให้นำไปใช้ประโยชน์ด้านการค้า  
ไม่ว่ากรณีใดๆ ทั้งสิ้น อีกทั้งห้ามมิให้ตัดแปลงเนื้อหา และต้องอ้างอิงถึงเจ้าของเอกสารทุกครั้งที่มีการนำไปใช้

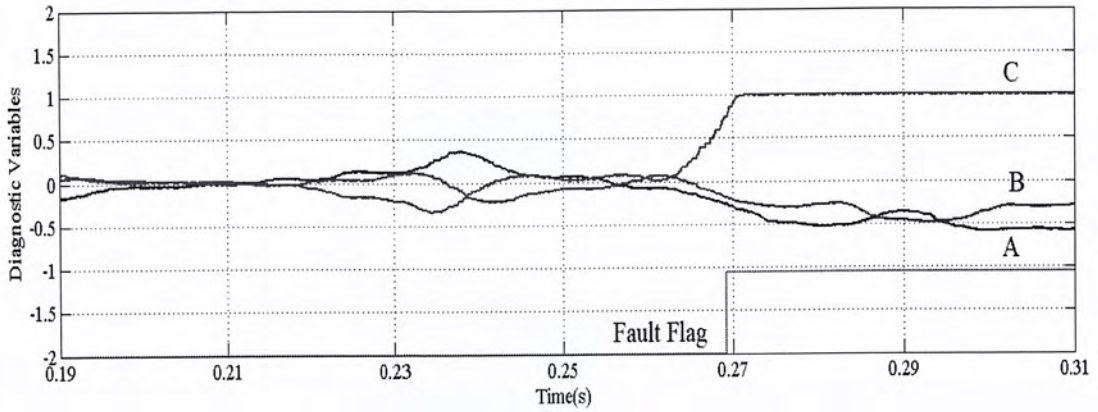


ภาพที่ 4.27 ผลการจำลองทางคอมพิวเตอร์แสดงค่าตัวแปรวินิจฉัย  
ในสภาวะที่เกิดความผิดปกติที่สวิตช์ T5

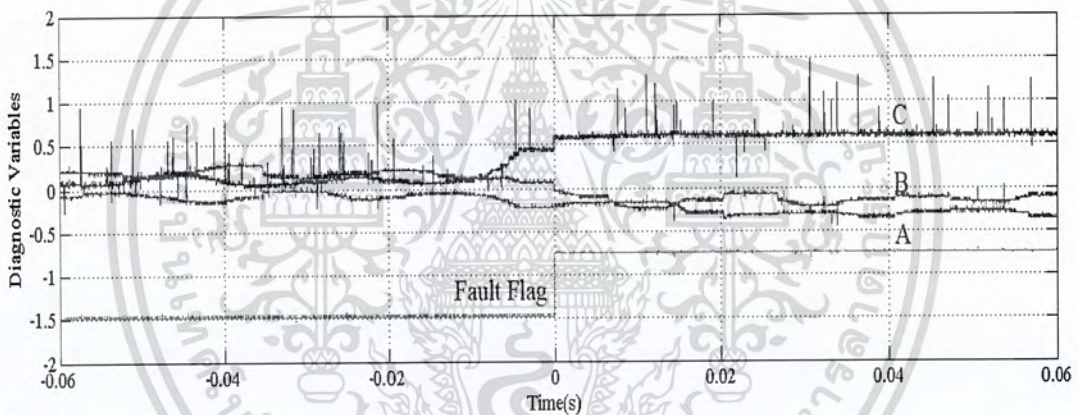


ภาพที่ 4.28 ผลการทดลองแสดงค่าตัวแปรวินิจฉัยในสภาวะที่เกิดความผิดปกติที่สวิตช์ T5

เอกสารนี้เป็นเอกสารที่สงวนไว้สำหรับการใช้งานเพื่อการศึกษาเท่านั้น ไม่อนุญาตให้นำไปใช้ประโยชน์ด้านการค้า  
ไม่ว่ากรณีใดๆ ทั้งสิ้น อีกทั้งห้ามมิให้ตัดแปลงเนื้อหา และต้องอ้างอิงถึงเจ้าของเอกสารทุกครั้งที่มีการนำไปใช้



ภาพที่ 4.29 ผลการจำลองทางคอมพิวเตอร์แสดงค่าตัวแปรวินิจฉัย  
ในสภาวะที่เกิดความผิดพลาดที่สวิทช์ T6



ภาพที่ 4.30 ผลการทดลองแสดงค่าตัวแปรวินิจฉัยในสภาวะที่เกิดความผิดพลาดที่สวิทช์ T6

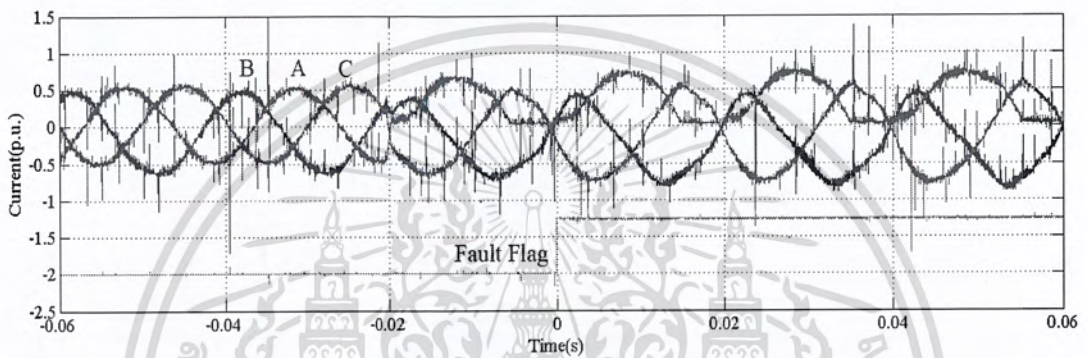
จากผลการทดลองพบว่าเมื่อเกิดความผิดพลาดเกิดขึ้นในสวิทช์ใดสวิทช์หนึ่งแล้วจะทำให้ตัวแปรการวินิจฉัยมีค่าเป็น 1 หรือ -1 ขึ้นอยู่กับตำแหน่งการเกิดความผิดพลาดดังแสดงในภาพที่ 4.20 เกิดความผิดพลาดที่สวิทช์ T1 ตัวแปรการวินิจฉัยจะมีค่าเป็น -1 ภาพที่ 4.22 เกิดความผิดพลาดที่สวิทช์ T2 ตัวแปรการวินิจฉัยจะมีค่าเป็น -1 ภาพที่ 4.24 เกิดความผิดพลาดที่สวิทช์ T3 ตัวแปรการวินิจฉัยจะมีค่าเป็น -1 ภาพที่ 4.26 เกิดความผิดพลาดที่สวิทช์ T4 ตัวแปรการวินิจฉัยจะมีค่าเป็น 1 ภาพที่ 4.28 เกิดความผิดพลาดที่สวิทช์ T5 ตัวแปรการวินิจฉัยจะมีค่าเป็น 1 ภาพที่ 4.30 เกิดความผิดพลาดที่สวิทช์ T6 ตัวแปรการวินิจฉัยจะมีค่าเป็น 1 แต่ในผลการทดลองค่าของตัวแปรการวินิจฉัยนั้นเป็นค่าแสดงผลที่ออกมาจาก Digital-to-Analog Converter ซึ่งทำให้ค่าที่แสดงผลไม่ใช่ค่าจริงของตัวแปรวินิจฉัย

เอกสารนี้เป็นเอกสารที่สงวนไว้สำหรับการใช้งานเพื่อการศึกษาเท่านั้น ไม่อนุญาตให้นำไปใช้ประโยชน์ด้านการค้า  
ไม่ว่ากรณีใดๆ ทั้งสิ้น อีกทั้งห้ามมิให้ตัดแปลงเนื้อหา และต้องอ้างอิงถึงเจ้าของเอกสารทุกครั้งที่มีการนำไปใช้

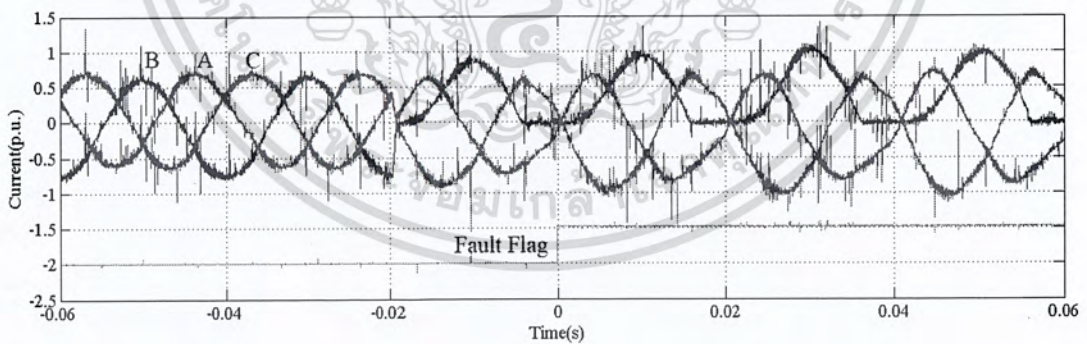
#### 4.4 การตรวจจับความผิดปกติที่กระแสนาต่าง ๆ

ผลการทดลองการตรวจจับความผิดปกติที่เกิดในกระแสไฟฟ้าขนาดต่าง ๆ โดยที่เปิดภาระทางไฟฟ้าที่เป็นหลอดไฟขนาดหลอดละ 100 W เป็นจำนวน 4 ดวง, 8 ดวง และ 12 ดวง ตามลำดับ โดยที่มอเตอร์มีพิกัด 750 W, 220 V, 3.3 A, 4 ขั้ว, 50 Hz, 1400 rpm มีขนาดกระแสดังนี้

- กระแสขนาด 1.46 A, 0.44 p.u.
- กระแสขนาด 2.47 A, 0.75 p.u.
- กระแสขนาด 2.81 A, 0.85 p.u.

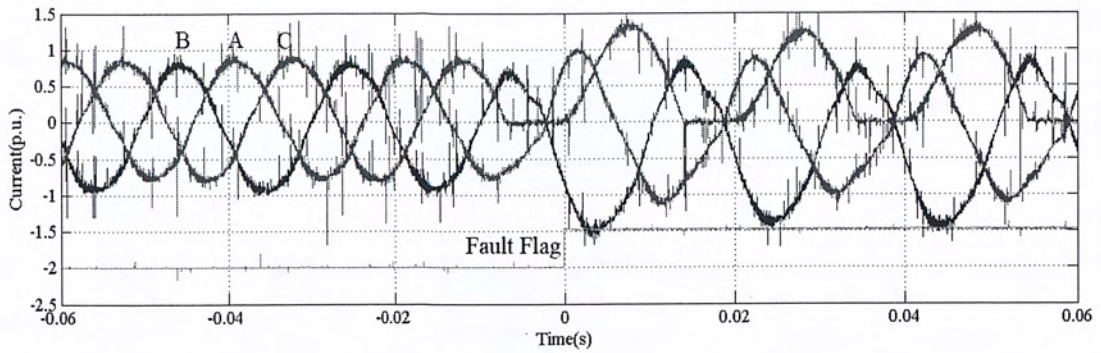


ภาพที่ 4.31 ผลการทดลองแสดงการตรวจจับความผิดปกติในสวิตช์ T4 ที่ขนาดกระแส 0.44 p.u.



ภาพที่ 4.32 ผลการทดลองแสดงการตรวจจับความผิดปกติในสวิตช์ T5 ที่ขนาดกระแส 0.75 p.u.

เอกสารนี้เป็นเอกสารที่สงวนไว้สำหรับการใช้งานเพื่อการศึกษาเท่านั้น ไม่อนุญาตให้นำไปใช้ประโยชน์ด้านการค้า ไม่ว่าจะกรณีใดๆ ทั้งสิ้น อีกทั้งห้ามมิให้ดัดแปลงเนื้อหา และต้องอ้างอิงถึงเจ้าของเอกสารทุกครั้งที่มีการนำไปใช้



ภาพที่ 4.33 ผลการทดลองแสดงการตรวจจับความผิดปกติในสวิตช์ T6  
ที่ขนาดกระแส 0.85 p.u.

#### 4.5 บทสรุป

บทนี้นำเสนอผลการทดลองทางคอมพิวเตอร์และผลการทดลองโดยนำหลักการพื้นฐานในบทที่ 2 และใช้แบบจำลองทางคอมพิวเตอร์ที่ได้ออกแบบไว้ในบทที่ 3 มาใช้ในการเขียนโปรแกรมลงบน TMS320F28335 โดยผลการทดลองใช้วิธี Absolute Normalized DC Method ในการตรวจจับความผิดปกติของชนิดสวิตช์เปิดวงจรในคอนเวอร์เตอร์สามเฟส จากผลการทดลองพบว่าเมื่อสวิตช์ T1, T2 และ T3 เปิดวงจรจะทำให้รูปคลื่นครึ่งบนของกระแสหายไป และเมื่อสวิตช์ T4, T5 และ T6 เปิดวงจรจะทำให้รูปคลื่นครึ่งล่างของกระแสหายไป ในส่วนของการตรวจจับนั้นจะสามารถตรวจจับความผิดปกติของชนิดสวิตช์เปิดวงจรได้ภายในสองคาบของกระแสที่ไหลผ่านคอนเวอร์เตอร์

## บทที่ 5

### บทสรุป ข้อเสนอแนะ และแนวทางการพัฒนา

#### 5.1 บทสรุป

จากการจำลองการทำงานทางคอมพิวเตอร์โดยโปรแกรม MATLAB/Simulink แล้วนำไปสร้างเครื่องต้นแบบวงจรคอนเวอร์เตอร์ชนิดปรับความกว้างพัลส์เพื่อใช้สำหรับ ขับเคลื่อนมอเตอร์เหนี่ยวนำ แล้วทำการตรวจจับกระแสเพื่อวิเคราะห์หาความผิดพร่อง ของสวิตช์ชนิดเปิดวงจรในวงจรคอนเวอร์เตอร์ต้นแบบ เครื่องต้นแบบนี้สามารถตรวจจับกระแส ที่เกิดความผิดพร่องได้ และสามารถวิเคราะห์หาสาเหตุที่ทำให้การทำงานของคอนเวอร์เตอร์ เกิดความผิดปกติขึ้น ว่าความผิดปกติที่เกิดขึ้นเกิดจากการที่สวิตช์เปิดวงจรหรือไม่ และถ้าเกิดจากการที่สวิตช์เปิดวงจรเป็นสวิตช์ที่ตำแหน่งใด ทำให้ง่ายต่อการซ่อมแซม และบำรุงรักษาวงจรคอนเวอร์เตอร์

ในปริณญาณิพนธ์ฉบับนี้จะส่งเสริมความเข้าใจเกี่ยวกับการตรวจจับความผิดพร่อง ชนิดเปิดวงจรสำหรับคอนเวอร์เตอร์ชนิดปรับความกว้างพัลส์ โดยใช้วิธี Absolute Normalize DC Current Method ในการตรวจจับความผิดพร่องที่เกิดขึ้น ซึ่งใช้อ้างอิงกับทฤษฎีพฤติกรรมของกระแส ทั้งในสภาวะกระแสปกติคือไม่เกิดความผิดพร่องชนิด เปิดวงจรในคอนเวอร์เตอร์ และในสภาวะที่กระแสเกิดความผิดปกติคือเกิดความผิดพร่องชนิด เปิดวงจรในคอนเวอร์เตอร์ โดยเมื่อกระแสเกิดความผิดปกติพฤติกรรมของกระแสจะเปลี่ยนไป โดยขึ้นอยู่กับว่าสวิตช์ที่ตำแหน่งใดที่เกิดความผิดพร่องชนิดเปิดวงจรขึ้น กล่าวคือเมื่อเกิด ความผิดพร่องแบบเปิดวงจรที่สวิตช์กำลังสวิตช์ใดสวิตช์หนึ่งในแต่ละเฟสแล้ว สวิตช์ที่เกิด ความผิดพร่องจะทำให้กระแสหายไปครึ่งรูปคลื่น เช่น เมื่อเกิดความผิดพร่องแบบเปิดวงจรที่ สวิตช์กำลังตัวบนของเฟสใดเฟสหนึ่ง จะทำให้รูปคลื่นครึ่งบวกของกระแสเฟสนั้น ๆ หายไป และเฟสที่เหลือที่สวิตช์ทำงานปกติจะเกิดองค์ประกอบกระแสตรงยกขึ้นทำให้กระแสของเฟสที่ เหลือถูกยกขึ้นมา และเมื่อเกิดความผิดพร่องแบบเปิดวงจรที่สวิตช์กำลังตัวล่างของเฟสใดเฟส หนึ่ง สวิตช์ที่เกิดความผิดพร่องจะทำให้กระแสเฟสนั้นหายไปครึ่งรูปคลื่นลบ และเฟสที่เหลือ จะเกิดองค์ประกอบกระแสตรงขึ้น จากพฤติกรรมกระแสดังที่กล่าวไปแล้วนั้น เมื่อเราวิเคราะห์ ค่าอัตราส่วนระหว่างค่าเฉลี่ยของกระแสกับค่าสัมบูรณ์ของค่าเฉลี่ยกระแสในเฟสนั้น ๆ จะทำให้ เราสามารถทราบได้ว่ากระแสในเฟสนั้นมีความผิดปกติเกิดขึ้นหรือไม่ และถ้ากระแส เกิดความผิดปกติคือไม่เป็นรูปคลื่นไซน์แล้ว กระแสที่หายไปนั้นเป็นรูปคลื่นครึ่งบวก หรือรูปคลื่นครึ่งลบ โดยที่ถ้ากระแสปกติค่าที่ได้จะมีค่าประมาณศูนย์ แต่ถ้ารูปคลื่นครึ่งบวก หายไปค่าที่ได้จะมีค่าประมาณ -1 และถ้ารูปคลื่นครึ่งลบหายไปค่าที่ได้จะมีค่าประมาณ 1

ซึ่งจากผลการทดสอบที่ได้จากการสร้างเครื่องต้นแบบแล้วทำการทดสอบ เครื่องต้นแบบสามารถที่จะระบุได้ว่าเกิดความผิดพร่องขึ้นที่เฟสใดในสามเฟสโดยการแจ้งเตือน ผ่าน Fault Flag ซึ่งจะแยกเป็นสามค่า หากเฟสใดเกิดความผิดพร่องขึ้น Fault Flag เอกสารนี้เป็นเอกสารที่สงวนไว้สำหรับการใช้งานเพื่อการศึกษาเท่านั้น ไม่อนุญาตให้นำไปใช้ประโยชน์ด้านการค้า ไม่ว่ากรณีใดๆ ทั้งสิ้น อีกทั้งห้ามมิให้ตัดแปลงเนื้อหา และต้องอ้างอิงถึงเจ้าของเอกสารทุกครั้งที่มีการนำไปใช้

ของเฟสนั้นก็เปลี่ยนจากค่า 0 เป็น 1 และสามารถระบุได้ว่าเกิดความผิดพลาดที่สวิตช์ตัวบนหรือตัวล่างของเฟสนั้นได้ โดยดูจากค่าตัวแปรในการวินิจฉัยความผิดพลาด คือถ้าหากสวิตช์ที่เกิดความผิดพลาดเป็นสวิตช์ตัวบน ค่าตัวแปรวินิจฉัยความผิดพลาดที่ได้จะมีค่าประมาณ -1 แต่ถ้าสวิตช์ที่เกิดความผิดพลาดเป็นสวิตช์ตัวล่าง ค่าตัวแปรวินิจฉัยความผิดพลาดที่ได้จะมีค่าประมาณ 1 ซึ่งเป็นไปตามทฤษฎีที่ได้ศึกษามาและเป็นไปตามผลการจำลองการทำงานทางคอมพิวเตอร์ผ่านโปรแกรม MATLAB/Simulink จึงสรุปได้ว่าการตรวจจับความผิดพลาดชนิดเปิดวงจรสำหรับคอนเวอร์เตอร์ชนิดปรับความกว้างพัลส์ที่สร้างเป็นเครื่องต้นแบบนี้สามารถใช้งานได้จริง และสามารถนำไปประยุกต์ใช้กับคอนเวอร์เตอร์ได้ในอนาคต



เอกสารนี้เป็นเอกสารที่สงวนไว้สำหรับการใช้งานเพื่อการศึกษาเท่านั้น ไม่อนุญาตให้นำไปใช้ประโยชน์ด้านการค้าไม่ว่ากรณีใดๆ ทั้งสิ้น อีกทั้งห้ามมิให้ตัดแปลงเนื้อหา และต้องอ้างอิงถึงเจ้าของเอกสารทุกครั้งที่มีการนำไปใช้

## บรรณานุกรม

- [1] นิรันดร์ เขียวสิทธิ์พิศาล, พีระพล สมพืงทอง และ สุขสรร คำจับ, "การควบคุมเครื่องกำเนิดไฟฟ้าเหนี่ยวนำด้วยอินเวอร์เตอร์", **ปริญญาทิพนธ์วิศวกรรมศาสตร์บัณฑิต**, สาขาวิชาวิศวกรรมไฟฟ้า คณะวิศวกรรมศาสตร์ สถาบันเทคโนโลยีพระจอมเกล้าเจ้าคุณทหารลาดกระบัง, พ.ศ. 2552.
- [2] S. Chafei, F. Zidani, R. Nait-said and M.S. Boucherit, "Fault Detection and Diagnosis on a PWM Inverter by Different Techniques ," **Journal of Electrical Systems 4-2**, 2008, pp.1-12
- [3] K. Rothenhagen and F.W. Fuchs, "Performance of Diagnosis Methods for IGBT Open Circuit Fault s in Voltage Source Active Rectifiers," **Proceeding of the 2004 IEEE 35th Power Electronics Specialists Conference**, pp.4348-4354
- [4] S. Abramik, W.Sleszynski, J.Nieznanski and H.Piquet, "A Diagnostic Method for On-line Fault Detection and Localization in VSI-Fed AC Drive," **Proceeding of the 2003 EPE 10th European Conference on Power Electronics and Applications**, pp. P.1-P. 8.
- [5] W. Sae-Kok and D M Grant, "Open Switch Fault Diagnosis for a Doubly-Fed Induction Generator," **Proceeding of the 2007 IEEE Power Electronics and Drive Systems**, pp.131-138

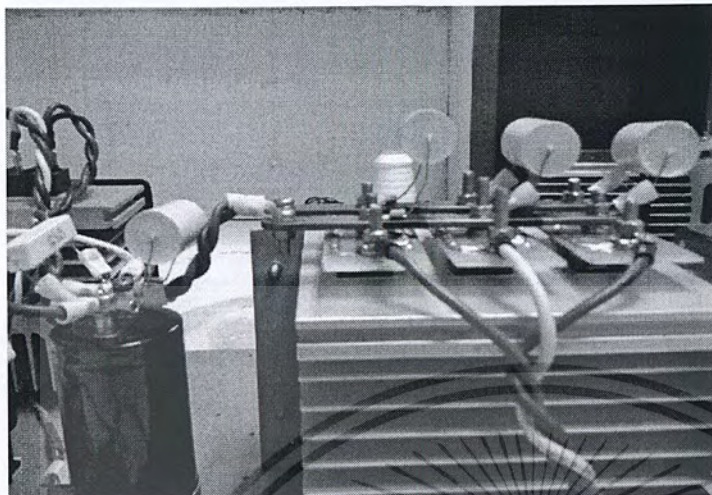


เอกสารนี้เป็นเอกสารที่สงวนไว้สำหรับการใช้งานเพื่อการศึกษาเท่านั้น ไม่อนุญาตให้นำไปใช้ประโยชน์ด้านการค้า  
ไม่ว่ากรณีใดๆ ทั้งสิ้น อีกทั้งห้ามมิให้ดัดแปลงเนื้อหา และต้องอ้างอิงถึงเจ้าของเอกสารทุกครั้งที่มีการนำไปใช้

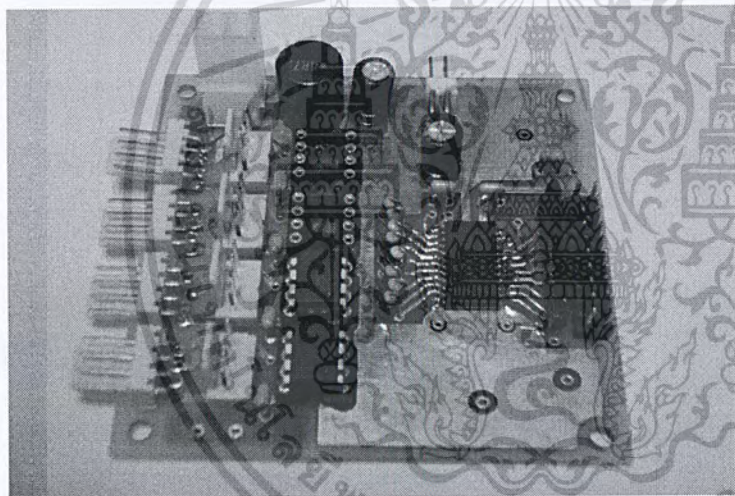


เอกสารนี้เป็นเอกสารที่สงวนไว้สำหรับการใช้งานเพื่อการศึกษาเท่านั้น ไม่อนุญาตให้นำไปใช้ประโยชน์ด้านการค้า  
ไม่ว่ากรณีใดๆ ทั้งสิ้น อีกทั้งห้ามมิให้ดัดแปลงเนื้อหา และต้องอ้างอิงถึงเจ้าของเอกสารทุกครั้งที่มีการนำไปใช้

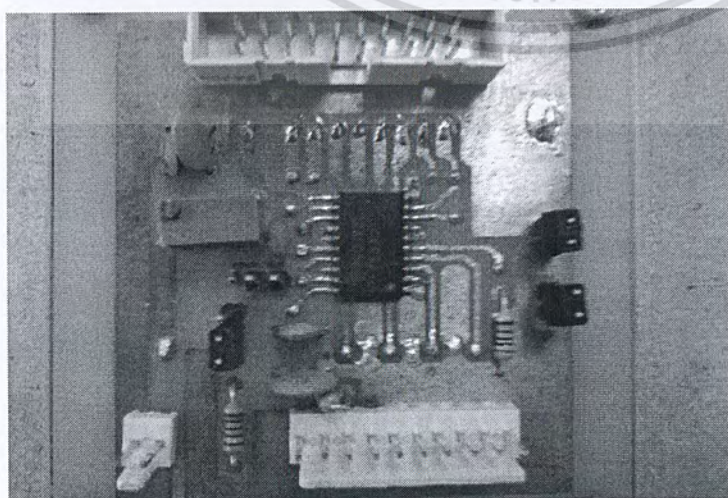
## เครื่องต้นแบบที่จัดสร้างขึ้นจริงในปริญญาโท



คอนเวอร์เตอร์สามเฟส



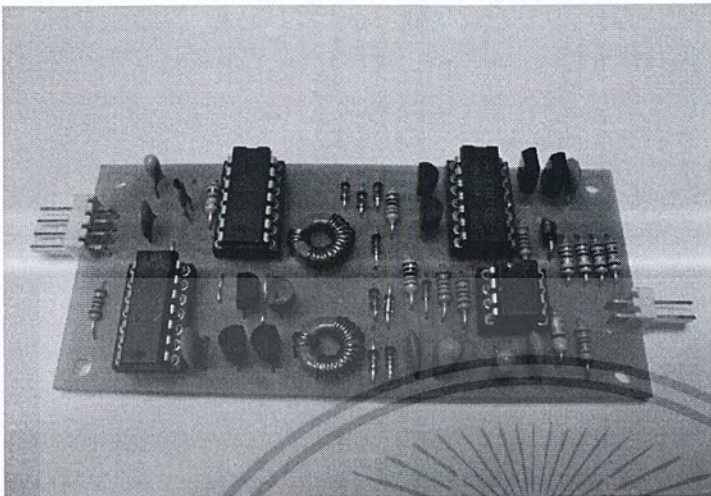
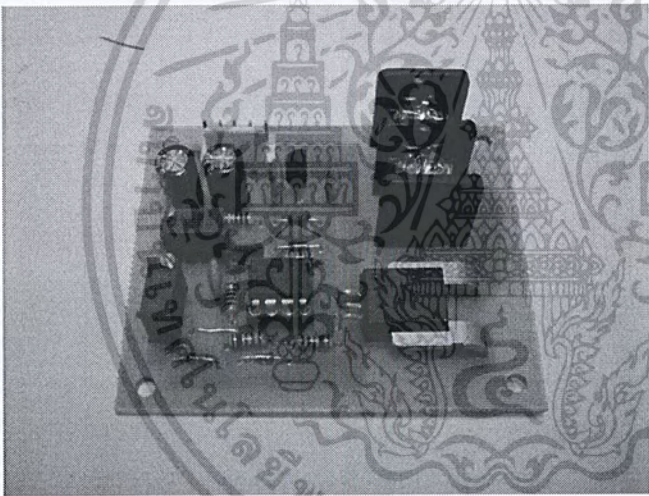
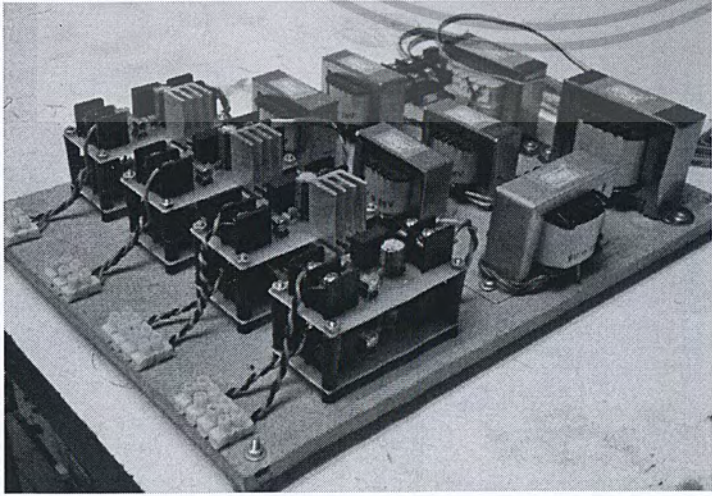
วงจรระดับแรงดัน  
และวงจรแยกกราวนด์



วงจรแปลงสัญญาณ  
จากดิจิทัลเป็น  
สัญญาณอะนาล็อก

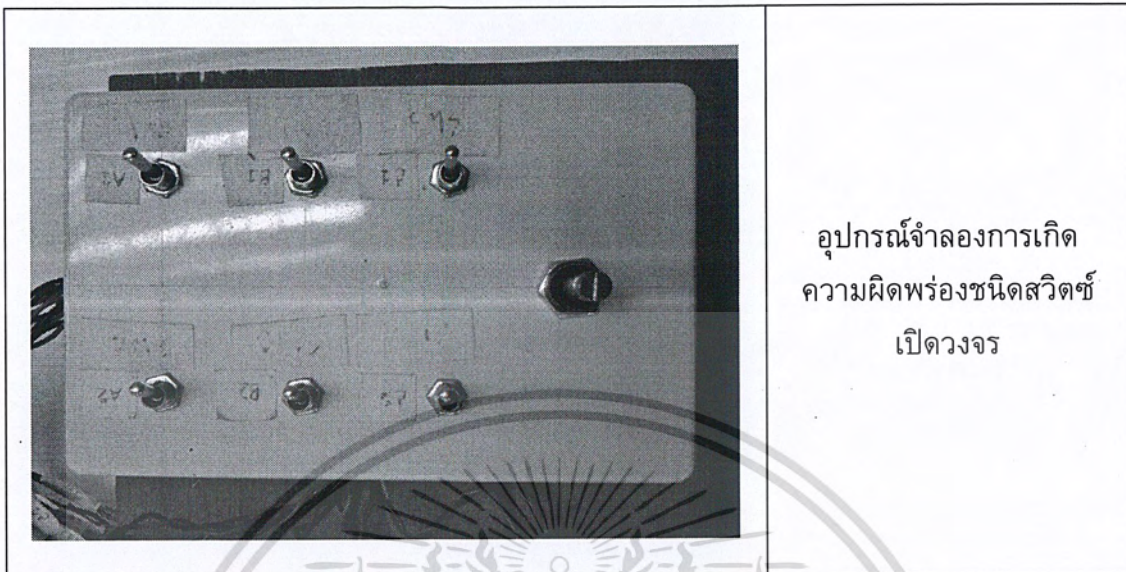
เอกสารนี้เป็นเอกสารที่สงวนไว้สำหรับการใช้เพื่อการศึกษาเท่านั้น ไม่อนุญาตให้นำไปใช้ประโยชน์ด้านการค้า  
ไม่ว่ากรณีใดๆ ทั้งสิ้น อีกทั้งห้ามมิให้ตัดแปลงเนื้อหา และต้องอ้างอิงถึงเจ้าของเอกสารทุกครั้งที่มีการนำไปใช้

## เครื่องต้นแบบที่จัดสร้างขึ้นจริงในปริญญาโท (ต่อ)

	<p>อุปกรณ์ขับเคลื่อน</p>
	<p>อุปกรณ์วัดกระแส</p>
	<p>แหล่งจ่ายไฟฟ้ากระแสตรง</p>

เอกสารนี้เป็นเอกสารที่สงวนไว้สำหรับการใช้งานเพื่อการศึกษาเท่านั้น ไม่อนุญาตให้นำไปใช้ประโยชน์ด้านการค้า ไม่ว่าจะกรณีใดๆ ทั้งสิ้น อีกทั้งห้ามมิให้ตัดแปลงเนื้อหา และต้องอ้างอิงถึงเจ้าของเอกสารทุกครั้งที่มีการนำไปใช้

## เครื่องต้นแบบที่จัดสร้างขึ้นจริงในปริญญาโท (ต่อ)



อุปกรณ์จำลองการเกิด  
ความผิดพลาดชนิดสวิตช์  
เปิดวงจร





เอกสารนี้เป็นเอกสารที่สงวนไว้สำหรับการใช้งานเพื่อการศึกษาเท่านั้น ไม่อนุญาตให้นำไปใช้ประโยชน์ด้านการค้า  
ไม่ว่ากรณีใดๆ ทั้งสิ้น อีกทั้งห้ามมิให้ตัดแปลงเนื้อหา และต้องอ้างอิงถึงเจ้าของเอกสารทุกครั้งที่มีการนำไปใช้



เอกสารนี้เป็นเอกสารที่สงวนไว้สำหรับการใช้งานเพื่อการศึกษาเท่านั้น ไม่อนุญาตให้นำไปใช้ประโยชน์ด้านการค้า  
ไม่ว่ากรณีใดๆ ทั้งสิ้น อีกทั้งห้ามมิให้ดัดแปลงเนื้อหา และต้องอ้างอิงถึงเจ้าของเอกสารทุกครั้งที่มีการนำไปใช้

## รายการอุปกรณ์ที่ใช้ทดสอบ

รูปถ่าย	รายละเอียด
	<p>ดิจิตอลออสซิลโลสโคป รุ่น DL1640 2 Channel YOKOGAWA</p>
	<p>ดิจิตอลออสซิลโลสโคป รุ่น DS1104B 4 Channel RIGOL</p>

เอกสารนี้เป็นเอกสารที่สงวนไว้สำหรับการใช้งานเพื่อการศึกษาเท่านั้น ไม่อนุญาตให้นำไปใช้ประโยชน์ด้านการค้า ไม่ว่าจะกรณีใดๆ ทั้งสิ้น อีกทั้งห้ามมิให้ตัดแปลงเนื้อหา และต้องอ้างอิงถึงเจ้าของเอกสารทุกครั้งที่มีการนำไปใช้

## รายการอุปกรณ์ที่ใช้ทดสอบ (ต่อ)

รูปถ่าย	รายละเอียด
	<p>มอเตอร์เหนี่ยวนำสามเฟส ขนาดพิกัด 0.75kW, 4 pole, 220/380V 3.3/1.9 A, 50 Hz, 1400 rpm</p>
	<p>หลอดไฟขนาด 100 วัตต์ จำนวน 12 ดวง</p>

เอกสารนี้เป็นเอกสารที่สงวนไว้สำหรับการใช้งานเพื่อการศึกษาเท่านั้น ไม่อนุญาตให้นำไปใช้ประโยชน์ด้านการค้า ไม่ว่าจะกรณีใดๆ ทั้งสิ้น อีกทั้งห้ามมิให้ตัดแปลงเนื้อหา และต้องอ้างอิงถึงเจ้าของเอกสารทุกครั้งที่มีการนำไปใช้



เอกสารนี้เป็นเอกสารที่สงวนไว้สำหรับการใช้งานเพื่อการศึกษาเท่านั้น ไม่อนุญาตให้นำไปใช้ประโยชน์ด้านการค้า  
ไม่ว่ากรณีใดๆ ทั้งสิ้น อีกทั้งห้ามมิให้ตัดแปลงเนื้อหา และต้องอ้างอิงถึงเจ้าของเอกสารทุกครั้งที่มีการนำไปใช้

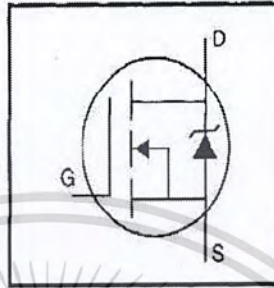


เอกสารนี้เป็นเอกสารที่สงวนไว้สำหรับการใช้งานเพื่อการศึกษาเท่านั้น ไม่อนุญาตให้นำไปใช้ประโยชน์ด้านการค้า  
ไม่ว่ากรณีใดๆ ทั้งสิ้น อีกทั้งห้ามมิให้ดัดแปลงเนื้อหา และต้องอ้างอิงถึงเจ้าของเอกสารทุกครั้งที่มีการนำไปใช้

# IRFP460PbF

## HEXFET® Power MOSFET

- Dynamic  $dv/dt$  Rating
- Repetitive Avalanche Rated
- Isolated Central Mounting Hole
- Fast Switching
- Ease of Paralleling
- Simple Drive Requirements
- Lead-Free



$$V_{DSS} = 500V$$

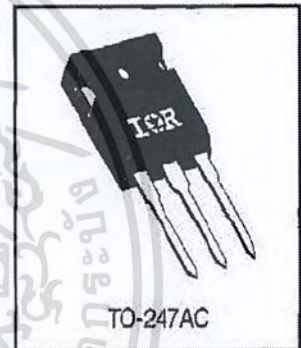
$$R_{DS(on)} = 0.27\Omega$$

$$I_D = 20A$$

### Description

Third Generation HEXFETs from International Rectifier provide the designer with the best combination of fast switching, ruggedized device design, low on-resistance and cost-effectiveness.

The TO-247 package is preferred for commercial-industrial applications where higher power levels preclude the use of TO-220 devices. The TO-247 is similar but superior to the earlier TO-216 package because of its isolated mounting hole. It also provides greater creepage distance between pins to meet the requirements of most safety specifications.



### Absolute Maximum Ratings

	Parameter	Max.	Units
$I_D @ T_C = 25^\circ C$	Continuous Drain Current, $V_{GS} @ 10 V$	20	A
$I_D @ T_C = 100^\circ C$	Continuous Drain Current, $V_{GS} @ 10 V$	13	
$I_{DM}$	Pulsed Drain Current ①	80	
$P_D @ T_C = 25^\circ C$	Power Dissipation	280	W
	Linear Derating Factor	2.2	W/°C
$V_{GS}$	Gate-to-Source Voltage	$\pm 20$	V
$E_{AS}$	Single Pulse Avalanche Energy ②	960	mJ
$I_{AR}$	Avalanche Current ①	20	A
$E_{AR}$	Repetitive Avalanche Energy ①	28	mJ
$dv/dt$	Peak Diode Recovery $dv/dt$ ③	3.5	V/ns
$T_J$ $T_{STG}$	Operating Junction and Storage Temperature Range	-55 to +150	°C
	Soldering Temperature, for 10 seconds	300 (1.6mm from case)	
	Mounting Torque, 6-32 or M3 screw	10 lbf.in (1.1 N.m)	

### Thermal Resistance

	Parameter	Min.	Typ.	Max.	Units
$R_{\theta JC}$	Junction-to-Case	—	—	0.45	°C/W
$R_{\theta CS}$	Case-to-Sink, Flat, Greased Surface	—	0.24	—	
$R_{\theta JA}$	Junction-to-Ambient	—	—	40	

เอกสารนี้เป็นเอกสารที่สงวนไว้สำหรับการใช้งานเพื่อการศึกษาเท่านั้น ไม่นับผูกพันให้มาใช้ประโยชน์ด้านการค้า  
 ไม่ว่าจะกรณีใดๆ ทั้งสิ้น อีกทั้งห้ามมิให้คัดลอกเนื้อหา และต้องอ้างอิงถึงเจ้าของเอกสารทุกครั้งที่มีการนำไปใช้

## IRFP460PbF

International  
IOR RectifierElectrical Characteristics @  $T_J = 25^\circ\text{C}$  (unless otherwise specified)

	Parameter	Min.	Typ.	Max.	Units	Test Conditions
$V_{(BR)DSS}$	Drain-to-Source Breakdown Voltage	500	—	—	V	$V_{GS}=0V, I_D=250\mu A$
$\Delta V_{(BR)DSS}/\Delta T_J$	Breakdown Voltage Temp. Coefficient	—	0.63	—	V/°C	Reference to $25^\circ\text{C}$ , $I_D=1\text{mA}$
$R_{DS(on)}$	Static Drain-to-Source On-Resistance	—	—	0.27	$\Omega$	$V_{GS}=10V, I_D=12A$ ②
$V_{GS(th)}$	Gate Threshold Voltage	2.0	—	4.0	V	$V_{DS}=V_{GS}, I_D=250\mu A$
$g_{fs}$	Forward Transconductance	13	—	—	S	$V_{DS}=50V, I_D=12A$ ④
$I_{DGS}$	Drain-to-Source Leakage Current	—	—	25	$\mu A$	$V_{DS}=500V, V_{GS}=0V$ $V_{DS}=400V, V_{GS}=0V, T_J=125^\circ\text{C}$
$I_{GSS}$	Gate-to-Source Forward Leakage	—	—	100	nA	$V_{GS}=20V$
	Gate-to-Source Reverse Leakage	—	—	-100	nA	$V_{GS}=-20V$
$Q_g$	Total Gate Charge	—	—	210	nC	$I_D=20A$
$Q_{gs}$	Gate-to-Source Charge	—	—	29	nC	$V_{DS}=400V$
$Q_{gd}$	Gate-to-Drain ("Miller") Charge	—	—	110	nC	$V_{GS}=10V$ See Fig. 6 and 13 ④
$t_{d(on)}$	Turn-On Delay Time	—	18	—	ns	$V_{DD}=250V$
$t_r$	Rise Time	—	59	—	ns	$I_D=20A$
$t_{d(off)}$	Turn-Off Delay Time	—	110	—	ns	$R_G=4.3\Omega$
$t_f$	Fall Time	—	58	—	ns	$R_D=13\Omega$ See Figure 10 ④
$L_D$	Internal Drain Inductance	—	5.0	—	nH	Between lead, 6 mm (0.25in.) from package and center of die contact
$L_S$	Internal Source Inductance	—	13	—	nH	
$C_{iss}$	Input Capacitance	—	4200	—	pF	$V_{GS}=0V$
$C_{oss}$	Output Capacitance	—	870	—	pF	$V_{DS}=25V$
$C_{riss}$	Reverse Transfer Capacitance	—	350	—	pF	$f=1.0\text{MHz}$ See Figure 5

## Source-Drain Ratings and Characteristics

	Parameter	Min.	Typ.	Max.	Units	Test Conditions
$I_S$	Continuous Source Current (Body Diode)	—	—	20	A	MOSFET symbol showing the integral reverse p-n junction diode.
$I_{SM}$	Pulsed Source Current (Body Diode) ①	—	—	80		
$V_{SD}$	Diode Forward Voltage	—	—	1.8	V	$T_J=25^\circ\text{C}, I_S=20A, V_{GS}=0V$ ④
$t_{rr}$	Reverse Recovery Time	—	570	860	ns	$T_J=25^\circ\text{C}, I_F=20A$
$Q_{rr}$	Reverse Recovery Charge	—	5.7	8.6	$\mu C$	$di/dt=100A/\mu s$ ④
$t_{on}$	Forward Turn-On Time	Intrinsic turn-on time is negligible (turn-on is dominated by $L_S+L_D$ )				

## Notes:

① Repetitive rating; pulse width limited by max. junction temperature (See Figure 11)

③  $I_{SD} \leq 20A, di/dt \leq 160A/\mu s, V_{DD} \leq V_{(BR)DSS}, T_J \leq 150^\circ\text{C}$ ②  $V_{DD}=50V$ , starting  $T_J=25^\circ\text{C}$ ,  $L=4.3\text{mH}$   
 $R_G=25\Omega, I_{AS}=20A$  (See Figure 12)④ Pulse width  $\leq 300\mu s$ ; duty cycle  $\leq 2\%$ .

เอกสารนี้เป็นเอกสารที่สงวนไว้สำหรับการใช้งานเพื่อการศึกษาเท่านั้น ไม่อนุญาตให้นำไปใช้ประโยชน์ด้านการค้า  
ไม่ว่ากรณีใดๆ ทั้งสิ้น อีกทั้งห้ามมิให้ตัดแปลงเนื้อหา และต้องอ้างอิงถึงเจ้าของเอกสารทุกครั้งที่มีการนำไปใช้

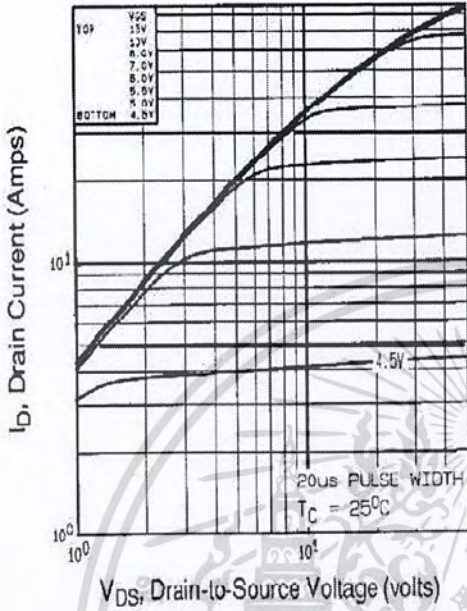


Fig 1. Typical Output Characteristics,  $T_c=25^\circ\text{C}$

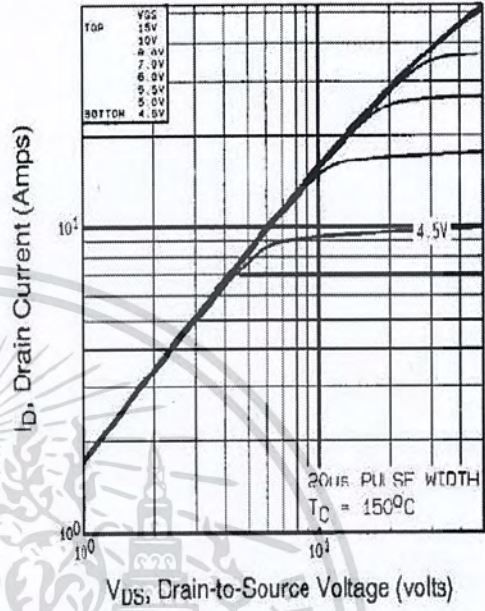


Fig 2. Typical Output Characteristics,  $T_c=150^\circ\text{C}$

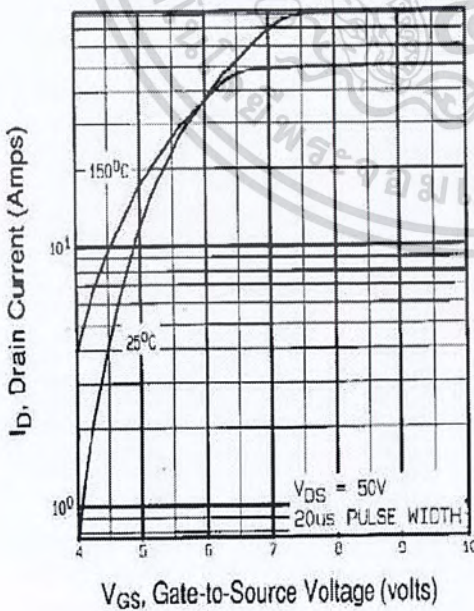


Fig 3. Typical Transfer Characteristics

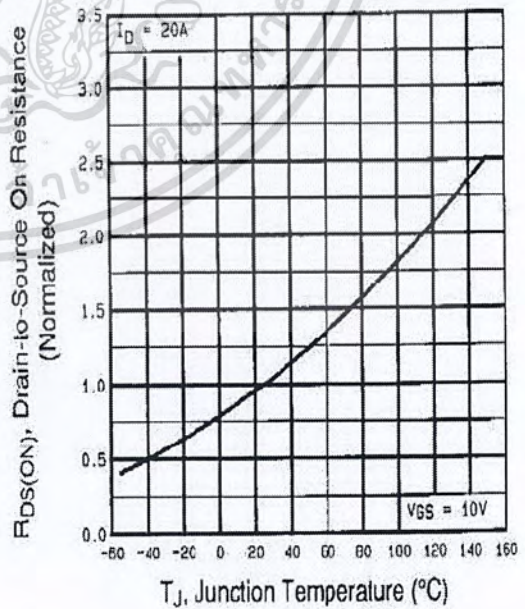


Fig 4. Normalized On-Resistance Vs. Temperature

เอกสารนี้เป็นเอกสารที่สงวนไว้สำหรับการใช้งานเพื่อการศึกษาเท่านั้น ไม่อนุญาตให้นำไปใช้ประโยชน์ด้านการค้า ไม่ว่าจะกรณีใดๆ ทั้งสิ้น อีกทั้งห้ามมิให้ตัดแปลงเนื้อหา และต้องอ้างอิงถึงเจ้าของเอกสารทุกครั้งที่มีการนำไปใช้

# IRFP460PbF

International  
**IOR** Rectifier

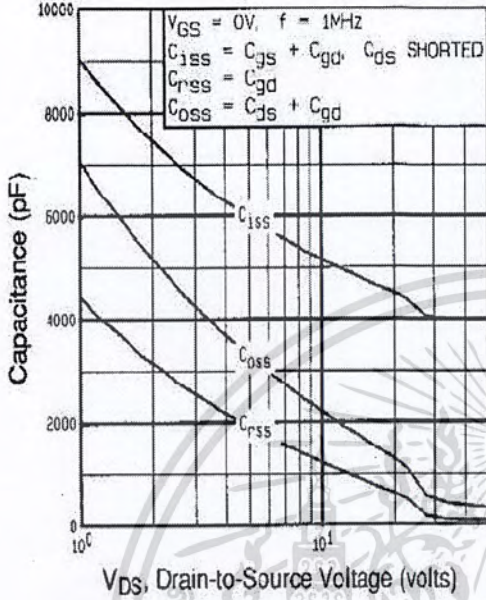


Fig 5. Typical Capacitance Vs. Drain-to-Source Voltage

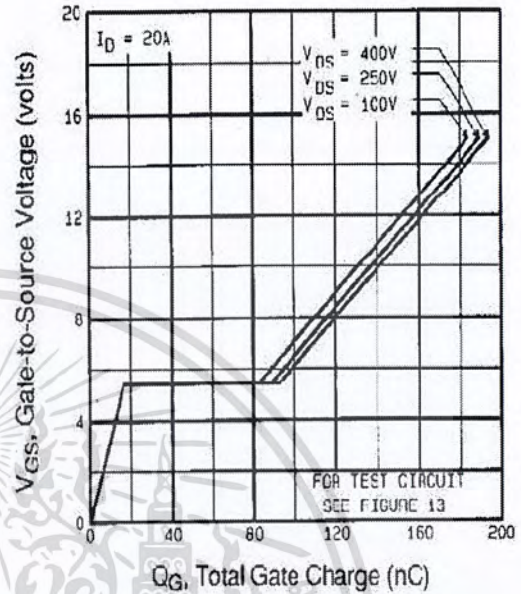


Fig 6. Typical Gate Charge Vs. Gate-to-Source Voltage

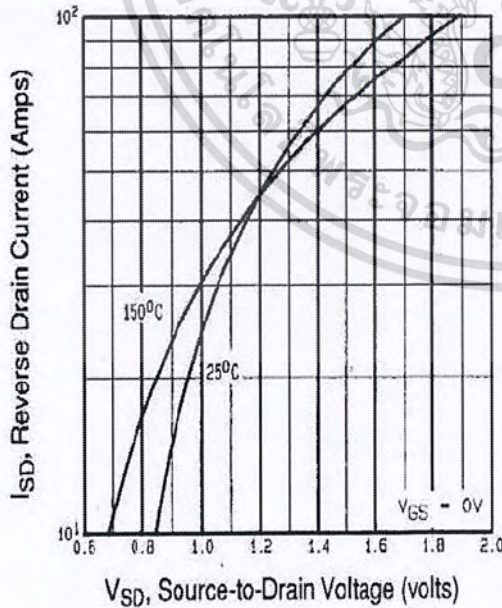


Fig 7. Typical Source-Drain Diode Forward Voltage

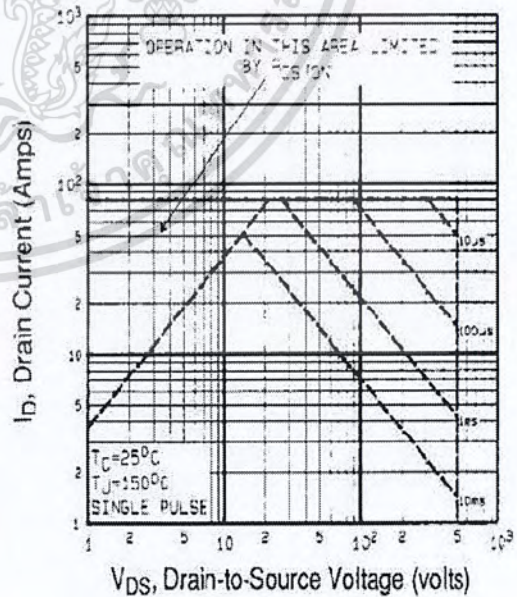


Fig 8. Maximum Safe Operating Area

เอกสารนี้เป็นเอกสารที่สงวนไว้สำหรับการใช้งานเพื่อการศึกษาเท่านั้น ไม่อนุญาตให้นำไปใช้ประโยชน์ด้านการค้า ไม่ว่าจะกรณีใดๆ ทั้งสิ้น อีกทั้งห้ามมิให้ตัดแปลงเนื้อหา และต้องอ้างอิงถึงเจ้าของเอกสารทุกครั้งที่มีการนำไปใช้

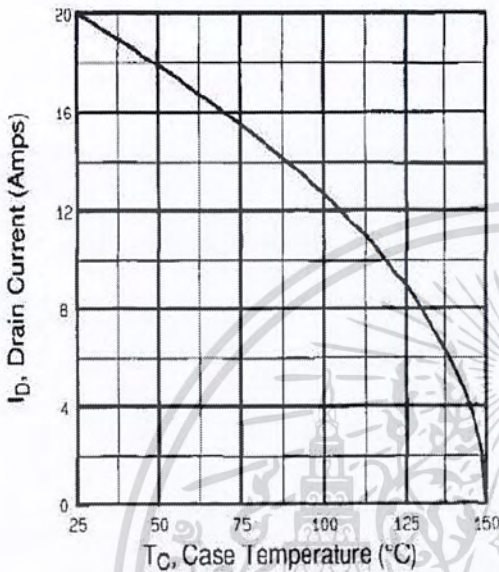


Fig 9. Maximum Drain Current Vs. Case Temperature

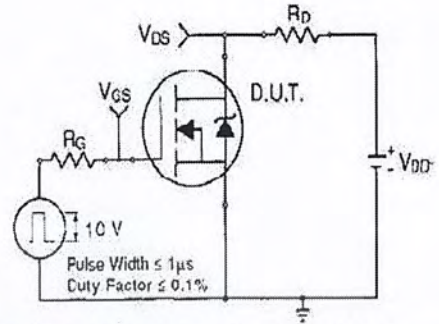


Fig 10a. Switching Time Test Circuit

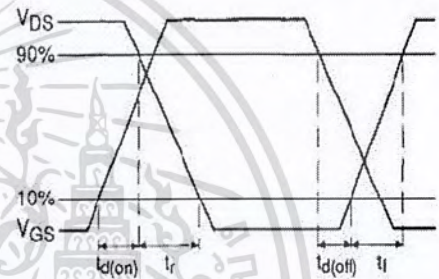


Fig 10b. Switching Time Waveforms

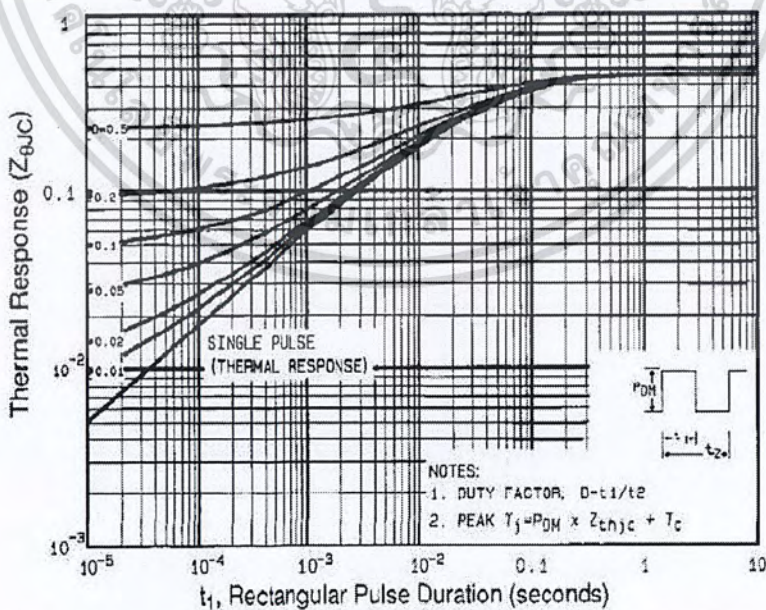


Fig 11. Maximum Effective Transient Thermal Impedance, Junction-to-Case

เอกสารนี้เป็นเอกสารที่สงวนไว้สำหรับการใช้งานเพื่อการศึกษาเท่านั้น ไม่อนุญาตให้นำไปใช้ประโยชน์ด้านการค้า ไม่ว่าจะกรณีใดๆ ทั้งสิ้น อีกทั้งห้ามมิให้ตัดแปลงเนื้อหา และต้องอ้างอิงถึงเจ้าของเอกสารทุกครั้งที่มีการนำไปใช้

# IRFP460PbF

International  
**IR** Rectifier

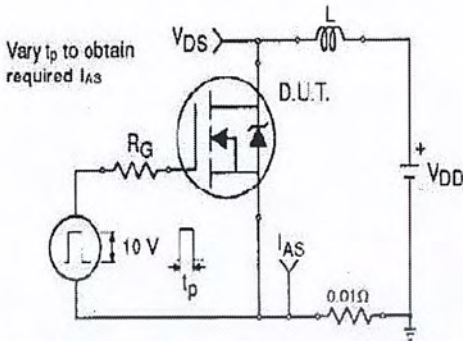


Fig 12a. Unclamped Inductive Test Circuit

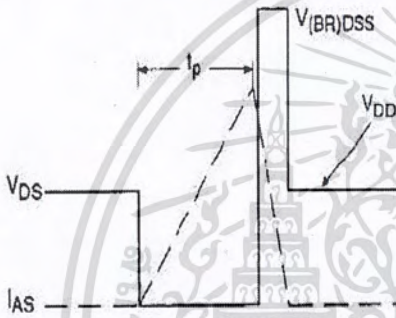


Fig 12b. Unclamped Inductive Waveforms

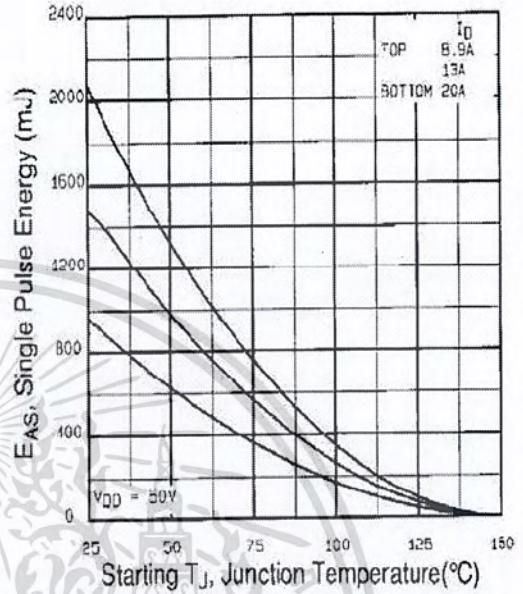


Fig 12c. Maximum Avalanche Energy Vs. Drain Current

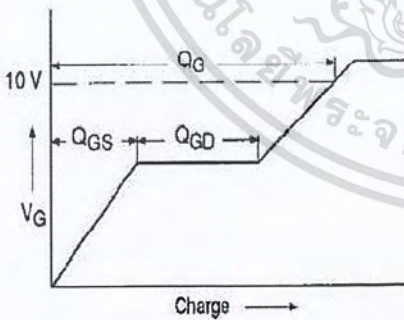


Fig 13a. Basic Gate Charge Waveform

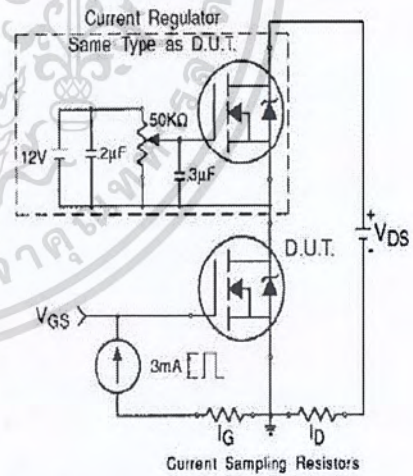


Fig 13b. Gate Charge Test Circuit

Appendix A: Figure 14, Peak Diode Recovery  $dv/dt$  Test Circuit – See page 1505

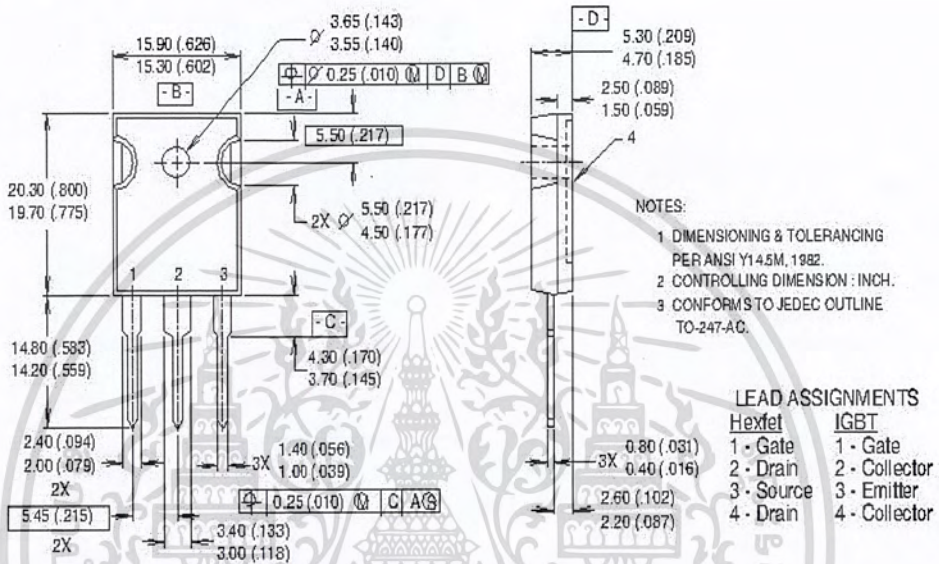
Appendix B: Package Outline Mechanical Drawing – See page 1511

International  
**IR** Rectifier

เอกสารนี้เป็นเอกสารที่สงวนไว้สำหรับการใช้งานเพื่อการศึกษาเท่านั้น ไม่อนุญาตให้นำไปใช้ประโยชน์ทางการค้า ไม่ว่าจะกรณีใดๆ ทั้งสิ้น อีกทั้งห้ามมิให้ตัดแปลงเนื้อหา และต้องอ้างอิงถึงเจ้าของเอกสารทุกครั้งที่มีการนำไปใช้

## TO-247AC Package Outline

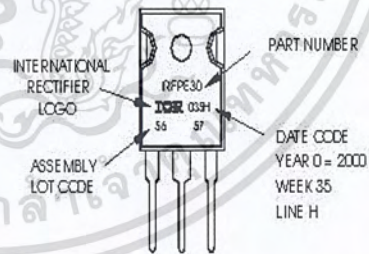
Dimensions are shown in millimeters (inches)



## TO-247AC Part Marking Information

EXAMPLE: THIS IS AN IRFP680 WITH ASSEMBLY LOT CODE 5657 ASSEMBLED ON WW 35, 2000 IN THE ASSEMBLY LINE "H"

Note: "P" in assembly line position indicates "Lead-Free"



Data and specifications subject to change without notice.

International  
**IR** Rectifier

IR WORLD HEADQUARTERS: 233 Kansas St., El Segundo, California 90245, USA Tel: (310) 252-7105  
 TAC Fax: (310) 252-7903

เอกสารนี้เป็นเอกสารที่สงวนไว้สำหรับการใช้งานเพื่อ Visit us at [www.irf.com](http://www.irf.com) for sales contact information. 12/03  
 ไม่ว่าจะกรณีใดๆ ทั้งสิ้น อีกทั้งห้ามมิให้ตัดแปลงเนื้อหา และต้องอ้างอิงถึงเจ้าของเอกสารทุกครั้งที่มีการนำไปใช้



เอกสารนี้เป็นเอกสารที่สงวนไว้สำหรับการใช้งานเพื่อการศึกษาเท่านั้น ไม่อนุญาตให้นำไปใช้ประโยชน์ด้านการค้า  
ไม่ว่ากรณีใดๆ ทั้งสิ้น อีกทั้งห้ามมิให้ดัดแปลงเนื้อหา และต้องอ้างอิงถึงเจ้าของเอกสารทุกครั้งที่มีการนำไปใช้

# Very High CMR, Wide V<sub>CC</sub> Logic Gate Optocouplers

## Technical Data

HCPL-2201	HCPL-2202
HCPL-2211	HCPL-2212
HCPL-2231	HCPL-2232
HCPL-0201	HCPL-0211
HCNW2201	HCNW2211

### Features

- 10 kV/μs Minimum Common Mode Rejection (CMR) at V<sub>CM</sub> = 1000 V (HCPL-2211/2212/0211/2232, HCNW2211)
- Wide Operating V<sub>CC</sub> Range: 4.5 to 20 Volts
- 300 ns Propagation Delay Guaranteed over the Full Temperature Range
- 5 Mbd Typical Signal Rate
- Low Input Current (1.6 mA to 1.8 mA)
- Hysteresis
- Totem Pole Output (No Pullup Resistor Required)
- Available in 8-Pin DIP, SOIC-8, Widebody Packages
- Guaranteed Performance from -40°C to 85°C
- Safety Approval  
UL Recognized -2500 V rms for 1 minute (5000 V rms for 1 minute for HCNW22XX) per UL1577  
CSA Approved  
VDE 0884 Approved with V<sub>IORM</sub> = 630 V peak (HCPL-2211/2212 Option 060 only) and V<sub>IORM</sub> = 1414 V peak (HCNW22XX only)  
BSI Certified (HCNW22XX only)

- MIL-STD-1772 Version Available (HCPL-52XX/62XX)

### Applications

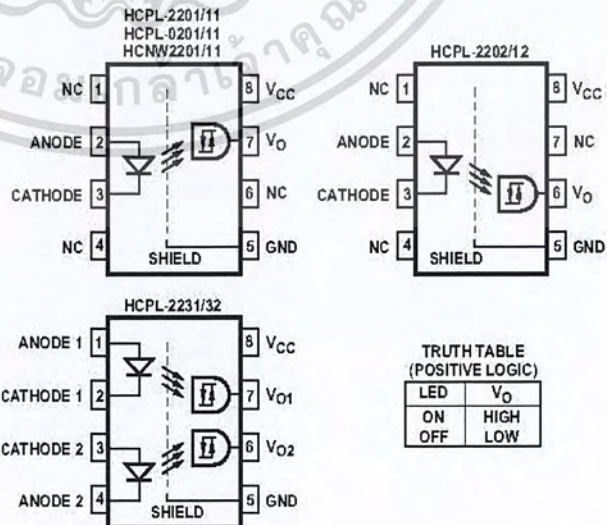
- Isolation of High Speed Logic Systems
- Computer-Peripheral Interfaces
- Microprocessor System Interfaces
- Ground Loop Elimination
- Pulse Transformer Replacement
- High Speed Line Receiver
- Power Control Systems

### Description

The HCPL-22XX, HCPL-02XX, and HCNW22XX are optically-coupled logic gates. The HCPL-22XX, and HCPL-02XX contain a GaAsP LED while the HCNW22XX contains an AlGaAs LED. The detectors have totem pole output stages and optical receiver input stages with built-in Schmitt triggers to provide logic-compatible waveforms, eliminating the need for additional waveshaping.

A superior internal shield on the HCPL-2211/12, HCPL-0211,

### Functional Diagram



TRUTH TABLE (POSITIVE LOGIC)

LED	V <sub>O</sub>
ON	HIGH
OFF	LOW

A 0.1 μF bypass capacitor must be connected between pins 5 and 8.

**CAUTION:** It is advised that normal static precautions be taken in handling and assembly of this component to prevent damage and/or degradation which may be induced by ESD.

HCPL-2232 and HCNW2211 guarantees common mode transient immunity of 10 kV/ $\mu$ s at a common mode voltage of 1000 volts.

The electrical and switching characteristics of the HCPL-22XX, HCPL-02XX and HCNW22XX are guaranteed from -40°C to +85°C and a  $V_{CC}$  from 4.5 volts to 20 volts. Low  $I_F$  and

wide  $V_{CC}$  range allow compatibility with TTL, LSTTL, and CMOS logic and result in lower power consumption compared to other high speed couplers. Logic signals are transmitted with a typical propagation delay of 150 ns.

**Selection Guide**

Minimum CMR		Input On-Current (mA)	8-Pin DIP (300 Mil)		Small-Outline SO-8	Widebody (400 Mil)	Hermetic
dV/dt (V/ $\mu$ s)	$V_{CM}$ (V)		Single Channel Package	Dual Channel Package	Single Channel Package	Single Channel Package	Single and Dual Channel Packages
1,000	50	1.6	HCPL-2200 <sup>[1,2]</sup> HCPL-2201 HCPL-2202		HCPL-0201	HCNW2201	
		1.8		HCPL-2231			
2,500	400	1.6	HCPL-2219 <sup>[1,2]</sup>				
5,000 <sup>[3]</sup>	300 <sup>[3]</sup>	1.6	HCPL-2211 HCPL-2212		HCPL-0211	HCNW2211	
		1.8		HCPL-2232			
1,000	50	2.0					HCPL-52XX <sup>[2]</sup> HCPL-62XX <sup>[2]</sup>

**Notes:**

1. HCPL-2200/2219 devices include output enable/disable function.
2. Technical data for the HCPL-2200/2219, HCPL-52XX and HCPL-62XX are on separate HP publications.
3. Minimum CMR of 10 kV/ $\mu$ s with  $V_{CM} = 1000$  V can be achieved with input current,  $I_F$  of 5 mA.

**Ordering Information**

Specify Part Number followed by Option Number (if desired).

Example:

HCPL-2211#XXX

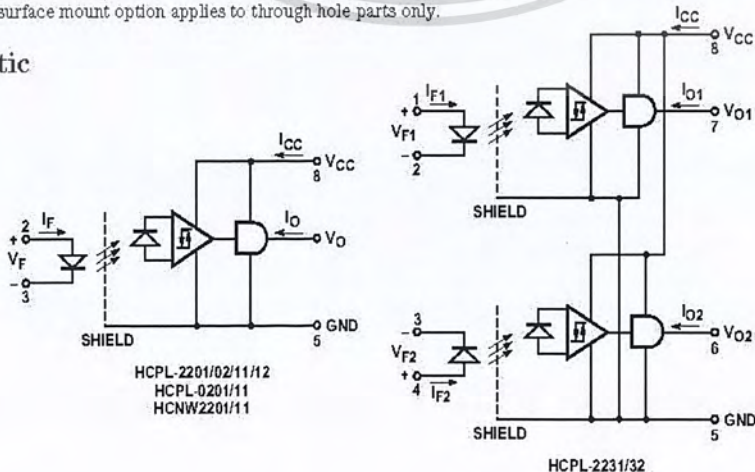
- 060 = VDE 0884  $V_{FORM} = 630$  V peak Option\*
- 300 = Gull Wing Surface Mount Option\*\*
- 500 = Tape and Reel Packaging Option

Option data sheets available. Contact your Hewlett-Packard sales representative or authorized distributor for information.

\*For HCPL-2211/2212 only.

\*\*Gull wing surface mount option applies to through hole parts only.

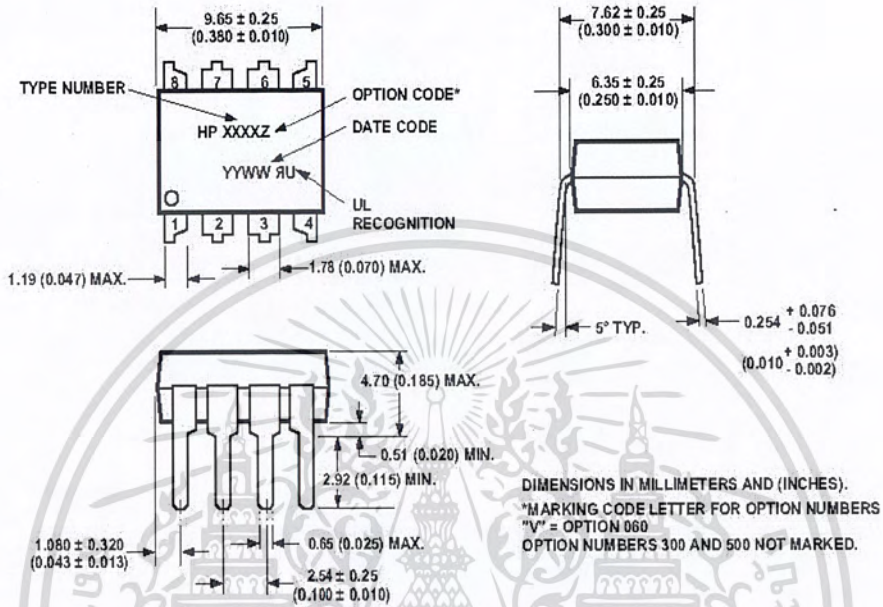
**Schematic**



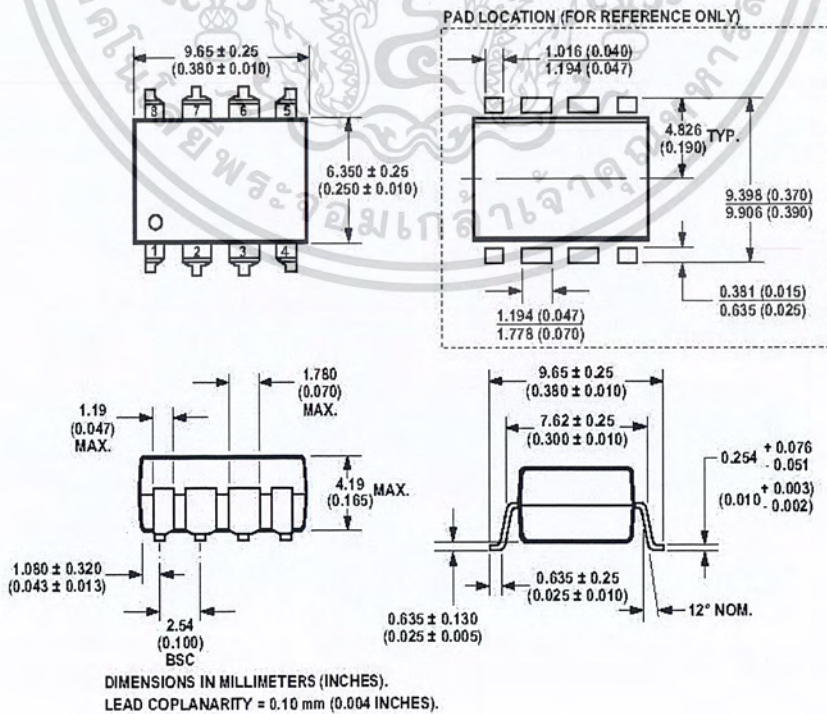
เอกสารนี้ 1-132 เอกสารที่ส่งจนไว้สำหรับการใช้งานเพื่อการศึกษาเท่านั้น ไม่อนุญาตให้นำไปใช้ประโยชน์ด้านการค้า ไม่ว่าจะกรณีใดๆ ทั้งสิ้น อีกทั้งห้ามมิให้ตัดแปลงเนื้อหา และต้องอ้างอิงถึงเจ้าของเอกสารทุกครั้งที่มีการนำไปใช้

Package Outline Drawings

8-Pin DIP Package (HCPL-2201/02/11/12/31/32)

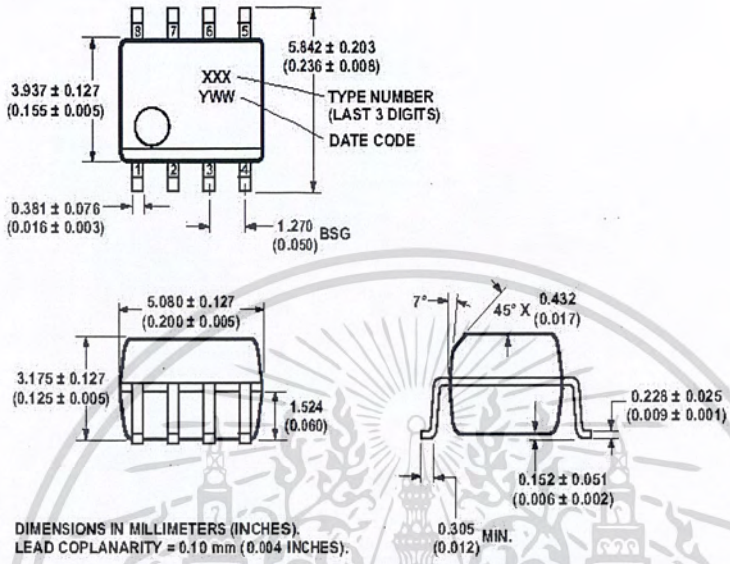


8-Pin DIP Package with Gull Wing Surface Mount Option 300 (HCPL-2201/02/11/12/31/32)

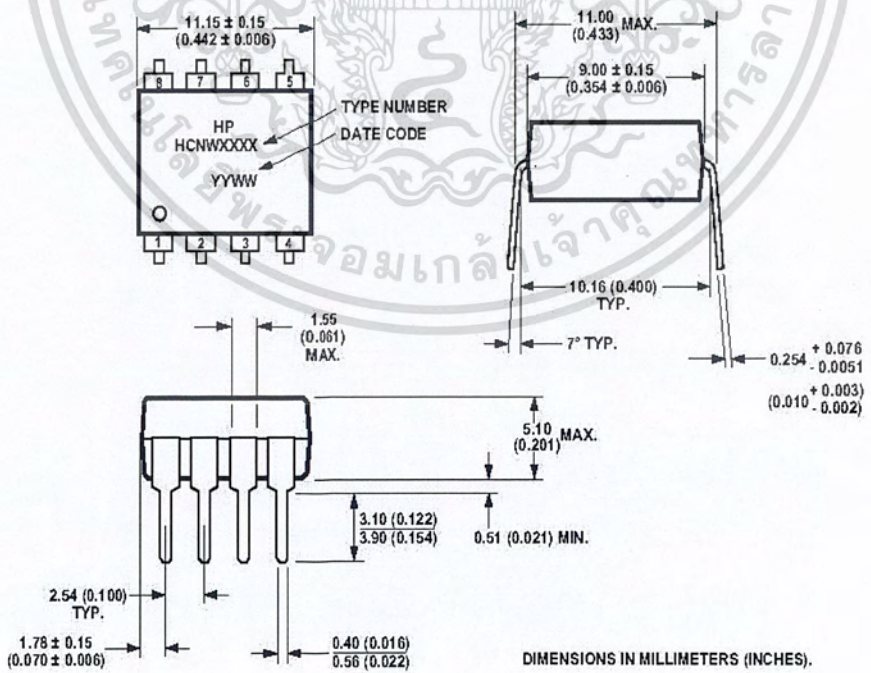


เอกสารนี้เป็นเอกสารที่สงวนไว้สำหรับการใช้งานเพื่อการศึกษาเท่านั้น ไม่อนุญาตให้นำไปใช้ประโยชน์ 1-133 การค้า  
ไม่ว่ากรณีใดๆ ทั้งสิ้น อีกทั้งห้ามมิให้ตัดแปลงเนื้อหา และต้องอ้างอิงถึงเจ้าของเอกสารทุกครั้งที่มีการนำไปใช้

Small-Outline SO-8 Package (HCPL-0201/11)

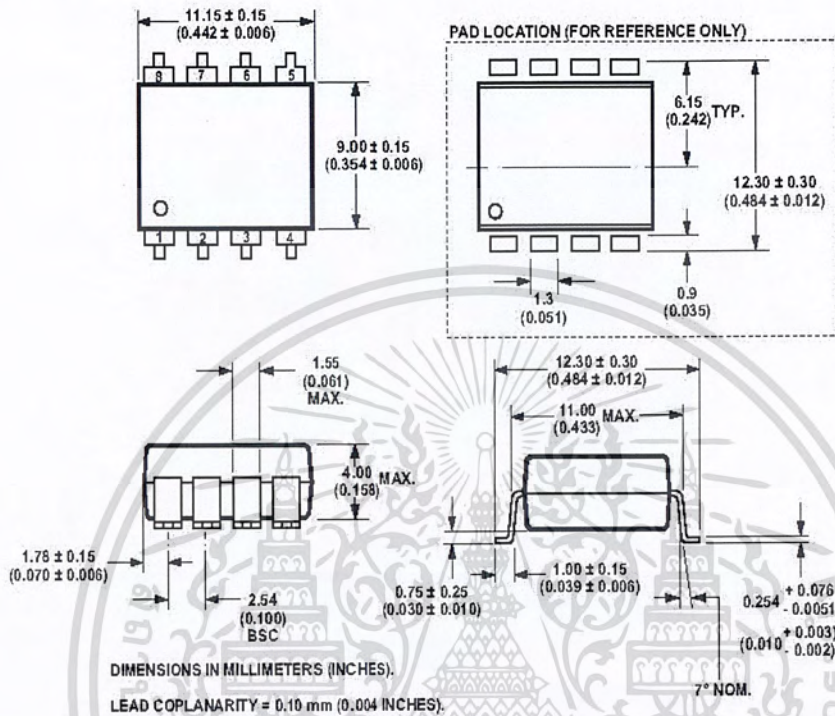


8-Pin Widebody DIP Package (HCNW2201/11)

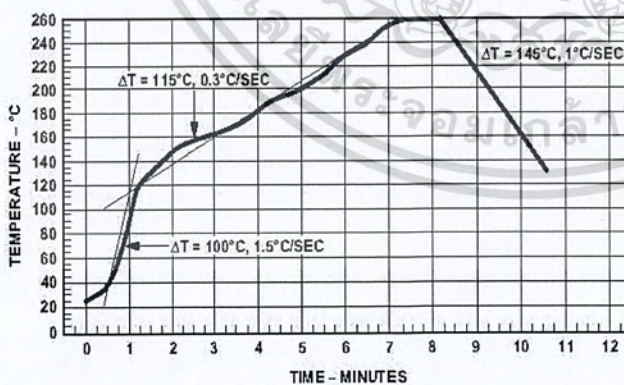


เอกสารนี้เป็นเอกสารที่สงวนไว้สำหรับการใช้งานเพื่อการศึกษาเท่านั้น ไม่อนุญาตให้นำไปใช้ประโยชน์ด้านการค้า  
ไม่ว่ากรณีใดๆ ทั้งสิ้น อีกทั้งห้ามมิให้ตัดแปลงเนื้อหา และต้องอ้างอิงถึงเจ้าของเอกสารทุกครั้งที่มีการนำไปใช้

### 8-Pin Widebody DIP Package with Gull Wing Surface Mount Option 300 (HCNW2201/11)



### Solder Reflow Temperature Profile (HCPL-02XX and Gull Wing Surface Mount Option 300 Parts)



Note: Use of nonchlorine activated fluxes is highly recommended.

เอกสารนี้เป็นเอกสารที่สงวนไว้สำหรับการใช้งานเพื่อการศึกษาเท่านั้น ไม่อนุญาตให้นำไปใช้ประโยชน์ 1-135 การค้า  
ไม่ว่ากรณีใดๆ ทั้งสิ้น อีกทั้งห้ามมิให้ตัดแปลงเนื้อหา และต้องอ้างอิงถึงเจ้าของเอกสารทุกครั้งที่มีการนำไปใช้

**Regulatory Information**

The HCPL-22XX/02XX and HCNW22XX have been approved by the following organizations:

**UL**

Recognized under UL 1577, Component Recognition Program, File E55361.

**CSA**

Approved under CSA Component Acceptance Notice #5, File CA 88324.

**VDE**

Approved according to VDE 0884/06.92. (HCPL-2211/2212 Option 060 and HCNW22XX only)

**BSI**

Certification according to BS415:1994, (BS EN60065:1994); BS EN60950:1992 (BS7002:1992) and EN41003:1993 for Class II applications. (HCNW22XX only)

**Insulation and Safety Related Specifications****8-pin DIP Package**

Parameter	Symbol	8-Pin DIP (300 Mil) Value	SO-8 Value	Widebody (400 Mil) Value	Units	Conditions
Minimum External Air Gap (External Clearance)	L(101)	7.1	4.9	9.6	mm	Measured from input terminals to output terminals, shortest distance through air.
Minimum External Tracking (External Creepage)	L(102)	7.4	4.8	10.0	mm	Measured from input terminals to output terminals, shortest distance path along body.
Minimum Internal Plastic Gap (Internal Clearance)		0.08	0.08	1.0	mm	Through insulation distance, conductor to conductor, usually the direct distance between the photoemitter and photodetector inside the optocoupler cavity.
Minimum Internal Tracking (Internal Creepage)		NA	NA	4.0	mm	Measured from input terminals to output terminals, along internal cavity.
Tracking Resistance (Comparative Tracking Index)	CTI	200	200	200	Volts	DIN IEC 112/VDE 0303 Part 1
Isolation Group		IIIa	IIIa	IIIa		Material Group (DIN VDE 0110, 1/89, Table 1)

Option 300 - surface mount classification is Class A in accordance with CECC 00802.

**VDE 0884 Insulation Related Characteristics  
(HCPL-2211/2212 Option 060 ONLY)**

Description	Symbol	Characteristic	Units
Installation classification per DIN VDE 0110/1.89, Table 1 for rated mains voltage $\leq 300$ V rms for rated mains voltage $\leq 450$ V rms		I-IV I-III	
Climatic Classification		55/85/21	
Pollution Degree (DIN VDE 0110/1.89)		2	
Maximum Working Insulation Voltage	$V_{IORM}$	630	V peak
Input to Output Test Voltage, Method b* $V_{IORM} \times 1.875 = V_{PR}$ , 100% Production Test with $t_m = 1$ sec, Partial Discharge $< 5$ pC	$V_{PR}$	1181	V peak
Input to Output Test Voltage, Method a* $V_{IORM} \times 1.5 = V_{PR}$ , Type and sample test, $t_m = 60$ sec, Partial Discharge $< 5$ pC	$V_{PR}$	945	V peak
Highest Allowable Overvoltage* (Transient Overvoltage, $t_{tri} = 10$ sec)	$V_{IOTM}$	6000	V peak
Safety Limiting Values (Maximum values allowed in the event of a failure, also see Figure 12, Thermal Derating curve.)			
Case Temperature	$T_S$	175	°C
Input Current	$I_{S,OUTPUT}$	230	mA
Output Power	$P_{S,OUTPUT}$	600	mW
Insulation Resistance at $T_S$ , $V_{IO} = 500$ V	$R_S$	$\geq 10^9$	$\Omega$

\*Refer to the front of the optocoupler section of the current catalog, under Product Safety Regulations section (VDE 0884), for a detailed description.

Note: Isolation characteristics are guaranteed only within the safety maximum ratings which must be ensured by protective circuits in application.

เอกสารนี้เป็นเอกสารที่สงวนไว้สำหรับการใช้งานเพื่อการศึกษาเท่านั้น ไม่อนุญาตให้นำไปใช้ประโยชน์ 1-137 การค้า  
ไม่ว่ากรณีใดๆ ทั้งสิ้น อีกทั้งห้ามมิให้ตัดแปลงเนื้อหา และต้องอ้างอิงถึงเจ้าของเอกสารทุกครั้งที่มีการนำไปใช้

### VDE 0884 Insulation Related Characteristics (HCNW22XX ONLY)

Description	Symbol	Characteristic	Units
Installation classification per DIN VDE 0110/1.89, Table 1 for rated mains voltage $\leq 600$ V rms for rated mains voltage $\leq 1000$ V rms		I-IV	
		I-III	
Climatic Classification		55/100/21	
Pollution Degree (DIN VDE 0110/1.89)		2	
Maximum Working Insulation Voltage	$V_{IORM}$	1414	V peak
Input to Output Test Voltage, Method b* $V_{IORM} \times 1.875 = V_{PR}$ , 100% Production Test with $t_m = 1$ sec, Partial Discharge $< 5$ pC	$V_{PR}$	2652	V peak
Input to Output Test Voltage, Method a* $V_{IORM} \times 1.5 = V_{PR}$ , Type and sample test, $t_m = 60$ sec, Partial Discharge $< 5$ pC	$V_{PR}$	2121	V peak
Highest Allowable Overvoltage* (Transient Overvoltage, $t_{mi} = 10$ sec)	$V_{IOTM}$	8000	V peak
Safety Limiting Values (Maximum values allowed in the event of a failure, also see Figure 12, Thermal Derating curve.) Case Temperature Current (Input Current $I_F$ , $P_S = 0$ ) Output Power	$T_S$ $I_{S,INPUT}$ $P_{S,OUTPUT}$	150 400 700	$^{\circ}\text{C}$ mA mW
Insulation Resistance at $T_S$ , $V_{IO} = 500$ V	$R_S$	$\geq 10^9$	$\Omega$

\*Refer to the front of the optocoupler section of the current catalog, under Product Safety Regulations section (VDE 0884), for a detailed description.

Note: Isolation characteristics are guaranteed only within the safety maximum ratings which must be ensured by protective circuits in application.

### Absolute Maximum Ratings

Parameter	Symbol	Min.	Max.	Units	Note
Storage Temperature	$T_S$	-55	125	$^{\circ}\text{C}$	
Operating Temperature	$T_A$	-40	85	$^{\circ}\text{C}$	
Average Forward Input Current	$I_{F(AVG)}$		10	mA	1
Peak Transient Input Current ( $\leq 1$ $\mu\text{s}$ Pulse Width, 300 pps) ( $\leq 200$ $\mu\text{s}$ Pulse Width, < 1% Duty Cycle)	$I_{F(TRAN)}$		1.0	A	1
		HCNW22XX		40	mA
Reverse Input Voltage	$V_R$		5	V	1
		HCNW22XX		3	
Average Output Current	$I_O$		25	mA	1
Supply Voltage	$V_{CC}$	0	20	V	
Output Voltage	$V_O$	-0.5	20	V	1
Total Package Power Dissipation	$P_T$		210	mW	2
		HCPL-223X		294	
Output Power Dissipation	$P_O$		See Figure 7		1
Lead Solder Temperature (Through Hole Parts Only)		260 $^{\circ}\text{C}$ for 10 sec., 1.6 mm below seating plane			
	HCNW22XX	260 $^{\circ}\text{C}$ for 10 sec., up to seating plane			
Solder Reflow Temperature Profile (Surface Mount Parts Only)		See Package Outline Drawings section			

เอกสารนี้ 1-138 เอกสารที่สงวนไว้สำหรับการใช้งานเพื่อการศึกษาเท่านั้น ไม่อนุญาตให้นำไปใช้ประโยชน์ด้านการค้า  
ไม่ว่ากรณีใดๆ ทั้งสิ้น อีกทั้งห้ามมิให้ตัดแปลงเนื้อหา และต้องอ้างอิงถึงเจ้าของเอกสารทุกครั้งที่มีการนำไปใช้

### Recommended Operating Conditions

Parameter	Symbol	Min.	Max.	Units
Power Supply Voltage	$V_{CC}$	4.5	20	V
Forward Input Current (ON)	$I_{F(ON)}$	1.6*	5	mA
HCPL-223X		1.8†		
Forward Input Voltage (OFF)	$V_{F(OFF)}$	-	0.8	V
Operating Temperature	$T_A$	-40	85	°C
Junction Temperature	$T_J$	-40	125	°C
Fan Out	N		4	TTL Loads

\*The initial switching threshold is 1.6 mA or less. It is recommended that 2.2 mA be used to permit at least a 20% LED degradation guardband.

†The initial switching threshold is 1.8 mA or less. It is recommended that 2.5 mA be used to permit at least a 20% LED degradation guardband.

### Electrical Specifications

-40°C ≤  $T_A$  ≤ 85°C, 4.5 V ≤  $V_{CC}$  ≤ 20 V, 1.6 mA ≤  $I_{F(ON)}$  ≤ 5 mA, 0 V ≤  $V_{F(OFF)}$  ≤ 0.8 V, unless otherwise specified. All Typical at  $T_A = 25^\circ\text{C}$ . See Note 7.

Parameter	Sym.	Min.	Typ.	Max.	Units	Test Conditions	Fig.	Note
Logic Low Output Voltage	$V_{OL}$			0.5	V	$I_{OL} = 6.4 \text{ mA}$ (4 TTL Loads)	1, 3	1
Logic High Output Voltage	$V_{OH}$	2.4	**		V	$I_{OH} = -2.6 \text{ mA}$	2, 3, 8	1
		2.7				$I_{OH} = -0.4 \text{ mA}$		
Output Leakage Current ( $V_{OUT} > V_{CC}$ )	$I_{OHH}$			100	μA	$V_O = 5.5 \text{ V}$	$I_F = 5 \text{ mA}$	1
				500		$V_O = 20 \text{ V}$		
Logic Low Supply Current	$I_{OCL}$		3.7	6.0	mA	$V_{CC} = 5.5 \text{ V}$	$V_F = 0 \text{ V}$ $I_O = \text{Open}$	
			4.3	7.0		$V_{CC} = 20 \text{ V}$		
		HCPL-223X	7.4	12.0		$V_{CC} = 5.5 \text{ V}$		
			8.6	14.0		$V_{CC} = 20 \text{ V}$		
Logic High Supply Current	$I_{OCH}$		2.4	4.0	mA	$V_{CC} = 5.5 \text{ V}$	$I_F = 5 \text{ mA}$ $I_O = \text{Open}$	
			2.7	5.0		$V_{CC} = 20 \text{ V}$		
		HCPL-223X	4.8	8.0		$V_{CC} = 5.5 \text{ V}$		
			5.4	10.0		$V_{CC} = 20 \text{ V}$		
Logic Low Short Circuit Output Current	$I_{OSL}$	15			mA	$V_O = V_{CC} = 5.5 \text{ V}$	$V_F = 0 \text{ V}$	1, 3
		20				$V_O = V_{CC} = 20 \text{ V}$		
Logic High Short Circuit Output Current	$I_{OSH}$			-10	mA	$V_{CC} = 5.5 \text{ V}$	$I_F = 5 \text{ mA}$ $V_O = \text{GND}$	1, 3
				-20		$V_{CC} = 20 \text{ V}$		
Input Forward Voltage	$V_F$		1.5	1.7	V	$T_A = 25^\circ\text{C}$	$I_F = 5 \text{ mA}$	4
				1.85				
		HCNW22XX	1.5	1.82		$T_A = 25^\circ\text{C}$		
				1.95				
Input Reverse Breakdown Voltage	$BV_R$	5			V	$I_R = 10 \mu\text{A}$		1
		3				$I_R = 100 \mu\text{A}$		
Input Diode Temperature Coefficient	$\Delta V_F$ $\Delta T_A$		-1.7		mV/°C	$I_F = 5 \text{ mA}$		
		HCNW22XX		-1.4				
Input Capacitance	$C_{IN}$		60		pF	$f = 1 \text{ MHz}$ , $V_F = 0 \text{ V}$		1, 4
		HCNW22XX		70				

\*For HCPL-223X, 1.8 mA ≤  $I_{F(ON)}$  ≤ 5 mA.

\*\*Typical  $V_{OH} = V_{CC} - 2.1 \text{ V}$ .

เอกสารนี้เป็นเอกสารที่สงวนไว้สำหรับการใช้งานเพื่อการศึกษาเท่านั้น ไม่อนุญาตให้นำไปใช้ประโยชน์ (1-139) การค้า  
ไม่ว่ากรณีใดๆ ทั้งสิ้น อีกทั้งห้ามมิให้ตัดแปลงเนื้อหา และต้องอ้างอิงถึงเจ้าของเอกสารทุกครั้งที่มีการนำไปใช้

### Switching Specifications (AC)

$-40^{\circ}\text{C} \leq T_A \leq 85^{\circ}\text{C}$ ,  $4.5\text{ V} \leq V_{\text{CC}} \leq 20\text{ V}$ ,  $1.6\text{ mA} \leq I_{\text{F(ON)}}^* \leq 5\text{ mA}$ ,  $0\text{ V} \leq V_{\text{F(OFF)}} \leq 0.8\text{ V}$ .

All Typical at  $T_A = 25^{\circ}\text{C}$ ,  $V_{\text{CC}} = 5\text{ V}$ ,  $I_{\text{F(ON)}} = 3\text{ mA}$  unless otherwise specified.

Parameter	Sym.	Min.	Typ.	Max.	Units	Test Conditions	Fig.	Note
Propagation Delay Time to Logic Low Output Level	$t_{\text{PHL}}$		150		ns	Without Peaking Capacitor	5, 6	1, 6
			160			HCNW22XX		
			150	300		With Peaking Capacitor		
Propagation Delay Time to Logic High Output Level	$t_{\text{PLH}}$		110		ns	Without Peaking Capacitor	5, 6	1, 6
			180			HCNW22XX		
			90	300		With Peaking Capacitor		
Output Rise Time (10-90%)	$t_r$		30		ns		5, 9	1
Output Fall Time (90-10%)	$t_f$		7		ns		5, 9	1

Parameter	Sym.	Device	Min.	Units	Test Conditions	Fig.	Note	
Logic High Common Mode Transient Immunity	$ CM_H $	HCPL-2201/02	1,000	V/ $\mu\text{s}$	$ V_{\text{CM}}  = 50\text{ V}$ $I_{\text{F}} = 1.6\text{ mA}^{\dagger}$	10	1, 7	
		HCPL-0201						
		HCPL-2231			$ V_{\text{CM}}  = 300\text{ V}$ $I_{\text{F}} = 1.6\text{ mA}^{\dagger}$	10	1, 7	
		HCNW2201						
		HCPL-2211/12	5,000	V/ $\mu\text{s}$				
		HCPL-0211						
HCPL-2232	10,000	V/ $\mu\text{s}$	$ V_{\text{CM}}  = 1\text{ kV}$ $I_{\text{F}} = 5.0\text{ mA}^{\ddagger}$	10	1, 7			
HCNW2211								
Logic Low Common Mode Transient Immunity	$ CM_L $	HCPL-2201/02	1,000	V/ $\mu\text{s}$	$ V_{\text{CM}}  = 50\text{ V}$	10	1, 7	
		HCPL-0201						
		HCPL-2231			$V_{\text{F}} = 0\text{ V}$ $V_{\text{CC}} = 5\text{ V}$ $T_A = 25^{\circ}\text{C}$	10	1, 7	
		HCNW2201						
		HCPL-2211/12	10,000	V/ $\mu\text{s}$				$ V_{\text{CM}}  = 1\text{ kV}$
		HCPL-0211						
HCPL-2232			$ V_{\text{CM}}  = 1\text{ kV}$	10	1, 7			
HCNW2211								

\*For HCPL-223X,  $1.8\text{ mA} \leq I_{\text{F(ON)}} \leq 5\text{ mA}$ .

$^{\dagger}I_{\text{F}} = 1.8\text{ mA}$  for HCPL-2231.

$^{\ddagger}I_{\text{F}} = 1.8\text{ mA}$  for HCPL-2232.

เอกสารนี้ 1-140 เอกสารที่สงวนไว้สำหรับการใช้งานเพื่อการศึกษาเท่านั้น ไม่อนุญาตให้นำไปใช้ประโยชน์ด้านการค้า ไม่ว่าจะกรณีใดๆ ทั้งสิ้น อีกทั้งห้ามมิให้ตัดแปลงเนื้อหา และต้องอ้างอิงถึงเจ้าของเอกสารทุกครั้งที่มีการนำไปใช้

## Package Characteristics

Parameter	Sym.	Min.	Typ.	Max.	Units	Test Conditions	Fig.	Note
Input-Output Momentary Withstand Voltage*	$V_{ISO}$	2500			V rms	RH < 50%, t = 1 min. $T_A = 25^\circ\text{C}$		5, 10
		5000						5, 11
Input-Output Resistance	$R_{I-O}$		$10^{12}$		$\Omega$	$V_{I-O} = 500\text{ Vdc}$		5
		$10^{12}$	$10^{13}$					
		$10^{11}$						
Input-Output Capacitance	$C_{I-O}$		0.6		pF	f = 1 MHz, $V_{I-O} = 0\text{ Vdc}$		5
			0.5	0.6				
Input-Input Insulation Leakage Current	$I_{I-I}$		0.005		$\mu\text{A}$	Relative Humidity = 45%, t = 5 s, $V_{I-I} = 500\text{ V}$		12
Resistance (Input-Input)	$R_{I-I}$		$10^{11}$		$\Omega$	$V_{I-I} = 500\text{ V}$		12
Capacitance (Input-Input)	$C_{I-I}$		0.25		pF	f = 1 MHz		12

\*The Input-Output Momentary Withstand Voltage is a dielectric voltage rating that should not be interpreted as an input-output continuous voltage rating. For the continuous voltage rating refer to the VDE 0884 Insulation Characteristics Table (if applicable), your equipment level safety specification or HP Application Note 1074 entitled "Optocoupler Input-Output Endurance Voltage," publication number 5963-2203E.

### Notes:

- Each channel.
- Derate total package power dissipation,  $P_T$ , linearly above  $70^\circ\text{C}$  free-air temperature at a rate of  $4.5\text{ mW}/^\circ\text{C}$ .
- Duration of output short circuit time should not exceed 10 ms.
- For single devices, input capacitance is measured between pin 2 and pin 3.
- Device considered a two-terminal device; pins 1, 2, 3, and 4 shorted together and pins 5, 6, 7, and 8 shorted together.
- The  $t_{PLH}$  propagation delay is measured from the 50% point on the leading edge of the input pulse to the 1.3 V point on the leading edge of the output pulse. The  $t_{PHL}$  propagation delay is measured from the 50% point on the trailing edge of the input pulse to the 1.3 V point on the trailing edge of the output pulse.
- $CM_H$  is the maximum slew rate of the common mode voltage that can be sustained with the output voltage in the logic high state,  $V_O > 2.0\text{ V}$ .  $CM_L$  is the maximum slew rate of the common mode voltage that can be sustained with the output voltage in the logic low state,  $V_O < 0.8\text{ V}$ .
- For HCPL-2202/12,  $V_O$  is on pin 6.
- Use of a  $0.1\ \mu\text{F}$  bypass capacitor connected between pins 5 and 8 is recommended.
- In accordance with UL 1577, each optocoupler is proof tested by applying an insulation test voltage  $\geq 3000\text{ V rms}$  for one second (leakage detection current limit,  $I_{L-O} \leq 5\ \mu\text{A}$ ). This test is performed before the 100% production test for partial discharge (Method b) shown in the VDE 0884 Insulation Characteristics Table, if applicable.
- In accordance with UL 1577, each optocoupler is proof tested by applying an insulation test voltage  $\geq 6000\text{ V rms}$  for one second (leakage detection current limit,  $I_{L-O} \leq 5\ \mu\text{A}$ ). This test is performed before the 100% production test for partial discharge (Method b) shown in the VDE 0884 Insulation Characteristics Table.
- For HCPL-2231/32 only. Measured between pins 1 and 2, shorted together, and pins 3 and 4, shorted together.

เอกสารนี้เป็นเอกสารที่สงวนไว้สำหรับการใช้งานเพื่อการศึกษาเท่านั้น ไม่อนุญาตให้นำไปใช้ประโยชน์ 1-14 การค้า  
ไม่ว่ากรณีใดๆ ทั้งสิ้น อีกทั้งห้ามมิให้ตัดแปลงเนื้อหา และต้องอ้างอิงถึงเจ้าของเอกสารทุกครั้งที่มีการนำไปใช้

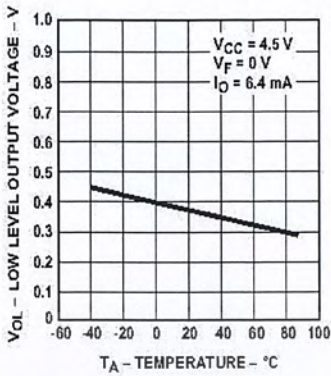


Figure 1. Typical Logic Low Output Voltage vs. Temperature.

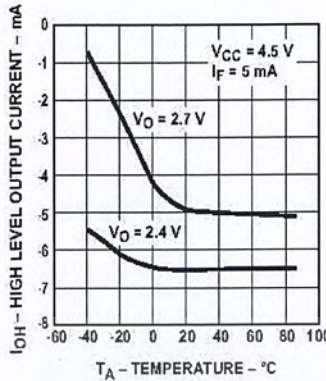


Figure 2. Typical Logic High Output Current vs. Temperature.

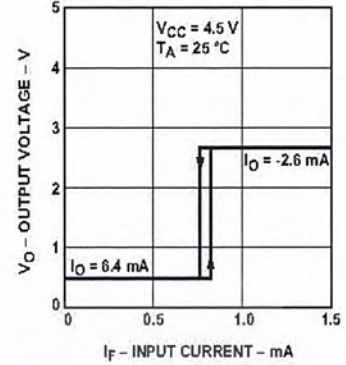


Figure 3. Typical Output Voltage vs. Forward Input Current.

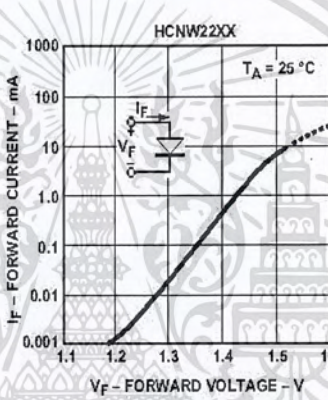
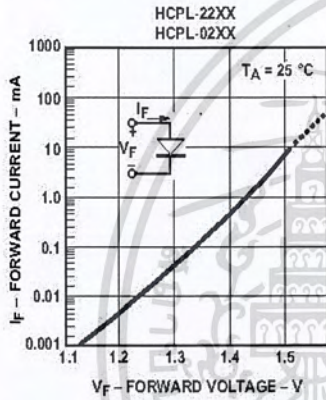


Figure 4. Typical Input Diode Forward Characteristic.

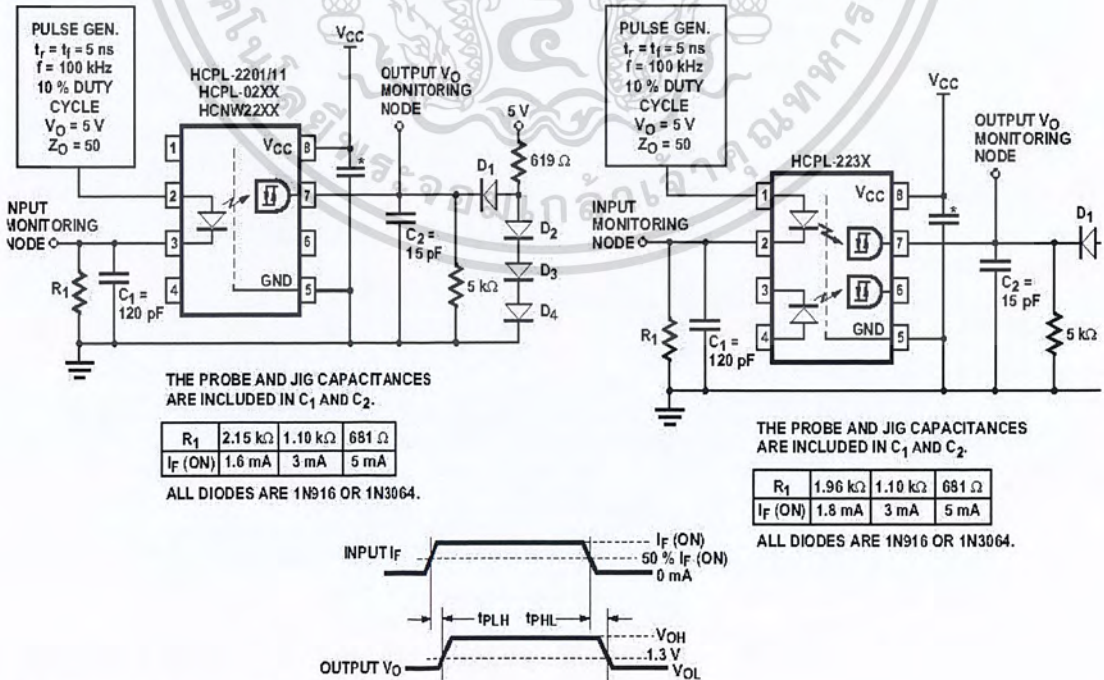


Figure 5. Circuit for t<sub>PLH</sub>, t<sub>PHL</sub>, t<sub>r</sub>, t<sub>f</sub>

\* 0.1 μF BYPASS — SEE NOTE 9.

เอกสารที่ 1-142 เอกสารที่ส่งจนไว้สำหรับการใช้งานเพื่อการศึกษาเท่านั้น ไม่นอนุญาตให้นำไปใช้ประโยชน์ด้านการค้า ไม่ว่ากรณีใดๆ ทั้งสิ้น อีกทั้งห้ามมิให้ตัดแปลงเนื้อหา และต้องอ้างอิงถึงเจ้าของเอกสารทุกครั้งที่มีการนำไปใช้

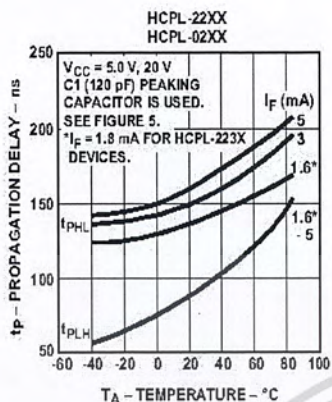


Figure 6. Typical Propagation Delays vs. Temperature.

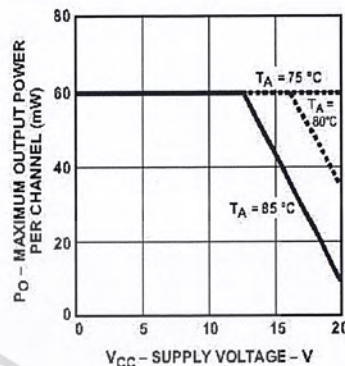
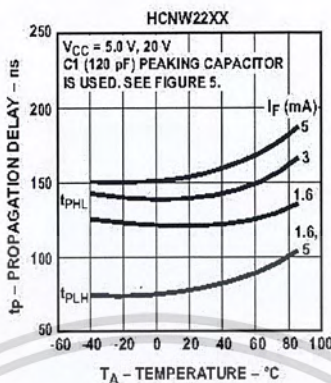


Figure 7. Maximum Output Power per Channel vs. Supply Voltage.

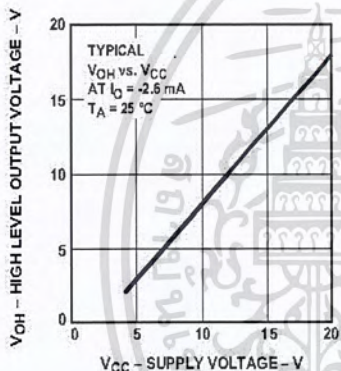


Figure 8. Typical Logic High Output Voltage vs. Supply Voltage.

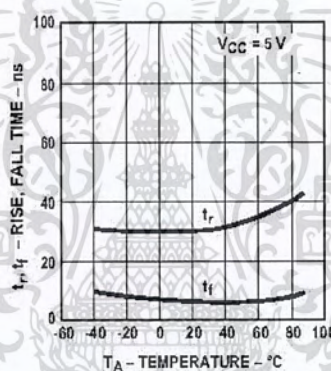


Figure 9. Typical Rise, Fall Time vs. Temperature.

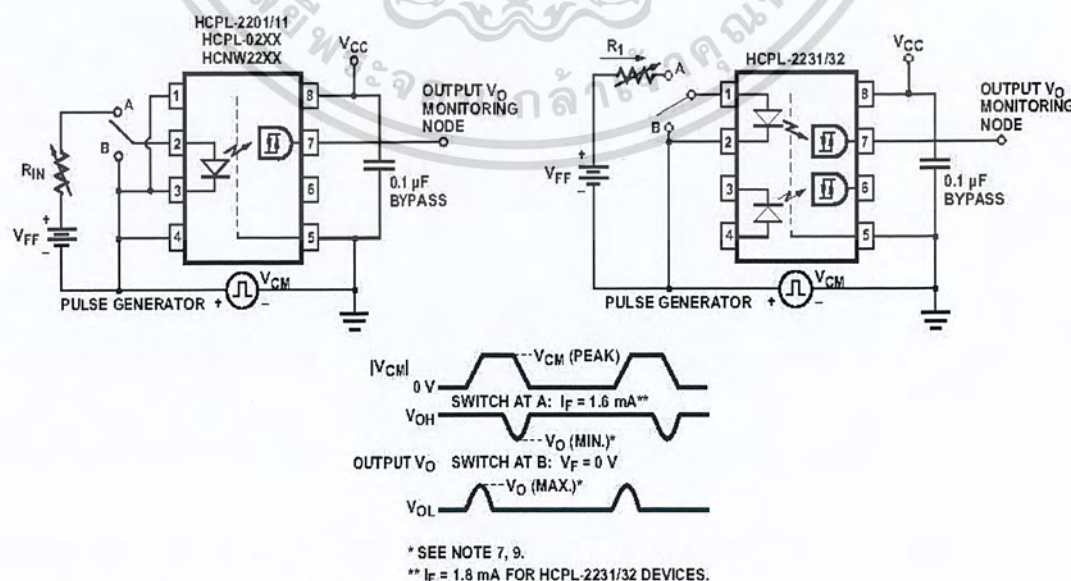


Figure 10. Test Circuit for Common Mode Transient Immunity and Typical Waveforms.

เอกสารนี้เป็นเอกสารที่สงวนไว้สำหรับการใช้งานเพื่อการศึกษาเท่านั้น ไม่อนุญาตให้นำไปใช้ประโยชน์ 1-143 การค้า  
ไม่ว่ากรณีใดๆ ทั้งสิ้น อีกทั้งห้ามมิให้ตัดแปลงเนื้อหา และต้องอ้างอิงถึงเจ้าของเอกสารทุกครั้งที่มีการนำไปใช้

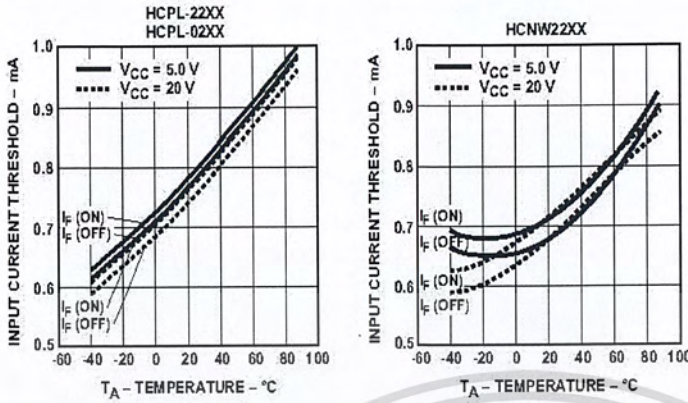


Figure 11. Typical Input Threshold Current vs. Temperature.

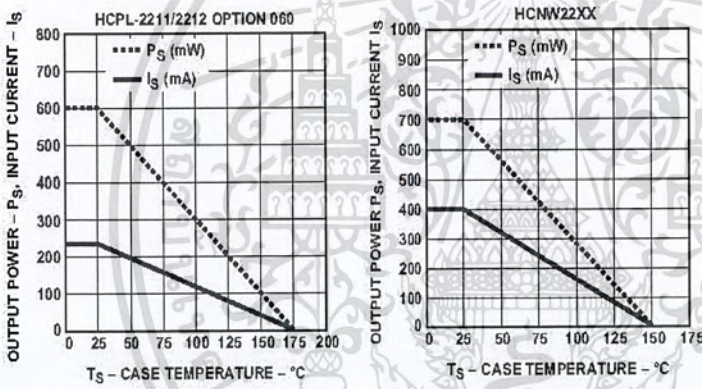


Figure 12. Thermal Derating Curve, Dependence of Safety Limiting Value with Case Temperature per VDE 0884.

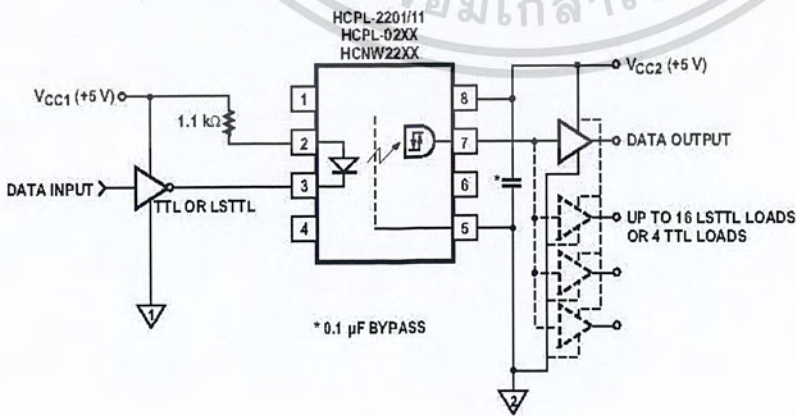


Figure 13a. Recommended LSTTL to LSTTL Circuit where 500 ns Propagation Delay is Sufficient.

เอกสารนี้-144 เอกสารที่สงวนไว้สำหรับการใช้งานเพื่อการศึกษาเท่านั้น ไม่อนุญาตให้นำไปใช้ประโยชน์ด้านการค้า ไม่ว่าจะกรณีใดๆ ทั้งสิ้น อีกทั้งห้ามมิให้ตัดแปลงเนื้อหา และต้องอ้างอิงถึงเจ้าของเอกสารทุกครั้งที่มีการนำไปใช้

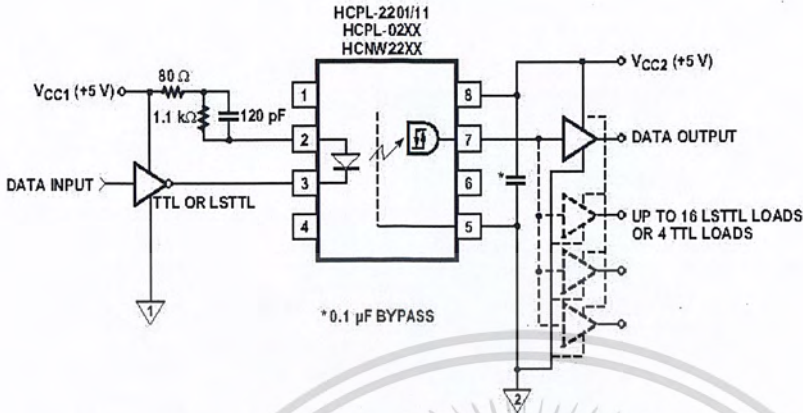


Figure 13b. Recommended LSTTL to LSTTL Circuit for Applications Requiring a Maximum Allowable Propagation Delay of 300 ns.

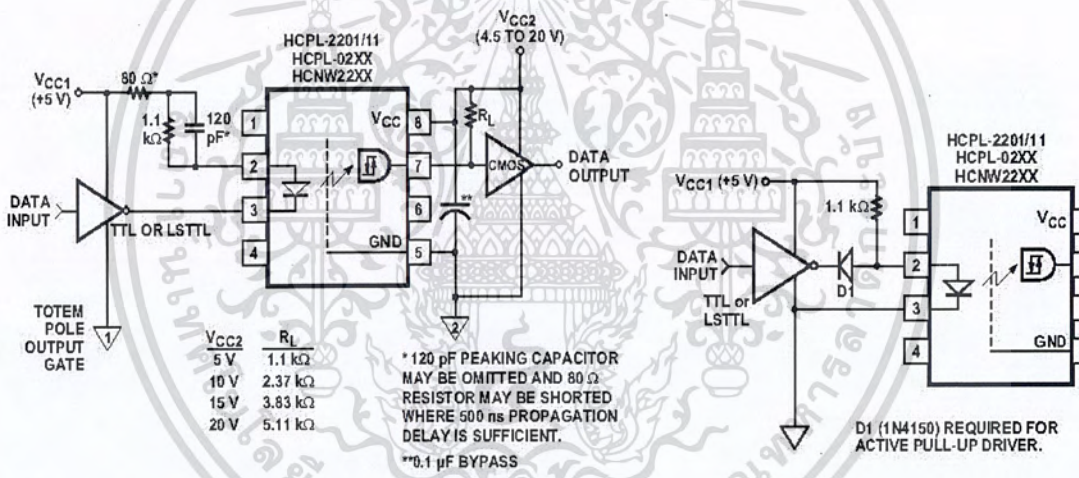


Figure 14. LSTTL to CMOS Interface Circuit.

Figure 15. Alternative LED Drive Circuit.

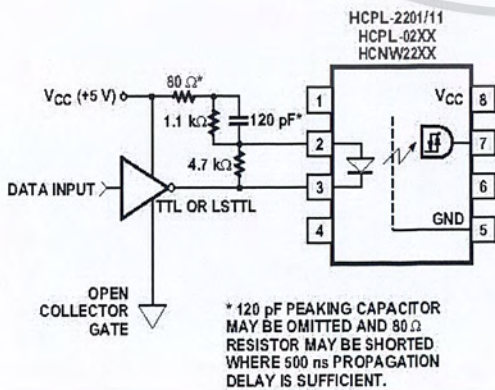


Figure 16. Series LED Drive with Open Collector Gate (4.7 k Resistor Shunts I<sub>OH</sub> from the LED).

เอกสารนี้เป็นเอกสารที่สงวนไว้สำหรับการใช้งานเพื่อการศึกษาเท่านั้น ไม่อนุญาตให้นำไปใช้ประโยชน์ 1-145 การค้า ไม่ว่าจะกรณีใดๆ ทั้งสิ้น อีกทั้งห้ามมิให้ตัดแปลงเนื้อหา และต้องอ้างอิงถึงเจ้าของเอกสารทุกครั้งที่มีการนำไปใช้



**ACS754LCB-050**

เอกสารนี้เป็นเอกสารที่สงวนไว้สำหรับการใช้งานเพื่อการศึกษาเท่านั้น ไม่อนุญาตให้นำไปใช้ประโยชน์ด้านการค้า  
ไม่ว่ากรณีใดๆ ทั้งสิ้น อีกทั้งห้ามมิให้ดัดแปลงเนื้อหา และต้องอ้างอิงถึงเจ้าของเอกสารทุกครั้งที่มีการนำไปใช้

# Current Sensor: ACS754xCB-050



## ABSOLUTE MAXIMUM RATINGS

Supply Voltage, $V_{CC}$	16 V
Reverse Supply Voltage, $V_{RCC}$	-16 V
Output Voltage, $V_{OUT}$	16 V
Reverse Output Voltage, $V_{ROUT}$	-0.1 V
Output Current Source, $I_{OUT(SOURCE)}$	3 mA
Output Current Sink, $I_{OUT(SINK)}$	10 mA
Operating Temperature,	
Ambient, $T_A$ , L range	-40 to 150°C
Ambient, $T_A$ , S range	-20 to 85°C
Maximum Junction, $T_{J(max)}$	165°C
Maximum Storage Temperature, $T_S$	-65 to 170°C



TUV America  
Certificate Number:  
U8V 04 11 54214 001



The Allegro ACS75x family of current sensors provides economical and precise solutions for current sensing in industrial, automotive, commercial, and communications systems. The device package allows for easy implementation by the customer. Typical applications include motor control, load detection and management, power supplies, and overcurrent fault protection.

The device consists of a precision, low-offset linear Hall sensor circuit with a copper conduction path located near the die. Applied current flowing through this copper conduction path generates a magnetic field which is sensed by the integrated Hall IC and converted into a proportional voltage. Device accuracy is optimized through the close proximity of the magnetic signal to the Hall transducer. A precise, proportional voltage is provided by the low-offset, chopper-stabilized BiCMOS Hall IC, which is programmed for accuracy at the factory.

The output of the device has a positive slope ( $>V_{CC}/2$ ) when an increasing current flows through the primary copper conduction path (from terminal 4 to terminal 5), which is the path used for current sensing. The internal resistance of this conductive path is typically 100  $\mu\Omega$ , providing low power loss. The thickness of the copper conductor allows survival of the device at up to 5 $\times$  overcurrent conditions. The terminals of the conductive path are electrically isolated from the sensor leads (pins 1 through 3). This allows the ACS75x family of sensors to be used in applications requiring electrical isolation without the use of opto-isolators or other costly isolation techniques.

The device is fully calibrated prior to shipment from the factory. The ACS75x family is lead-free. All leads are coated with 100% matte tin, and there is no lead inside the package. The heavy gauge leadframe is made of oxygen-free copper.

## Features and Benefits

- Monolithic Hall IC for high reliability
- Single +5 V supply
- 3 kV<sub>RMS</sub> isolation voltage between terminals 4/5 and pins 1/2/3
- 35 kHz bandwidth
- Automotive temperature range
- End-of-line factory-trimmed for gain and offset
- Ultra-low power loss: 100  $\mu\Omega$  internal conductor resistance
- Ratiometric output from supply voltage
- Extremely stable output offset voltage
- Small package size, with easy mounting capability
- Output proportional to ac and dc currents

## Applications

- Automotive systems
- Industrial systems
- Motor control
- Servo systems
- Power conversion
- Battery monitors

Use the following complete part numbers when ordering:

Part Number	Signal Pins	Terminals	Ambient
ACS754LCB-050-PFF	Formed	Formed	
ACS754LCB-050-PSF	Formed	Straight	-40 to 150°C
ACS754LCB-050-PSS	Straight	Straight	
ACS754SCB-050-PFF	Formed	Formed	
ACS754SCB-050-PSF	Formed	Straight	-20 to 85°C
ACS754SCB-050-PSS	Straight	Straight	

ACS754050-DS, Rev. 3

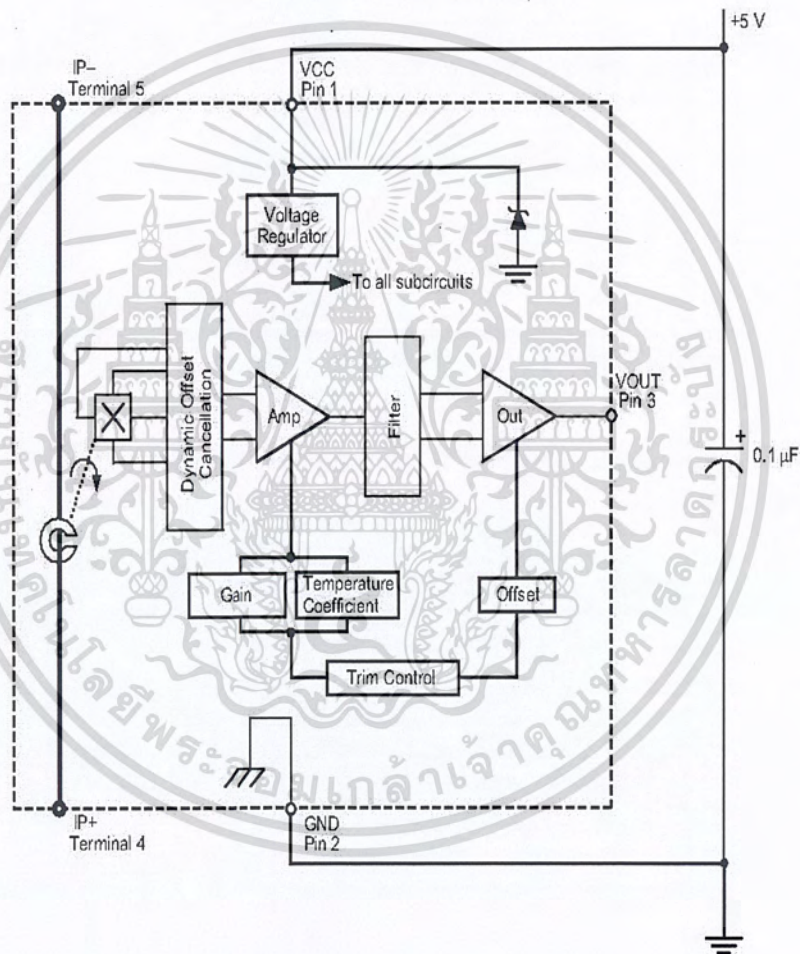


115 North Street, Worcester, MA 01606  
Worcester, Massachusetts 01615-0036 (508) 853-6000

เอกสารนี้เป็นเอกสารที่สงวนไว้สำหรับการใช้งานเพื่อการศึกษาเท่านั้น ไม่อนุญาตให้นำไปใช้ประโยชน์ด้านการค้า  
ไม่ว่ากรณีใดๆ ทั้งสิ้น อีกทั้งห้ามมิให้ตัดแปลงเนื้อหา และต้องอ้างอิงถึงเจ้าของเอกสารทุกครั้งที่มีการนำไปใช้

# Current Sensor: ACS754xCB-050

## Functional Block Diagram



# Current Sensor: ACS754xCB-050

## ELECTRICAL CHARACTERISTICS, over operating ambient temperature range unless otherwise stated

Characteristic	Symbol	Test Conditions	Min.	Typ.	Max.	Units
Primary Sensed Current	$I_P$		-50	-	50	A
Supply Voltage	$V_{CC}$		4.5	5.0	5.5	V
Supply Current	$I_{CC}$	$V_{CC} = 5.0$ V, output open	6.5	8	10	mA
Output Resistance	$R_{OUT}$	$I_{OUT} = 1.2$ mA	-	1	2	$\Omega$
Output Capacitance Load	$C_{LOAD}$	$V_{OUT}$ to GND	-	-	10	nF
Output Resistive Load	$R_{LOAD}$	$V_{OUT}$ to GND	4.7	-	-	k $\Omega$
Primary Conductor Resistance	$R_{PRIMARY}$	$I_P = \pm 100$ A, $T_A = 25^\circ\text{C}$	-	100	-	$\mu\Omega$
		Pins 1-3 and 4-5, 60 Hz, 1 minute	3.0	-	-	kV
<b>PERFORMANCE CHARACTERISTICS, <math>-20^\circ\text{C}</math> to <math>+85^\circ\text{C}</math>, <math>V_{CC} = 5</math> V unless otherwise specified</b>						
Propagation time	$t_{PROP}$	$I_P = \pm 50$ A, $T_A = 25^\circ\text{C}$	-	4	-	$\mu\text{s}$
Response time	$t_{RESPONSE}$	$I_P = \pm 50$ A, $T_A = 25^\circ\text{C}$	-	12	-	$\mu\text{s}$
Rise time	$t_r$	$I_P = \pm 50$ A, $T_A = 25^\circ\text{C}$	-	11	-	$\mu\text{s}$
Frequency Bandwidth	$f$	-3 dB, $T_A = 25^\circ\text{C}$	-	35	-	kHz
Sensitivity	Sens	Over full range of $I_P$ , $T_A = 25^\circ\text{C}$	-	40	-	mV/A
		Over full range of $I_P$	37.8	-	42.0	mV/A
Noise	$V_{NOISE}$	Peak-to-peak, $T_A = 25^\circ\text{C}$ , no external filter	-	65	-	mV
Nonlinearity	$E_{LIN}$	Over full range of $I_P$	-	-	$\pm 1.5$	%
Symmetry	$E_{SYM}$	Over full range of $I_P$	98	100	102	%
Zero Current Output Voltage	$V_{OUT(0)}$	$I = 0$ A, $T_A = 25^\circ\text{C}$	-	$V_{CC}/2$	-	V
Electrical Offset Voltage (Magnetic error not included)	$V_{OE}$	$I = 0$ A, $T_A = 25^\circ\text{C}$	-10	-	10	mV
		$I = 0$ A	-20	-	20	mV
Magnetic Offset Error	$I_{ERR(M)}$	$I = 0$ A, after excursion of 100 A	-	$\pm 0.1$	$\pm 0.30$	A
Total Output Error (Including all offsets)	$E_{TOT}$	Over full range of $I_P$ , $T_A = 25^\circ\text{C}$	-	$\pm 1.0$	-	%
		Over full range of $I_P$	-	-	$\pm 5.0$	%
<b>PERFORMANCE CHARACTERISTICS, <math>-40^\circ\text{C}</math> to <math>+150^\circ\text{C}</math>, <math>V_{CC} = 5</math> V unless otherwise specified</b>						
Propagation time	$t_{PROP}$	$I_P = \pm 50$ A, $T_A = 25^\circ\text{C}$	-	4	-	$\mu\text{s}$
Response time	$t_{RESPONSE}$	$I_P = \pm 50$ A, $T_A = 25^\circ\text{C}$	-	12	-	$\mu\text{s}$
Rise time	$t_r$	$I_P = \pm 50$ A, $T_A = 25^\circ\text{C}$	-	11	-	$\mu\text{s}$
Frequency Bandwidth	$f$	-3 dB, $T_A = 25^\circ\text{C}$	-	35	-	kHz
Sensitivity	Sens	Over full range of $I_P$ , $T_A = 25^\circ\text{C}$	-	40	-	mV/A
		Over full range of $I_P$	36.0	-	42.8	mV/A
Noise	$V_{NOISE}$	Peak-to-peak, $T_A = 25^\circ\text{C}$ , no external filter	-	65	-	mV
Nonlinearity	$E_{LIN}$	Over full range of $I_P$	-	-	$\pm 1.8$	%
Symmetry	$E_{SYM}$	Over full range of $I_P$	98	100	102	%
Zero Current Output Voltage	$V_{OUT(0)}$	$I = 0$ A, $T_A = 25^\circ\text{C}$	-	$V_{CC}/2$	-	V
Electrical Offset Voltage (Magnetic error not included)	$V_{OE}$	$I = 0$ A, $T_A = 25^\circ\text{C}$	-10	-	10	mV
		$I = 0$ A	-35	-	35	mV
Magnetic Offset Error	$I_{ERR(M)}$	$I = 0$ A, after excursion of 100 A	-	$\pm 0.1$	$\pm 0.40$	A
Total Output Error (Including all offsets)	$E_{TOT}$	Over full range of $I_P$ , $T_A = 25^\circ\text{C}$	-	$\pm 1.0$	-	%
		Over full range of $I_P$	-	-	$\pm 9.9$	%

# Current Sensor: ACS754xCB-050

## Definitions of Accuracy Characteristics

**Sensitivity (Sens):** The change in sensor output in response to a 1 A change through the primary conductor. The sensitivity is the product of the magnetic circuit sensitivity (G/A) and the linear IC amplifier gain (mV/G). The linear IC amplifier gain is trimmed at the factory to optimize the sensitivity (mV/A) for the full-scale current of the device.

**Noise ( $V_{\text{NOISE}}$ ):** The product of the linear IC amplifier gain (mV/G) and the noise floor for the Allegro Hall effect linear IC ( $\approx 1$  G). The noise floor is derived from the thermal and shot noise observed in Hall elements. Dividing the noise (mV) by the sensitivity (mV/A) provides the smallest current that the device is able to resolve.

**Linearity ( $E_{\text{LIN}}$ ):** The degree to which the voltage output from the sensor varies in direct proportion to the primary current through its full-scale amplitude. Linearity reveals the maximum deviation from the ideal transfer curve for this transducer. Nonlinearity in the output can be attributed to the gain variation across temperature and saturation of the flux concentrator approaching the full-scale current. The following equation is used to derive the linearity:

$$100 \left\{ 1 - \left[ \frac{\Delta \text{ gain} \times \% \text{ sat} (V_{\text{out\_full-scale amperes}} - V_{\text{OUT(Q)}})}{2 (V_{\text{out\_half-scale amperes}} - V_{\text{OUT(Q)}})} \right] \right\}$$

where

$\Delta$  gain = the gain variation as a function of temperature changes from 25°C,

% sat = the percentage of saturation of the flux concentrator, which becomes significant as the current being sensed approaches full-scale  $\pm I_p$ , and

$V_{\text{out\_full-scale amperes}}$  = the output voltage (V) when the sensed current approximates full-scale  $\pm I_p$ .

**Symmetry ( $E_{\text{SYM}}$ ):** The degree to which the absolute voltage output from the sensor varies in proportion to either a positive or negative full-scale primary current. The following equation is used to derive symmetry:

$$100 \left[ \frac{V_{\text{out\_+full-scale amperes}} - V_{\text{OUT(Q)}}}{V_{\text{OUT(Q)}} - V_{\text{out\_full-scale amperes}}} \right]$$

**Quiescent output voltage ( $V_{\text{OUT(Q)}}$ ):** The output of the sensor when the primary current is zero. For a unipolar supply voltage, it nominally remains at  $V_{\text{CC}}/2$ . Thus,  $V_{\text{CC}} = 5$  V translates into  $V_{\text{OUT(Q)}} = 2.5$  V. Variation in  $V_{\text{OUT(Q)}}$  can be attributed to the resolution of the Allegro linear IC quiescent voltage trim, magnetic hysteresis, and thermal drift.

**Electrical offset voltage ( $V_{\text{OE}}$ ):** The deviation of the device output from its ideal quiescent value of  $V_{\text{CC}}/2$  due to nonmagnetic causes.

**Magnetic offset error ( $I_{\text{ERROM}}$ ):** The magnetic offset is due to the residual magnetism (remnant field) of the core material. The magnetic offset error is highest when the magnetic circuit has been saturated, usually when the device has been subjected to a full-scale or high-current overload condition. The magnetic offset is largely dependent on the material used as a flux concentrator. The larger magnetic offsets are observed at the lower operating temperatures.

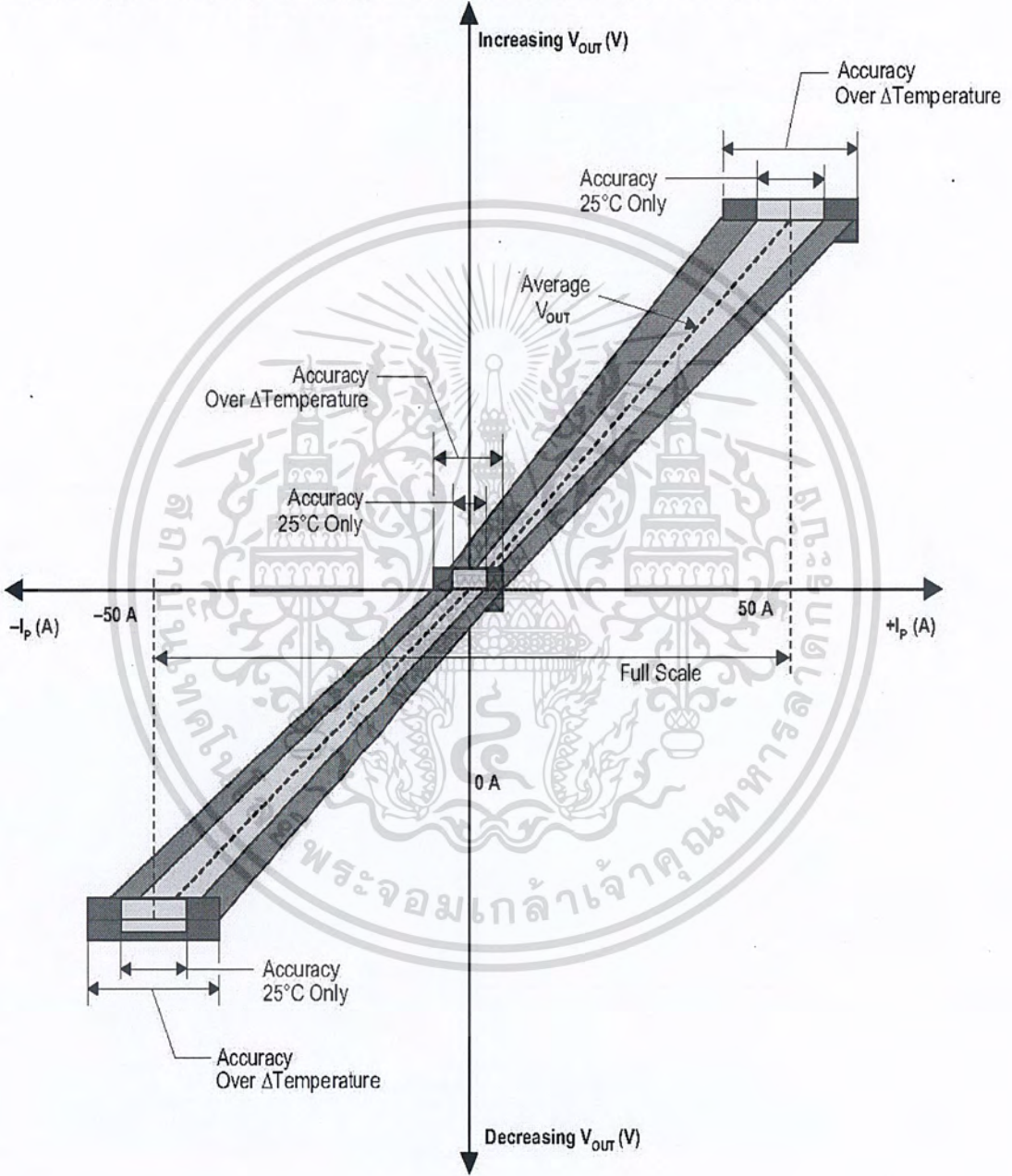
**Accuracy ( $E_{\text{TOT}}$ ):** The accuracy represents the maximum deviation of the actual output from its ideal value. This is also known as the total output error. The accuracy is illustrated graphically in the Output Voltage versus Current chart on the following page.

Accuracy is divided into four areas:

- **0 A at 25°C:** Accuracy of sensing zero current flow at 25°C, without the effects of temperature.
- **0 A over temperature:** Accuracy of sensing zero current flow including temperature effects.
- **Full-scale current at 25°C:** Accuracy of sensing the full-scale current at 25°C, without the effects of temperature.
- **Full-scale current over  $\Delta$  temperature:** Accuracy of sensing full-scale current flow including temperature effects.

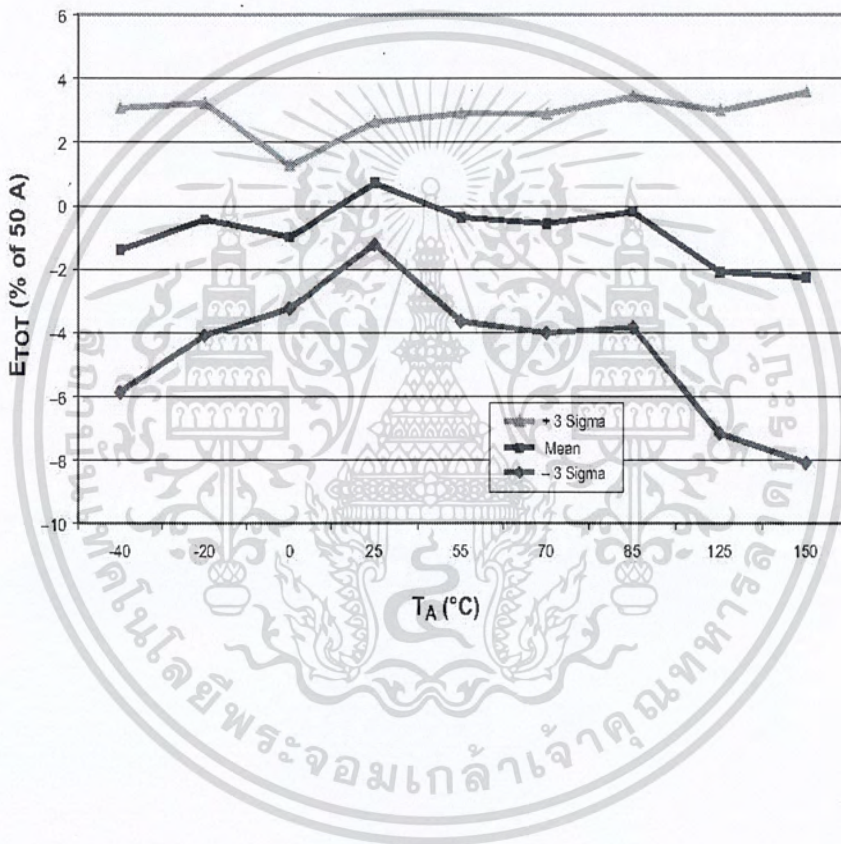
# Current Sensor: ACS754xCB-050

Output voltage vs. current, illustrating sensor accuracy at 0 A and at full-scale current



## Current Sensor: ACS754xCB-050

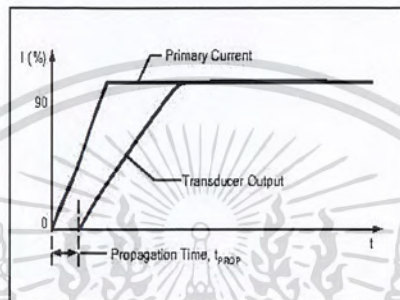
Typical Percentage Error versus Ambient Temperature



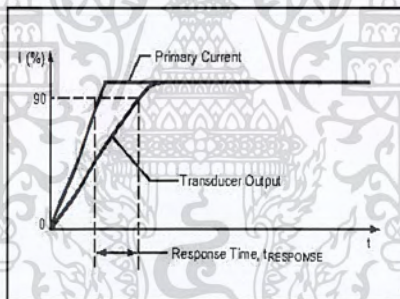
## Current Sensor: ACS754xCB-050

### Definitions of Dynamic Response Characteristics

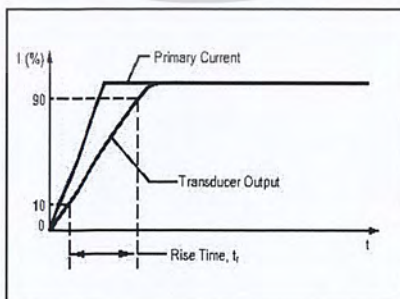
**Propagation delay ( $t_{PROP}$ ):** The time required for the sensor output to reflect a change in the primary current signal. Propagation delay is attributed to inductive loading within the linear IC package, as well as in the inductive loop formed by the primary conductor geometry. Propagation delay can be considered as a fixed time offset and may be compensated.



**Response time ( $t_{RESPONSE}$ ):** The time interval between a) when the primary current signal reaches 90% of its final value, and b) when the sensor reaches 90% of its output corresponding to the applied current.



**Rise time ( $t_r$ ):** The time interval between a) when the sensor reaches 10% of its full scale value, and b) when it reaches 90% of its full scale value. The rise time to a step response is used to derive the bandwidth of the current sensor, in which  $f(-3 \text{ dB}) = 0.35/t_r$ . Both  $t_r$  and  $t_{RESPONSE}$  are detrimentally affected by eddy current losses observed in the conductive IC ground plane and, to varying degrees, in the ferrous flux concentrator within the current sensor package.

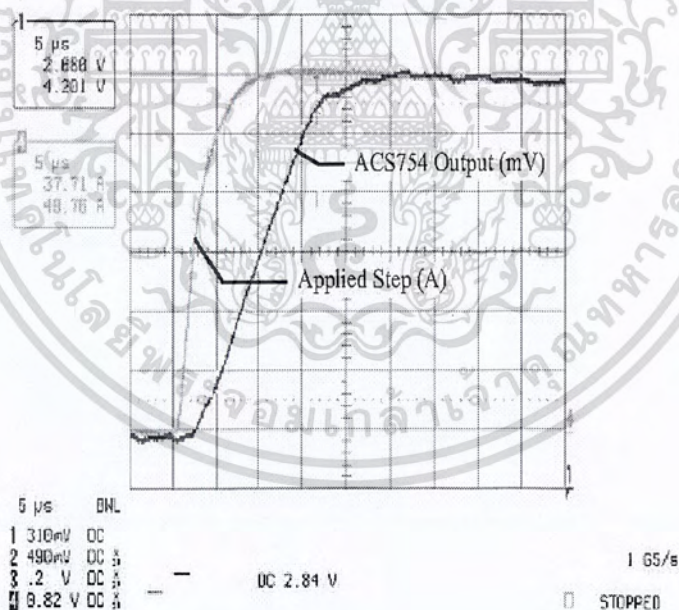


## Current Sensor: ACS754xCB-050

### Standards and Physical Specifications

Parameter	Specification
Flammability (package molding compound)	UL recognized to UL 94V-0
Fire and Electric Shock	UL60950-1:2003 EN60950-1:2001 CAN/CSA C22.2 No. 60950-1:2003
Creepage distance, current terminals to sensor pins	7.25 mm
Clearance distance, current terminals to sensor pins	7.25 mm
Package mass	4.63 g typical

Step Response,  $I_P = 0$  to 50 A, no external filter



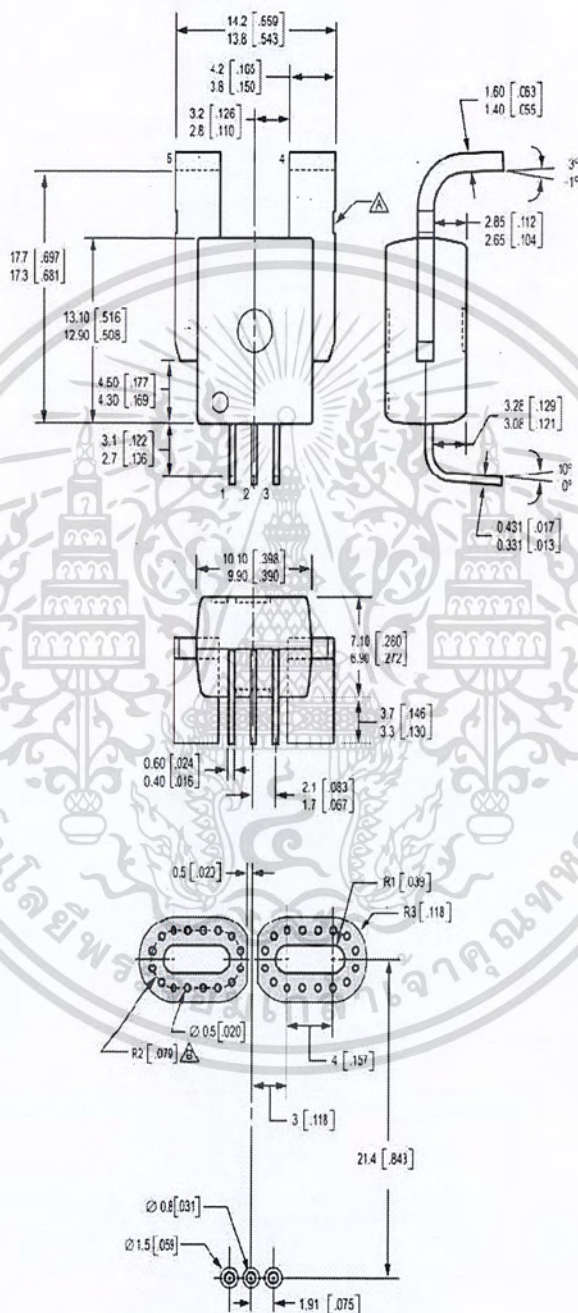
## Current Sensor: ACS754xCB-050

Device Branding Key (Two alternative styles are used)

ACS754 TCB050 YYWWA	ACS	Allegro Current Sensor
	754	Device family number
	T	Operating ambient temperature range code [L or S]
	CB	Package type designator
	050	Maximum measurable current
	YY	Manufacturing date code: Calendar year (last two digits)
	WW	Manufacturing date code: Calendar week
	A	Manufacturing date code: Shift code
ACS754 TCB050 L..L YYWW	ACS	Allegro Current Sensor
	754	Device family number
	T	Operating ambient temperature range code [L or S]
	CB	Package type designator
	050	Maximum measurable current
	L..L	Manufacturing lot code
	YY	Manufacturing date code: Calendar year (last two digits)
	WW	Manufacturing date code: Calendar week

# Current Sensor: ACS754xCB-050

## Package CB-PFF

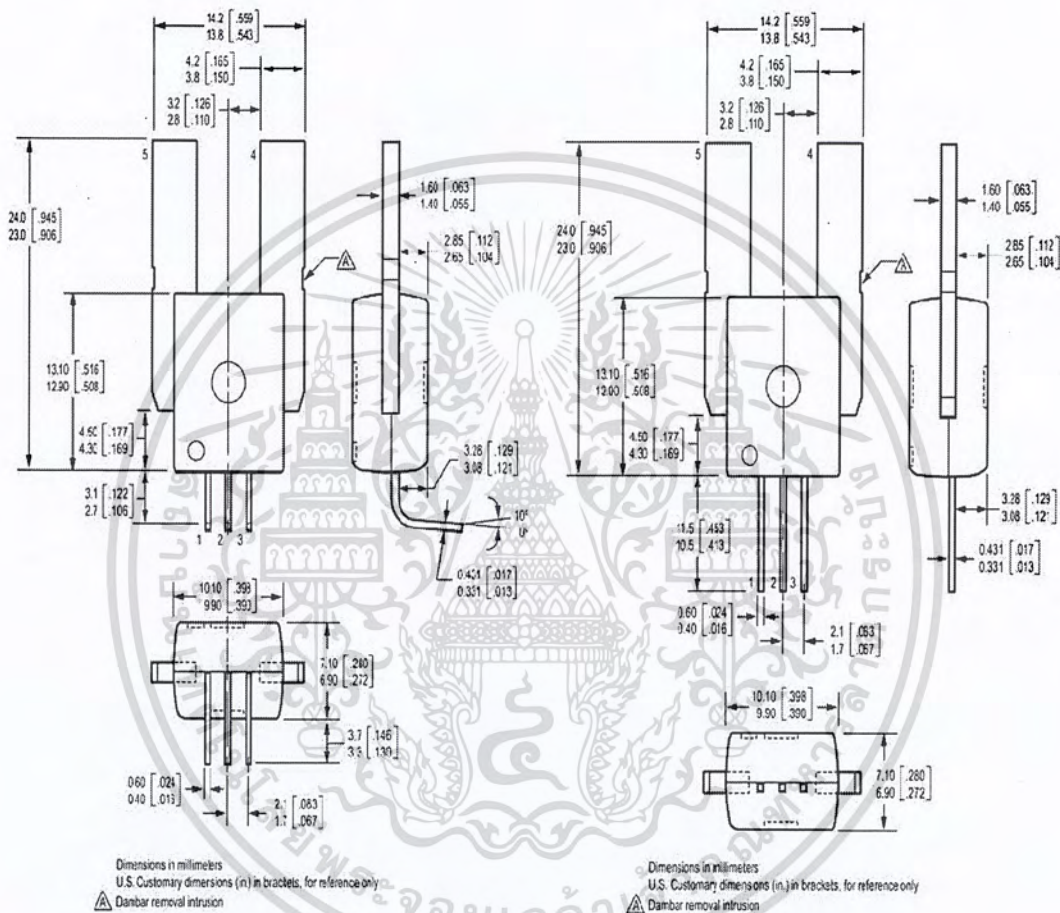


Dimensions in millimeters  
 U.S. Customary dimensions (in.) in brackets, for reference only  
 ▲ Dambar removal intrusion  
 ▲ Perimeter through-holes recommended

# Current Sensor: ACS754xCB-050

Package CB-PSF

Package CB-PSS



The products described herein are manufactured under one or more of the following U.S. patents: 5,045,920; 5,264,783; 5,442,283; 5,389,889; 5,581,179; 5,517,112; 5,619,137; 5,621,319; 5,650,719; 5,686,894; 5,694,038; 5,729,130; 5,917,320; and other patents pending.

Allegro MicroSystems, Inc. reserves the right to make, from time to time, such departures from the detail specifications as may be required to permit improvements in the performance, reliability, or manufacturability of its products. Before placing an order, the user is cautioned to verify that the information being relied upon is current.

Allegro products are not authorized for use as critical components in life-support devices or systems without express written approval.

The information included herein is believed to be accurate and reliable. However, Allegro MicroSystems, Inc. assumes no responsibility for its use; nor for any infringement of patents or other rights of third parties which may result from its use.

Copyright © 2004, 2005, Allegro Microsystems, Inc.

ACS754050-DS, Rev. 3



115 Northeast Cutliff Box 15036  
 Worcester, Massachusetts 01615-0036 (508) 853-5000

เอกสารนี้เป็นเอกสารที่สงวนไว้สำหรับการใช้เพื่อการศึกษาเท่านั้น ไม่อนุญาตให้นำไปใช้ประโยชน์ด้านการค้า  
 ไม่ว่ากรณีใดๆ ทั้งสิ้น อีกทั้งห้ามมิให้ตัดแปลงเนื้อหา และต้องอ้างอิงถึงเจ้าของเอกสารทุกครั้งที่มีการนำไปใช้



เอกสารนี้เป็นเอกสารที่สงวนไว้สำหรับการใช้งานเพื่อการศึกษาเท่านั้น ไม่อนุญาตให้นำไปใช้ประโยชน์ด้านการค้า  
ไม่ว่ากรณีใดๆ ทั้งสิ้น อีกทั้งห้ามมิให้ตัดแปลงเนื้อหา และต้องอ้างอิงถึงเจ้าของเอกสารทุกครั้งที่มีการนำไปใช้

# การตรวจจับความผิดปกติของชนิดสวิตช์เปิดวงจรสำหรับคอนเวอร์เตอร์ชนิดปรับความกว้างพัลส์

## Open Switch Fault Detection for a PWM Converter

ชานนท์ บึงกิจเจริญ ณัฐคนัย ถิ่นเกาะแก้ว ดนุพล ตรีแก้ว

สาขาวิชาวิศวกรรมไฟฟ้า คณะวิศวกรรมศาสตร์ สถาบันเทคโนโลยีพระจอมเกล้าเจ้าคุณทหารลาดกระบัง

เลขที่ 1 ซอย คลองกรุง 1 แขวง ลาดกระบัง เขต ลาดกระบัง กรุงเทพมหานคร 10520 โทร/โทรสาร 02-324-8331

E-mail: s0010372@kmitl.ac.th s0010450@kmitl.ac.th s0010526@kmitl.ac.th

### บทคัดย่อ

บทความฉบับนี้นำเสนอการวินิจฉัยและตรวจจับความผิดปกติของชนิดสวิตช์เปิดวงจรในคอนเวอร์เตอร์สามเฟสที่ถูกควบคุมโดยสัญญาณพัลส์ชนิดปรับความกว้าง โดยวิธีการที่นำเสนอจะใช้วิธีการเปรียบเทียบค่าเฉลี่ยกับค่าสัมบูรณ์ของสัญญาณกระแสที่ไหลผ่านคอนเวอร์เตอร์ บทความฉบับนี้จะเน้นไปที่การประยุกต์ใช้วิธีการดังกล่าวในการวินิจฉัยและตรวจจับความผิดปกติที่มีความผิดปกติเกิดขึ้นใน 1 สวิตช์เท่านั้น ในบทความฉบับนี้ได้มีการใช้โปรแกรม MATLAB/Simulink มาใช้ในการจำลองการทำงานของคอนเวอร์เตอร์และระบบการวินิจฉัยและตรวจจับความผิดปกติ และใช้ไมโครคอนโทรลเลอร์ชนิด TMS320F28335 เป็นตัวประมวลผลสัญญาณดิจิทัล ในการสร้างสัญญาณที่ใช้ในการทำงานของคอนเวอร์เตอร์และใช้ในการประมวลผลสัญญาณของกระแสจากคอนเวอร์เตอร์ในการตรวจจับความผิดปกติ โดยใช้ขั้นตอนจากการจำลองการทำงานของโปรแกรม MATLAB/Simulink เป็นต้นแบบ

คำสำคัญ: การตรวจจับความผิดปกติของชนิดสวิตช์เปิดวงจร, คอนเวอร์เตอร์สามเฟสชนิดปรับความกว้างพัลส์

### Abstract

This paper presents an open-switch fault diagnosis method for a three-phase PWM converter. The method proposed in this paper is called the Absolute Normalized DC Current Method[1]. In this paper only a single-switch fault is considered. MATLAB.Simulink program is used to simulate the converter operation and open-switch fault diagnostic scheme. The TMS320F28335 DSP is applied to implement the converter operation and proposed diagnostic scheme simulate by MATLAB/simulink program.

Keyword: Open-Switch Fault Detection, Three-Phase PWM Converter, Absolute Normalize DC Current Method

### 1. บทนำ

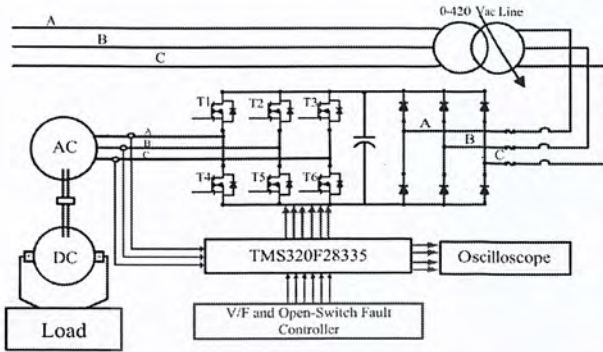
ในปัจจุบันคอนเวอร์เตอร์ได้เข้ามามีบทบาทในภาคอุตสาหกรรมรวมไปถึงในชีวิตประจำวันมากขึ้น ตัวอย่างเช่น ระบบขับเคลื่อนมอเตอร์ของเครื่องจักร หรือในชีวิตประจำวัน เช่น เครื่องปรับอากาศที่มีคอนเวอร์เตอร์ หรือรถยนต์ไฮบริด นอกจากนี้คอนเวอร์เตอร์ยังมีบทบาทสำคัญ ด้านการประยุกต์ใช้กับพลังงานหมุนเวียน ทั้งพลังงานลม และพลังงานแสงอาทิตย์ เหตุผลที่คอนเวอร์เตอร์เข้ามามีบทบาทในหลาย ๆ ด้านในปัจจุบันนั้นก็เพราะคอนเวอร์เตอร์ทำให้การใช้พลังงานเป็นไปอย่างมีประสิทธิภาพและคุ้มค่า แต่ปัญหาที่เกิดขึ้นในการนำคอนเวอร์เตอร์มาใช้ก็คือ เมื่อเกิดการผิดปกติ (fault) ขึ้นในคอนเวอร์เตอร์จะทำให้เกิดปัญหาเกี่ยวกับการควบคุมเครื่องจักรกลไฟฟ้าดังเช่นในกรณีที่เกิดความผิดปกติของชนิดสวิตช์เปิดวงจร (open-switch fault) หรืออาจจะต้องหยุดการทำงานของเครื่องจักรกลไฟฟ้าดังเช่นในกรณีที่เกิดความผิดปกติของชนิดสวิตช์ตัดวงจร (short-circuit switch fault) บทความฉบับนี้จะพิจารณาเฉพาะความผิดปกติของชนิดสวิตช์เปิดวงจรเท่านั้น เนื่องจากความผิดปกตินี้ไม่ทำให้ระบบต้องหยุดทำงานเพราะระดับกระแสภายใต้สภาวะที่เกิดความผิดปกตินั้นไม่ได้สูงถึงขนาดที่ทำให้อุปกรณ์ป้องกันทำงาน แต่หากปล่อยไว้จะทำให้เกิดความเสียหายระยะยาวต่ออุปกรณ์ทางกล และความเครียดในสวิตช์อื่น ๆ ซึ่งหากสามารถวินิจฉัยและตรวจจับสวิตช์ที่มีปัญหาได้แล้ว สามารถแก้ปัญหาได้ก่อนที่จะเกิดปัญหาในระยะยาวต่อไป

ด้วยเหตุนี้ทางคณะผู้ดำเนินโครงการจึงได้จัดทำโครงการนี้ขึ้น โดยการสร้างระบบที่มีความสามารถในการวินิจฉัยความผิดปกติของชนิดเปิดวงจรสวิตช์ที่สวิตช์กำลัง โดยระบบวินิจฉัยความผิดปกติดังกล่าวจะช่วยให้ผู้ใช้งานสามารถวินิจฉัยหาสาเหตุสวิตช์ที่ก่อให้เกิดปัญหาในคอนเวอร์เตอร์เพื่อที่จะทำการซ่อมแซมหรือทำการเปลี่ยนสวิตช์ใหม่เพื่อให้ระบบทำงานเป็นไปได้อย่างมีประสิทธิภาพ และรวดเร็วนอกจากนี้ระบบวินิจฉัยความผิดปกติดังกล่าวยังช่วยผู้ใช้งานในการตัดสินใจทำการดำเนินการต่อ โดยอาศัยกระบวนการที่เหมาะสมเช่นการติดตั้งระบบใหม่หรือการทำการหยุดการทำงานของระบบ เพื่อป้องกันการเกิดปัญหาในระยะยาว

เอกสารนี้เป็นเอกสารที่สงวนไว้สำหรับการใช้งานเพื่อการศึกษาเท่านั้น ไม่อนุญาตให้นำไปใช้ประโยชน์ด้านการค้าไม่ว่ากรณีใดๆ ทั้งสิ้น อีกทั้งห้ามมิให้ตัดแปลงเนื้อหา และต้องอ้างอิงถึงเจ้าของเอกสารทุกครั้งที่มีการนำไปใช้

## 2. ทฤษฎีที่เกี่ยวข้อง

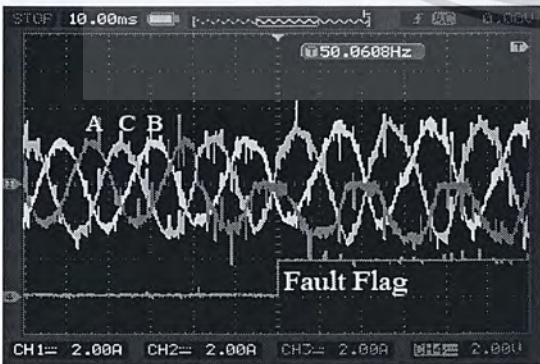
### 2.1 พฤติกรรมของกระแส



รูปที่ 1 แผนผังระบบคอนเวอร์เตอร์สามเฟส และระบบตรวจจับความผิดปกติ

ระบบขับเคลื่อนมอเตอร์สามเฟสนั้นประกอบด้วยแหล่งจ่ายแรงดันไฟฟ้ากระแสตรงซึ่งโดยปกติแล้วจะใช้วงจรเรียงกระแสซึ่งเชื่อมต่ออยู่กับแหล่งจ่ายแรงดันไฟฟ้าสามเฟสดังแสดงในรูปที่ 1

ในส่วนที่ขับเคลื่อนมอเตอร์นั้นจะเป็นอินเวอร์เตอร์สามเฟสซึ่งประกอบด้วยสวิตช์กำลัง 6 สวิตช์ จากรูปดังกล่าวในสภาวะการทำงานปกตินั้นกระแสขั้วมอเตอร์สามเฟสที่ไหลผ่านคอนเวอร์เตอร์เข้าสู่มอเตอร์นั้นจะมีลักษณะเป็นไซน์ซอซด์ แต่เมื่อเกิดความผิดปกติชนิดสวิตช์เปิดวงจรขึ้นกับสวิตช์ตัวใดตัวหนึ่งในคอนเวอร์เตอร์ รูปคลื่นกระแสที่ออกมาจากคอนเวอร์เตอร์ในเฟสที่เกิดจะไม่เป็นไซน์ซอซด์ โดยกระแสเฟสที่เกิดความผิดปกติจะหายไปครึ่งคาบ (Cycle) ซึ่งครึ่งคาบที่หายไปจะมีสองลักษณะ โดยขึ้นอยู่กับตำแหน่งของสวิตช์ที่เกิดความผิดปกติ ถ้าเกิดความผิดปกติขึ้นกับสวิตช์ T1, T2 และ T3 ตัวใดตัวหนึ่ง กระแสที่หายไปครึ่งคาบจะเป็นครึ่งคาบบวกดังแสดงในรูปที่ 2 แต่ถ้าเกิดความผิดปกติขึ้นกับสวิตช์ T4, T5 และ T6 ตัวใดตัวหนึ่ง กระแสที่หายไปครึ่งคาบจะเป็นครึ่งคาบลบ



รูปที่ 2 กระแสของคอนเวอร์เตอร์ขณะกระแสของเฟส A เกิดความผิดปกติชนิดสวิตช์เปิดวงจรที่สวิตช์ T1

เอกสารนี้เป็นเอกสารที่สงวนไว้สำหรับการใช้งานเพื่อการศึกษาเท่านั้น ไม่อนุญาตให้นำไปใช้ประโยชน์ด้านการค้า ไม่ว่าจะกรณีใดๆ ทั้งสิ้น อีกทั้งห้ามมิให้ตัดแปลงเนื้อหา และต้องอ้างอิงถึงเจ้าของเอกสารทุกครั้งที่มีการนำไปใช้

จากรูปที่ 2 แสดงให้เห็นถึงกระแสที่ออกจากคอนเวอร์เตอร์เมื่อเกิดความผิดปกติ โดยความผิดปกติที่เกิดขึ้นนั้น เกิดขึ้นกับสวิตช์ T1 จะเห็นได้ว่าลักษณะกระแสที่เกิดขึ้นนั้นครึ่งบวกของกระแสจะหายไป ซึ่งลักษณะกระแสนั้นจะคล้ายกับกระแสที่ได้จากวงจรเรียงกระแสครึ่งคลื่น เมื่อมีความผิดปกติเกิดขึ้นกับตัวคอนเวอร์เตอร์ กระแสที่เกิดขึ้นนั้นจะไปเพิ่มองค์ประกอบไปตรงกับกระแสทั้งสามเฟส ทำให้มีฮาร์มอนิกเพิ่มขึ้น ซึ่งฮาร์มอนิกที่เพิ่มขึ้นนี้จะส่งผลให้เกิดความผิดปกติกับระบบโดยรวมได้ โดยทั่วไปการเกิดความผิดปกติของชนิดสวิตช์เปิดวงจรในคอนเวอร์เตอร์นั้นจะทำให้เกิดการแกว่งของแรงบิดแม่เหล็กไฟฟ้า ( $T_e$ ) ซึ่งผลดังกล่าวอาจจะทำให้เกิดการแกว่งของความเร็วจึงความถี่ต่ำตามมา นอกจากนี้ การเกิดความผิดปกติของชนิดสวิตช์เปิดวงจร ยังทำให้เกิดการแกว่งของกำลังไฟฟ้าจริง (active power) และกำลังไฟฟ้าเสมือน (reactive power) ของด้านสเตเตอร์ด้วย

### 2.2 วิธีต่าง ๆ ที่ใช้วินิจฉัยความผิดปกติของชนิดสวิตช์เปิดวงจร

ด้วยลักษณะเฉพาะของกระแสเมื่อเกิดความผิดปกติที่สัมพันธ์กับสวิตช์แต่ละตัว ทำให้เราสามารถนำค่ากระแสภายใต้สภาวะการเกิดความผิดปกติมาวิเคราะห์เพื่อระบุตำแหน่งที่เกิดความผิดปกติวิธีการในการวินิจฉัยความผิดปกติของชนิดสวิตช์เปิดวงจรในปัจจุบันนั้นมีด้วยกันหลายวิธี ซึ่งแต่ละวิธีนั้นก็จะมีขั้นตอนวิธีการ ข้อดีข้อเสียแตกต่างกันออกไป วิธีการต่าง ๆ สามารถจำแนกได้ดังนี้

- Park's Vector Method [2]
- Slope Method [2]
- Control Deviation Method [2]
- Normalized DC Current Method [2]
- Modified Normalized DC Current Method [2], [3]
- Simple Direct Current Method [2]
- Absolute Normalized DC Current Method [1]

จากวิธีวินิจฉัยความผิดปกติของชนิดสวิตช์เปิดวงจรที่กล่าวมานั้นวิธี Slope Method เป็นวิธีที่ใช้เวลาในการวินิจฉัยความผิดปกติที่น้อยที่สุด [1] และเกิดการแจ้งเตือนเกิดขึ้นเช่นกันภายใต้สภาวะปกติ ส่วนวิธี Modified Normalized DC Current Method นั้นจะเป็นวิธีที่มีประสิทธิภาพมากที่สุดจากวิธีที่กล่าวมาข้างต้นแต่จำเป็นต้องอาศัยการคำนวณค่าองค์ประกอบมูลฐานของกระแสซึ่งใช้เวลาในการคำนวณค่อนข้างสูง

จากหลายวิธีที่กล่าวมาทางคณะผู้ดำเนินโครงการได้เลือกใช้วิธี Absolute Normalized DC Current Method มาเป็นวิธีในการวินิจฉัยความผิดปกติ เนื่องจากวิธีนี้ต้องสนองต่อการเกิดความผิดปกติได้เร็วเทียบเท่ากับวิธี Modified Normalized DC Current Method แต่ใช้เวลาในการคำนวณเร็วกว่า [1]

### 2.3 Absolute Normalized DC Current Method

วิธี Absolute Normalized DC Current Method เป็นวิธีที่วินิจฉัยความผิดปกติโดยใช้ค่าอัตราส่วนระหว่างค่าเฉลี่ยและค่าเฉลี่ยของค่าสัมบูรณ์ของกระแสในแต่ละเฟส เมื่อเกิดความผิดปกติขึ้นกระแสของเฟสที่เกิดความผิดปกติจะหายไปครึ่งคาบซึ่งจะเป็นครึ่งบวกที่หายไป หรือครึ่งลบที่หายไปขึ้นอยู่กับว่าสวิตช์ตัวไหนของเฟสนั้นที่เกิดความผิดปกติโดยปกติหากไม่ได้เกิด ความผิดปกติ ค่าเฉลี่ยของกระแสที่ได้จะมีค่าประมาณเท่ากับศูนย์ แต่เมื่อมีความผิดปกติเกิดขึ้นค่าเฉลี่ยของกระแสที่เกิดความผิดปกติจะมีค่าเท่ากับหนึ่งหรือลบหนึ่ง

สมการที่ใช้หาค่าตัวแปรที่จะนำมาวินิจฉัย ความผิดปกติ สำหรับวิธี Absolute Normalized DC Current Method มีดังนี้

$$H_v = \frac{1}{N} \sum_{k=1}^N i_v(k\tau) \quad (1)$$

$$\lambda_v = \frac{1}{N} \sum_{k=1}^N |i_v(k\tau)| \quad (2)$$

$$\zeta_v = \frac{H_v}{\lambda_v} \quad (3)$$

โดยที่  $k$  เท่ากับ 1, 2, 3, ..., 64,  $N$  เท่ากับ 64,  $i_v$  คือกระแสแต่ละเฟส  $\tau$  คือคาบของการ Sampling,  $\zeta_v$  คือตัวแปรวินิจฉัย (Diagnostic Variables) สำหรับ Absolute Normalized DC Current Method ของแต่ละเฟส

### 3. การดำเนินการทดลอง

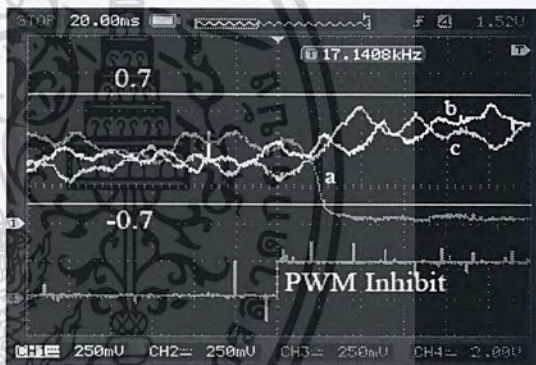
ในบทความนี้นำเสนอการตรวจจับความผิดปกติของชนิดสวิตช์เปิดวงจรในคอนเวอร์เตอร์ชนิดปรับความกว้างพัลส์แบบสามเฟส โดยทดลองดังนี้

ขั้นตอนแรกทำการสร้างคอนเวอร์เตอร์ชนิดปรับความกว้างพัลส์แบบสามเฟส และใช้ไมโครคอนโทรลเลอร์ TMS320F28335 เป็นตัวสร้างสัญญาณปรับความกว้างพัลส์และใช้ในการตรวจจับความผิดปกติ โดยใช้ตัวตรวจจับกระแสป้อนสัญญาณไปยังไมโครคอนโทรลเลอร์เพื่อใช้ในการคำนวณในขั้นตอนต่อไป จากนั้นทำการเขียนโปรแกรมสร้างสัญญาณปรับความกว้างพัลส์และสร้างสัญญาณการจำลองการเกิดสวิตช์เปิดวงจรจากภายในไมโครคอนโทรลเลอร์เพื่อสั่งสวิตช์กำลังในคอนเวอร์เตอร์ให้เปิดวงจรสำหรับนำไปใช้ในการทดลองในการตรวจจับความผิดปกติของชนิดสวิตช์เปิดวงจรและนำสัญญาณที่ได้จากอุปกรณ์ตรวจจับกระแสของแต่ละเฟสมาคำนวณเพื่อหาค่าเฉลี่ยและค่าเฉลี่ยของค่าสัมบูรณ์ในสมการที่ 1 และสมการที่ 2 ตามลำดับ และนำค่าเฉลี่ยทั้งสองมาคำนวณในสมการที่ 3 จะได้ค่าตัวแปรการวินิจฉัย (Diagnostic Variable) ซึ่งจะใช้ในการตรวจจับความผิดปกติ

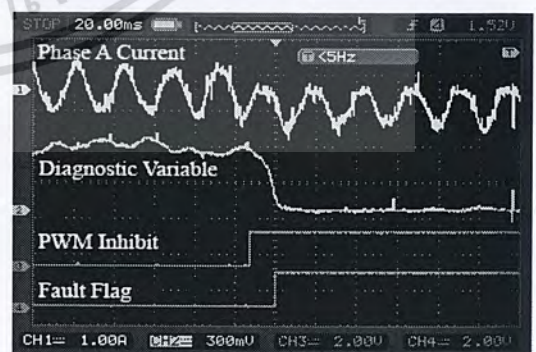
ของชนิดสวิตช์เปิดวงจร เมื่อค่าตัวแปรการวินิจฉัยมีค่ามากกว่า 0.7 หรือน้อยกว่า -0.7 จะทำให้เกิดการแจ้งเตือน (Fault Flag) เกิดขึ้น

### 4. ผลการดำเนินการทดลอง

การเกิดความผิดปกติของชนิดสวิตช์เปิดวงจรในแต่ละสวิตช์ เมื่อเกิดความผิดปกติขึ้นในสวิตช์ใดแล้ว เช่น เกิดความผิดปกติของชนิดสวิตช์เปิดวงจรขึ้นที่เฟส A สวิตช์ T1 จะทำให้ถูกคลื่นครึ่งบวกของกระแสหายไปและเฟสที่เหลือที่สวิตช์ทำงานปกติจะเกิดองค์ประกอบของกระแสตรงขึ้นทำให้กระแสของเฟสที่เหลือถูกยกขึ้นมาดังแสดงในรูปที่ 1 และเมื่อเกิดความผิดปกติของชนิดสวิตช์เปิดวงจรที่สวิตช์ T1 เมื่อถูกคลื่นครึ่งบวกกระแสเฟส A หายไปทำให้ค่าของตัวแปรวินิจฉัยมีค่าเท่ากับ -1 ดังและแสดงการแจ้งเตือน PWM Inhibit เมื่อสั่งให้วงจรควบคุมหยุดส่งสัญญาณปรับความกว้างพัลส์ไปยังคอนเวอร์เตอร์แสดงในรูปที่ 3 และ แสดงการแจ้งเตือนการเกิดความผิดปกติของชนิดสวิตช์เปิดวงจรเกิดขึ้นเมื่อค่าของตัวแปรการวินิจฉัยของเฟส A มีค่าน้อยกว่า -0.7 ดังแสดงในรูปที่ 4

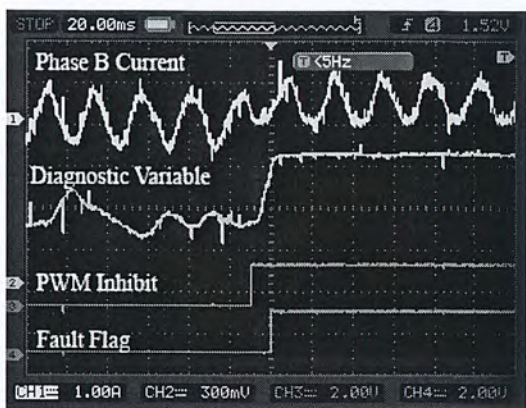


รูปที่ 3 ค่าของตัวแปรวินิจฉัย  $\zeta_v$  เมื่อกระแสของเฟส A เกิดความผิดปกติของชนิดสวิตช์เปิดวงจรขึ้นทำให้ค่าของตัวแปรวินิจฉัยมีค่าเท่ากับ -1

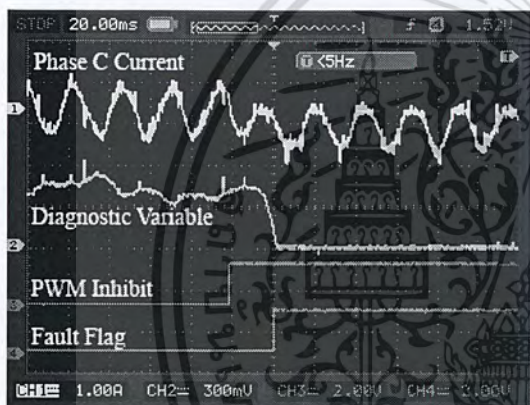


รูปที่ 4 การเกิดความผิดปกติของชนิดสวิตช์เปิดวงจรที่ T1 และแสดงการแจ้งเตือนเมื่อกระแสเกิดความผิดปกติและแสดงการแจ้งเตือนการตรวจจับการเกิดความผิดปกติของชนิดสวิตช์เปิดวงจร

เอกสารนี้เป็นเอกสารที่สงวนไว้สำหรับการใช้งานเพื่อการศึกษาเท่านั้น ไม่อนุญาตให้นำไปใช้ประโยชน์ด้านการค้า ไม่ว่ากรณีใดๆ ทั้งสิ้น อีกทั้งห้ามมิให้ตัดแปลงเนื้อหา และต้องอ้างอิงถึงเจ้าของเอกสารทุกครั้งที่มีการนำไปใช้



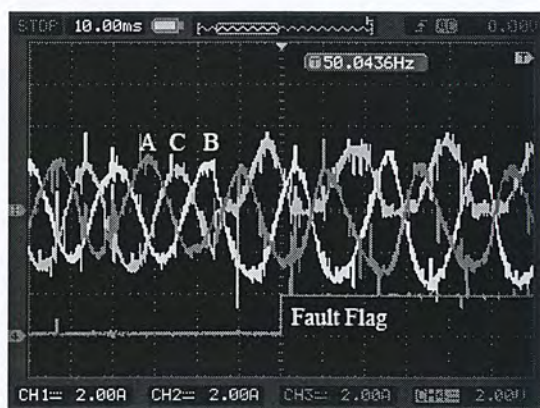
รูปที่ 5 การเกิดความผิดปกติของชนิดสวิตช์เปิดวงจรที่ T5 และแสดงการแจ้งเตือนเมื่อกระแสเกิดความผิดปกติและแสดงการแจ้งเตือนการตรวจจับการเกิดความผิดปกติของชนิดสวิตช์เปิดวงจร



รูปที่ 6 การเกิดความผิดปกติของชนิดสวิตช์เปิดวงจรที่ T3 และแสดงการแจ้งเตือนเมื่อกระแสเกิดความผิดปกติและแสดงการแจ้งเตือนการตรวจจับการเกิดความผิดปกติของชนิดสวิตช์เปิดวงจร



รูปที่ 7 กระแสของคอนเวอร์เตอร์ขณะกระแสของเฟส B เกิดความผิดปกติของชนิดเปิดวงจรที่สวิตช์ T2



รูปที่ 8 กระแสของคอนเวอร์เตอร์ขณะกระแสของเฟส C เกิดความผิดปกติของชนิดเปิดวงจรที่สวิตช์ T6

### 5. สรุป

บทความนี้แสดงถึงการตรวจจับความผิดปกติที่เกิดขึ้นจากสวิตช์ชนิดเปิดวงจรในคอนเวอร์เตอร์สามเฟสโดยใช้วิธี Absolute Normalized DC Method ซึ่งได้ทำการจำลองการสร้างสัญญาณการเกิดความผิดปกติของชนิดสวิตช์เปิดวงจรโดยใช้ไมโครคอนโทรลเลอร์ TMS320F28335 DSP และใช้ในการสร้างสัญญาณแบบปรับความกว้างพัลส์และใช้ในการคำนวณค่าเฉลี่ยและค่าเฉลี่ยของค่าสัมบูรณ์ของกระแสแต่ละเฟสซึ่งสามารถตรวจจับความผิดปกติของชนิดสวิตช์เปิดวงจรได้ภายในสามคาบของกระแสที่ไหลผ่านจากคอนเวอร์เตอร์ไปยังมอเตอร์และยังสามารถตรวจจับความผิดปกติได้เมื่อความถี่ของกระแสเปลี่ยนไป และในบทความนี้นำเสนอการตรวจจับความผิดปกติของชนิดสวิตช์เปิดวงจรที่เกิดขึ้นในคอนเวอร์เตอร์เพียง 1 สวิตช์เท่านั้น

### เอกสารอ้างอิง

- [1] W. Sae-Kok, D M Grant, "Open Switch Fault Diagnosis for a Doubly-Fed Induction Generator," Proceeding of the 2007 IEEE Power Electronics and Drive Systems, pp.131-138
- [2] K. Rothenhagen, F.W. Fuchs, "Performance of Diagnosis Methods for IGBT Open Circuit Faults in Voltage Source Active Rectifiers," Proceeding of the 2004 IEEE 35th Power Electronics Specialists Conference, pp.4348-4354
- [3] S. Abramik, W.Sleszynski, J.Nieznanski, H.Piquet, "A Diagnostic Method for On-line Fault Detection and Localization in VSI-Fed AC Drive," Proceeding of the 2003 EPE 10th European Conference on Power Electronics and Applications, pp. P.1-P. 8.
- [4] S. Chafei, F. Zidani, R. Nait-said, M.S. Boucherit, "Fault Detection and Diagnosis on a PWM Inverter by Different Techniques," Journal of Electrical Systems 4-2, 2008, pp.1-12

เอกสารนี้เป็นเอกสารที่สงวนไว้สำหรับการใช้งานเพื่อการศึกษาเท่านั้น ไม่นิยมนำไปใช้ประโยชน์ด้านการค้า ไม่ว่ากรณีใดๆ ทั้งสิ้น อีกทั้งห้ามมิให้ตัดแปลงเนื้อหา และต้องอ้างอิงถึงเจ้าของเอกสารทุกครั้งที่มีการนำไปใช้



เอกสารนี้เป็นเอกสารที่สงวนไว้สำหรับการใช้งานเพื่อการศึกษาเท่านั้น ไม่อนุญาตให้นำไปใช้ประโยชน์ด้านการค้า  
ไม่ว่ากรณีใดๆ ทั้งสิ้น อีกทั้งห้ามมิให้ตัดแปลงเนื้อหา และต้องอ้างอิงถึงเจ้าของเอกสารทุกครั้งที่มีการนำไปใช้

การตรวจจับความผิดปกติของชนิดเปิดวงจรสำหรับคอนเวอร์เตอร์ชนิดปรับความกว้างพัลส์

Open Switch Fault Detection for a PWM Converter

นายชานนท์ บึงกิจเจริญ, นายณัฐดนัย ฉันทะเกษแก้ว และนายอุทพลา ศรีแก้ว

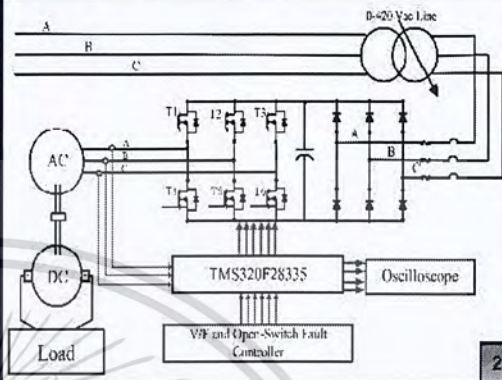


วัตถุประสงค์

- เพื่อศึกษาการเกิดความผิดปกติ (fault) ชนิดเปิดวงจรที่สวิตช์กำลังในคอนเวอร์เตอร์ 3 เฟส
- สร้างแบบจำลองทางคอมพิวเตอร์เพื่อใช้ในการวินิจฉัยและวิเคราะห์การเกิดความผิดปกติ (fault) ชนิดเปิดวงจรในคอนเวอร์เตอร์ 3 เฟส
- เพื่อทำการสร้างระบบต้นแบบเพื่อใช้ในการศึกษาการเกิดความผิดปกติ (fault) และวิเคราะห์การเกิดความผิดปกติ (fault) ในคอนเวอร์เตอร์ 3 เฟส

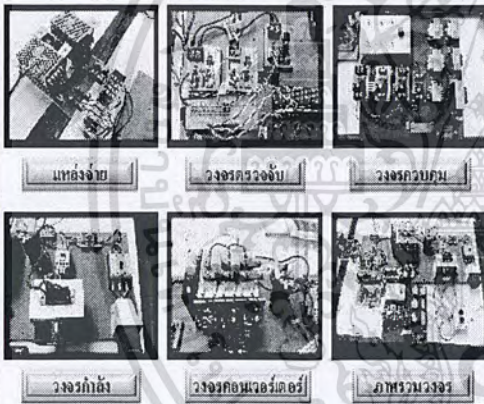
1

แผนผังการตรวจจับความผิดปกติสัญญาณ PWM



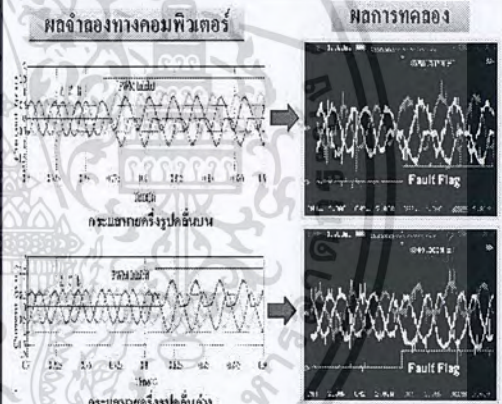
2

ชิ้นงานประกอบโครงงานวิจัย



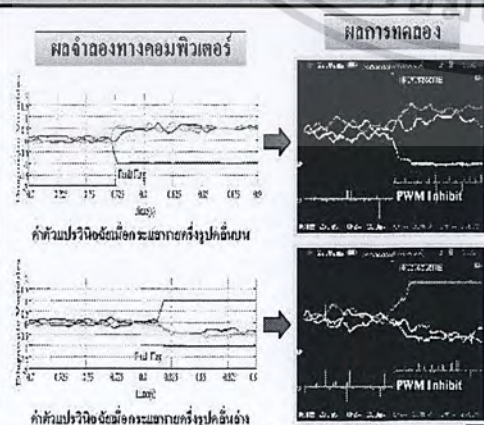
3

รูปคลื่นกระแสเมื่อเกิด Open Switch Fault



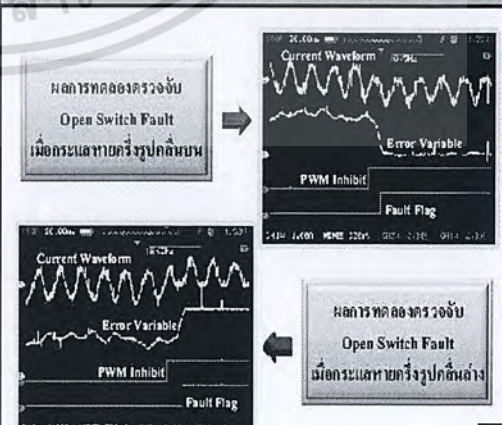
4

รูปคลื่นค่าตัวแปรวินิจฉัย Open Switch Fault



5

ผลการทดลองตรวจจับ Open Switch Fault



6



ห้องปฏิบัติการวิจัยการประยุกต์ใช้พลังงานทดแทน (Renewable Energy Application Laboratory)  
สาขาวิชาวิศวกรรมไฟฟ้า คณะวิศวกรรมศาสตร์ สถาบันเทคโนโลยีพระจอมเกล้าเจ้าคุณทหารลาดกระบัง



เอกสารนี้เป็นเอกสารที่สงวนลิขสิทธิ์หรือการสงวนเพื่อการศึกษาเท่านั้น เมื่ออนุญาตให้นำไปเผยแพร่หรือใช้  
ไม่ว่ากรณีใดๆ ทั้งสิ้น อีกทั้งห้ามมิให้ตัดแปลงเนื้อหา และต้องอ้างอิงถึงเจ้าของเอกสารทุกครั้งที่มีการนำไปใช้

## ประวัติผู้เขียน



ชื่อ – นามสกุล นายชานนท์ บึงกิจเจริญ

วัน เดือน ปี เกิด วันที่ 5 พฤศจิกายน 2531

## ประวัติการศึกษา

ปีการศึกษา 2549

สำเร็จการศึกษาระดับมัธยมศึกษาตอนปลายจาก  
โรงเรียนโยธินบูรณะ จังหวัดกรุงเทพมหานคร

ปีการศึกษา 2553

สำเร็จการศึกษาระดับปริญญาตรี สาขาวิศวกรรมไฟฟ้า จาก  
สถาบันเทคโนโลยีพระจอมเกล้าเจ้าคุณทหารลาดกระบัง

ฝึกงานภาคฤดูร้อน

บริษัท รถไฟฟ้ากรุงเทพ จำกัด มหาชน



ชื่อ – นามสกุล นายณัฐดนัย ถิ่นเกาะแก้ว

วัน เดือน ปี เกิด วันที่ 25 เมษายน 2532

## ประวัติการศึกษา

ปีการศึกษา 2549

สำเร็จการศึกษาระดับมัธยมศึกษาตอนปลายจาก  
โรงเรียนศรีอยุธยา ในพระอุปถัมภ์ฯ จังหวัดกรุงเทพมหานคร

ปีการศึกษา 2553

สำเร็จการศึกษาระดับปริญญาตรี สาขาวิศวกรรมไฟฟ้า จาก  
สถาบันเทคโนโลยีพระจอมเกล้าเจ้าคุณทหารลาดกระบัง

ฝึกงานภาคฤดูร้อน

Fukuoka Institute of Technology, Fukuoka, Japan

เอกสารนี้เป็นเอกสารที่สงวนไว้สำหรับการใช้งานเพื่อการศึกษาเท่านั้น ไม่อนุญาตให้นำไปใช้ประโยชน์ด้านการค้า  
ไม่ว่ากรณีใดๆ ทั้งสิ้น อีกทั้งห้ามมิให้ตัดแปลงเนื้อหา และต้องอ้างอิงถึงเจ้าของเอกสารทุกครั้งที่มีการนำไปใช้

## ประวัติผู้เขียน (ต่อ)



ชื่อ - นามสกุล นายดนูพล ตรีแก้ว

วัน เดือน ปี เกิด วันที่ 20 พฤษภาคม 2531

## ประวัติการศึกษา

ปีการศึกษา 2549

สำเร็จการศึกษาระดับมัธยมศึกษาตอนปลายจาก  
โรงเรียนทุ่งสง จังหวัดนครศรีธรรมราช

ปีการศึกษา 2553

สำเร็จการศึกษาระดับปริญญาตรี สาขาวิศวกรรมไฟฟ้า จาก  
สถาบันเทคโนโลยีพระจอมเกล้าเจ้าคุณทหารลาดกระบัง

ฝึกงานภาคฤดูร้อน

การไฟฟ้าฝ่ายผลิต เชื้อนรัชชประภา



เอกสารนี้เป็นเอกสารที่สงวนไว้สำหรับการใช้งานเพื่อการศึกษาเท่านั้น ไม่อนุญาตให้นำไปใช้ประโยชน์ด้านการค้า  
ไม่ว่ากรณีใดๆ ทั้งสิ้น อีกทั้งห้ามมิให้ตัดแปลงเนื้อหา และต้องอ้างอิงถึงเจ้าของเอกสารทุกครั้งที่มีการนำไปใช้